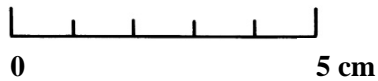
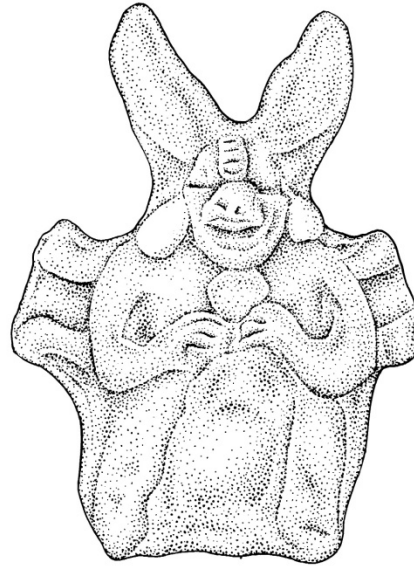


**PROYECTO ARQUEOLÓGICO CEIBAL-PETEXBATUN
INFORME DE LA TEMPORADA DE CAMPO 2014**



**Editado por
Flory María Pinzón y Takeshi Inomata**

**Directores
Takeshi Inomata y Flory María Pinzón**

**Informe entregado al
Instituto de Antropología e Historia
Noviembre 2014**

AGRADECIMIENTOS

El Proyecto Arqueológico Ceibal-Petexbatun desea patentizar su agradecimiento a las personas e instituciones que hicieron posible la temporada 2014. Se agradece al Licenciado Oscar Mora, Director General del Patrimonio Cultural y Natural, a la Licenciada Ana lucía Arroyave, Jefa del Departamento de Monumentos Prehispánicos y Coloniales y a la inspectora del Proyecto Licenciada Mónica Pellecer por el apoyo institucional para la ejecución del mismo. Agradecimientos también al Sr. William Perla, Inspector Regional de Monumentos de la zona y demás trabajadores operativos del Instituto de Antropología e Historia en Sayaxché, por su apoyo y colaboración.

El Proyecto Arqueológico Ceibal-Petexbatun fue financiado por Alphawood Universidad de Arizona.

CONTENIDO

Agradecimientos

PARTE I: INTRODUCCIÓN

1. Introducción a la Temporada de 2014 1
Flory María Pinzón y Takeshi Inomata

PARTE II: INVESTIGACIONES EN EL GRUPO A

2. Excavaciones en la Plaza Central: Operaciones CB203K y CB203L 7
Flory María Pinzón y Sebastián De Muylder
3. Excavaciones en la base de la Plaza Central: Operación CB217A 29
Ashley Sharpe

PARTE III: INVESTIGACIONES EN EL GRUPO D

4. Excavaciones en la Plaza Central del Grupo D: Operación CB209 35
Damien Bazy
5. Excavaciones en la Plaza Oeste del Grupo D: Operación CB219 52
Damien Bazy
6. Excavaciones en la periferia este del Grupo D: Operación CB221 60
Damien Bazy

PARTE IV: INVESTIGACIONES EN LA PERIFERIA

7. Excavaciones en el Grupo Karinel (Plataforma 47-Base): Operación CB211 76
Jessica MacLellan y Marta Alejandra Cordero
8. Excavaciones en el Grupo Amoch: Operaciones CB215 y CB220 104
Melissa Burham y Ricardo Rodas
9. Excavaciones en el Grupo Pek: Operación CB218 118
Melissa Burham y Ricardo Rodas

PARTE V: ANÁLISIS

10. Análisis de cerámica 138
Takeshi Inomata
11. Análisis de lítica 142
Kazuo Aoyama

12. Análisis de hueso animal y concha 150
Ashley Sharpe

13. Análisis de entierros 162
Juan Manuel Palomo

PARTE VI: CONCLUSION

14. Conclusión sobre la Temporada de 2014 170
Flory María Pinzón y Takeshi Inomata

PARTE VII: ANEXOS

15. Catálogo de Vasijas, Temporada 2014 172
Flory María Pinzón y Estela Pinto

16. Lista de Materiales, Temporada 2014 182
Jessica MacLellan

BIBLIOGRAFÍA 213

INDICE DE FIGURAS

PARTE I: INTRODUCCIÓN

Figura 1.1. Mapa indicando la ubicación de Ceibal.	4
Figura 1.2. Mapa de Ceibal que muestra los grupos trabajados del sitio en 2014.	5
Figura 1.3. Cronología cerámica de Ceibal y otros sitios de las Tierras Bajas Mayas	6

PARTE II: INVESTIGACIONES EN EL GRUPO A

Figura 2.1. Mapa de excavaciones en la Plaza Central del Grupo A.	18
Figura 2.2. Entierro 150 (4-5-6).	19
Figura 2.3. Escondite 170 (3-6-3).	19
Figura 2.4. Entierro 154 (1-9-5).	20
Figura 2.5. Escondite 174 (5-7-2).	20
Figura 2.6. Entierro múltiple 153 (1-10-2).	21
Figura 2.7. Entierro 158 (2-8-2).	21
Figura 2.8. Escondite 171 (1-10-6).	22
Figura 2.9. Escondite 172 (2-7-6).	22
Figura 2.10. Piso 14 de piedrín e Intrusión que contenía una piedra en posición vertical (3-7-4).	23
Figura 2.11. Acceso oeste de la Estructura Xa'an.	23
Figura 2.12. Perfil Norte CB203K.	
Figura 2.13. Esquema de lotes de la Operación CB203K.	25
Figura 2.14. Excavación mostrando parte de la Estructura Xa'an original.	26
Figura 2.15. Perfil Norte CB203L.	
Figura 2.16. Esquema de lotes de la Operación CB203L.	28
Figura 3.1. Ubicación de la Operación CB217A.	30
Figura 3.2. Nivel de Piso 7 y vista de estratigrafía del muro norte.	31
Figura 3.3. Nivel de Piso 8 y superficie parcial de la roca madre en el lado este.	31
Figura 3.4. Perfil este de la Operación CB217A.	32
Figura 3.5. Perfil oeste de la Operación CB217A.	33
Figura 3.6. Esquema de lotes de la Operación CB217A.	34

PARTE III: INVESTIGACIONES EN EL GRUPO D

Figura 4.1. Localización de excavaciones de la Operación CB209.	42
Figura 4.2. Esquema de lotes de la Operación CB209A y sus relaciones estratigráficas.	43
Figura 4.3. Perfil sur de las Unidades 9 y 10, Operación CB209A.	44
Figura 4.4. Esquema de lotes de la Operación CB209D y sus relaciones estratigráficas.	45
Figura 4.5. Perfil este de las Unidades 1 a 3, 5 y 6, Operación CB209D.	46
Figura 4.6. Planta de la Estructuras D-31 y Tzul, Operación CB209D.	47
Figura 4.7. Perfil norte de las Unidades 6 y 7, Operación CB209D.	48
Figura 4.8. Estructura Tzul en las Unidades 6 y 7 (Foto por D. Bazy).	49
Figura 4.9. Plataforma de la Estructura Tzul y Estructura Ok'abal sobre el piso 5.	49
Figura 4.10. Esquema de lotes de la Operación CB209E y sus relaciones estratigráficas.	50
Figura 4.11. Perfil norte de las Unidades 1 a 4, Operación CB209E.	51
Figura 5.1. Localización de excavaciones de la Operación CB219A.	56

Figura 5.2. Esquema de lotes de la Operación CB219A y sus relaciones estratigráficas.	56
Figura 5.3. Perfil sur de las Unidades 1 a 3, Operación CB219A.	57
Figura 5.4. Perfil Norte de las Unidades 4 a 5, Operación CB219A.	58
Figura 5.5. Capa de ceniza encima del Piso 1 (Unidad 1), Operación CB219A.	59
Figura 5.6. Capa de ceniza y fémur de venado entre piedras canteadas del Edificio D-6 destruido, Operación CB219A.	59
Figura 6.1. Localización de las Operaciones CB221A y CB221B.	65
Figura 6.2. Esquema de lotes de la Operación CB221A y sus relaciones estratigráficas.	66
Figura 6.3. Perfil norte de las Unidades 1, Operación CB221A.	66
Figura 6.4. Perfil Oeste de las Unidades 2 y 3, Operación CB221A.	67
Figura 6.5. Perfil este de las Unidades 2 y 3, Operación CB221A.	68
Figura 6.6. Estructuras D-104a y D-104aSub1, Operación CB221A.	69
Figura 6.7. Esquema de lotes de la Operación CB221B y sus relaciones estratigráficas.	69
Figura 6.8. Perfil oeste de las Unidades 1 y 2, Operación CB221B.	70
Figura 6.9. Perfil norte de la Unidad 3, Operación CB221B.	71
Figura 6.10. Perfil sur de la Unidad 3, Operación CB221B.	72
Figura 6.11. Intrusiones en el Piso 2 frente a la Estructura D-86c, Operación CB221B.	73
Figura 6.12. Entierro 161 e intrusiones frente a la Estructura D-86c, Operación CB221B.	73
Figura 6.13. Localización de excavaciones de la Operación CB221C.	74
Figura 6.14. Esquema de lotes de la Operación CB221C y sus relaciones estratigráficas.	74
Figura 6.15. Perfil oeste de la Unidad 1, Operación CB221C.	75

PARTE IV: INVESTIGACIONES EN LA PERIFERIA

Figura 7.1. Mapa de excavaciones de la Operación CB211.	87
Figura 7.2. La fachada este de la Estructura Tz'unun y el suelo natural, CB211E.	88
Figura 7.3. Escondite 168, CB211B.	88
Figura 7.4. Unidades excavadas en la Operación CB211C con la Estructura Sutsu y otros rasgos.	89
Figura 7.5. Entierro 152, CB211C.	90
Figura 7.6. Entierro 155, CB211C.	90
Figura 7.7. Entierro 156, CB211C.	91
Figura 7.8. Entierro 159, CB211C.	91
Figura 7.9. Estructura "A" y la extensión al sur, Estructura "B," desde el oeste, CB211C.	92
Figura 7.10. Entierro 149 y Piso 4, debajo de la Estructura "B," CB211C.	92
Figura 7.11. Estructura Sutsu desde el este, antes de abrir las unidades 5-7, CB211C.	93
Figura 7.12. Estructura Sutsu después de excavar todos los rasgos, CB211C.	93
Figura 7.13. Entierro 160, CB211C.	94
Figura 7.14. Perfil oeste, CB211B, Unidades 6-9.	95
Figura 7.15. Perfil norte, CB211E, Unidades 1-5.	96
Figura 7.16. Perfil oeste, Unidad 2, CB211C.	97
Figura 7.17. Perfil oeste, Unidad 3, CB211C.	97
Figura 7.18. Perfil este, Unidad 4, CB211C.	98
Figura 7.19. Perfil sur, Unidad 6, CB211C.	98
Figura 7.20. Perfil norte, Unidades 1&5, CB211C.	99
Figura 7.21. Esquema de lotes CB211B, Unidades 1-3.	99
Figura 7.22. Esquema de lotes CB211B, Unidades 4 y 5.	100
Figura 7.23. Esquema de lotes CB211B, Unidades 6-9.	100
Figura 7.24. Esquema de lotes CB211E.	101
Figura 7.25. Esquema de lotes CB211C, Unidades 1 y 2.	101

Figura 7.26. Esquema de lotes CB211C, Unidades 3 y 4.	102
Figura 7.27. Esquema de lotes CB211C, Unidades 5 y 6.	102
Figura 7.28. Esquema de lotes CB211C, Unidad 7.	103
Figura 8.1. Mapa del Grupo Amoch y las excavaciones realizadas en 2013 y 2014.	109
Figura 8.2. Perfil norte de CB215A.	110
Figura 8.3. Esquema de lotes de la Operación CB215A.	111
Figura 8.4. Muro de retención de la Estructura 1, excavación en la Unidad 2 durante la temporada 2013.	112
Figura 8.5. Subestructura 1 revelada en la Unidad 3 durante la temporada 2014.	112
Figura 8.6. Entierro 162.	113
Figura 8.7. Perfil norte de la Operación CB215C.	113
Figura 8.8. Esquema de lotes de la Operación CB215C.	114
Figura 8.9. Tabla comparando colores de estratos entre las Operaciones CB215A y CB215C.	114
Figura 8.10. Escondite 173.	115
Figura 8.11. Perfil oeste de CB220A.	115
Figura 8.12. Esquema de lotes de CB220A.	116
Figura 8.13. Estructura 3a.	116
Figura 8.14. Pozo de sondeo en la aguada (lleno de agua) Operación CB215D.	117
Figura 9.1. Mapa de excavaciones en el Grupo Pek.	126
Figura 9.2. Perfil norte de CB218A.	127
Figura 9.3. Esquema de lotes de la Operación CB218A.	128
Figura 9.4. Estructura 4G-4, posiblemente enterrada durante el Protoclásico o Clásico Temprano (CB218A).	129
Figura 9.5. Escondite 169 (CB218A2-4-3).	129
Figura 9.6. Piedra tallada de Escondite 169 (CB218A2-4-3).	130
Figura 9.7. Piso 1 de Subestructura 2, CB218A.	130
Figura 9.8. Chultun en la roca madre, CB 218A.	131
Figura 9.9. Perfil sur de CB218B.	132
Figura 9.10. Esquema de lotes de CB218B.	133
Figura 9.11. Entierro 147 (CB218B1-4-5).	134
Figura 9.12. Carga de basura depositada encima y al lado de la Estructura Saq.	134
Figura 9.13. Perfil oeste de CB218C.	135
Figura 9.14. Esquema de lotes CB218C.	135
Figura 9.15. Húmero humano trabajado (CB218C1-4-4).	136
Figura 9.16. Entierro 151 (CB218C2-4-3).	136
Figura 9.17. Excavación de aguada al este de Unidad 101.	137
PARTE V: ANÁLISIS	
Tabla 10.1. Distribución de cerámica por sub-operaciones y fases.	140
Tabla 10.2. Las cantidades de tiestos cerámicos por áreas y grupos cerámicos.	141
Tabla 11.1 Materia prima de las hachas pulidas según las fases de ocupación del periodo Preclásico Medio.	145
Tabla 11.2. Color de las hachas pulidas según las fases de ocupación del periodo Preclásico Medio.	145
Tabla 11.3. Tipología de las Hachas pulidas según las fases de ocupación del periodo Preclásico Medio.	146

Tabla 11.4. Hachas pulidas usadas para tallar madera en Ceibal durante el periodo Preclásico Medio.	146
Figura 11.5. Hacha no terminada la fase Real-Xe 2 Escondite 131.	147
Figura 11.6. Tres hachas colocadas en posición vertical abajo del Piso 7 a 1 de la Plataforma Ch'och' durante la fase Real-Xe 2 Escondite 127 (CB200B).	147
Figura 11.7. Hachas pulidas del Escondite 109 de la fase Real-Xe 2.	148
Figura 11.8. Microhuellas de uso sobre hacha muy pequeña (Catálogo no. 203A287-1) en el Escondite 109, fase Real- Xe 2 (200x): brillo tipo B y estrías verticales sobre un filo del hacha para tallar madera.	148
Figura 11.9. Hachas pulidas del Escondite 160 de la fase Real-Xe 3.	149
Figura 11.10. Microhuellas de uso sobre hacha muy pequeña (Catálogo no. 203B1800-1) en el Escondite 160, fase Real-Xe 3 (200x): brillo tipo B y estrías verticales sobre un filo del hacha para tallar madera.	149
Tabla 12.1. Tabla mostrando el número de especímenes individuales (NEI) y pesos en gramos por cada fase. Los pesos están en números en paréntesis y sumas con asteriscos (*) no incluyen pesos marcados "n/a".	154
Tabla 12.2. Tabla mostrando el NEI de los huesos y conchas modificados. Anfibios y caracoles terrestres no son incluidos.	159
Figura 12.3. Distribución de vertebrados por cada fase.	160
Figura 12.4. Comparación de la distribución de vertebrados y moluscos (sin caracoles terrestres) en el sitio por cada fase.	160
Figura 12.5. Diversidad y equitabilidad por cada fase, incluyendo vertebrados y moluscos (sin caracoles terrestres).	161
Figura 12.6. Diversidad y equitabilidad de sólo vertebrados por cada fase.	161
Tabla 13.1. Tabla que resume los entierros descritos.	169

PARTE VII: ANEXOS

Figura 15.1. C.R: 500354, Vasija 2 en Entierro 155, tipo Camarón Inciso en forma de cuenco, CB211C.	172
Figura 15.2. C.R: 500355, Vasija 2 en Entierro 156, tipo Poité Inciso en forma de plato, CB211C.	172
Figura 15.3. C.R: 500356, Vasija 1 en Entierro 155, tipo Pabellón Modelado Tallado en forma de cuenco, CB211C.	173
Figura 15.4. C.R: 500357, Vasija 1 en Entierro 152, tipo Pabellón Modelado Tallado en forma de cuenco, CB211C.	173
Figura 15.5. C.R: 500358, Vasija 1 en Entierro 159, tipo Trapiche Inciso en forma de plato, CB211C.	174
Figura 15.6. C.R: 500359, Vasija 1 en Entierro 156, tipo Naranja Fino Indeterminado en forma de cuenco, CB211C.	174
Figura 15.7. C.R: 500360, Vasija 2 en Entierro 159, tipo Naranja Fino Indeterminado en forma de cuenco, CB211C.	175
Figura 15.8. C.R: 500362, Vasija 1 en Entierro 150, tipo Sierra Rojo en forma de plato, CB203K.	175
Figura 15.9. C.R: 500363, Vasija 3 en Entierro 156, tipo Tinaja Rojo en forma de cántaro, CB211C.	176
Figura 15.10. C.R: 500364, Vasija 1 en Entierro 173, tipo Achiotes Sin Engobe en forma de cuenco, CB215C.	176
Figura 15.11. C.R: 500365, Vasija 2 en Entierro 173, tipo Achiotes Sin Engobe en forma de cuenco, CB215C.	177

Figura 15.12. C.R: 500366, Vasija 3 en Entierro 173, tipo Caribal Rojo? en forma de cuenco, CB215C.	177
Figura 15.13. C.R: 500367, Vasija 1 en Entierro 161, del periodo Protoclásico en forma de cuenco, CB221B.	178
Figura 15.14. C.R: 500368, Vasija 1 en intrusión dentro de Entierro 161, tipo Cubeta Inciso en forma de cuenco, CB221B.	178
Figura 15.15. C.R: 500369, Vasija 1 en Entierro 169, tipo Ixcanrío Polícromo en forma de cuenco, CB218A.	179
Figura 15.16. C.R: 500370, Vasija 1 en Escondite 171, del grupo Río Pasión Engobado en forma de cántaro, CB203K.	179
Figura 15.17. C.R: 500371, Vasija 2 en Escondite 171, del grupo Río Pasión Engobado en forma de cántaro, CB203K.	180
Figura 15.18. C.R: 500372, Vasija 3 en Escondite 171, del grupo Río Pasión Engobado en forma de cántaro, CB203K.	180
Figura 15.19. C.R: 500373, Vasija 1 en Escondite 170, tipo Achiotes Sin Engobe en forma de cuenco, CB203K.	181
Figura 15.20. C.R: 500374, Vasija 1 en Escondite 151, tipo Sierra Rojo en forma de cuenco, CB218C.	181

PARTE I: INTRODUCCIÓN

1. Introducción a la Temporada 2014

Flory María Pinzón y Takeshi Inomata

El Proyecto Arqueológico Ceibal-Petexbatún realizó la temporada de campo en el sitio Ceibal, del 21 de Marzo al 29 de Mayo de 2014. Las investigaciones de campo consistieron en las siguientes operaciones:

CB203K: Excavaciones en el centro de la Plaza Central del Grupo A.
CB203L: Excavaciones al noroeste de la plaza Central del Grupo A.
CB217A: Excavaciones a la base de la Plaza Central.
CB209A: Excavación en la Estructura D-14.
CB209D: Excavación en la Estructura D-31.
CB209E: Excavación en la Estructura D-33.
CB219A: Excavaciones en la Plaza oeste del Grupo D.
CB221A: Excavación en la Estructura D-104a.
CB221B: Excavaciones en la Estructura D-86a.
CB221C: Excavaciones en la Estructura D-87.
CB211B, E y C: Excavaciones en el Grupo Karinel (Plataforma 47-base).
CB215A, C, D y E - CB220A: Excavaciones en el Grupo Amoch.
CB218A-D: Excavaciones en el Grupo Pek.

Los participantes en la temporada de campo incluyeron a investigadores guatemaltecos y extranjeros:

Takeshi Inomata (Director)

Flory María Pinzón (Co-directora, Operación CB203K y L)

Jessica MacLellan (Operación CB211B, E y C)

Melissa Burham (Operaciones CB215A-E, CB220A y CB218A-D)

Damien Bazy (Operaciones CB209A, D y E, CB219A y CB221A-C)

Ashley Sharpe (Operación CB217A)

Sebastien De Muylder (Voluntario, Operación CB203L)

Alejandra Cordero (Operación CB211C)

Ricardo Rodas (Operaciones CB215A-E, CB220A y CB218A-D)

María Reneé Jerez (Operación CB 209)

Allan Vicente (Operación CB218C)

Los materiales arqueológicos recuperados durante la temporada de campo están en proceso de análisis en el laboratorio del Proyecto, ubicado en la 33 Avenida "A" 28-95 Zona 5 Colonia Santa Ana, Ciudad de Guatemala. Los investigadores que trabajan en el laboratorio son:

Takeshi Inomata (Director, análisis de cerámica)

Flory María Pinzón (Co-directora, análisis de cerámica y otros artefactos, fotografía)

Daniela Triadan (Restauración de vasijas, análisis de figurillas y estuco)

Kazúo Aoyama (Análisis de lítica)

Jessica MacLellan (Análisis de cerámica)

Ashley Sharpe (Análisis de restos de fauna)

Melissa Burham (Análisis de cerámica)

Estela Pinto (Administración y análisis de cerámica)

Juan Manuel Palomo (Análisis de restos óseos humanos)

Alfredo Román (Dibujo de materiales)
Alejandra Cordero (Análisis de cerámica)
Ricardo Rodas (Análisis de cerámica)

OBJETIVOS

Los objetivos generales del Proyecto Arqueológico Ceibal-Petexbatun son:

- Proteger y preservar el importante patrimonio cultural de Guatemala.
- Promover el intercambio y colaboración entre investigadores y estudiantes de Guatemala y otros países.
- Ampliar las investigaciones anteriores en el sitio, que proponen examinar cambios sociopolíticos durante los períodos Preclásico y Clásico en la sociedad Maya.

ANTECEDENTES

Los resultados del Proyecto de la Universidad de Harvard, que se realizó desde 1964 hasta 1968, indicaron que Ceibal fue un centro importante, particularmente durante los períodos Preclásico y Clásico Terminal (Graham 1990; Sabloff 1975; Smith 1982; Tourtellot 1988; Willey 1978, 1990). Un enfoque importante del presente proyecto fue el estudio de cambios sociopolíticos durante los períodos Preclásico y Clásico Terminal.

El desarrollo de Ceibal durante el periodo Preclásico está relacionado directamente al problema de los orígenes y la formación de la civilización maya. Algunos arqueólogos enfatizan la influencia del área olmeca como “la cultura madre” (Diehl y Coe 1995), mientras otros argumentan que la sociedad maya de la selva tropical se desarrolló básicamente independientemente (Hansen 2005). Ceibal es un sitio clave para examinar este problema ya que se ubica cerca del margen suroeste de las tierras bajas mayas, con la potencial comunicación con áreas adyacentes a través de los ríos La Pasión, Usumacinta y Salinas. Se asume que el Grupo A fue el enfoque principal de la comunidad preclásica de Ceibal. Excavaciones en las plazas y sus alrededores (CB203, CB217, CB209, CB219, CB221, CB211, CB215, CB220 y CB218) están enfocadas en este tema.

Durante el periodo Clásico Terminal, muchas ciudades mayas perdieron poder y población mientras que Ceibal floreció. Se espera que las investigaciones en Ceibal provean información crítica para el mejor entendimiento del fenómeno que es generalmente llamado el colapso maya Clásico. En nuestro estudio del período Clásico, un tema central es la organización de la corte real. Las cortes reales tuvieron la característica de un grupo doméstico del gobernante y al mismo tiempo funcionaron como entidades centrales para administración en la sociedad maya (Inomata y Houston 2001). Su organización y representaciones simbólicas tienen importantes implicaciones para el estudio de grupos domésticos y la dinámica política. Palacios y residencias elitistas reflejan su simbolismo y organización. La pregunta importante versa sobre cómo la dinastía de Ceibal trató de consolidar su dominación sobre la población de la región y como los grupos no-elitistas reaccionaron a los cambios políticos.

METODOLOGÍA

Las Excavaciones fueron organizadas en operaciones, que hacen referencia a un grupo de montículos o estructuras dentro del sitio; sub-operaciones, que se refieren a una estructura o montículo específicos dentro de la Operación; Unidades, según retículas de 2 x 2m y lotes que siguieron la estratigrafía natural en la mayoría de casos, o fueron separados arbitrariamente cuando así se requirió. Todos los suelos fueron cernidos. Para distinguir las excavaciones del presente proyecto de las de Harvard, los números de operación en Ceibal se iniciaron en 200, y los de entierros y escondites a partir de 101.

Debido a la complejidad característica de algunas operaciones en las que se documentaron varias subestructuras, éstas fueron denominadas con un nombre en q'eqchi' a manera de recurso mnemotécnico, para diferenciarlas de la nomenclatura de pisos y otros rasgos encontrados. El recurso mnemotécnico, es la técnica o procedimiento de asociación mental de ideas, esquemas, repeticiones, etc., que sirven para facilitar el recuerdo de algo. En este caso, nos sirve para identificar y recordar el nombre de las subestructuras y pisos encontrados durante las excavaciones.

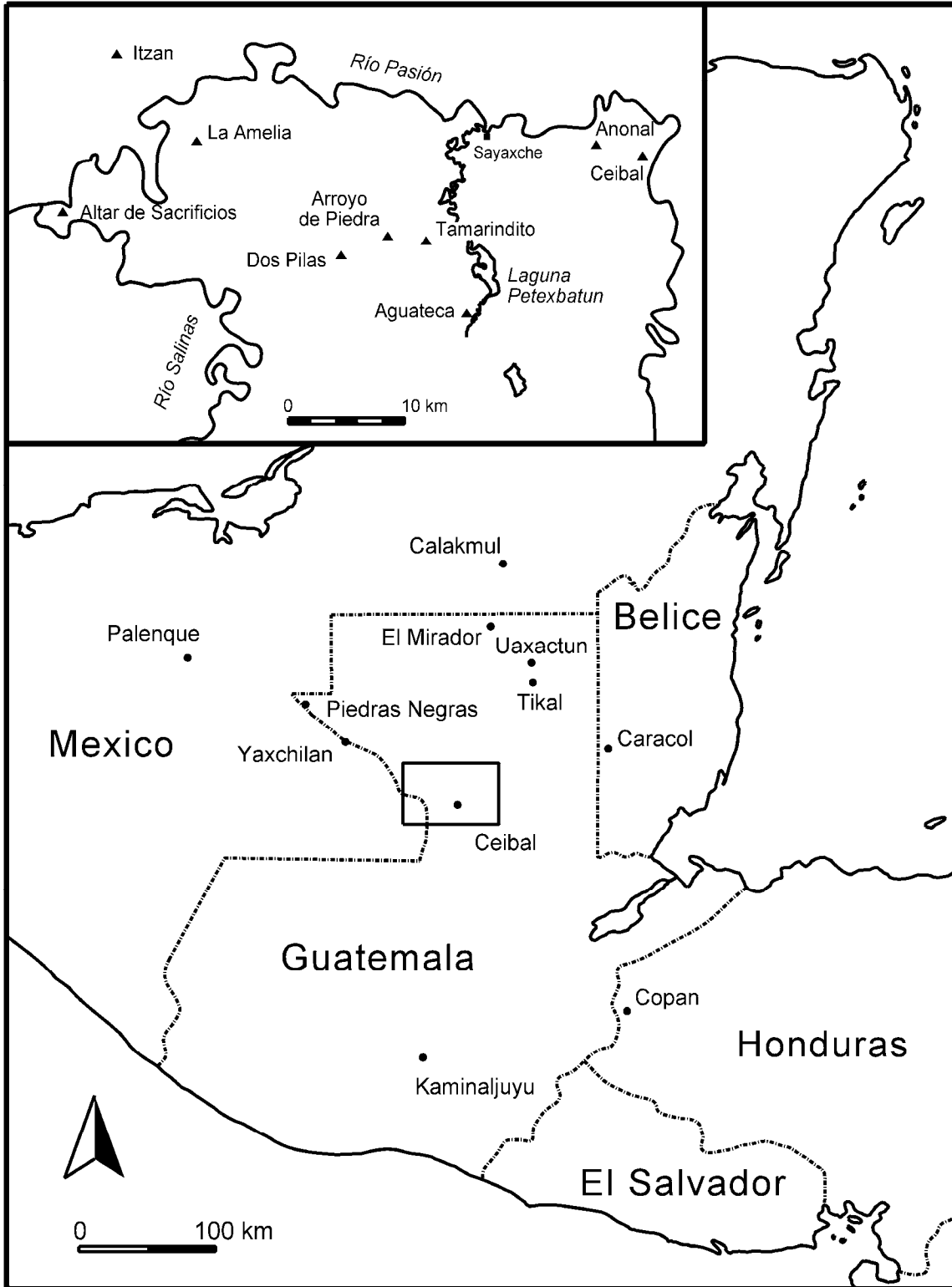


Figura 1.1. Mapa indicando la ubicación de Ceibal (Elaborado por T. Imomata).

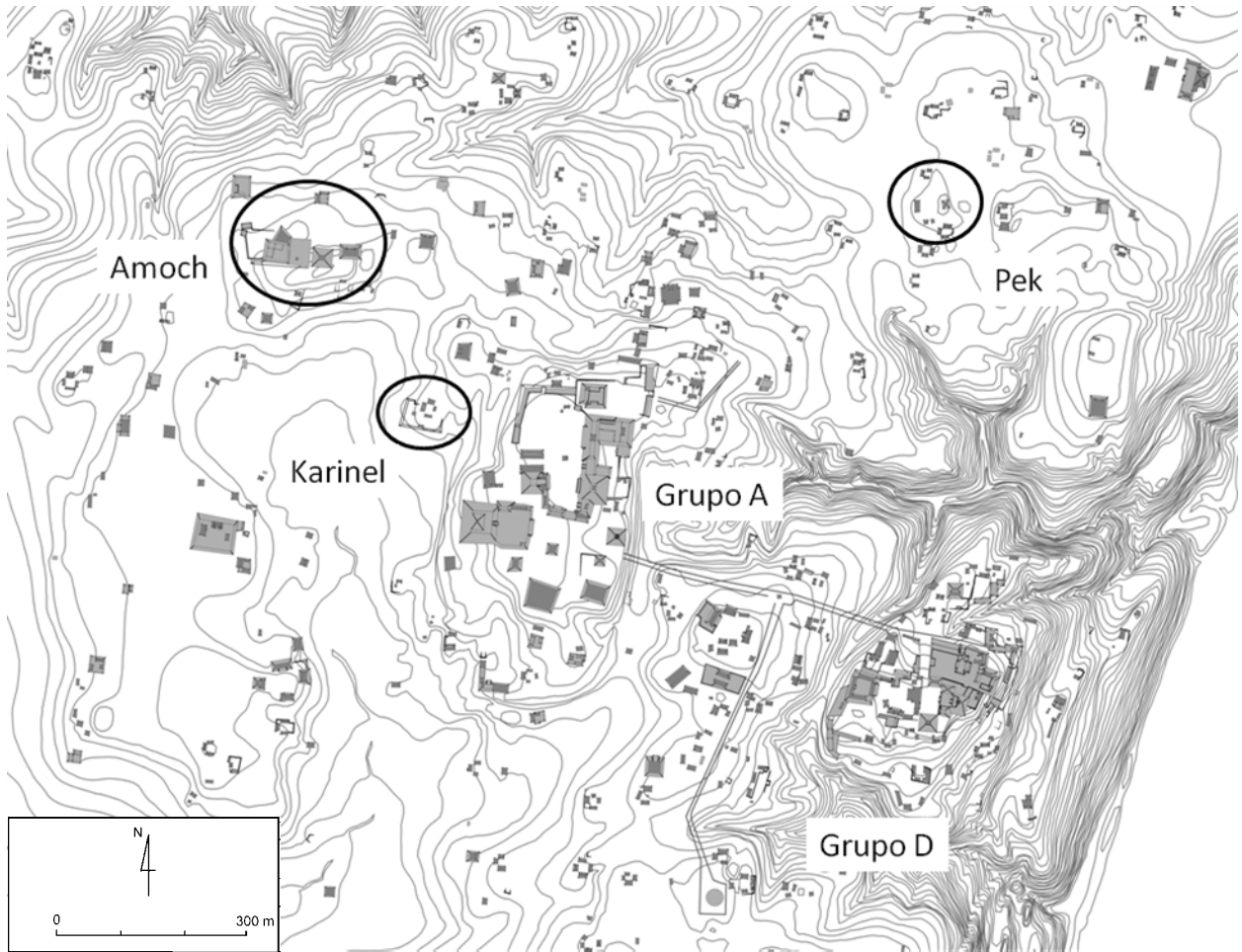


Figura 1.2. Mapa de Ceibal que muestra los grupos trabajados del sitio en 2014. (Modificado de Smith 1982, Figura 2).

Period	Long Count	Dates	Ceibal	Petexbatun	Uaxactun	Tikal		
Post-classic	10.10	1100		Tamarindo		Caban		
		1000						
Classic	10.0	900	Bayal	Sepens	3	Eznab		
		800	3 2 1	Late Middle Early	Tepeu	2	Imix	
		700	Tepejilote	Nacimiento	1	Ik		
		600	Hiatus	Jordán	2 Hiatus	3	3B	
		500						
		400	3 2 1	Junco	1	Tzakol	2	Manik
		300			3	1	2 1	3A
		200	2 1	Xate				Cimi
		100			Faisán	2		Cauac
		AD	1					
Preclassic	8.0	BC	3					
		100	Cantutse		Chicanel		Chuen	
		200	2					
		300	1		1			
		400	3					
		500	2	Escoba	Excavado	Mamom	Tzec	
		600	1					
		700			Colonia	Eb	Late Eb	
		800	3 2 1	Real			Late Early Eb Early	
		900						
1000								
1100								
1200								
1300								
1400								

Figura 1.3. Cronología cerámica de Ceibal y otros sitios de las Tierras Bajas Mayas (Modificado de Sabloff [1975], Foias [1996], Bachand [2006], Culbert [1993] y T. Inomata).

PARTE II: INVESTIGACIONES EN LA PLAZA CENTRAL DEL GRUPO A

2. Excavaciones en la Plaza Central: Operación CB203K y 203L

Flory María Pinzón González y Sebastien De Muylder

INTRODUCCIÓN

El objetivo principal de la operación CB203K desde su inicio en el año 2013 fue encontrar la fachada oeste de la Estructura Xa'an. Dicha estructura fue encontrada en 2012 en la operación CB203B (Pinzón, 2012), definiendo en ese entonces la fachada o acceso en el lado este. La Estructura Xa'an es la plataforma este de la primera versión del Conjunto tipo Grupo E que data de Real Xe 1 (1000 - 950 A.C), la misma fue tallada en el suelo natural al igual que la Pirámide Ajaw ubicada en la parte oeste.

Desde la primera ocupación en la Plaza Central se observa una larga tradición de prácticas rituales realizadas en el eje central este-oeste, que comienzan con la colocación de escondites de piedra verde y siguen hasta el periodo Protoclásico con escondites de vasijas y rituales mortuorios.

En 2013 no fue posible llegar hasta la roca madre es por ello que en el presente año se siguió excavando en las Unidades 1 y 2 y asimismo se iniciaron las Unidades 3, 4 (de 2 x 2 m) y 5 (de 1.5 x 2 m) que fueron desviadas 2 m hacia el sur debido a la existencia de un gran árbol (Figura 2.1). En las futuras excavaciones se planea regresar al eje central exacto de la plaza.

CLÁSICO TARDÍO

Fase Tepejilote

En las Unidades 3, 4 y 5 comenzadas en el presente año se trabajó como nivel 1 y lote 1 el estrato desde el humus hasta la superficie del Piso 5 (identificado desde anteriores excavaciones). El motivo por el cual se decidió excavar de ésta manera es porque ya existe bastante información al respecto de estos pisos y se deseaba avanzar rápidamente hasta el Piso 5. El Piso 5 se trata de uno de los últimos pisos que cubría en su totalidad todas las estructuras y prácticas rituales realizadas en el eje central este-oeste.

Por lo tanto, se tiene conocimiento que los Pisos 1, 4a, 4b y 4c corresponden al período Clásico Tardío, específicamente de la fase Tepejilote, los cuales consisten en pequeños estratos de pedrín y tierra suave que varían en consistencias y tonos color café (ver informes Pinzón y Román 2010, Pinzón 2011 y Pinzón 2012).

PROTOCLÁSICO

Fase Cantutse-Chicanel 1?

Por su parte el Piso 4d corresponde a un estrato de piedras pequeñas bastante uniforme, que fue levantado como parte del nivel 1 y lote 1 pero que pertenece a la fase Cantutse.

El Piso 5 (3-5-1, 5-5-1, 4-5-1 y 2) es un estrato de tierra compacta color café oscuro con grava. La diferencia que se observó al excavar este piso hacia el oeste, es que éste estrato se hace más pequeño de grosor.

A partir del Piso 6 toda la estratigrafía ya conocida en la parte este de la plaza cambia hacia el oeste, esta vez se comienzan a encontrar pisos que se asocian a otras plataformas construidas entre el periodo Protoclásico y Preclásico Tardío (ver también, Miner 2010).

El Piso 6 en las Unidades 4 (nivel 5 lote 3) y 5 (nivel 5 lote 2) se observa estuco bastante erosionado, pero en la Unidad 3 (nivel 5 lote 2) (hacia el este) éste piso no se pudo ver claramente pues solo se encontraron algunas pequeñas partes de estuco y el resto era tierra café oscura con un poco de piedrín por ello fue levantado en el mismo lote que el Piso 5.

PRECLÁSICO TARDÍO

Fase Cantutse-Chicanel 1

Debajo del Piso 6 fue identificado un piso de estuco definido claramente en las Unidades 5 y 4, mientras, en la Unidad 3 no fue posible identificarlo.

Plataforma 1

El Piso 7 (4-5-5 y 5-5-3) probablemente fue construido para nivelar y cubrir por completo una plataforma edificada de una sola hilera de piedras con cara hacia el oeste. Las piedras que conformaban el muro de la misma eran de mediano tamaño y de caliza suave y compacta (3-6-1).

Fase Escoba-Mamom 3/Cantutse-Chicanel 1

Sobre el Piso 8 (3, 5-6-1 y 4-6-2) fue construida la plataforma anteriormente mencionada siendo éste al mismo tiempo el piso que corría al frente de la misma (en la parte oeste) para lo cual fue reutilizado. Este piso consistió en un estrato de estuco con relleno de piedrín y grava. En su superficie se observaron unas partes quemadas, probablemente como rito de terminación.

Entierro 150 (4-5-6)

Dentro de una intrusión de forma circular en el Piso 8 de estuco, y al frente de la plataforma, fue hallado el entierro de un individuo. En la superficie de la intrusión se observó bastante piedrín y tierra suelta café clara, fácil de identificar en un piso conservado de estuco; al quitar ese relleno se encontraron varias piedras medianas y grandes que fueron probablemente tiradas al momento de cubrir por completo el entierro quebrando al mismo tiempo una vasija grande que servía posiblemente como la tapadera del entierro.

La vasija era un plato grande de tipo Sierra Rojo y la misma se descubrió boca abajo. Posteriormente aprox. 53 cm más abajo se encontraron los restos humanos. El individuo se descubrió desarticulado y al parecer no fue depositada su cabeza pues no se hallaron restos del cráneo. Por el tamaño de los huesos es posible que se haya tratado de un adulto joven. Así mismo, dentro de los restos humanos fueron ubicados varios caracolitos probablemente de un collar o brazalete pues todos estaban perforados (Figura 2.2).

Escondite 170 (3-6-3)

Posteriormente al terminar de sacar el Piso 8 y definir el Piso 9 muy bien conservado, se pudo observar una acumulación de piedras en la Unidad 3, una de las piedras parecía una laja de caliza, por lo que se decidió levantar primeramente esa parte para definir si se trataba de un escondite. Aproximadamente unos 15cm más abajo fue descubierta la base de una vasija grande, boca abajo, de tipo Achiote Sin Engobe y su estado de conservación era muy malo pues estaba muy fragmentada. Por el relleno de la intrusión de tierra arcillosa, la vasija se encontró bastante húmeda.

Por dentro, la vasija estaba totalmente llena de tierra la cual fue guardada para análisis de flotación, unos pocos centímetros más abajo se halló un núcleo de obsidiana ubicado en la parte del frente de la vasija (Figura 2.3).

Después de excavar varios centímetros hacia abajo y de levantar varios pisos, se pudo observar que la misma intrusión llegaba hasta suelo estéril por lo que se decidió sacar por completo la tierra de la intrusión y fue encontrado nuevamente un núcleo de obsidiana esta vez colocado verticalmente al centro de la intrusión.

Fase Escoba-Mamom 3

El Piso 9 (4, 5-6-3 y 3-5-4) consistió en un estrato de pequeño grosor de estuco con relleno de grava, el piso era bastante uniforme y se encontraba muy bien conservado.

Intrusiones

Sobre el Piso 10 fueron encontradas cuatro intrusiones de las cuales tres no contenían material cultural y en una, algunos tiestos y lítica. Estas intrusiones pudieron haber sido realizadas para la colocación de postes.

Fase Escoba-Mamom 2/3

Los Pisos 10 (3, 4-6-6 y 5-6-5) y 11 por su parte también eran de estuco con relleno de grava. El Piso 10 se observó aun en buenas condiciones mientras que el 11 se encontró bastante erosionado. Éste último piso nivelaba una pequeña plataforma.

Entierro 154 (1-9-5)

En 2013 fue excavada lo que se creía era únicamente una intrusión, sin embargo, en el presente año al seguir excavando se comenzaron a descubrir huesos de un entierro.

El entierro consistió en el depósito de un infante que se encontraba completo en posición fetal, dentro de una intrusión circular en el Piso 7 de la Unidad 1 y 2 (que se asocia con el Piso 7 de 203C) y que se relaciona con el Piso 10 de las demás unidades. El infante no tenía artefactos asociados (Figura 2.4).

Fase Escoba-Mamom 2

Plataforma 2 (3-7-1)

Esta plataforma tenía un muro compuesto por dos hileras de piedras medianas y pequeñas, la mayoría no trabajadas, su superficie era de estuco y el piso que se unía a la base de la plataforma era el Piso 11b (4-6-7 y 5-7-1) muy bien conservado del mismo material. La fachada de la plataforma se encontraba hacia el oeste.

Los Pisos 12a (5-7-3), 12b (5-7-5) y 12c (5-7-6) en las Unidades 3 y 4 fueron excavados dentro del nivel 7 y lote 2, mientras en la Unidad 5 fueron definidos claramente, excavándolos en diferente lote, esto debido a que se trataba de tres pisos de estuco muy bien conservados que al principio se pensó era uno solo.

Por su parte en las Unidades 1 y 2 se siguió excavando el Piso 7 (1-9-7, 10-1; 2-6-1, 7-1y 8-1) identificado parcialmente en el año 2013 y que corresponde también al Piso 7 de 203C, que consistía en un estrato grueso de estuco blanco. El Piso 7 de las Unidades 1 y 2 se relaciona al Piso 11b de las Unidades 3, 4 y 5, sin definir en los siguientes niveles los pisos encontrados en las otras unidades.

Escondite 174 (5-7-2)

Sobre el Piso 12a fue colocado un escondite que contenía una piedra caliza trabajada con tapadera de cerámica. La piedra era cóncava, su uso fue probablemente para almacenar algún líquido, la tapadera de cerámica es tipo Sierra Rojo y la parte interior estaba quemada (Figura 2.4). Dentro de la piedra no se encontró algún artefacto o muestras de carbón, pero sí estaba llena de tierra que fue tomada para muestra de flotación.

Este escondite pudo haber sido un rito de terminación y dentro del artefacto de piedra pudo haberse quemado algo como parte del ritual.

Entierro 153 (1-10-2)

Este entierro fue descubierto dentro del estrato de estuco del Piso 7, que consistió en el depósito de cuatro individuos, tres de ellos por el tamaño de sus huesos, eran niños, mientras que el cuarto era probablemente un adulto joven. El adulto se encontraba en posición sedente y completamente articulado, mientras que de los niños solamente se encontraron algunas partes del cráneo, huesos superiores e inferiores (Figura 2.6).

Asociados a éstos individuos fueron encontrados cinco núcleos de obsidiana, dos cuentas de piedra verde, un fragmento de hacha de piedra verde, un caracol y dos piedras grises de canto trabajadas.

Entierro 158 (2-8-2)

Este entierro también consistió en el depósito de un infante completo en posición fetal al igual que el Entierro 154, no obstante, este infante fue depositado justo por debajo del Piso 7 (asociado al Piso 10 en las Unidades 3, 4 y 5), por lo que se considera es más temprano (Figura 2.7).

Fase Escoba-Mamom 1

Por debajo de la construcción del Piso 7 de estuco fue encontrado un estrato grueso de tierra café claro que cortaba varios pisos (2-7-2, 7-3, 7-4, 7-5, 7-7 y 7-8) y que era además intrusiva en el suelo natural, en algunas partes fue más profundo dentro de la roca madre que en otras.

La superficie de éste estrato por las alturas se relaciona al Piso 8 de la operación 203C y al Piso 13 de las Unidades 3, 4 y 5 de 203K, por lo tanto se cree que este estrato intrusivo hasta la roca madre rompió toda la serie de pisos que se encontraron más hacia el oeste y no fue posible identificar en donde éstos terminaban, pues ya no se observaron en la operación 203C.

Escondite 171 (1-10-6)

El escondite fue encontrado en una intrusión de forma cruciforme dentro del suelo estéril, orientada hacia los cuatro puntos cardinales. La intrusión cruciforme midió 1.75m este-oeste y 1.60m norte-sur, al centro, la intrusión era más profunda y los artefactos estaban cubiertos por un suelo plástico negro (Figuras 2.8).

En cada punto cardinal se encontraban artefactos como vasijas y hachas de piedra verde que se describen a continuación:

Al norte: tres hachas de piedra verde

Al sur: una vasija y dos hachas de piedra, una blanca y la otra verde.

Al este: una vasija y un hacha de piedra verde

Al oeste: una vasija, un hacha, una espátula de piedra verde y un espejo de pirita. Y por último,

Al centro: un percutor, un perforador, un hacha y un pectoral también de piedra verde.

Las vasijas aunque en muy mal estado de conservación, se cree pueden ser en forma de cantaros, pues se pueden observar algunos cuellos de ésta forma. El hallazgo de éste escondite hace recordar el escondite encontrado fortuitamente por la Universidad de Harvard cuando realizaban un pozo de sondeo en la parte sur de la plaza, en esa ocasión también encontraron 5 vasijas en forma de cántaro en los cuatro puntos cardinales, 5 hachas de jade y 1 perforador, además, un suelo plástico negro también cubría los artefactos (Smith, 1982:118, 244-245).

Escondite 172 (2-7-6)

Consistió en el hallazgo de un hacha de mediano tamaño depositada juntamente con tiestos quemados dentro de una intrusión en la roca madre (Figura 2.9).

Fase Real-Xe 3

Posteriormente se encontró el Piso 13 (3,4-7-3 y 5-7-7) compuesto por un estrato de tierra café claro, la característica de éste piso fue que en la parte este, el piso era más grueso y mientras más corría hacia el oeste era más delgado.

El Piso 13 en la Unidad 4, cubría un piso de piedrín que al mismo tiempo se encontraba sobre otro piso de estuco (Figura 2.10). El piso de piedrín identificado como 14 (4-7-4), se observa de igual manera al encontrado en 2012 por la Dra. Triadan en una de las excavaciones en la Corte Este que se encontraba asociado a la Estructura Domingo construida también durante la fase Real Xe 3, en ésta ocasión fue definido como un pórtico de dicha estructura (Triadan 2012:92), sin embargo, en la plaza no se puede asociar a alguna construcción pues no se encontró una estructura asociada.

Los Pisos 15a (5-7-8) y 15b (5-7-10), (3-7-7 y 4-7-5) consistieron en pequeños estratos de estuco. En las Unidades 3 y 4 los pisos fueron levantados como uno solo debido a que no se percibió el cambio, no obstante en la Unidad 5 fueron identificados claramente.

Seguidamente, se encontró lo que se consideraba el Piso 16, un estrato color café grisáceo. Sin embargo, al seguir excavando se pudo descubrir que en realidad se trataba del primer piso de la Estructura Xa'an.

Este primer piso cubría dos pequeñas gradas con fachada hacia el oeste que únicamente se diferenciaban por tonalidades más claras de gris y además contenía partes blancas como el suelo estéril.

Al levantar el piso de la Estructura Xa'an y las pequeñas gradas se encontró el suelo estéril de color blanco con matices verdes y rojos, característicos de la roca madre en las Unidades 3 y 4, no obstante, al límite de la Unidad 4 el estrato de color café grisáceo bajaba dejando una grada, posiblemente erosionada en la roca madre. El hallazgo de ésta grada indica que se trata del acceso principal de la Estructura Xa'an en la parte oeste.

En la Unidad 5 el Piso 16 se observó diferente, pues contenía en su relleno bastante piedrín, por lo que se cree que esta parte del piso fue una extensión para nivelar la grada que existía a partir del límite oeste de la Unidad 4.

CONCLUSIONES

Después de una larga búsqueda del acceso oeste de la Estructura Xa'an, éste año fue uno de los hallazgos más importantes al identificarlo en la Unidad 5. El acceso oeste posiblemente fue desmantelado y posteriormente fue realizada una extensión de la misma estructura nivelando uno de sus primeros pisos, extensiones que se observan más claramente en las excavaciones realizadas en la Operación CB203L que se describen más abajo.

El hallazgo de los distintos entierros y de los escondites colocados dentro del margen central del eje este-oeste de la plaza sigue mostrando un patrón de una larga tradición religiosa que desde el momento de la ocupación del sitio y construcción del Conjunto tipo Grupo E fue realizada, observándose la importancia ceremonial de ésta área que se mantuvo hasta el periodo Protoclásico.

La realización de escondites de hachas de piedra verde en Ceibal y en forma cruciforme, señalan una vez más, relaciones interregionales con el área de Chiapas y La Venta que indican además que estos rituales comunales fueron realizados antes del apogeo de La Venta, pues sus depósitos fueron previo a dicha época.

Todas las excavaciones realizadas en esta operación fueron finalizadas hasta llegar al suelo natural.

EXCAVACIONES AL NORTE DE LA PLAZA CENTRAL: OPERACIÓN CB203L

La Operación 203L fue iniciada en el año 2013 con una unidad de 1m x 3m finalizando la misma hasta llegar a suelo estéril. El objetivo principal de ésta operación fue observar la secuencia constructiva de acuerdo a lo hallado anteriormente en la operación 203H y comprobar el ancho de la Estructura Xa'an (trabajada en roca madre) encontrada en el eje central este-oeste de la plaza con la Operación CB203B. En el presente año la operación se extendió ubicando seis unidades más, esta vez de 1 x 2 m, ubicadas al oeste de la Unidad 1 siguiendo el eje norte este-oeste (ver Figura 2.1).

CLÁSICO TARDÍO

Fase Tepejilote-Bayal

En las Unidades 2, 3, 4 y 5 se excavó primeramente como nivel 1 y lote 1 el humus. En esta parte norte de la plaza el humus es bastante grueso, húmedo e irregular por lo que en algunas partes se excavo un poco más profundo que en otras.

Por su parte las Unidades 6 y 7 el nivel 1 y lote 1 consistió en la excavación del humus y varios pisos. En la Unidad 6 hasta el Piso 8 y en la Unidad 7 hasta el Piso 6.

Los Pisos 1 (4-1) y 2 (4-2) eran bastante uniformes y consistieron en un estrato de suelo oscuro con bastante pedrín.

PROTOCLÁSICO

Fase Xate

En adelante la enumeración de los pisos fue cambiada siguiendo con los Pisos 5 y 6 en lugar de 3 y 4 de acuerdo a la Unidad 1 trabajada en 2013 (ver Figura). El Piso 5 (5-1) consistió en un estrato de tierra oscura con piedrín, mientras que el Piso 6 (5-2) era de estuco, este último piso no estaba bien conservado desde la Unidad 3 hasta la 6. En la Unidad 1 el Piso 6 era de un estuco polvoroso bastante erosionado, luego no se observó en las siguientes unidades y en la 7 se observó el piso bien conservado y compacto.

Debido a los varios estudios realizados en la Plaza Central, se sabe que el Piso 6 fue uno de los primeros en ser construidos y cubrir la mayoría de las construcciones preclásicas.

PRECLÁSICO TARDÍO

Fase Cantutse

En este periodo fue construido el Piso 7 (5-3), este piso se encontró en muy buenas condiciones siendo este de un suelo café claro y compacto en su superficie con relleno de piedrín un poco delgado.

Intrusión (2-5-4)

Dentro del Piso 8 fue encontrada una intrusión que consistió en un suelo oscuro con piedrín, posiblemente fue un agujero de poste. No tenía artefactos.

PRECLÁSICO MEDIO

Fase Escoba-Mamom

El Piso 8 (6-1 y 7-6-1,2) consistió en un estrato bastante grueso de estuco polvoroso el cual contenía por su matriz poco material pero suficiente diagnóstico para identificarlo dentro de esta fase. Su superficie era bastante uniforme y compacta, al comienzo de su construcción fue colocada una base de piedrín y posteriormente se construyó el gran estrato de estuco.

Fase Real-Xe 3

Seguidamente se encontró el Piso 9 (6-2, 7-6-3, 4) también de un suelo claro y relleno de piedrín, este piso cubrió por completo la construcción de la Estructura Xa'an y sus extensiones, según se logró observar en éstas excavaciones (Figuras 2.13-2.15).

Estructura Xa'an 2da Extensión

Los pisos identificados como 10, 11a, 11b, 12, y 13 en las Unidades 5 a la 7 corresponden a la segunda extensión realizada en la Estructura Xa'an. Los pisos consistieron en estratos de arcilla plástica en distintas tonalidades de gris café, algunos pisos tenían mayor concentración de material cerámico que otros. Todos estos pisos llegaban hasta una grada o parte del límite de la primera extensión de esta estructura, (acceso oeste) nivelando de ésta manera el primer piso (ver Figura 2.14 y 2.15).

Estructura Xa'an 1ra Extensión

La primera extensión consistió en la construcción de una grada o límite más alto y extenso al oeste que se unía a otra grada que era parte de la estructura original (ver Figura 2.14 y 2.15).

Estructura Xa'an original

La estructura original de la plataforma este, según se observó en el área noroeste de la plaza, consistió en un acceso de dos gradas de poca altura (ver Figura 2.14 y 2.15) del mismo estrato de suelo plástico gris café construido o tallado sobre la roca madre.

CONCLUSIONES

Según muestran los estudios realizados en la Plaza Central del Grupo A, se puede decir que la Estructura Xa'an probablemente tuvo un acceso oeste central remetido (CB203K) y al noroeste dos distintas extensiones realizadas siempre en un mismo lapso de tiempo, pues el estudio de la cerámica así lo demuestra (CB203L).

Estas excavaciones al mismo tiempo indican que la Estructura Xa'an fue bastante larga, pues en las mismas no fue posible encontrar su límite norte.

Al noroeste de la plaza no se encontraron escondites o entierros, raras veces algunas intrusiones, contrario al eje central de la plaza. Probablemente las intrusiones encontradas únicamente fueron realizadas para postes de construcciones perecederas, sin ningún enfoque ritual.

Todas las excavaciones realizadas en éste año fueron finalizadas hasta llegar a roca madre.

OPERACIÓN CB203K

Unidad 1

Nivel-Lote	Descripción
9-7	Estuco y tierra suelta con piedrín, 2.5Y 8/2
10-1	Estuco y piedrín, 2.5Y 8/2
10-2	Entierro 153, relleno de estuco y tierra suelta, 2.5Y 2/8 & 10YR 6/3
9-5	Entierro 154, relleno de tierra arcillosa 2.5Y 6/2
10-3	Estuco y tierra café clara, 10YR 5/2
10-4	Tierra suelta, 10YR 5/2
10-5	Tierra suelta, 10YR 5/2 & 2.5Y 8/3
10-6	Escondite 171, relleno de tierra café claro, 10YR 6/3

Unidad 2

Nivel-Lote	Descripción
6-1	Estuco y piedrín, 2.5Y 8/2
6-2	Tierra café clara con piedrín
7-1	Estuco y piedrín, 2.5Y 8/2
7-2	Tierra café gris
7-3	Tierra gris con carbón, 10YR 6/3
7-4	Tierra quemada con muchos tiestos, 10YR 6/3
7-5	Tierra gris quemada, 10YR 6/3
7-6	Escondite 172, tierra gris, 10YR 6/3
7-7	Tierra gris, intrusión en roca madre 10YR 6/3
7-8	Tierra gris, intrusión en roca madre 10YR 6/3
8-1	Estuco y tierra café clara, 2.5Y 8/2
8-2	Entierro 158, tierra arcillosa, 2.5Y 8/2 & 10YR 6/3

Unidad 3

Nivel-Lote

Descripción

1-1	Humus y varios pisos, varios colores
5-1	Piso de tierra suelta, 7.5YR 3/2
5-2	Piso de tierra suelta, 7.5YR 3/2
5-4	Piedra mediana con tierra suelta, dentro de construcción, 10YR 5/3
5-5	Piedras y tierra café, construcción de piedra, 10YR 6/3
5-6	Tierra suelta con poco piedrín, 10YR 6/3
6-1	Estuco y tierra suelta con piedrín, 10YR 6/3 2.5Y 8/4
6-2	Estuco y tierra suelta con piedrín, 10YR 6/3 2.5Y 8/4
6-3	Escondite 170, tierra suelta con poco piedrín, 2.5Y 6/3
6-4	Estuco y tierra con piedrín, 2.5Y 6/3
6-5	Tierra con piedrín, 2.5Y 6/3
6-6	Estuco con piedrín, 2.5Y 7/3
7-1	Estuco y tierra suelta, 2.5Y 8/2
7-2	Estuco y mucho piedrín mediano, 2.5Y 8/1 & 2.5Y 8/4
7-3	Tierra compacta, 2.5Y 7/3
7-4	Tierra café, intrusión
7-5	Tierra café, intrusión
7-6	Tierra café, intrusión
7-7	Estuco y poco piedrín, 2.5Y 7/4
7-8	Tierra suelta con poco piedrín, 2.5Y 6/3

Unidad 4

Nivel-Lote

Descripción

1-1	Humus y varios pisos, varios colores
5-1	Piso de tierra suelta, 7.5YR 3/2
5-2	Piso de tierra suelta, 7.5YR 3/2
5-3	Estuco y tierra suelta, 10YR 6/3
5-4	Tierra con piedrín y piedras medianas, 10YR 4/3
5-5	Estuco, 7.5YR 7/2 & 7.5YR 7/3
5-6	Entierro 150, tierra suelta con piedrín, 2YR 6/3
5-7	Tierra suelta con piedrín, 10YR 5/2
6-2	Piso de estuco, 2.5Y 8/2 & 2.5Y 6/2
6-3	Estuco y tierra café con piedrín, 2.5Y 8/2 & 2.5Y 7/2
6-4	Tierra suelta con piedrín, 2.5Y 6/3
6-5	Tierra suelta con piedrín, 2.5Y 6/3
6-6	Estuco y piedrín, 2.5Y 7/3
6-7	Estuco y piedrín, 2.5Y 7/3
7-1	Estuco y piedrín, 2.5Y 8/2
7-2	Estuco y mucho piedrín mediano, 2.5Y 8/1 & 2.5Y 8/4
7-3	Tierra compacta, 2.5Y 6/3
7-4	Piedrín con tierra café, 2.5Y 7/4
7-5	Estuco y poco piedrín, 2.5Y 8/4
7-6	Tierra suelta con piedrín, 2.5Y 6/3

Unidad 5

Nivel-Lote

Descripción

1-1	Humus y varios pisos, varios colores
5-1	Tierra oscura con poco piedrín, 10YR 3/2
5-2	Estuco y tierra oscura

5-3	Estuco, 2.5Y 8/2 & 10YR 4/2
6-1	Estuco y tierra clara con piedrín, 2.5Y 8/2
6-2	Tierra café, 10YR 6/3
6-3	Estuco y piedrín, 2.5Y 8/2
6-4	Tierra suelta gris
6-5	Estuco y piedrín, 2.5Y 8/2
7-1	Estuco y piedrín, 2.5Y 8/2
7-2	Escondite 174, estuco, 2.5Y 8/2
7-3	Estuco y piedrín, 2.5Y 8/2
7-4	Tierra café clara, 10YR 7/3
7-5	Estuco y bastante piedrín, 2.5Y 8/2
7-6	Estuco, 2.5Y 8/2
7-7	Tierra café, 2.5Y 6/3
7-8	Estuco, 2.5Y 8/2
7-9	Tierra arcillosa, 2.5Y 6/3
7-10	Estuco, 2.5Y 8/2
7-11	Tierra arcillosa, 10YR 5/2
8-1	Tierra arcillosa, 10YR 5/2
8-2	Tierra arcillosa, 10YR 5/2
8-3	Tierra arcillosa, 10YR 5/2

OPERACIÓN CB203L

Unidad 2

Nivel-Lote	Descripción
1-1	Humus, 10YR 3/1
4-1	Tierra suelta con piedrín, 10YR 3/2
4-2	Tierra suelta con piedrín, 10YR 3/2
5-1	Tierra oscura con piedrín, 10YR 3/2
5-2	Estuco y tierra con piedrín y piedra mediana, 10YR 5/3
5-3	Tierra con piedrín, 2.5Y 7/3
5-4	Tierra con bastante piedrín, 2.5Y 6/3
6-1	Estuco y piedrín, 2.5Y 8/2
6-2	Piedrín con tierra clara, 2.5Y 7/3
6-3	Tierra arcillosa con piedras, 2.5Y 6/3
7-1	Tierra arcillosa con piedrín, 2.5Y 6/3
7-2	Tierra arcillosa con muchas piedras, 2.5Y 5/2

Unidad 3

Nivel-Lote	Descripción
1-1	Humus, 10YR 2/2
4-1	Tierra suelta con piedrín, 10YR 5/3
4-2	Tierra suelta con piedrín, 2.5Y 4/2
5-1	Tierra oscura con piedrín, 2.5Y 3/2
5-2	Estuco con tierra, piedrín y piedras medianas, 10YR 5/3
5-3	Tierra clara con piedrín, 2.5Y 7/3
6-1	Estuco y piedrín, 2.5Y 8/2
6-2	Piedrín y tierra café clara, 2.5Y 7/3
6-3	Tierra arcillosa con piedrín blanco, 2.5Y 6/3
7-1	Tierra arcillosa con piedrín blanco, 2.5Y 6/3
7-2	Tierra arcillosa con mucha piedra blanca, 2.5Y 5/2

Unidad 4

Nivel-Lote	Descripción
1-1	Humus, 10YR 3/2
4-1	Tierra suelta con piedrín, 10YR 5/3
4-2	Tierra suelta con piedrín, 2.5Y 3/2
5-1	Tierra oscura con piedrín, 2.5Y 3/2
5-2	Tierra oscura con bastante piedrín y piedras medianas, 10YR 5/3
5-3	Tierra con piedrín, 2.5Y 7/3
6-1	Estuco y piedrín, 2.5Y 8/2
6-2	Piedrín y tierra café clara, 2.5Y 7/3
6-3	Tierra arcillosa con piedrín blanco, 2.5Y 6/3
7-1	Tierra arcillosa con piedrín, 10YR 4/2
7-2	Tierra arcillosa con mucha piedra blanca, 10YR 4/2

Unidad 5

Nivel-Lote	Descripción
1-1.1	Humus, 10YR 2/2
4-1	Tierra suelta con piedrín, 10YR 4/2
4-2	Tierra suelta con piedrín, 2.5Y 3/2
5-1	Tierra oscura con piedrín, 2.5Y 3/2
5-2	Tierra oscura con bastante piedrín y piedras medianas, 10YR 5/3
5-3	Tierra con piedrín, 2.5Y 7/3
6-1	Estuco y piedrín, 2.5Y 8/2
6-2	Piedrín y tierra café clara, 2.5Y 7/3
6-3	Tierra arcillosa con piedrín blanco, 2.5Y 6/3
7-1	Tierra arcillosa con piedrín, 10YR 4/2
7-2	Tierra arcillosa con mucha piedra blanca, 10YR 4/2
8-1	Roca madre Lote no excavado

Unidad 6

Nivel-Lote	Descripción
1-1.1	Varios estratos, varios colores
6-1	Estuco y poco piedrín, 2.5Y 8/3
6-2	Tierra suelta con piedrín, 2.5Y 7/3
6-3	Tierra suelta con piedrín, 2.5Y 6/3
7-1	Tierra arcillosa con mucho piedrín, 10YR 6/2
7-2	Tierra compacta, 10YR 5/2
7-3	Tierra café oscuro, 10YR 8/3
7-4	Tierra compacta con mucho piedrín, 10YR 5/3

Unidad 7

Nivel-Lote	Descripción
1-1	Humus y varios pisos, varios colores
5-2	Tierra con piedrín, 10YR 8/3 & 10YR 6/3
5-3	10YR 7/3
6-1	Estuco y poco piedrín, 2.5Y 8/3
6-2	Tierra suelta, 2.5Y 6/3
6-3	Tierra suelta, 2.5Y 7/2
6-4	Estuco y piedrín, 2.5Y 8/3
6-5	Tierra suelta de color claro con mucho piedrín 10YR 5/3
7-1	Tierra arcillosa con mucho piedrín 10YR 6/3

- 7-2 Tierra compacta de color café 10YR 5/2
- 7-3 Tierra de color café, 10YR 8/3
- 7-4 Tierra compacta, 10YR 5/3
- 7-5 Tierra compacta con mucho piedrín, 10YR 5/3

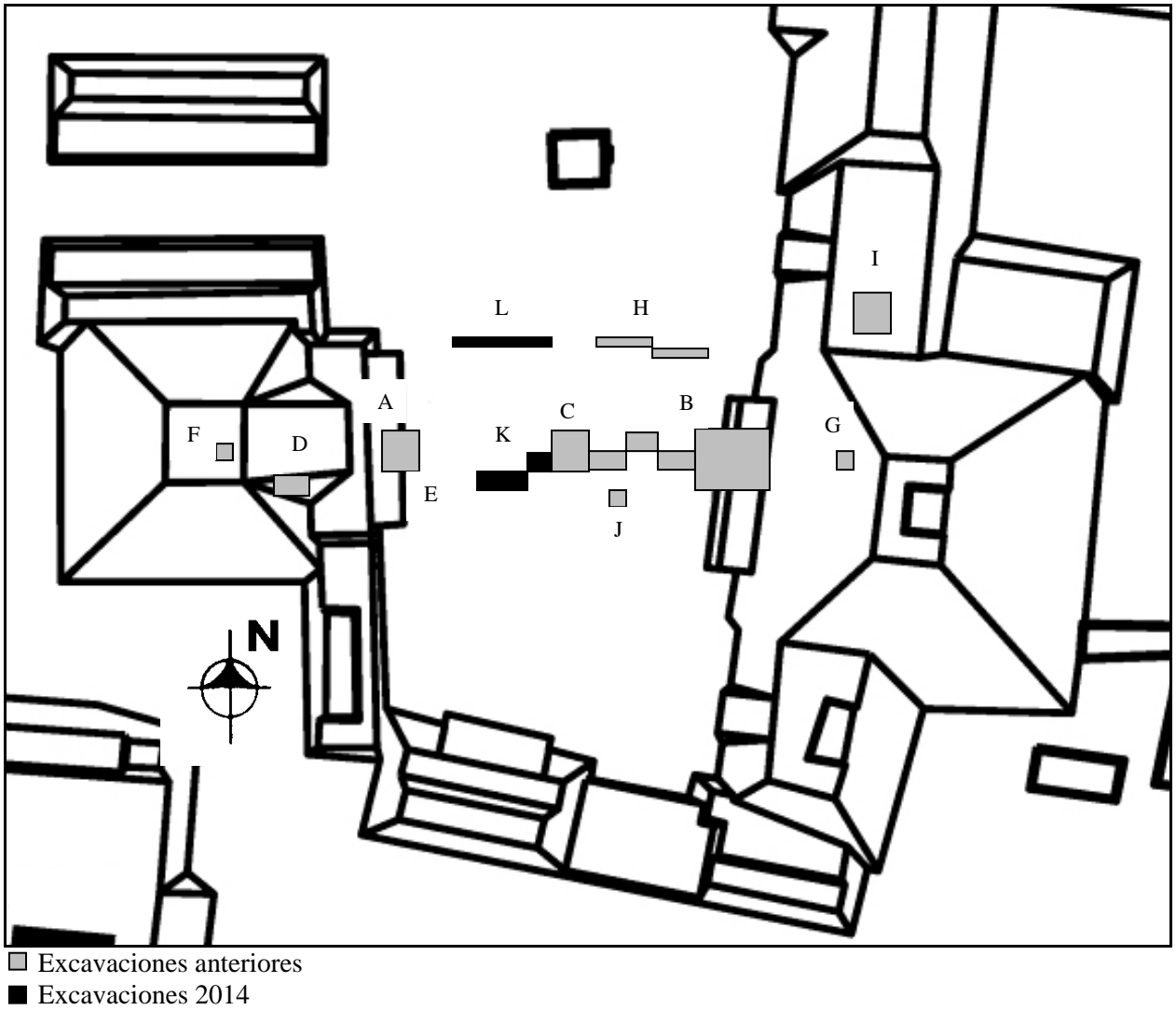


Figura 2.1. Mapa de excavaciones en la Plaza Central del Grupo A (Realizado por F. Pinzón).

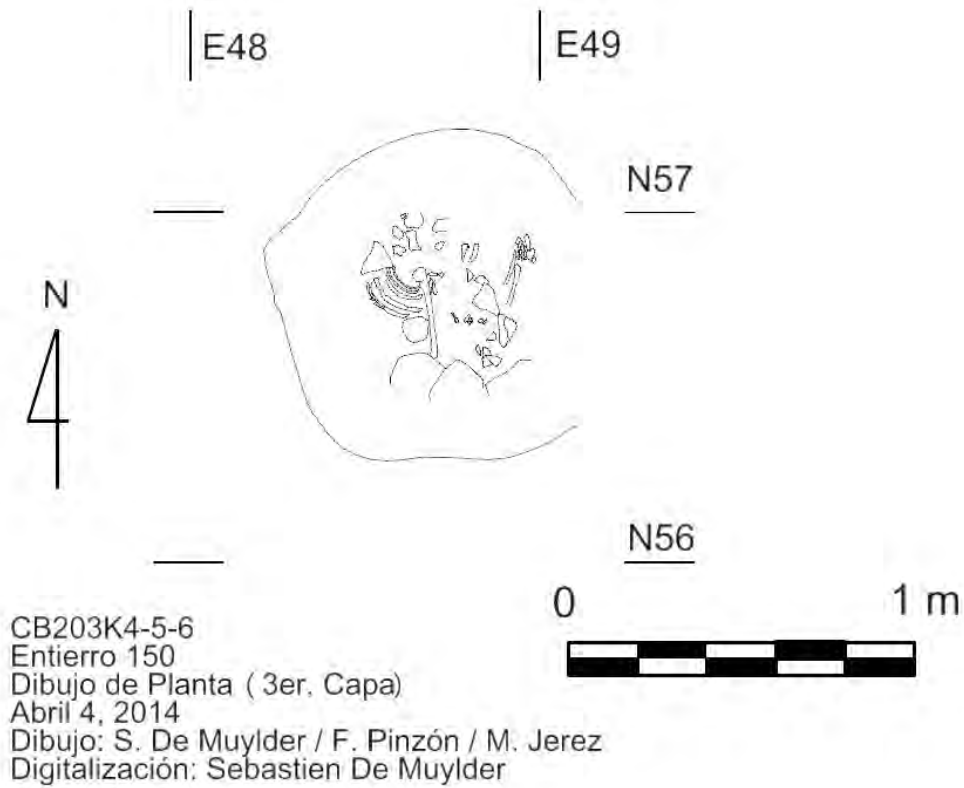


Figura 2.2. Entierro 150 (4-5-6).

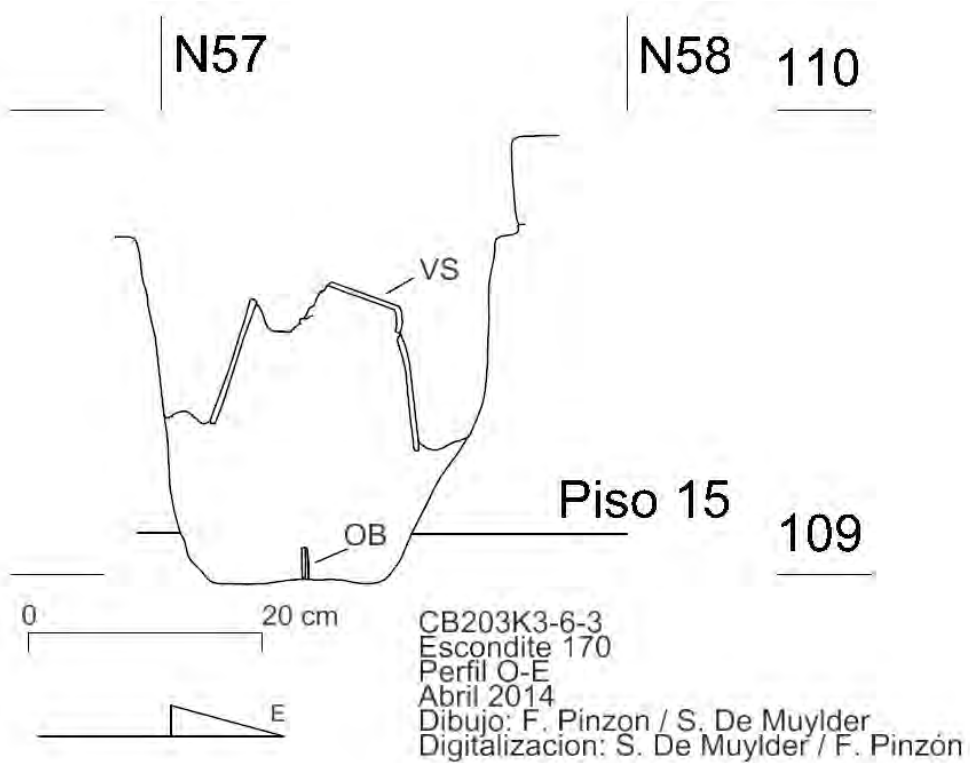


Figura 2.3. Escondite 170 (3-6-3) (Foto por F. Pinzón).

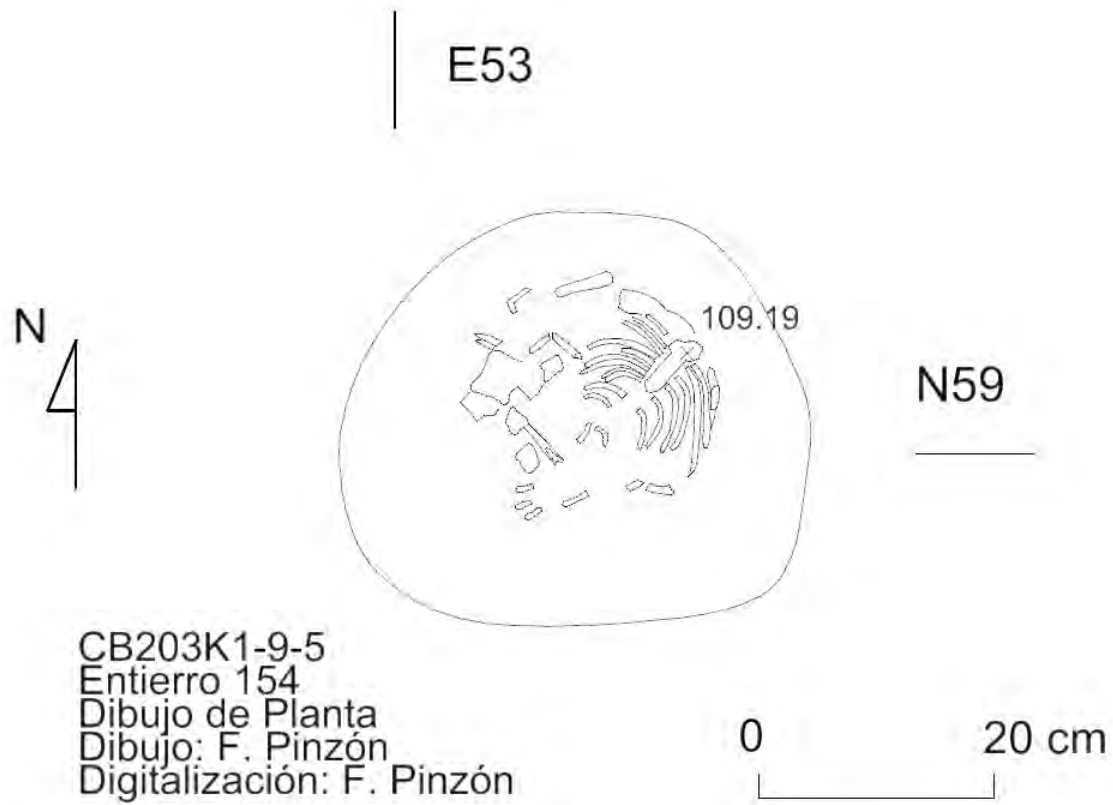


Figura 2.4. Entierro 154 (1-9-5).



Figura 2.5. Escondite 174 (5-7-2) (Foto por F. Pinzón).

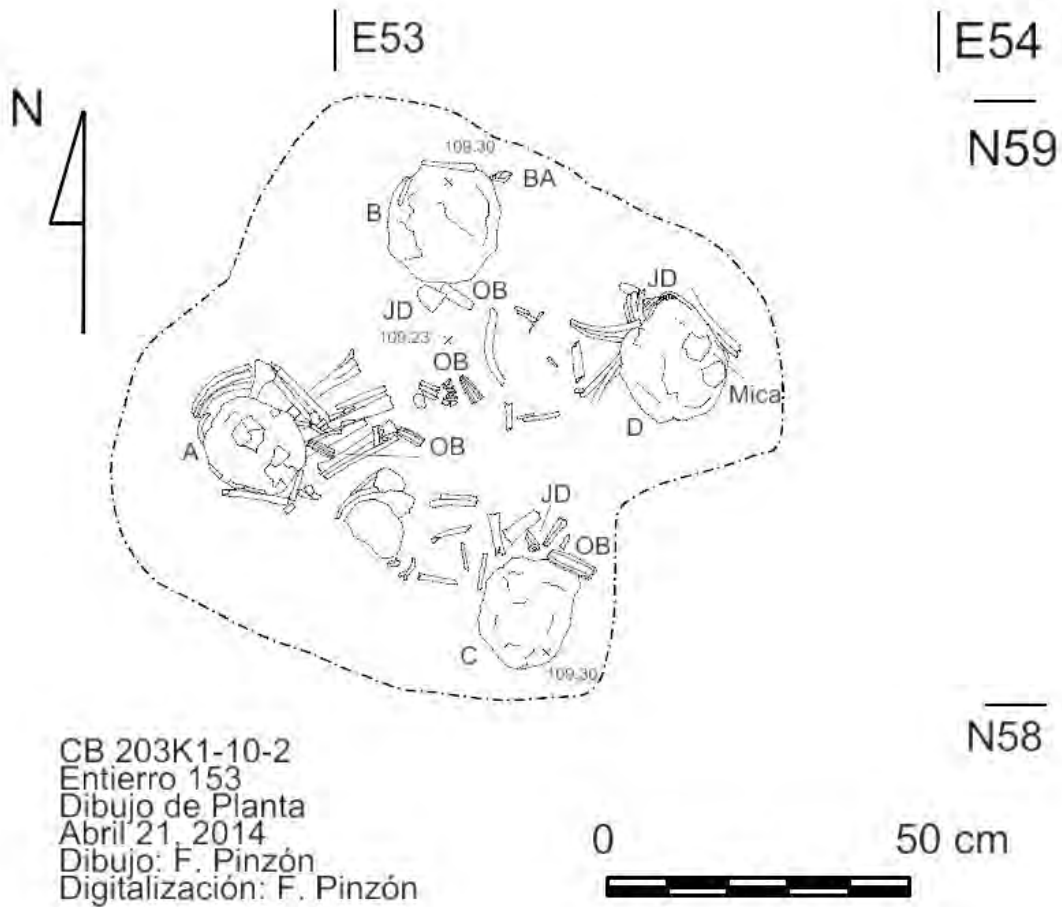


Figura 2.6. Entierro múltiple 153 (1-10-2).

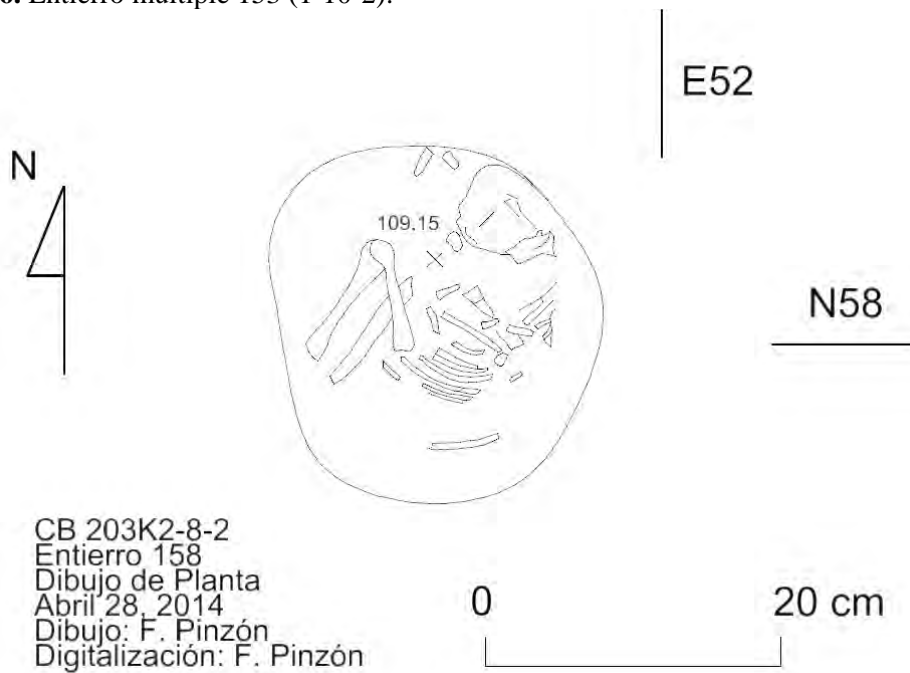


Figura 2.7. Entierro 158 (2-8-2).

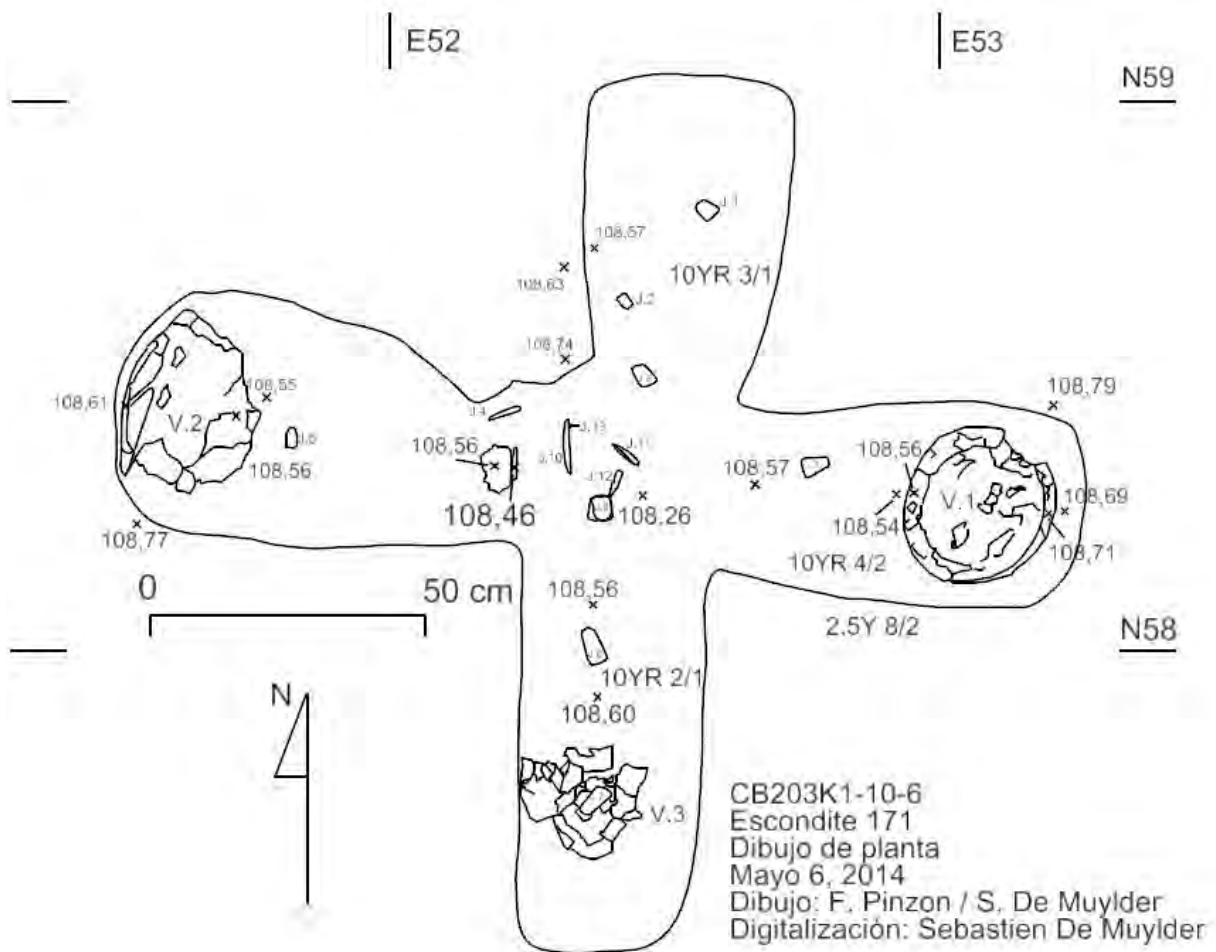


Figura 2.8. Escondite 171 (1-10-6).



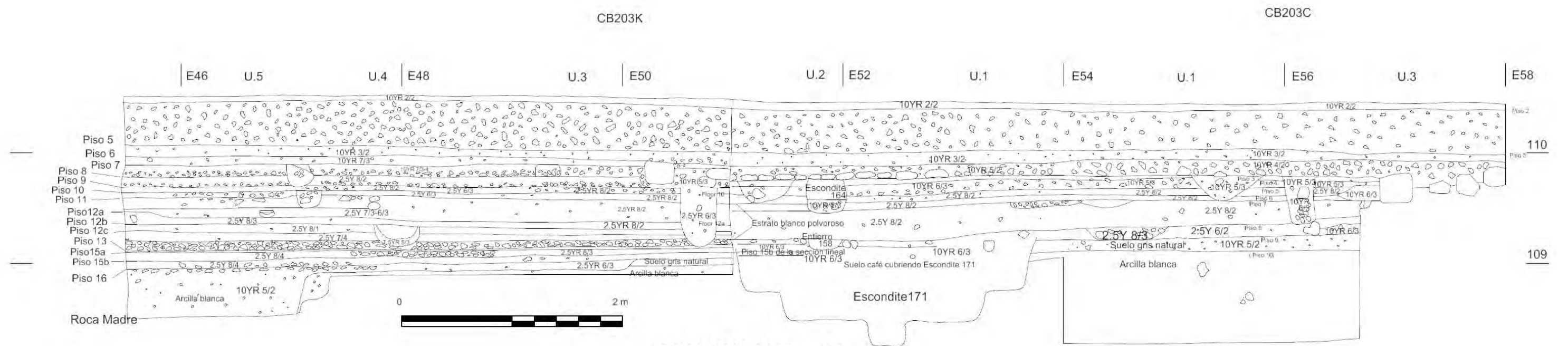
Figura 2.9. Escondite 172 (2-7-6) (Foto por F. Pinzón).



Figura 2.10. Piso 14 de pedrín e Intrusión que contenía una piedra en posición vertical (3-7-4) (Foto por F. Pinzón).



Figura 2.11. Acceso oeste de la Estructura Xa'an (Foto por F. Pinzón).

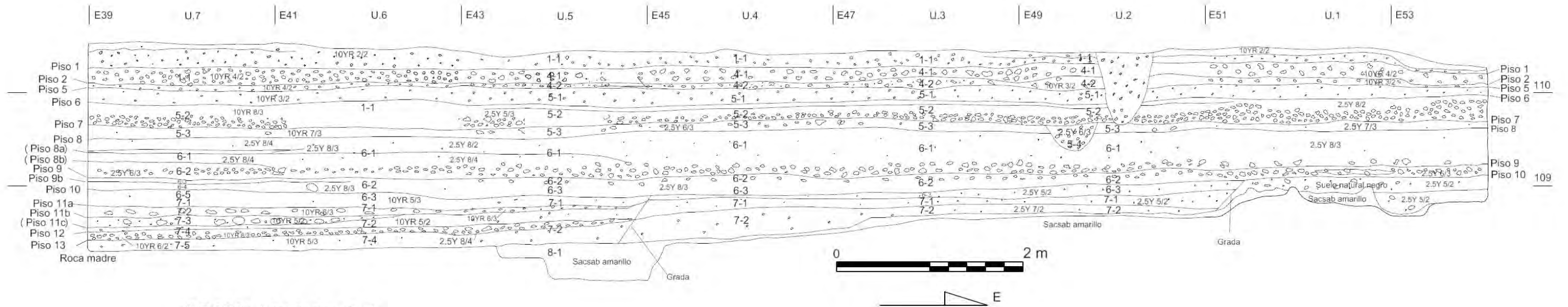


CB203K Unidades 1-5
 Perfil Norte
 Mayo 2014
 Dibujo: Flory Pinzon
 Digitalización: Sebatien De Muylder

Figura 2.12. Perfil Norte CB203K



Figura 2.14. Excavación mostrando parte de la Estructura Xa'an original (Foto por F. Pinzón).



CB203L Unidades 1-7
 Perfil Norte (N79)
 Mayo 2014
 Dibujo: Sebastien De Muylder
 Digitalización: Sebastien De Muylder

Figura 2.15. Perfil Norte CB203L.

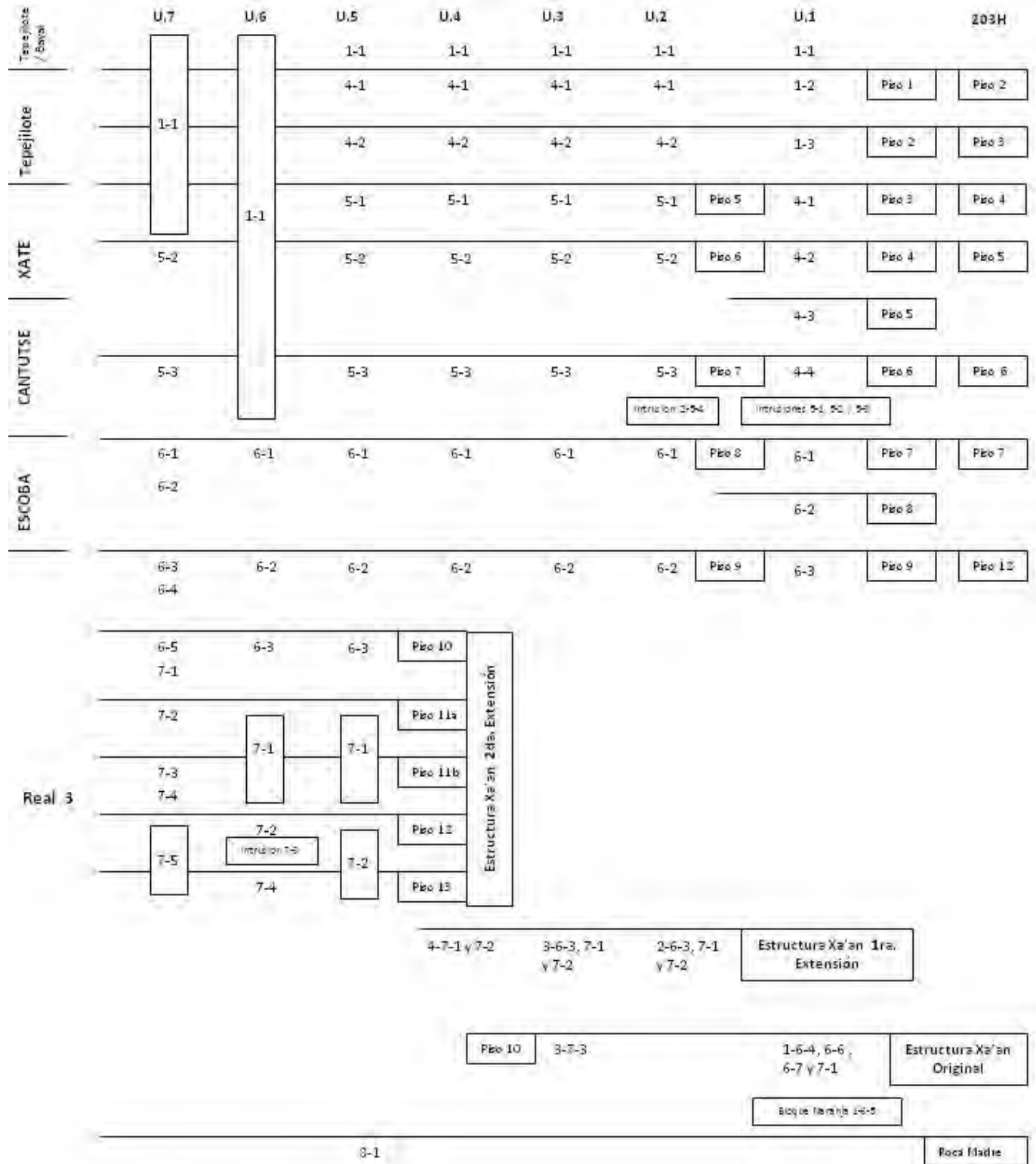


Figura 2.16. Esquema de lotes de la Operación CB203L. Elaborado por F. Pinzón.

3. Excavaciones en la base de la Plaza Central: Operación CB217A

Ashley Sharpe

INTRODUCCIÓN

Esta operación fue ubicada al lado este de la base de la plataforma del Grupo A, cercana a las Estructuras A-35 y A-37 (Figura 3.1). El objetivo principal fue encontrar evidencia de la época Arcaica o período Preclásico Temprano si hubiera existido en el sitio Ceibal. En las excavaciones debajo de la Estructura A-20 y en la Plaza Central del Grupo A de las temporadas anteriores, se encontró material cultural del período Preclásico Medio sobre la superficie de la roca madre (Ortíz 2011; Pinzón 2012). De haber existido material cultural del período Arcaico o Preclásico Temprano en Ceibal, es posible que se hubiera quitado y transportado a otro lugar, posiblemente al lado de la plataforma del Grupo A. Una actividad de construcción similar ocurrió en el sitio de Chiapa de Corzo en Chiapas, México, donde el material del período Preclásico Temprano fue descubierto en la base y lado del Montículo 1 (Lowe y Agrinier 1960:7). Si la construcción de la plataforma en Ceibal fue similar, se esperaría encontrar evidencia del período Preclásico Temprano en la base de la plataforma del Grupo A.

EXCAVACIÓN DE LA UNIDAD 1

La operación fue una sola unidad de 2 x 1 m, ubicada cerca de la base este de la plataforma del Grupo A. El primer nivel consistió en una mezcla de humus y derrumbe. El nivel 2 fue un metro de arcilla negra muy compacta, con pedrín. No hubo evidencia de un piso hasta más del metro de profundidad (Nivel 4-1). Se encontraron muy pocos artefactos en el derrumbe y arcilla y la mayoría fueron tiestos erosionados. Los tiestos fueron fechados para el período Clásico Tardío hasta el Nivel 2-3.

Los Pisos 1 a 7 (Niveles 4-1 a 5-6) fueron de la fase Cantutse-Chicanel. El relleno de los Pisos 1 y 2 consistió de tierra café-gris, y no fue tan compacto como los niveles anteriores. El relleno del Piso 2 (Nivel 4-3) además, tuvo muchos fragmentos de carbón. Los Pisos 1 a 3 fueron destruidos, pero cada piso consecutivo estaba en mejores condiciones que el piso anterior. El relleno del Piso 3 (Nivel 5-1) cambió a un color más claro y a una textura arenosa, fue similar en los Pisos 4 hasta 6, con unas piedras pequeñas y muy pocos artefactos.

El Piso 7 tuvo más tiestos que los niveles superiores, y la cerámica fue de la fase Escoba-Mamom del período Preclásico Medio (Figura 3.2). Los Pisos 7 y 8 tuvieron muchos caracoles terrestres y del río (*Pomacea*). El Piso 8 fue construido sobre la roca madre, que fue visible en la parte sureste de la unidad. Es posible que este piso haya sido una construcción que se realizó para nivelar la superficie del suelo estéril (Figura 3.3). El material cultural en el relleno del Piso 8 incluía tiestos del período Preclásico Medio, muchos caracoles, fragmentos de pedernal además de obsidiana, y una cuenta de piedra verde, posiblemente jade.

CONCLUSIÓN

En la excavación no se encontró evidencia de los períodos Arcaico o Preclásico Temprano, de hecho, la unidad determinó que la ocupación más temprana en esta parte del sitio fue del período Preclásico Medio, cuando la roca madre fue nivelada para construir el primer piso (Piso 8). La mayor parte de la historia ocupacional fue fechada para el período Preclásico Tardío,

específicamente la fase Cantutse-Chicanel. Después de la construcción del piso final (Piso 1), parece que el área no fue utilizada como un espacio de vida. Es posible que la arcilla negra y compacta sea evidencia de un jardín o una terraza construida durante el periodo Clásico Tardío (Figura 3.4 y 3.5).

OPERACIÓN CB217A

Unidad 1

Nivel-Lote	Descripción
1-1	Humus, color 7.5YR 3/1.
2-1	Tierra compacta con algunas piedras de caliza, color 7.5YR 3/2.
2-2	Suelo compacto con piedras y piedrín, color 7.5YR 4/1.
2-3	Barro muy compacto sin piedras, color 10YR 4/1.
4-1	Barro muy compacto con pocas piedras, color 10YR 4/2.
4-2	Tierra seca con piedras medianas, color 10YR 5/2.
4-3	Tierra con piedrín y pocas piedras pequeñas, color 10YR 5/2.
5-1	Suelo seco arenoso con pocas piedras, color 2.5Y 6/2.
5-2	Suelo arenoso, color 10YR 6/2.
5-3	Tierra con algunas piedras pequeñas y piedrín, color 10YR 5/2.
5-4	Suelo seco con piedrín y pocas piedras, color 7.5YR 5/2.
5-5	Relleno café sin piedras, color 10YR 6/2.
5-6	Relleno café sin piedras, color 10YR 5/2.
6-1	Relleno con piedrín y pocas piedras pequeñas, color 10YR 5/2.
6-2	Relleno sobre roca madre con algunas piedras de caliza, color 2.5Y 7/2.
6-3	Roca madre, color 2.5Y 7/2.

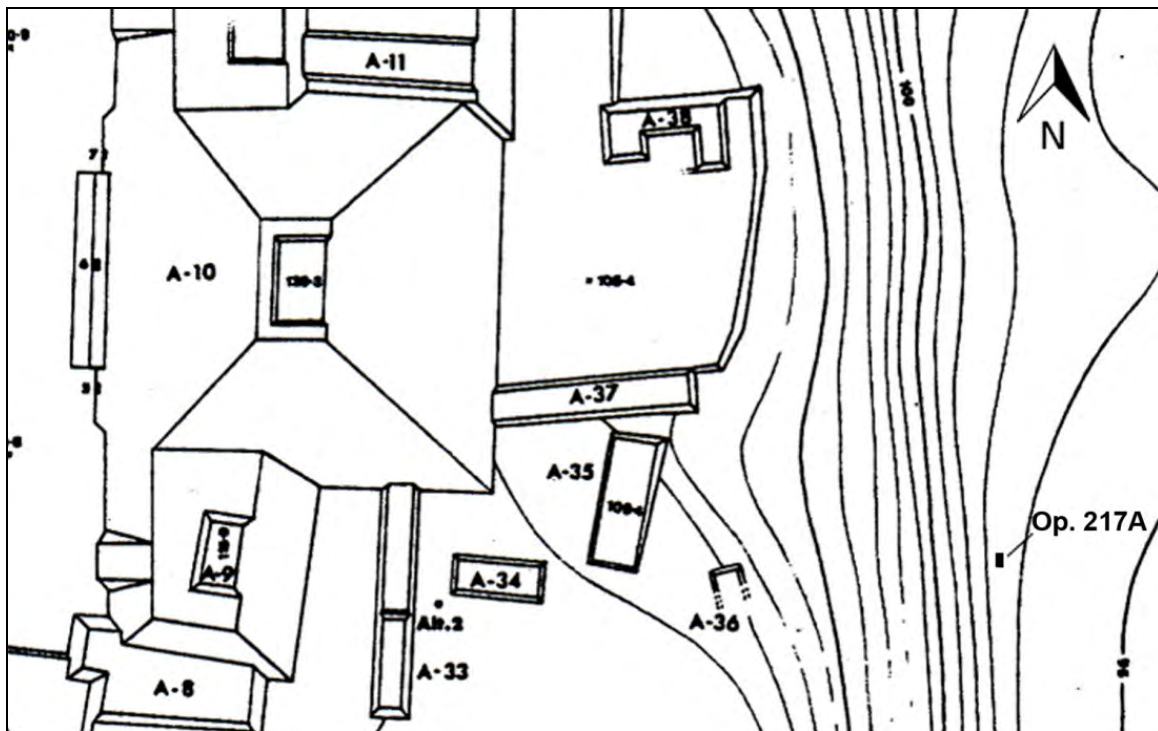


Figura 3.1. Ubicación de la Operación CB217A (Smith 1982: Mapa 1; modificado por Ashley Sharpe).



Figura 3.2. Nivel de Piso 7 y vista de estratigrafía del muro norte (Foto por Ashley Sharpe).



Figura 3.3. Nivel de Piso 8 y superficie parcial de la roca madre en el lado este (Foto por Ashley Sharpe).

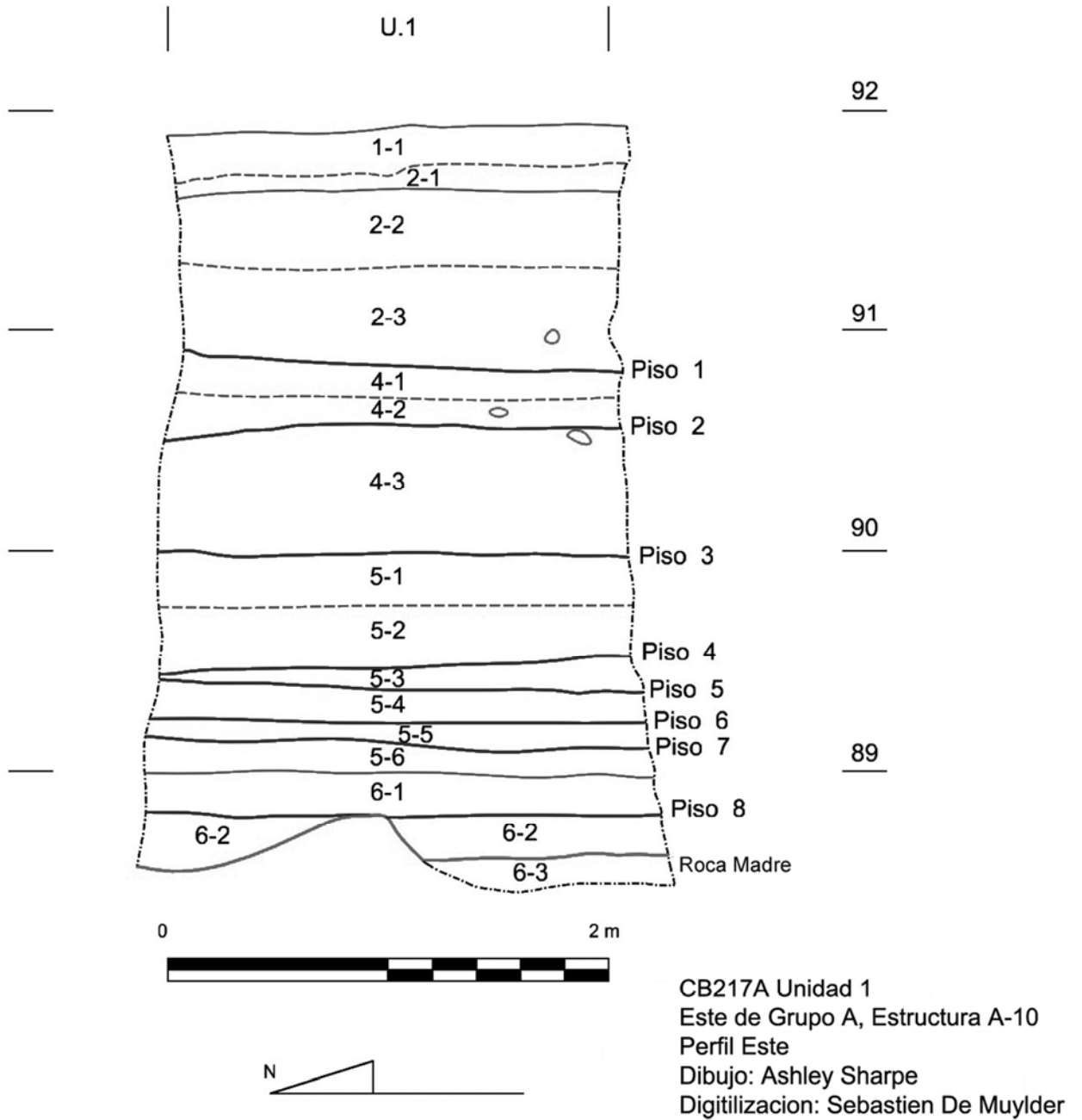
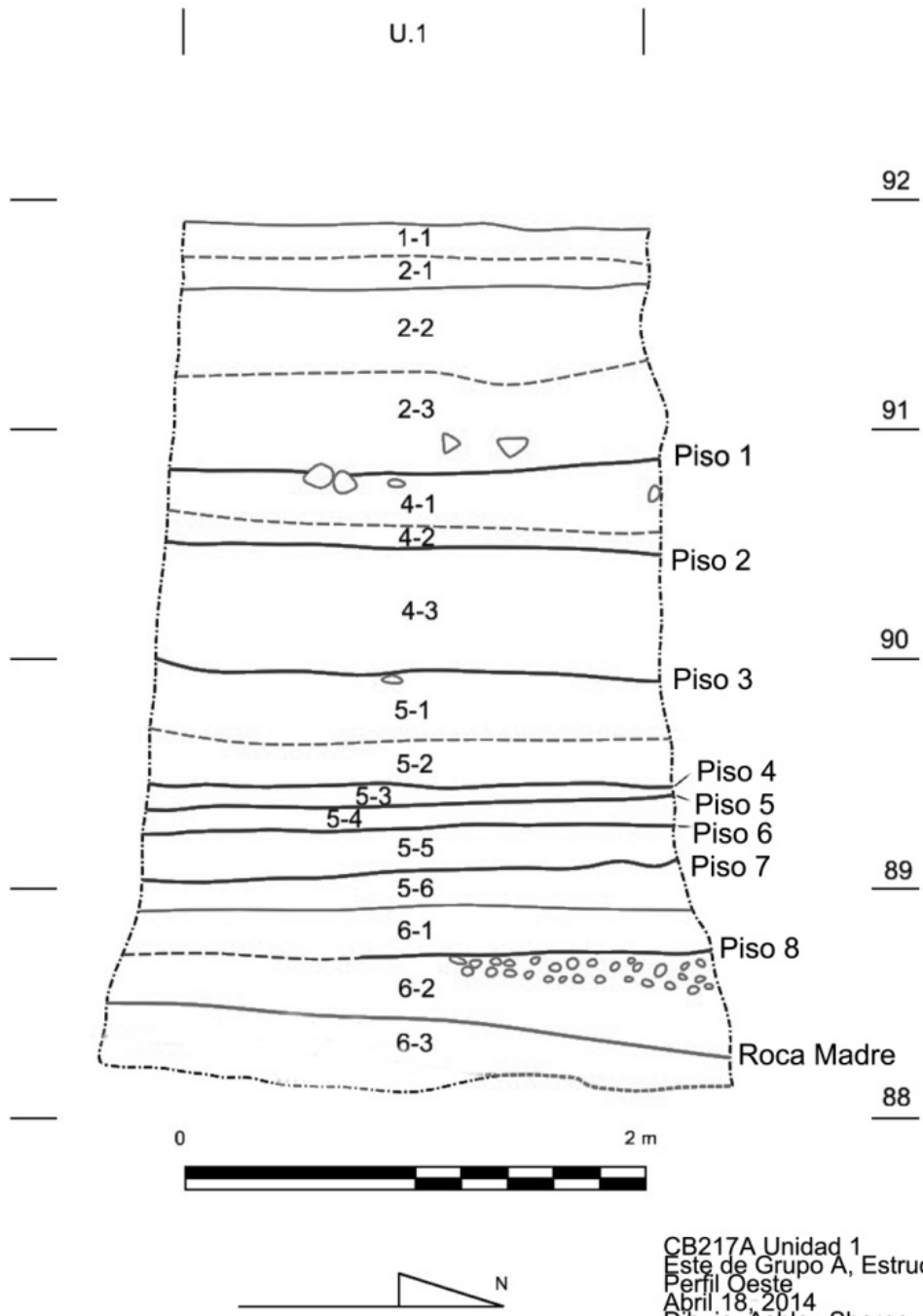


Figura 3.4. Perfil este de la Operación CB217A.



CB217A Unidad 1
 Este de Grupo A, Estructura A-10
 Perfil Oeste
 Abril 18, 2014
 Dibujo: Ashley Sharpe
 Digitización: Sebastien De Muylder

Figura 3.5. Perfil oeste de la Operación CB217A.

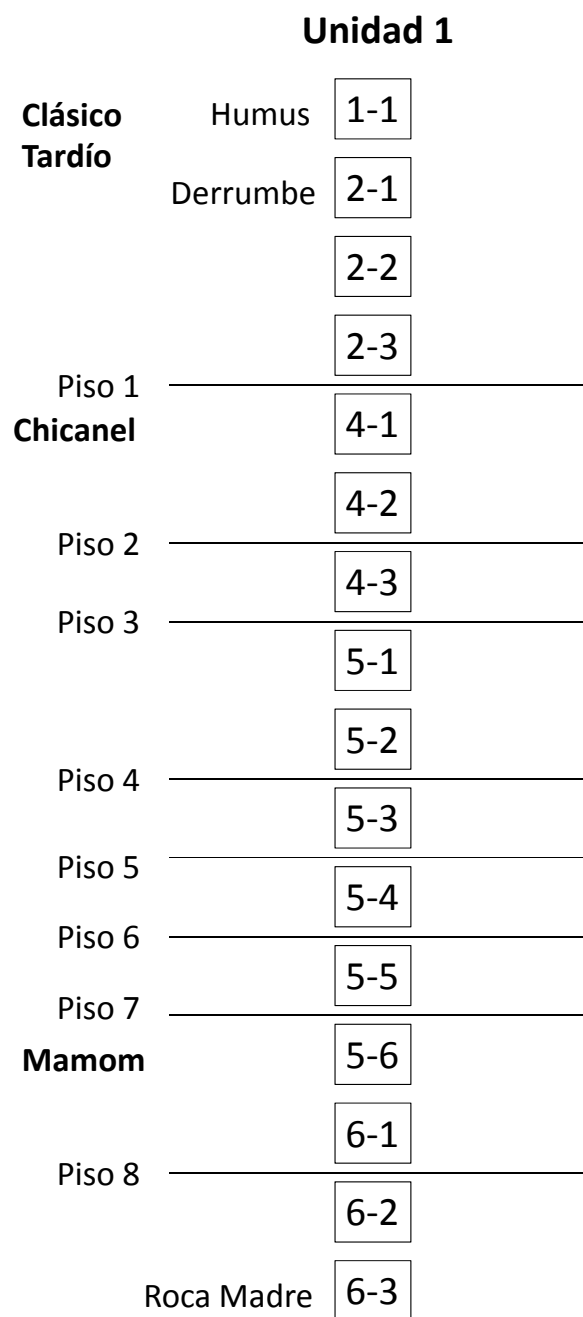


Figura 3.6. Esquema de lotes de la Operación CB217A. Elaborado por Ashley Sharpe.

PARTE III: INVESTIGACIONES EN EL GRUPO D

4. Excavaciones en la Plaza Central del Grupo D: Operación CB209

Damien Bazy y Maria Reneé Jerez

INTRODUCCIÓN

Con el objetivo primordial de registrar la secuencia constructiva y composición de los edificios delimitando la Plaza Central del Grupo D, durante las temporadas 2012 y 2013 se llevó a cabo varias excavaciones en el eje de la Estructura D-31 (CB209D) y en las fachadas oeste y este de la Estructura D-14 (CB209A). Sin embargo, aunque se logró refinar con bastante claridad la ocupación del área central del Grupo D, varios datos arqueológicos merecen una atención más detenida. Es el caso del proceso de abandono de la Estructura D-14 (CB209A), de la función de la estructura encontrada enfrente de la Estructura D-31 del Complejo Triádico (CB209D) y de la diferencia de tamaño de la Estructura D-33 del mismo complejo arquitectónico en comparación al templo previamente mencionado.

Surgieron varias interrogantes acerca de dos momentos claves de la historia del lugar y de la ciudad en general. En primer lugar, el Protoclásico (50 a.C. - 250 d.C.) marca el principio de la ocupación del Grupo D seguido con el establecimiento de una dinastía en Ceibal durante el Clásico Temprano. ¿Es por su carácter defensivo que se movieron los espacios de ejercicio del poder del Grupo A al Grupo D? O bien ¿un grupo, quizás llegado de las tierras bajas centrales, fue responsable por lo menos en parte, del cambio político y social drástico, incluyendo el establecimiento de una dinastía en Ceibal alrededor del 415 d.C.? En segundo lugar, el Clásico Tardío corresponde a un largo proceso de abandono del Grupo D consiguiente a los eventos históricos en la región del Petexbatun. Aunque se detectó y registró rasgos atribuidos a dicho proceso de abandono alrededor de la Estructura D-14 se necesita refinar y comprobar las hipótesis entonces mencionadas.

Para registrar más información acerca de estos dos periodos, se volvió a excavar la parte oeste de la Estructura D-14 mediante dos unidades de 2 x 2 m abarcando parte de la escalinata (CB209A, Figura 4.1). Se extendió el área de excavación de la Estructura D-31 con tres unidades de 2 x 2 m a manera de abarcar toda la parte frontal de la construcción (CB209D, Figura 4.1). Para concluir, se excavaron cuatro unidades en el eje Norte-Sur de la Estructura D-33 (CB209E, Figura 4.1).

EXCAVACIÓN EN LA ESTRUCTURA D-14: OPERACIÓN CB209A

Durante la temporada 2012, las excavaciones llevadas a cabo alrededor de la escalinata de la Estructura D-14 (Figura 4.1) revelaron una concentración de material arqueológico depositado posteriormente a la destrucción de los dos últimos pisos de la Plaza Oeste y al desmantelamiento del edificio (Bazy 2012), sin embargo, se necesita clarificar el proceso de abandono y su cronología. Para cumplir con dicha meta, se amplió el área de excavación abarcando parte de la escalinata en la Unidad 9 y la plaza en la Unidad 10. Las investigaciones se llevaron a cabo empleando la metodología del proyecto y ya que la meta no requería que se alcanzara la roca madre las excavaciones se enfocaron más detenidamente sobre los lotes superficiales.

Al quitar el nivel de humus, se encontró a 103.35 m de altura un piso de piedrín en la mitad oeste de la Unidad 9 y en la Unidad 10. En la mitad este de la Unidad 9, la excavación del humus reveló un lote de colapso de la Estructura D-14 compuesto de tierra arcillosa con piedras pequeñas y piedrín (Lote 9-2-1; Figura 4.3). Al excavar el piso apareció un relleno de tierra

arcillosa muy compacta con pedrín y unas piedras pequeñas, dicho lote 10-4-1 con bastante material de todo tipo.

Debajo del colapso de la Estructura D-14 en la Unidad 9 y del relleno del piso de pedrín, aparecieron varios lotes con una cantidad mayor de material arqueológico de todo tipo en una matriz de tierra arcillosa oscura (Lotes 9-4-1, 10-4-2 y 3). Se trata del mismo depósito denso encontrado en la Unidad 6 durante la temporada 2012 (Figura 4.2). Dicho depósito se extiende en la parte superior y alrededor de una fosa intrusiva adentro del relleno del Piso 3 de la Plaza Oeste y de la roca madre (Bazy 2012: 122), sin embargo, la excavación más detenida llevada a cabo en las Unidades 9 y 10 indica que la tierra arcillosa presenta una composición y un color ligeramente diferente. Parece revelar que dicho depósito denso se compone de basura doméstica trasladada de diferentes lugares para rellenar el vacío dejado luego de la destrucción de los pisos originales de la Plaza Oeste (Pisos 1 y 2) y del desmantelamiento de la Estructura D-14 (*ibid.*).

EXCAVACIÓN ENFRENTA DE LA ESTRUCTURA D-31: OPERACIÓN CB209D

Durante el proceso de excavación de la temporada 2013 se confirmó la presencia de una construcción justo enfrente de la Estructura D-33. Aparecieron algunas piedras talladas de canto rodado conformando dos hiladas de la esquina noreste de dicha construcción estucada en rojo (Bazy 2013), a pesar de que no se logró definir su forma, su ubicación frente a un templo en un complejo Triádico, tal como el hallazgo de la Sepultura 144 encontrada el año 2013 (Bazy 2013), dejaba entrever la existencia de rituales asociados. Dichos rituales ayudarían ampliando en cantidad y calidad la muestra de material cerámico para refinar la secuencia crono-cerámica de las fases Xate y Junco. El material arqueológico registrado durante la excavación del relleno de la estructura apunta hacia una construcción alrededor del final de la fase Xate 2 (50-250 d.C.) o principio de la fase Junco 1 (250-300 d.C.; Figura 4.4).

Previamente a la definición del área de excavación, se realizaron pruebas de pala con el afán de conocer el tamaño de la estructura descubierta en el perfil de la Unidad 1 durante la temporada 2012. Se realizaron dos unidades de 2 x 2 m (Unidad 6 y 7; Figura 4.1) para tener suficiente espacio para trabajar a pesar de que las pruebas sugerían que el edificio ocupaba el espacio de una sola unidad, esa decisión permitió revelar la existencia de dos altares simétricos (Figura 4.7). Ya que no se logró tener una visión completa de los rasgos arquitectónicos, se reexcavó la Unidad 5 de la temporada 2013 y se extendió la excavación mediante una tercera unidad de 2 x 2 m (Unidad 8).

Estructura Tzul

En las Unidades 6 y 7, el humus se depositó directamente sobre el Piso 1 del Complejo Triádico. En la Unidad 8, al pie de la Estructura D-31, el Piso 1 estuvo cubierto por un lote de colapso de la Estructura D-31 (Figura 4.4), es el mismo piso de pedrín encontrado en las Unidades 1, 4 y 5 fechado para la fase Tepejilote 2 (720-761 d.C. Figura 4.5). Presenta un declive hacia el oeste ya que se encuentra a 106.70 m de altura al este y a 106.48 m de altura al oeste del área de excavación. En las Unidades 6 a 8, al quitar el Piso 1 de pedrín (Lote 4-1) aparecieron piedras de canto rodado del edificio, localizado enfrente de la Estructura D-31.

La excavación de las Unidades 6 y 7 en primer lugar reveló la existencia de dos altares, pero al excavar la Unidad 8 se descubrió que en realidad era un solo altar en forma de U. El altar y la plataforma que se encontraba por debajo formaba una sola construcción que se denominó Estructura Tzul. Debajo del Piso 1 en las Unidades 6, 7 y 8, se registraron dos lotes de relleno de tierra arcillosa con piedras pequeñas y pedrín (Lotes 4-1 y 4-2) sobre el Piso 2 del Complejo

Triádico y de la Estructura Tzul. En la fase Tepejilote 1 (600-720 d.C.), cuando fueron construidos la Estructura D-31 junto con el Piso 2, la Estructura Tzul presentaba la forma de un altar en forma de U (Figura 4.6). Vestigios de estuco indican que todo el altar estaba cubierto de un revestimiento pintado de rojo. Debajo del Piso 2, se excavó un relleno de piedras pequeñas y piedrín encima del Piso 3.

El Piso 3 fue de estuco blanco pintado de rojo y originalmente revestía toda la Estructura Tzul. Desde la temporada 2012, se sabe que fue construido durante la fase Xate 2 o Junco 1, junto con la construcción del Edificio D-31Sub2. La Estructura Tzul se podía apreciar en su forma completa. Se trataba de un altar en forma de U sobre una plataforma cuya extensión no se conoce. La estructura mantuvo su forma original cuando se construyó una nueva versión del Templo, Estructura D-31Sub1, durante el Clásico Temprano (Fase Junco 2, 200-380 d.C.) hasta la última etapa de construcción de la Estructura D-31 en la fase Tepejilote 1 (600-720 d.C., Figura 4.4).

Con el afán de precisar la fecha de construcción de la Estructura Tzul y de registrar los rituales eventualmente asociados, se continuó su excavación adentro de las Unidades 8 y 6. En primer lugar se removió el relleno adentro del altar. Dicho relleno se constituye de un lote de tierra arcillosa con piedrín y piedras pequeñas (Lote 5-1). Luego el altar fue levantado en las Unidades 6 y 8 y se excavó el primer lote de relleno de la plataforma debajo del altar en las Unidades 6, 7 y 8. Se trata de un relleno compacto de tierra arenosa con piedrín (Lote 6/8-5-2 y 7-5-1). En el relleno debajo de la jamba oeste de la Estructura Tzul apareció una hilada de piedras canteadas. Forman sin duda la estructura más antigua junto con dicha jamba oeste.

Estructura Ok'Abal

Debajo de un segundo lote de relleno de la Estructura Tzul (Lote 7-5-2 y 6/8-5-3) apareció el Piso 4 a una altura de 106.10 m. Este piso pasa por debajo de la Estructura Tzul pero finaliza con la línea inferior de piedras encontrada debajo de la jamba oeste del altar en forma de U en la Unidad 7 (Figura 4.9). Al remover el Piso 4 y su relleno de tierra arenosa con piedrín (Lotes 6-5-5 y 7-5-4) se encontró el Piso 5 de estuco erosionado con vestigios de pintura roja, que termina unido contra la misma línea de piedras. Dicha línea de piedras de canto rodado conserva vestigios de algún revestimiento de estuco rojo, tiene una orientación norte-sur y conforma una plataforma larga de dos hiladas de piedra cuya extensión hacia el sur no se conoce.

En la Unidad 7 se nota que para la construcción de la Estructura Tzul, los constructores destruyeron en parte la plataforma larga y el Piso 4. Reusaron la línea superior de piedras para formar la jamba oeste del altar. La parte destruida en la Unidad 7 fue rellenada con una tierra arenosa mezclada con piedras grandes y medianas (Lote 5-3). En la Unidad 8, la línea inferior de la plataforma larga sigue por debajo de la plataforma de la Estructura Tzul, pero quitaron las piedras superiores para la construcción de esta última.

Por lo tanto, es posible pensar que dicha construcción corría a todo lo largo de la escalinata que daba acceso al Complejo Triádico, controlaba el acceso desde la Plaza Central hacia la casa sagrada del Grupo D y a esta estructura se le denominó Ok'Abal. Hasta la fecha, siempre se ha asumido que los Pisos 4 y 5 correspondían a la primera etapa de construcción de la Estructura D-31, sin embargo, no se tenía ninguna evidencia de construcción asociada.

El hallazgo de la Estructura Ok'Abal permite decir con seguridad que la primera versión del Complejo Triádico fue construida junto con el Piso 5 durante la fase Xate 1 o 2. Al continuar la excavación por debajo del Piso 5 con el afán de buscar posibles rituales asociados a la primera etapa de construcción del Complejo Triádico, solo apareció un lote de tierra arenosa (lotes 6-5-6 y

7-5-7) y otro de sascab (lote 6-5-7) sobre un relleno de piedras burdas de todo tamaño de la primera etapa de construcción de la plataforma del Complejo Triádico.

EXCAVACIÓN EN LA ESTRUCTURA D-33: OPERACIÓN CB209E

La Operación CB209E fue una trinchera de 3 unidades de 2 x 2 m ligeramente afuera del eje de la Estructura D-33. Se tuvo que extender la trinchera con una unidad de 1 x 2 m para tener un mejor entendimiento del área excavada. Dicha estructura es el edificio al sur del Complejo Triádico (Figura 4.1).

La Estructura D-33 presenta la particularidad de ser más pequeña que la Estructura D-31 localizada enfrente. Se decidió registrar dicha construcción para entender porqué presenta esta discrepancia de tamaño que podría resultar de su desmantelamiento porque nunca fue terminada de construir, o simplemente porque no respetaron las normas de construcción relativas a los complejos triádicos típicos del Preclásico Tardío o Protoclásico en las Tierras Bajas Mayas.

Durante el proceso de excavación se identificó la última etapa de construcción de la Estructura D-33 mediante su escalinata y dos cuerpos de la pirámide, así como el relleno de la superestructura. A continuación se presentan detenidamente los datos registrados. Cabe mencionar que los dos lotes debajo del humus en la Unidad 2 fueron interpretados como nivel de relleno de una construcción jamás acabada, llamados lotes 2-4-1-y 4-2, sin embargo, una observación más fina del contexto arqueológico llevó a reconocer que era una interpretación errónea. Es claro ahora que se tratan de dos niveles de colapso (lotes 2-1 y 2-2).

Estructura D-33

En las Unidades 1, 2 y 3 afloraban piedras burdas del colapso de la Estructura D-33 adentro de la capa de humus (Lote 1-1). Al remover el humus, se encontró un nivel de colapso compuesto de dos lotes en las Unidades 1 y 2, pero solo un lote en la Unidad 3 (Figura 4.10). El lote 2-1 se trata de una capa de piedras burdas de todo tamaño y casi ninguna piedra canteada. En las Unidades 1 y 2 afloran, adentro de este lote 2-1, las primeras huellas de la escalinata de la Estructura D-33.

En cuanto a la Unidad 3, dicho nivel de colapso cubre lo que parece ser el núcleo de las paredes de una superestructura totalmente destruida. En la Unidad 2, el lote 2-2 fue una capa de tierra suelta con piedras pequeñas y medianas encima del tramo superior y del descanso de la escalinata. En la Unidad 1, el lote 2-2 fue una capa de tierra arcillosa con pocas piedras canteadas y piedras pequeñas encima del primer tramo de la escalinata (Figura 4.11).

En el lote 2-1 de la Unidad 4 no se encontraron tantas piedras grandes o medianas y este primer lote de colapso cubrió una segunda capa de tierra arcillosa con bastantes piedras canteadas y otras piedras burdas (lote 4-2-2). El declive hacia el oeste de este último lote indica que se trata del colapso de la Estructura D-32. Al excavar el colapso, se encontró el Piso 1 a 106.70 m de altura en la Unidad 4. Se trata de un piso de pedrín cuya altura fue similar al Piso 1 ubicado frente a la Estructura D-31 (Operación CB209D).

Al terminar la excavación del colapso se observó que la diferencia de tamaño entre las Estructuras D-31 y D-33 no fue causada por el desmantelamiento de la segunda, tampoco porque nunca se logró terminar su construcción, simplemente porque no se respetó el tradicional patrón de los complejos triádicos. Contemplando verificar la contemporaneidad entre las dos estructuras

previamente mencionadas, se rompió el descanso entre los tramos de la escalinata para poder fechar la construcción.

Del relleno se excavaron dos lotes (2-4-3 y 2-4-4). Se determinó con claridad que la construcción de la Estructura D-33, al igual que la Estructura D-31, fecha de la fase Tepejilote 1 (Figura 4.10).

Una vez más, se destacó durante el proceso de excavación la casi ausencia de piedras canteadas adentro del colapso de la Estructura D-33. Al parecer la superestructura fue desmantelada, lo que causó la caída del núcleo de sus paredes sobre la escalinata. En 2012, se sugirió que la Estructura D-31 sufrió la misma fortuna que las Estructuras D-12 (Smith 1982: 180-181) y D-14 (véase Bazy 2012: 121), desmanteladas al final de la fase Tepejilote 3 entre 800 y 830 d.C. Sin embargo, en este caso, si la superestructura fue totalmente destruida, la escalinata se encontró en excelente estado de preservación. Un desmantelamiento rápido de la primera podría haber causado su destrucción repentina. Los escombros caídos sobre el resto de la Estructura D-33 favorecieron la conservación de su escalinata y de los cuerpos de la pirámide.

En el caso de las otras estructuras mencionadas, parece que toda la construcción fue afectada por el desmantelamiento por lo que se cuenta solo con las primeras hiladas de piedras o huellas de escalinata.

CONCLUSIÓN

Las investigaciones manejadas mediante las operaciones CB209A y CB209E proporcionaron valiosas informaciones relativas al proceso de abandono del área central del Grupo D. Se tiene una evidencia clara ahora. La Estructura D-14 experimentó una última remodelación durante la fase Tepejilote 2 (720-761 d.C.), luego fue desmantelada y los dos primeros pisos de la Plaza Oeste alrededor de dicha escalinata fueron removidos. La excavación que resulta de dicha destrucción fue rellena con basura trasladada de diferentes lugares a la transición entre la fase Tepejilote 3 y la fase Bayal, entre 800 y 830 d.C. Lo comprobó el hallazgo de fragmentos de navajas prismáticas de la fuente de Ixtepeque, la cerámica del depósito denso y El entierro 139, cuya cista consiste en piedras canteadas de la Estructura D-14 desmantelada (Bazy 2012).

Al contrario, es difícil decir cuando fue intencionalmente destruida la superestructura de la Estructura D-33 en el Complejo Triádico (CB209E). Solo se sabe que la última etapa de construcción fecha de la fase Tepejilote 1 (600-720 d.C.) y fue restaurada, ya sea al final de la fase Tepejilote 1 o al principio de la fase Tepeu 2 (720-761 d.C.).

En cuanto a la Operación CB209D, resultó un poco frustrante ya que la meta principal era encontrar contextos primarios asociados con los Edificios Tzul y Ok'Abal para tener un mejor entendimiento del contexto histórico que condujo a construir los lugares de ejercicio del poder en el Grupo D durante el Protoclásico. Sin embargo, se logró establecer con bastante precisión que la primera versión del Complejo Triádico fue construida desde el principio de la ocupación del Grupo D durante la fase Xate. Dicha época corresponde a un momento de cambios drásticos en Ceibal viendo un cambio en los tipos de rituales llevados a cabo en relación al Complejo tipo Grupo E en el Grupo A, una continuidad en los tipos de cerámica usada desde el Preclásico Tardío pero con formas típicas del Protoclásico, la construcción del único Complejo Triádico conocido en las tierras bajas del sur hasta el establecimiento de una dinastía durante el Clásico Temprano alrededor de 415 d.C.

Es durante este último periodo que fue asociado al edificio D-31 un altar en forma de U. Este altar recuerda a grandes rasgos los edificios que albergaban estelas en Uaxactun o en Punta de Chimino por ejemplo (A. L. Smith 1950:15, 24–25, Figuras 19b y 78b; Bachand 2010:29-30, Figuras 9 y 10). ¿Hubo o no una estela asociada con la Estructura Tzul?. No se encontró ningún rasgo arquitectónico indicándolo, aunque el lote 6-5-4, relleno de piedras grandes con una concentración de tiestos de cerámica algunos perteneciendo a una sola vasija, difiere del relleno de la plataforma de la Estructura Tzul (Figura 4.4). Este relleno, ubicado en el eje del altar en forma de U, parece haber sido perturbado como si sufrió alguna destrucción. ¿Sera el eje de la Estructura Tzul enfrente de la Estructura D-31, la ubicación original de la Estela D-24 encontrada quebrada encima de la escalinata del Complejo Triádico? (véase Bazy 2012, operación CB209C).

OPERACIÓN CB209A

Unidad 9

Nivel-Lote	Descripción
1-1	Humus, Tierra arcillosa, 10YR 3/2
1-2	Colapso, tierra arcillosa, 10 YR 3/2
4-1	Tierra arcillosa, 10YR 6/2

Unidad 10

Nivel-Lote	Descripción
1-1	Humus, Tierra arcillosa, 10YR 3/2
4-1	Tierra arcillosa con piedras pequeñas y piedrín, 10YR 3/2
4-2	Tierra arcillosa compacta con bastante piedrín, 10YR 4/2
4-3	Tierra arcillosa compacta con bastante piedrín, 10YR 3/3

OPERACIÓN CB209D

Unidad 6

Nivel-Lote	Descripción
1-1	Humus con piedras grandes de colapso, 10YR 2/2
4-1	Tierra compacta con piedrín, 7.5YR 3/4
4-2	Suelo arcilloso con piedrín, 7.5YR 4/3
4-3	Suelo arcilloso compacto con piedrín, 10YR 3/2
5-1	Tierra arcillosa compacta con piedras y piedrín, 10YR 4/2
5-2	Tierra arenosa, 10YR 5/3
5-3	Tierra arenosa con piedras pequeñas y piedrín, 2.5Y 5/3
5-4	Tierra arenosa con piedras pequeñas y grandes, 2.5Y 5/3
5-5	Tierra arenosa, 2.5Y 5/3
5-6	Tierra arenosa con piedras pequeñas y piedrín, 10YR 6/3
5-7	Sascab arenoso compacto con piedrín, 10YR 6/3

Unidad 7

Nivel-Lote	Descripción
1-1	Humus con piedras de derrumbe y piedrín, 10YR 2/3
4-1	Tierra compacta con piedrín, 7.5YR 3/4
4-2	Suelo arcilloso compacto con piedrín, 7.5YR 4/3
5-1	Tierra arenosa con piedrín, 10YR 5/3
5-2	Tierra arenosa con piedras pequeñas y piedrín, 2.5Y 5/3
5-3	Tierra arenosa con piedras medianas y grandes, 2.5Y 5/3
5-4	Tierra arenosa, 2.5Y 5/3
5-5	Tierra arcillosa compacta con piedras y piedrín, 10YR 4/3
5-6	Tierra arenosa con piedras medianas y pequeñas, 10YR 6/3
5-7	Tierra arenosa con piedrín, 10YR 6/3

Unidad 8

Nivel-Lote	Descripción
1-1	Humus, tierra suelta con piedrín, 10YR 2/3
1-2	Tierra arcillosa semi compacta con piedras, 10YR 3/2
4-1	Tierra suelta con piedrín, 7.5Y 4/2
4-2	Tierra arcillosa compacta con piedrín, 10YR 4/2
4-3	Tierra arcillosa compacta con piedrín, 10YR 5/3
5-1	Tierra arcillosa compacta, 10YR 5/3
5-2	Tierra arenosa con piedrín 10YR 4/3
4-4	Tierra suelta con piedrín, 7.5Y 4/2
4-5	Tierra arenosa compacta con poco piedrín y bastante carbón, 10YR 3/3
5-3	Tierra arenosa con piedrín y piedras pequeñas, 2.5Y 5/3
5-4	Tierra arenosa con piedrín, 2.5Y 5/3

OPERACIÓN CB209E

Unidad 1

Nivel-Lote	Descripción
1-1	Humus, tierra suelta, 10YR 3/2
2-1	Tierra arcillosa, 10YR 4/3
2-2	Tierra arcillosa, 10YR 4/2

Unidad 2

Nivel-Lote	Descripción
1-1	Humus, tierra arenosa con piedras pequeñas, 10YR 3/2
4-1	Tierra arcillosa con piedras, 10YR 4/3
4-2	Sascab suelto con piedras pequeñas y medianas, 10YR 6/3
4-3	Tierra arenosa compacta con piedrín, 10YR 5/2
4-4	Tierra arenosa suelta con piedras medianas, 10YR, 4/2

Unidad 3

Nivel-Lote	Descripción
1-1	Humus, tierra arenosa con bastante piedrín, 10YR 3/2
2-1	Tierra suelta con piedras, 10YR 5/2

Unidad 4

Nivel-Lote	Descripción
1-1	Humus, tierra arenosa con piedras pequeñas, 10YR 3/2
2-1	Tierra arcillosa con piedras pequeñas, 10YR 4/2
2-2	Tierra arcillosa con piedras talladas y burdas, 10YR 4/2

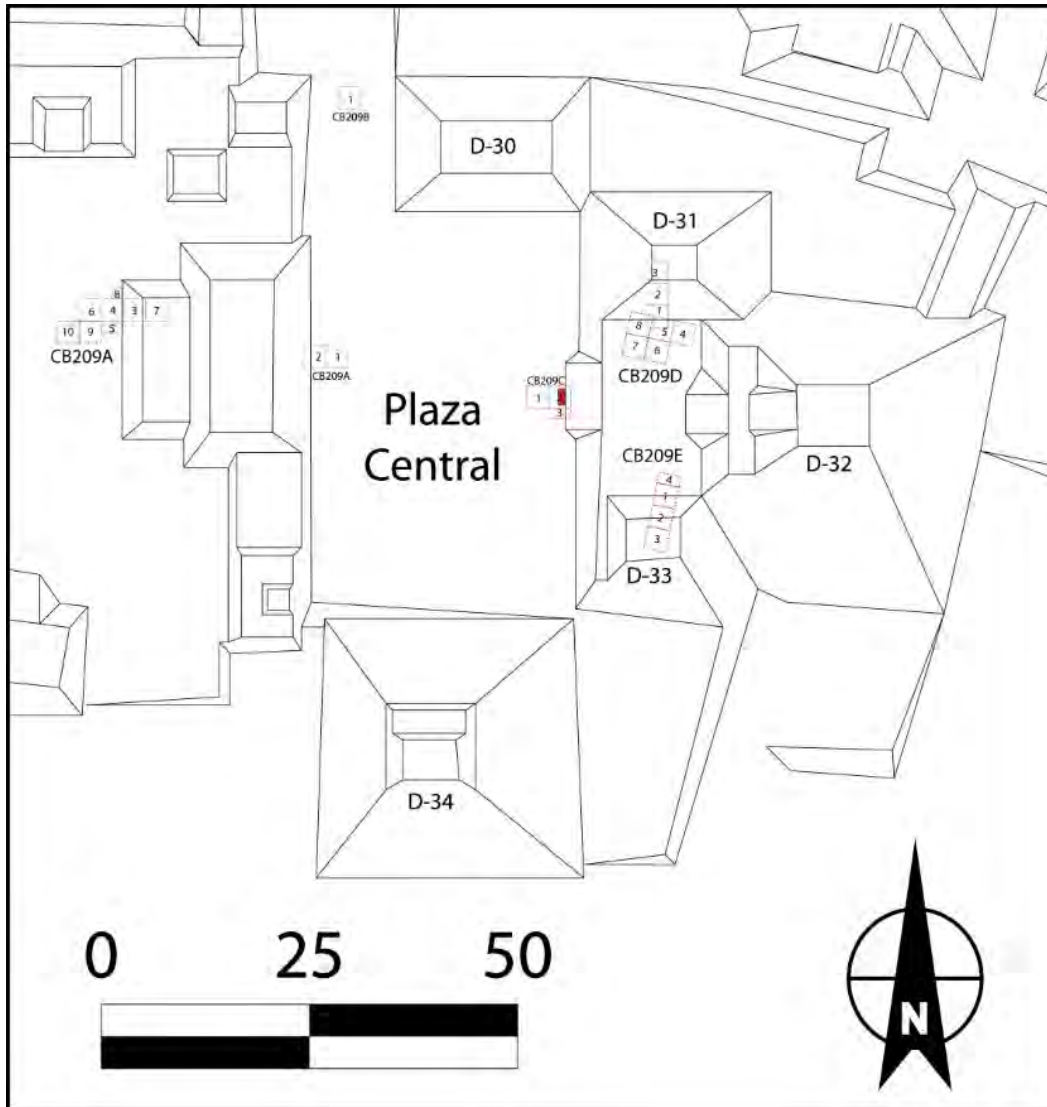


Figura 4.1. Localización de excavaciones de la Operación CB209.

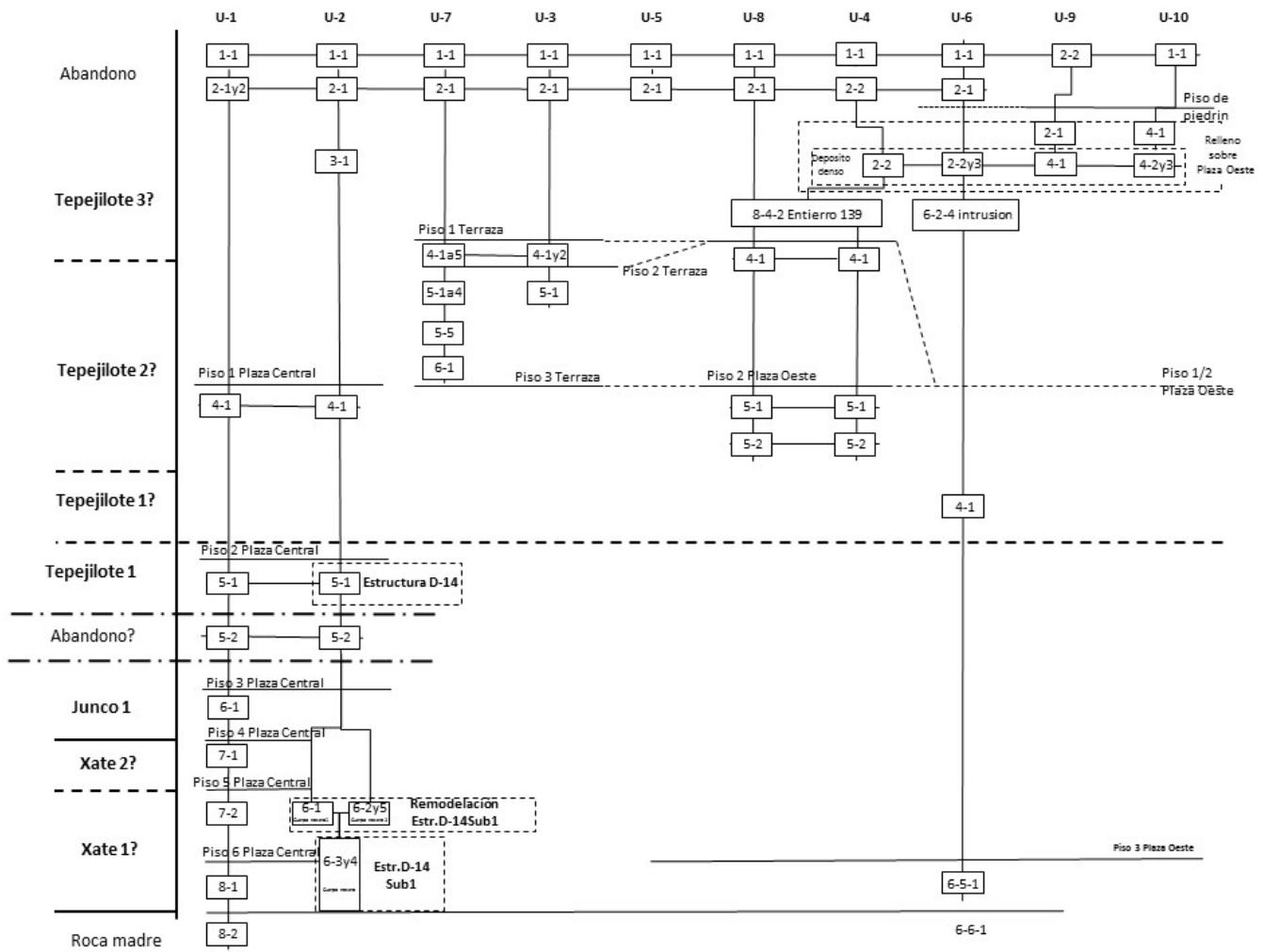
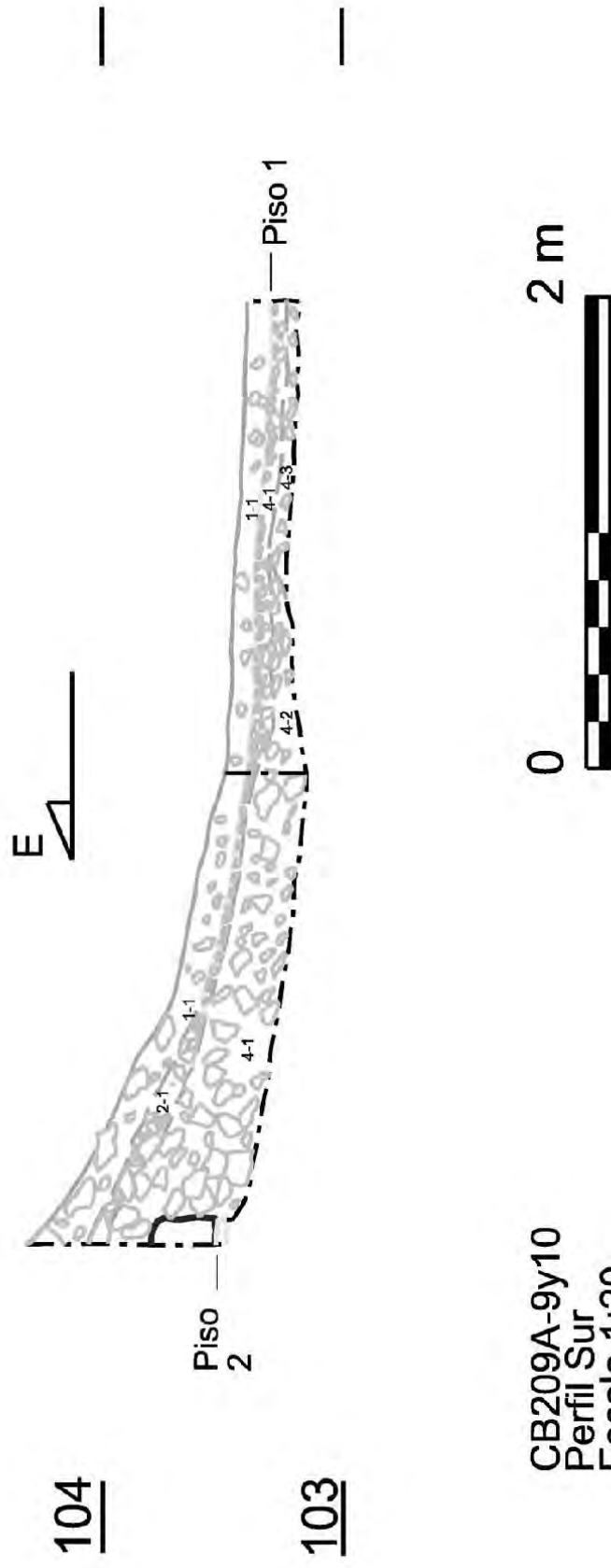


Figura 4.2. Esquema de lotes de la Operación CB209A y sus relaciones estratigráficas, elaborado por D. Bazy.



CB209A-9y10
 Perfil Sur
 Escala 1:20
 Abril 25, 2014
 Dibujo y Digitalización: D. BAZY



Figura 4.3. Perfil sur de las Unidades 9 y 10, Operación CB209A.

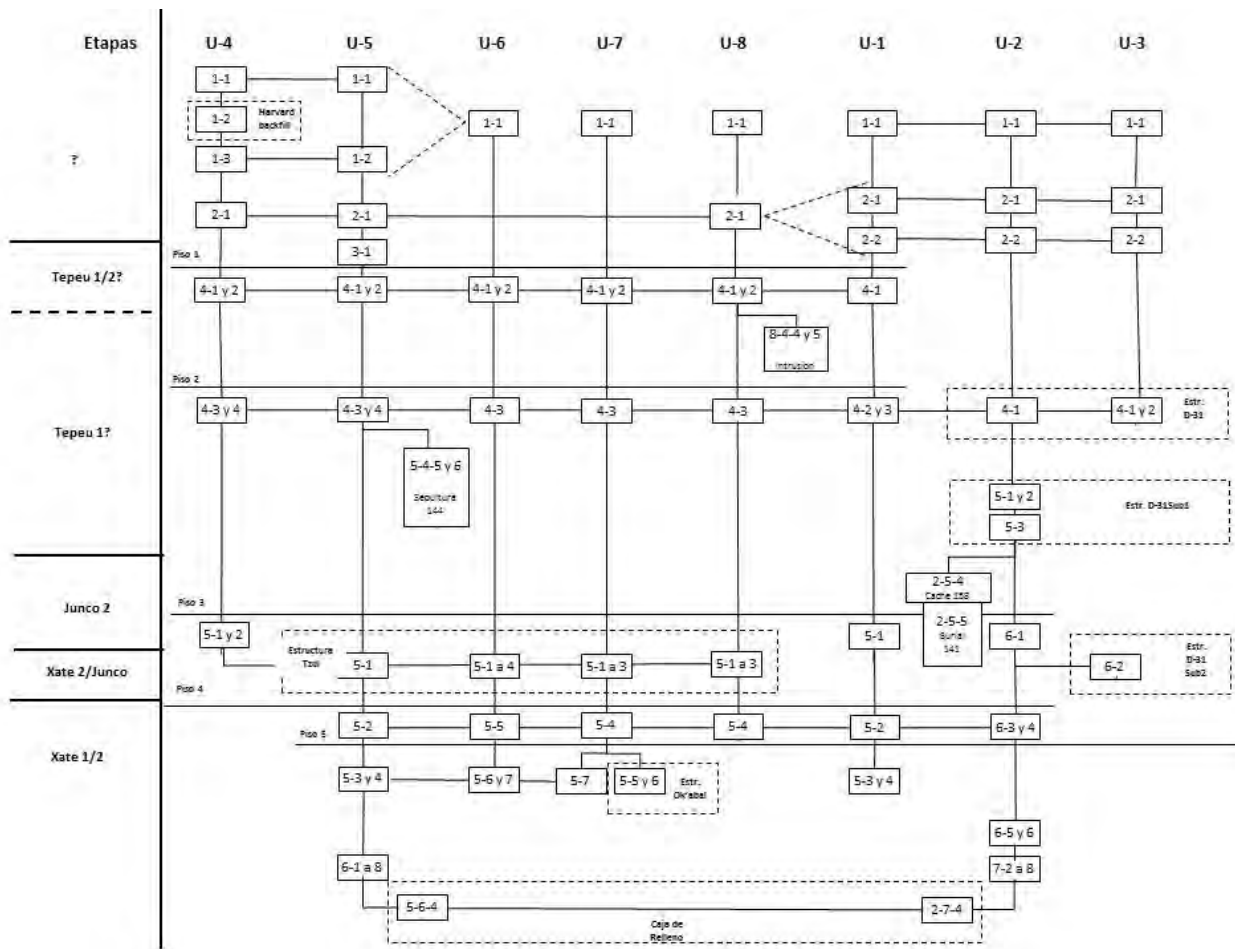


Figura 4.4. Esquema de lotes de la Operación CB209D y sus relaciones estratigráficas, elaborado por D. Bazy.

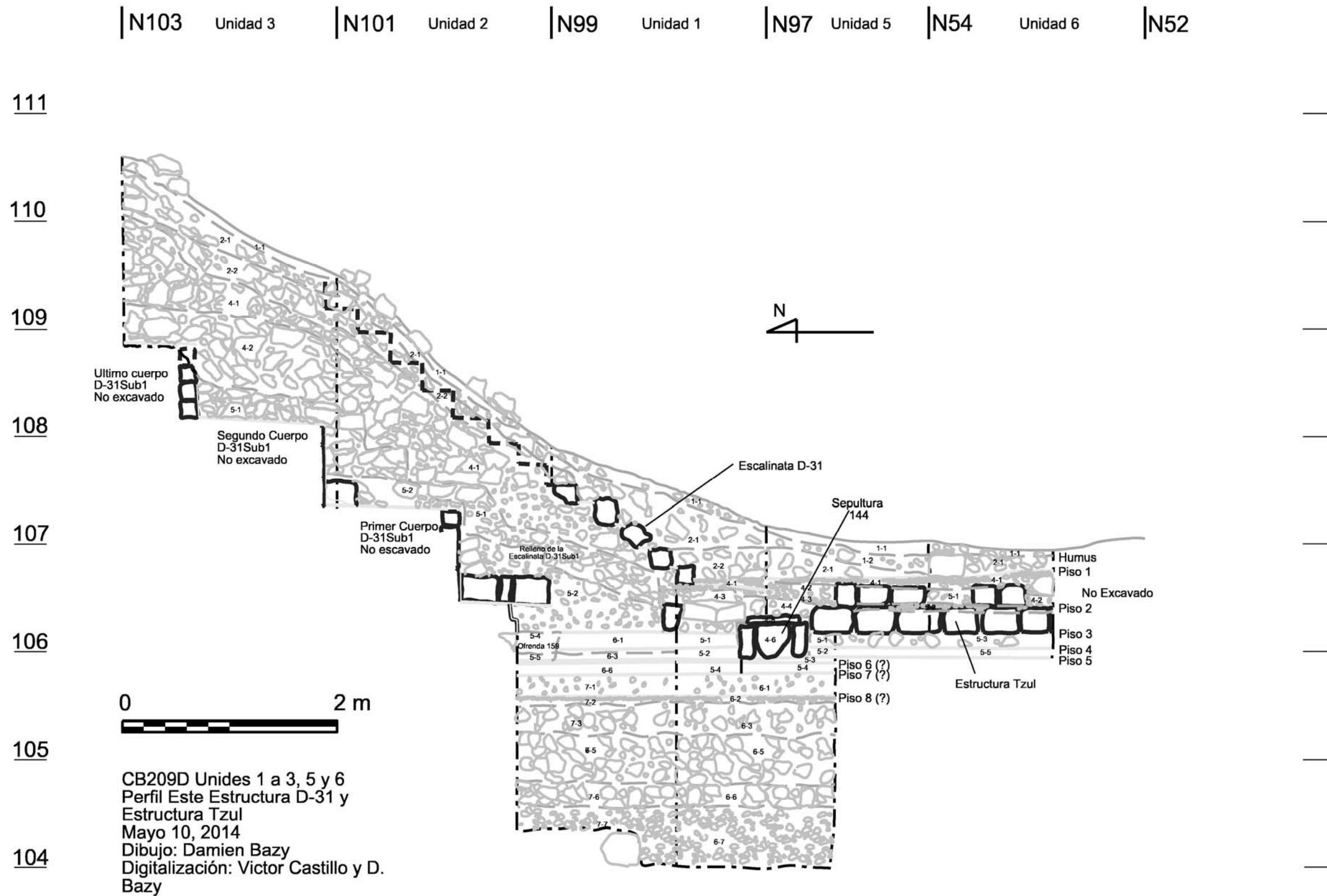


Figura 4.5. Perfil este de las unidades 1 a 3, 5 y 6, Operación CB209D.

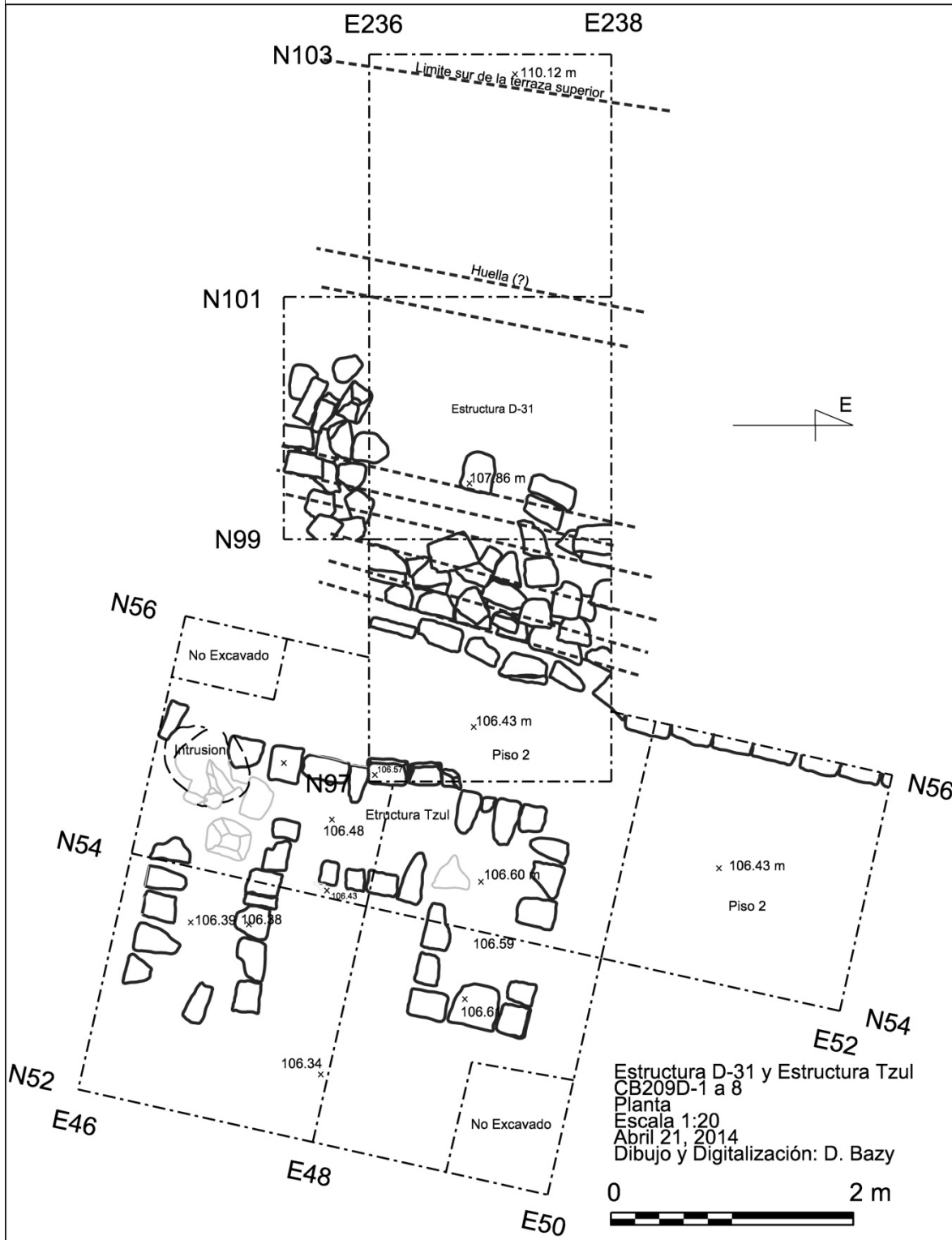


Figura 4.6. Planta de la Estructuras D-31 y Tzul, Operación CB209D.

108

E46

Unidad 7

E48

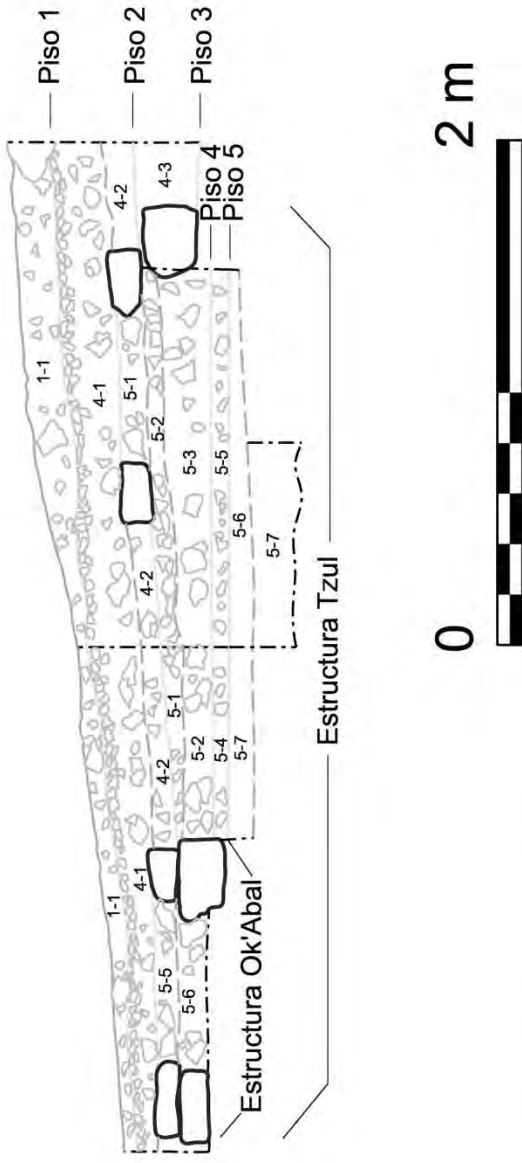
Unidad 6

E50

107



106



Estructura Tzul y Ok'Abal
 CB209D-6 y 7
 Perfil norte
 Abril 14 2014
 Dibujo: María R. Jeréz
 Digitalización: D. Bazy

Figura 4.7. Perfil norte de las Unidades 6 y 7, Operación CB209D.



Figura 4.8. Estructura Tzul en las Unidades 6 y 7 (Foto por D. Bazy).

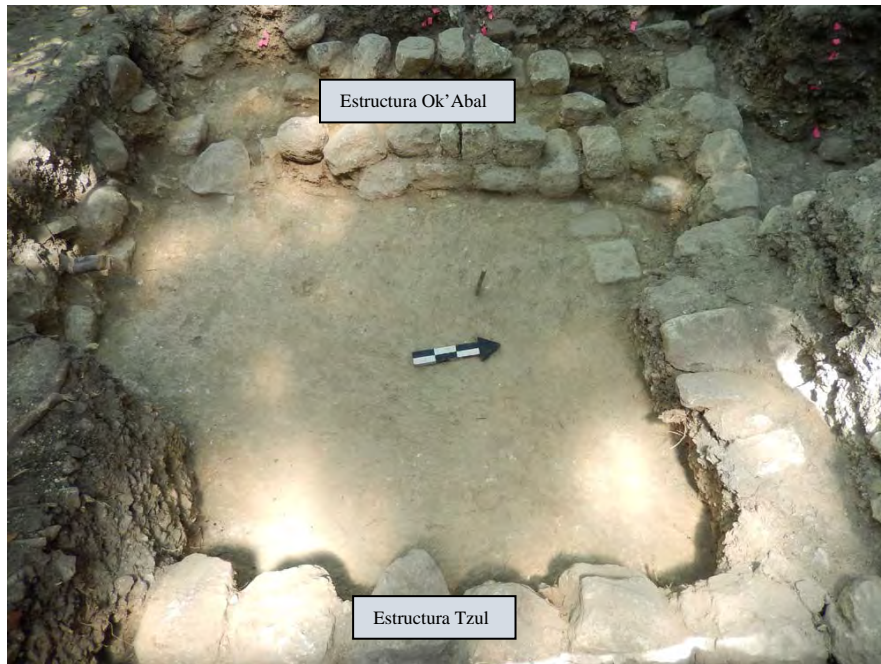


Figura 4.9. Plataforma de la Estructura Tzul y Estructura Ok'abal sobre el Piso 5 (Foto por D. Bazy).

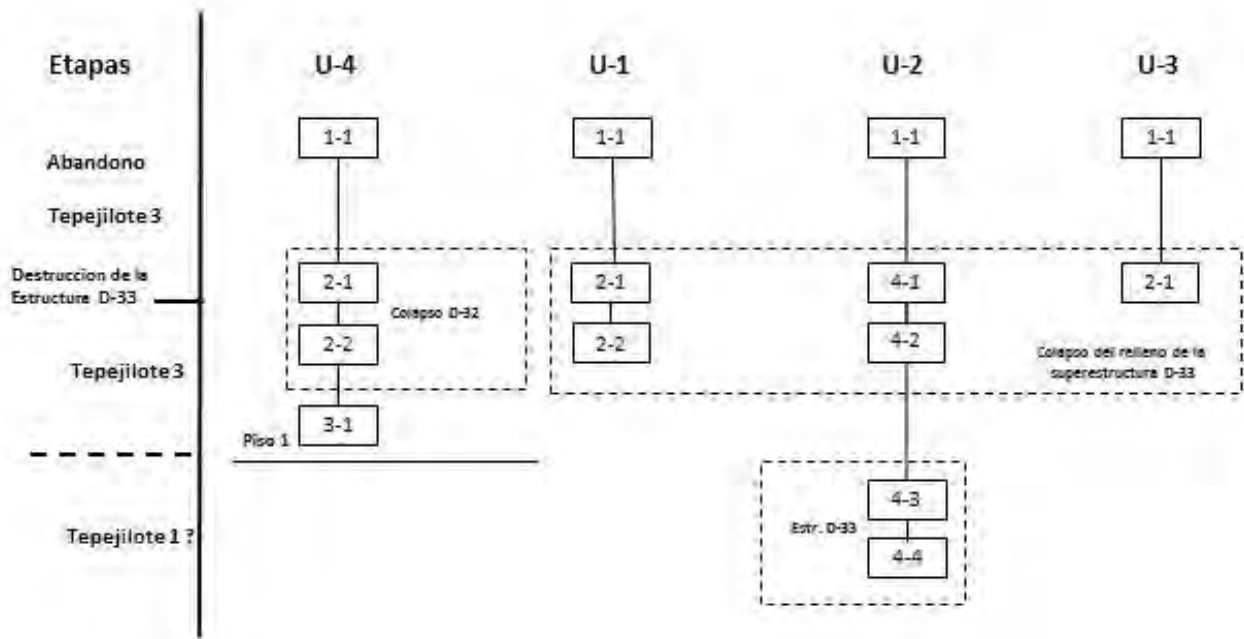


Figura 4.10. Esquema de lotes de la Operación CB209E y sus relaciones estratigráficas, elaborado por D. Bazy.

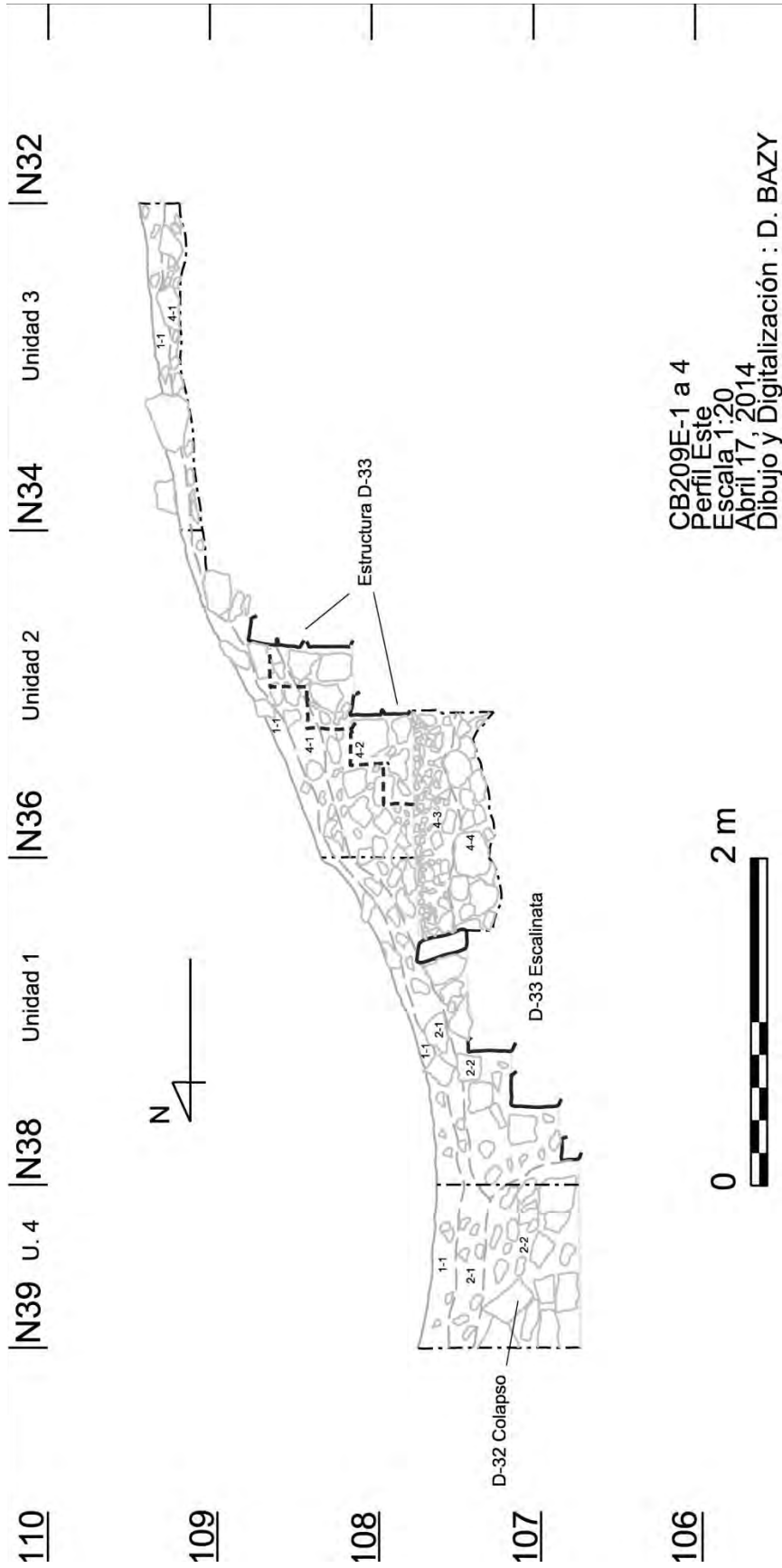


Figura 4.11. Perfil norte de las Unidades 1 a 4, Operación CB209E.

5. Excavaciones en la Plaza Oeste del Grupo D: Operación CB219A

Damien Bazy

INTRODUCCIÓN

La Operación CB219A se enfoca en la esquina noreste de la Plaza Oeste. Es delimitada por tres estructuras que conforman un patio abierto hacia la plaza, del lado sur. El Palacio principal (D-5) cierra el patio al norte, un montículo cuadrangular (D-15) quizás un oratorio, delimita el lado este y la Estructura D-6 cierra el lado oeste (Figura 5.1). Según Smith (1982), dichos edificios que bordaban la plaza oeste fueron construidos durante la fase Tepejilote 3 (761-830 d.C.), cuando muchos edificios monumentales eran desmantelados (Smith 1982: 180-181; Bazy 2012, 2014). ¿Reusaron los habitantes las piedras de mampostería de los edificios monumentales del Grupo D para la construcción de sus residencias alrededor de las plazas? ¿Si fueron construidos durante la fase Tepejilote 3, cuando fueron abandonados?

La Operación CB219A contempla completar el relato histórico que condujo al abandono del centro monumental del Grupo D.

Las investigaciones programadas para la temporada 2014 consistieron en la excavación extensiva de la Estructura D-6 mediante cinco unidades de 2 x 2 m en la parte superior del edificio y una unidad de 2 x 2 m sobre la escalinata (Figura 5.1). El hallazgo de un depósito denso enfrente de la escalinata condujo a ampliar el área de excavación mediante una unidad de 1 x 1 m.

A continuación se presentan más detenidamente los datos de dicha excavación, empezando en primer lugar con la descripción de las excavaciones llevadas a cabo en la parte superior del edificio, antes de delinear los datos referentes a las unidades sobre la escalinata.

EXCAVACIÓN DE LA SUPERESTRUCTURA: UNIDADES 1 A 5

En la Unidad 2, la excavación del humus reveló el núcleo y piedras canteadas de la jamba sur de la puerta central. En las demás unidades, al remover el humus, se encontró y excavó un nivel de colapso constituido de un lote de tierra arcillosa muy compacta con piedrín (Lote 4-1), un lote de lajas (4-2) y un tercer lote con unas piedras de bóveda del techo de la Estructura D-6 (Lote 4-2, Figura 5.3).

En un principio, se interpretó el lote 4-1 como un piso construido encima de la Estructura D-6 destruida, pero en realidad se trataba de un lote de colapso. El piso fue muy compacto y plano. Además encima del piso se encontraron, una punta de flecha en la Unidad 1, un hacha bifacial en la Unidad 2, y un fragmento de hacha en la Unidad 5. En el lote 4-3, la mayoría de las piedras de bóveda se encontraron adentro del palacio.

La cantidad de piedras de bóveda, la casi ausencia de piedras canteadas de la mampostería y la banca, sugieren que el edificio fue en gran parte desmantelado, lo que causó su colapso. Confrontando esta idea, la banca encontrada en el eje de la puerta central del palacio fue sin duda desmantelada ya que solo se halló una hilada de piedras canteadas (Figura 5.4). Justo debajo del colapso se encontró un lote de material sobre el Piso 1 adentro del palacio y afuera sobre la plataforma dentro de una matriz de ceniza (Figura 5.5 y 5.6). Se notan varias áreas de quema y en el centro de cada área, puntos de inicio de fuego sobre el piso de estuco blanco amarillento (Lotes 1-4-4, 3-4-3, 4-4-4 y 5-4-3; Figura 5.2).

Afuera del palacio, cuatro piedras canteadas del palacio desmantelado delimitaron un fogón en medio del que yacía un fragmento de fémur de venado. Adentro de dichos lotes de ceniza se registró una gran cantidad de cerámica cuya fecha corresponde al final de la fase Tepejilote 3 (800-

830 d.C.). Sobresalen algunos marcadores de la transición entre el Clásico Tardío y el Clásico Terminal. Se puede mencionar en particular una tinaja de tipo Naranja Fina sin ceniza volcánica, pero con inclusiones finas de caliza. Dichos rasgos son los vestigios de las últimas actividades en relación con la Estructura D-6. Los varios puntos de inicio de fuego sugieren rituales de terminación previa a la destrucción de la banca axial y del edificio.

Al excavar el Piso 1 en la Unidad 4, se encontró un relleno de tierra arenosa con piedrín encima del Piso 2 (Lote 4-5). Para poder fechar la construcción de la Estructura D-6, se rompió el Piso 2, encontrando un relleno de tierra arcillosa con piedrín sobre un segundo lote de relleno compuesto de piedras burdas sin argamasa. No se ha excavado el último lote pero la cerámica registrada permitió fechar a la fase Tepejilote 2 la construcción de la Estructura D-6, al igual que su remodelación mediante el Piso 1.

EXCAVACIÓN DE LA ESCALINATA: UNIDADES 6 Y 7

Con las Unidades 6 y 7 se culminaron las exploraciones sobre el proceso de abandono de la Estructura D-6.

La excavación de los dos lotes de humus reveló la misma capa de piedrín encontrada encima de los escombros de la Estructura D-6, que cubrió un depósito denso (Lotes 6-4-1 y 7-4-1 y 2, Figura 5.2) de material arqueológico de todo tipo, en una matriz de tierra arcillosa con ceniza, bastante piedrín y piedras pequeñas sobre la escalinata desmantelada y el Piso 1 de estuco blanco del patio. La gran cantidad de tiestos de mayor tamaño sugiere que este depósito es primario. Se puede interpretar como un basurero tirado encima y debajo de la escalinata. Al igual que la ceniza sobre el piso interior y exterior del palacio, la cerámica registrada contiene varios marcadores que ubican la destrucción al final de la fase Tepejilote 3 entre 800 y 830 d. C. De hecho, se pueden mencionar, entre otros, platos de tipo Belice Rojo, cantaros de tipo Cambio Sin Engobe con labios rectos, cuencos de tipo Achote Negro con forma típica del Clásico Terminal pero con un desgrasante de caliza muy fina.

CONCLUSIÓN

Además de proveer una visión parcial de la forma de la Estructura D-6, la Operación CB219A resultó muy instructiva en cuanto al final de la ocupación del Grupo D. A continuación se describirá la última etapa de construcción de la Estructura D-6 antes de describir el proceso de abandono del edificio y su contexto histórico local y regional.

La excavación de la Estructura D-6 proporcionó algunos datos acerca de su composición original. Se trata de un palacio con un cuarto central. En el eje de su puerta se encuentra una banca de forma rectangular. El vano de la puerta fue bastante ancho al igual que sus jambas. A pesar de que solo fueron conservadas dos hiladas de piedras, el ancho de las jambas y la presencia de lajas de caliza, de unas piedras de caballete y de bóveda atestiguan que el edificio era abovedado (Figura 5.3). Este palacio abovedado estaba cubierto de un repello de estuco, según se encontraron vestigios encima de su mampostería. La superestructura descansa sobre un basamento de 0.32 m de alto, también repellido con estuco.

Este último fue construido sobre una plataforma de un poco más de 1.00 m de alto. La plataforma forma una terraza de 3.40 m de ancho. Una escalinata de tentativamente cinco huellas (Figura 5.4) da acceso a la terraza desde el patio. Según la cerámica hallada en los rellenos de los pisos interiores 1 y 2, La Estructura D-6 fue construida y luego remodelada durante la fase Tepejilote 2 (720-761 d.C.).

Tiempo después, la banca y la escalinata fueron desarmadas, el edificio quemado durante la realización de un ritual de terminación. Los vestigios cuentan con la presencia de un basurero encima y al pie de la escalinata, varios puntos de inicio de fuego sobre el piso exterior e interior de la Estructura D-6. Este ritual se llevó a cabo al final de la fase Tepejilote 3, alrededor de 800 d.C. La datación de radiocarbono de las muestras recolectadas adentro de las capas de ceniza proporcionara un terminus *ante-quem* para la ocupación del edificio y un terminus *post-quem* de su destrucción. Según los textos jeroglíficos registrados hasta la fecha, el final de la fase Tepejilote 3 corresponde a la caída de Ajaw Bot en 810 d.C. en Ceibal (Vega Villalobos 2010). En la región del Petexbatun, coincide con la caída del Rey V y el abandono en 830 d.C. de la ciudad vecina de Aguateca (Inomata 1997).

En fin, la casi ausencia de piedras canteadas y las cuantas piedras de bóveda halladas adentro del colapso de la Estructura D-6 sugiere que las piedras talladas de su mampostería fueron recolectadas para usarlas en otra parte.

OPERACIÓN CB219A

Unidad 1

Nivel-Lote	Descripción
1-1	Humus, tierra arcillosa con piedrín, 10YR 3/2
3-1	Tierra arcillosa con piedrín y piedras pequeñas, 10YR 5/2
4-1	Tierra arenosa con piedrín y piedras pequeñas, 10YR 5/3
4-2	Tierra suelta con piedras pequeñas y lajas pequeñas y medianas de caliza, 10YR 6/4
4-3	Relleno de tierra suelta con piedrín, piedras de bóveda, lajas de caliza y piedras de muro, 10YR 7/4
4-4	Capa de tierra o ceniza con carbón, 2.5Y 6/3

Unidad 2

Nivel-Lote	Descripción
1-1	Humus arcilloso con piedrín, 10YR 3/2
2-1	Tierra arcillosa con piedras pequeñas y piedrín, 10YR 4/2
2-2	Tierra arenosa con piedras, 7.5YR 4/2
4-1	Tierra arcillosa con piedrín y lajas pequeñas y medianas, 10YR 5/3

Unidad 3

Nivel-Lote	Descripción
1-1	Humus arcilloso con piedrín, 10YR 3/2
3-1	Tierra arcillosa con piedrín y piedras pequeñas, 10YR 4/2
4-1	Tierra arcillosa con piedrín y lajas pequeñas y medianas, 10YR 5/3
4-2	Tierra arenosa con piedras pequeñas y piedrín, 10YR 7/4
4-3	Capa de tierra o ceniza con mucha cerámica y restos de venado, 2.5Y 6/3

Unidad 4

Nivel-Lote	Descripción
1-1	Humus arcilloso estéril con piedrín, 10YR 3/2
1-2	Humus arcilloso con piedrín, 7.5YR 3/2

- 4-1 Tierra arcillosa con piedrín, piedras pequeñas y lajas de caliza, 10YR 5/3
- 4-2 Tierra suelta con piedras pequeñas y lajas pequeñas y medianas de caliza, 10YR 6/4
- 4-3 Tierra arenosa con piedras grandes y medianas, 10YR 7/4
- 4-4 Tierra arenosa, 2.5Y 6/3
- 4-5 Tierra arenosa con piedrín, 10YR 6/3
- 4-6 Tierra barrosa con piedrín, 10YR 5/3

Unidad 5

Nivel-Lote Descripción

- 1-1 Humus arcilloso con piedrín 10YR 3/2
- 1-2 Humus arcilloso con piedrín y piedras pequeñas, 7.5YR 4/2
- 4-1 Tierra arcillosa con piedras burdas medianas y pequeñas, 10YR 5/3
- 4-2 Tierra arenosa con piedras de todo tamaño, 10YR 6/4
- 4-3 Capa de tierra con ceniza con mucho material

Unidad 6

Nivel-Lote Descripción

- 1-1 Humus arcilloso con piedras pequeñas y piedrín, 10YR 3/2
- 1-2 Humus arcilloso con piedrín y piedras pequeñas y medianas, 10YR 3/2
- 4-1 Tierra arcillosa con piedras burdas de todo tamaño, 10YR 4/2

Unidad 7

Nivel-Lote Descripción

- 1-1 Humus arcilloso con piedrín, 10YR 3/2
- 4-1 Tierra arcillosa con piedrín, 10YR 4/2
- 4-2 Tierra arcillosa con piedrín y piedras pequeñas, 10YR 4/2

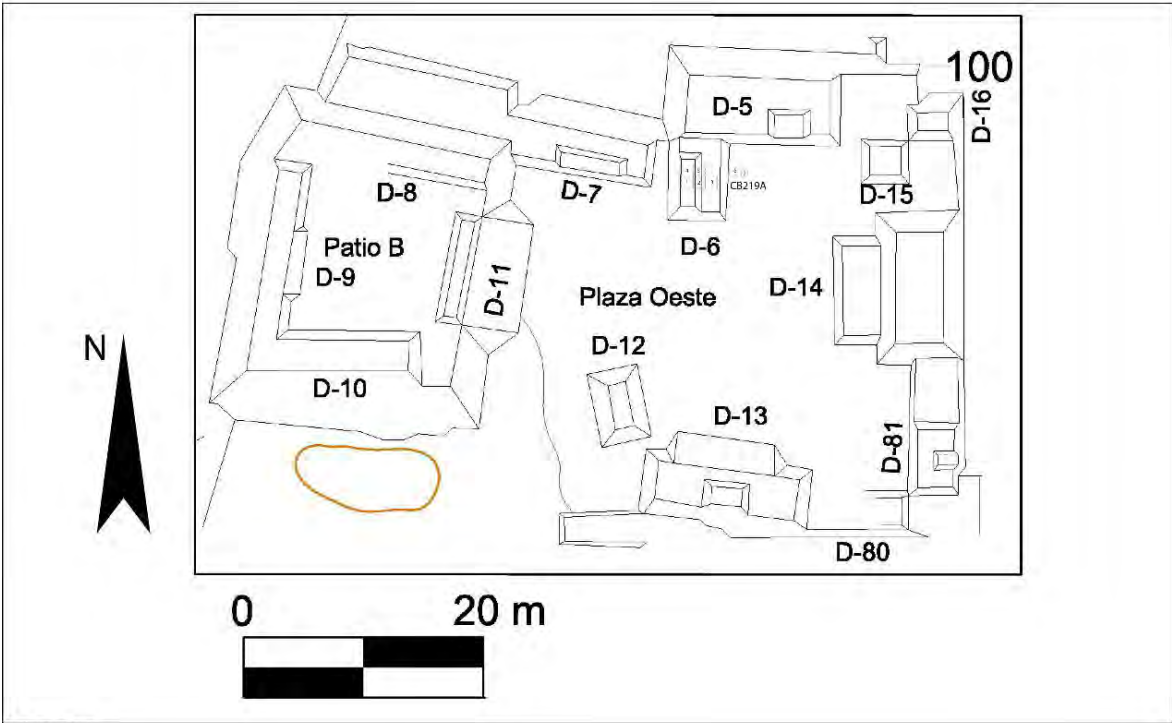


Figura 5.1. Localización de excavaciones de la Operación CB219A.

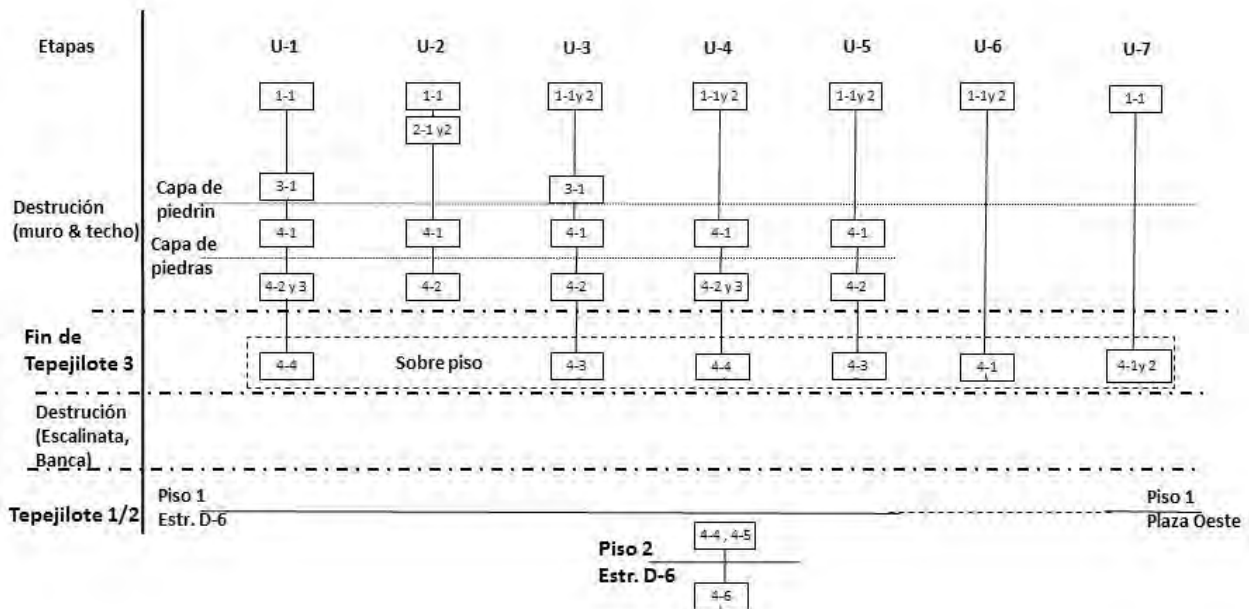
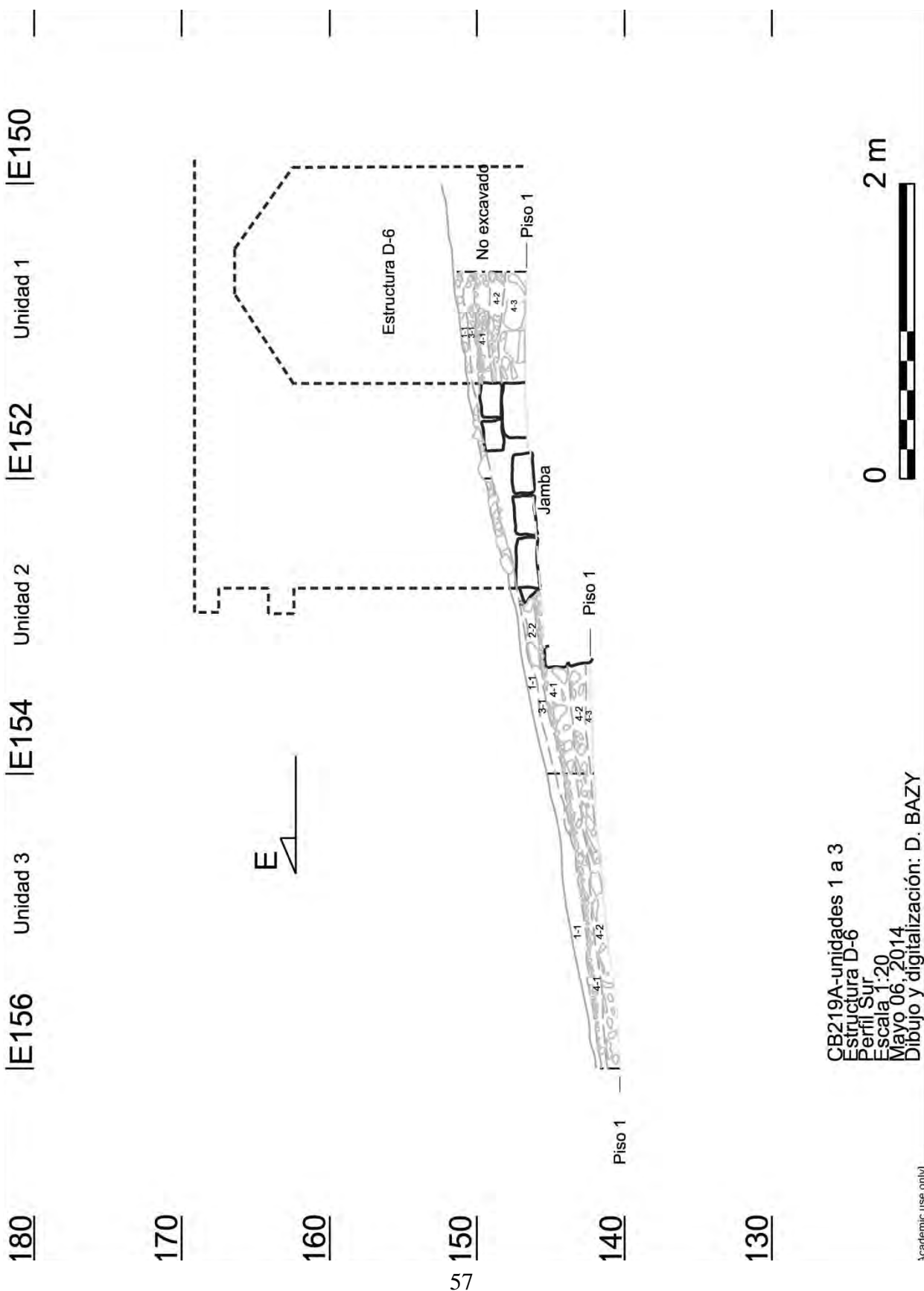


Figura 5.2. Esquema de lotes de la Operación CB219A y sus relaciones estratigráficas, elaborado por D. Bazy.



CB219A-unidades 1 a 3
 Estructura D-6
 Perfil Sur
 Escala 1:20
 Mayo 06, 2014
 Dibujo y digitalización: D. BAZY

Figura 5.3. Perfil sur de las Unidades 1 a 3, Operación CB219A.

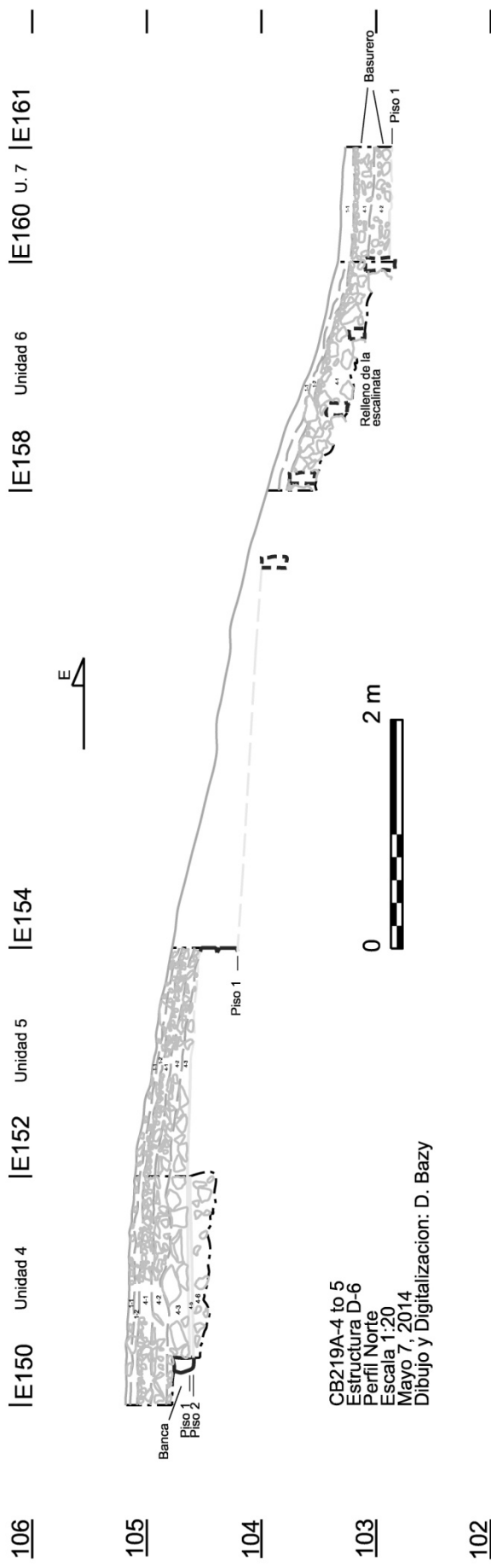


Figura 5.4. Perfil Norte de las Unidades 4 a 5, Operación CB219A.

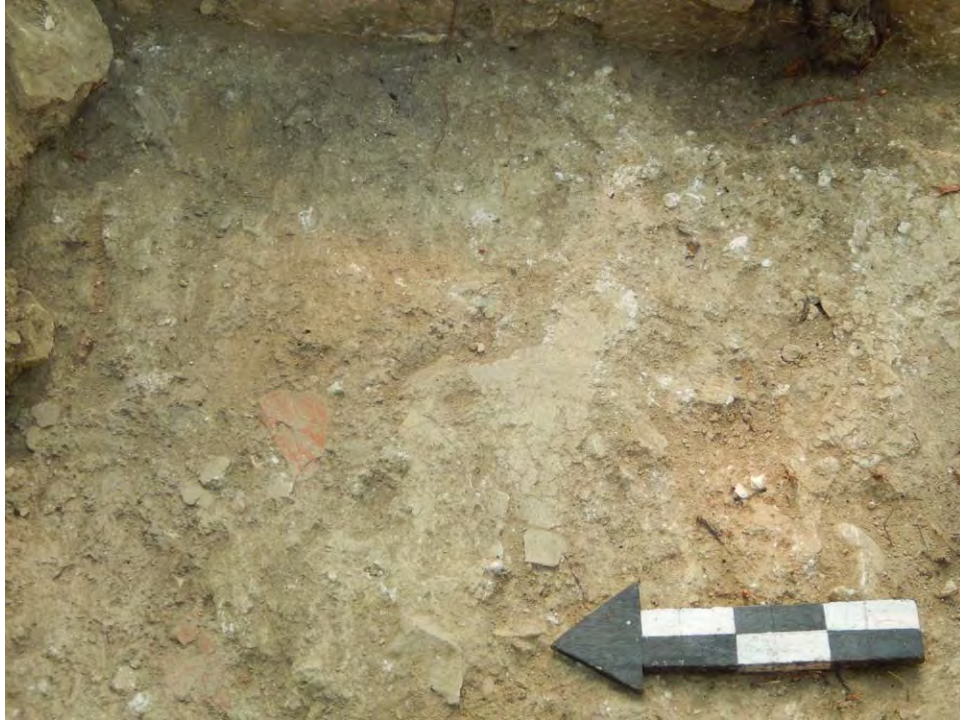


Figura 5.5. Capa de ceniza encima del Piso 1 (Unidad 1), Operación CB219A (Foto por D. Bazy).



Figura 5.6. Capa de ceniza y fémur de venado entre piedras canteadas del Edificio D-6 destruido, Operación CB219A (Foto por D. Bazy).

6. Excavaciones en la periferia este del Grupo D: Operación CB221

Damien Bazy

INTRODUCCIÓN

La Operación CB221 resulta de la hipótesis mencionada para explicar el cambio de foco de actividad constructiva del Grupo A al Grupo D. Este cambio ocurrió al principio del Proclásico (fase Xate 1, 50 a.C. - 50 d.C.). La localización del Grupo D sobre un cerro empinado provee un carácter defensivo al conjunto. Varios investigadores mantienen que dicha situación defensiva es la razón primordial de este cambio. En otros sitios arqueológicos, la presencia de rasgos defensivos durante el periodo Preclásico tardío refleja un clima de conflictos intensos (Webster 1975). Tourtellot (1988) menciona varios edificios cuya forma y ubicación responden a necesidades defensivas. Se puede señalar en particular la excavación de la Estructura D-92. Tourtellot (1988: 433-434) relata que la orientación del edificio enfrente del río La Pasión y el tipo de material recolectado, en particular un hacha, no corresponden a una función residencial pero sí defensiva. Identifica también la Estructura D-90 como la residencia del capitán de guardia.

Mediante la Operación CB221, se contempló verificar dichas interpretaciones funcionales y registrar más informaciones sobre el aspecto defensivo de dichas estructuras alineadas frente al río. ¿La relocalización de las residencias de la elite del Grupo A en dirección del Grupo D responde o no a un clima regional conflictivo?

Las investigaciones programadas para la temporada 2014 consistieron en la excavación de dos unidades de 2 x 2 m en la plataforma D-86 (CB221B) y una unidad de 2 x 2 m en la Estructura D-87 (CB221C). Buscando la Estructura D-87, se encontró un conjunto de estructuras muy similar pero durante el proceso de reconocimiento, buscando las demás estructuras a la orilla del río, se pudo constatar que existía una confusión. Las excavaciones llevadas a cabo en dicho lugar, condujeron al registro de una estructura ausente en el mapa. Es la estructura D-104a. Se trata de una plataforma rectangular con orientación este-oeste adosada a un montículo alargado. La Estructura D-104a se ubica sobre una terraza a 50 m de altura sobre el río. Se excavó un pozo de 2 x 2 m sobre el montículo largo y dos unidades en la plataforma rectangular (CB221A).

EXCAVACIÓN DE LA ESTRUCTURA D-104A: OPERACIÓN CB221A

A continuación se presentan los resultados de la Operación CB221A, empezando con la unidad excavada en el montículo largo, antes de delinear los datos referentes a la plataforma de la Estructura 104a (Figura 6.1). Los vestigios arqueológicos fueron excavados con el afán de responder a la meta de esta operación: comprobar su función defensiva. Por lo tanto solo se excavaron los niveles superficiales y parte del relleno para fechar la construcción.

CB221A-1 es una unidad excavada en la pendiente del montículo alargado al cual se encuentra adosada la Estructura D-104. Debajo de dos lotes de humus (lote 1-1 y 2), se encontró y excavó un depósito denso de material arqueológico de todo tipo en un lote de tierra vegetal muy barrosa y oscura con pocas piedras pequeñas y piedrín (Lote 4-1). Esta capa cubría la tierra natural. Los lotes mantuvieron la forma del montículo (Figura 6.3). A pesar de que no se haya encontrado ningún rasgo arquitectónico, la presencia de dicho montículo justo a la orilla de la pendiente hacia el río no parece natural. No se encontró en la superficie ningún artefacto en favor de una función defensiva.

Las unidades CB221A-2 y 3 conforman una trinchera norte-sur en el eje de la plataforma D-104a (Figura 6.1). Al remover la capa de humus, se encontró y excavó un lote de colapso con piedras pequeñas en una matriz de tierra arcillosa. En la Unidad 2, apareció un piso de piedrín asociado a una línea este-oeste de piedras burdas de gran tamaño las cuales conformaban la fachada sur de una plataforma (Figura 6.4), que descansaba sobre un basamento de 0.28 m de alto. Una rampa conducía a la plataforma desde el lado sur (Figura 6.5). Para conocer la fecha de dicha construcción muy sencilla, se excavó el relleno (lote 4-1) del Piso 1 en la Unidad 2 y de la rampa en la Unidad 3. La remoción de este relleno de tierra arenosa con piedras pequeñas reveló la presencia de un segundo piso en la Unidad 2, que era de piedrín asociado a una línea norte-sur de piedras talladas de tamaño mediano. Dicha hilada pasaba debajo de la Estructura D-104a y formaba parte de su versión anterior cuya forma queda por definir (Estructura D-104aSub1, Figura 6.6).

EXCAVACIÓN DE LA PLATAFORMA D-86: OPERACIÓN CB221B

La Plataforma D-86 se ubica, a la orilla de un espolón rocoso a una altura de 60 m arriba del Río La Pasión. Su ubicación es ideal para el control de la circulación sobre el río y de la entrada al sitio desde el río. Dos estructuras descansan sobre la plataforma, delimitan los lados norte (D-86a) y sur (D86b). En busca de evidencias de rasgos arquitectónicos o artefactos comprobando la función defensiva de la Plataforma D-86, se comenzó la operación CB221B con la excavación de una unidad de 2 x 2 m en el eje de la Estructura D-86a (Figura 6.1). Durante el proceso de excavación se tuvo que ampliar el área con una unidad de 1 x 2 m para precisar el contexto.

Excavación de la Estructura D-86a: Unidades 1 y 2

En la Unidades 1 y 2 el humus cubre un lote de colapso compuesto de piedras pequeñas y piedrín en una matriz de tierra arcillosa sobre el Piso 1 exterior en la mitad norte de la Unidad 1, el cual se encuentra a 62.88 m de altura. En la Unidad 2, el Piso 1 interior se encuentra a 62.99 m de altura. En la mitad sur de la Unidad 1, la excavación del colapso reveló el relleno de piedras burdas de todo tamaño de la fachada sur de la Estructura D-86a y en el perfil sur de la Unidad 2, piedras talladas de la plataforma basal (Figura 6.8).

No se registró ningún artefacto en los escombros o encima de los pisos que permita comprobar la función defensiva de la Estructura D-86a. La cerámica encontrada sobre el Piso 1 brindara una fecha para los últimos momentos de ocupación del área. Es muy probable que la Estructura D-86a haya sido desmantelada. La cantidad menor de piedras canteadas registradas en el colapso o en la mampostería recuerda a grandes rasgos los resultados de las excavaciones en el área central del Grupo D.

Para fechar la estructura seguimos la excavación con el relleno del Piso 1 en la Unidad 2. Abajo del relleno del Piso 1 (Lote 4-1) se encontró el Piso 2 a 62.88 m de altura. El Piso 2 es el piso interior original de la Estructura D-86a. Al excavar el Piso 2, se encontró un nivel de relleno compuesto de tres lotes (Lotes 4-2 a 4). Se trata del relleno de la plataforma basal de la Estructura D-86a (Figura 6.7).

Excavación en el centro de la Plataforma D-86: Unidad 3

Mediante la Unidad 3 se contemplaba controlar la secuencia constructiva de la Plataforma D-86 hasta llegar a la roca madre (Figura 6.7). Al remover el humus (lotes 1 y 2) se encontró y excavó el Piso 1 y una línea de piedras canteadas aflorando a la superficie del mismo que se ubicó a 62.13 m de altura. Al remover dicho piso de piedrín se encontró y excavó un lote de relleno

(Lote 4-1) sobre el Piso 2. El Piso 2 finaliza contra la fachada oeste de la plataforma de un edificio que no aparece en el mapa, se le denominó, Estructura D-86c. El Piso 2 es un piso de pedrín y se encuentra a 62.04 m de altura, se conserva únicamente en el noreste del pozo.

El Piso 2 sufrió varias intrusiones que afectaron su preservación (Figura 6.11). Una fosa circular fue excavada hasta alcanzar la roca madre en la esquina noroeste (Lote 4-3, Figura 6.7 y Figura 6.9). La mayor intrusión fue causada por la preparación de una sepultura al sur de la Unidad 3 que alcanza también la roca madre (Lote 4-5 a 8, Figura 6.7 y Figura 6.10). Al excavar el relleno de tierra arcillosa compacta con pedrín del Piso 2 (Lote 4-2), apareció una laja sobre el Entierro 161 (Lote 4-4). Se describirán detenidamente dichas intrusiones y rasgos culturales más adelante. El lecho del Entierro 161 es un relleno de sascab con pedrín y piedras pequeñas encima de un piso de estuco gris claro muy poroso (Piso 3). Al excavar el Piso 3 se encontró un relleno de pedrín totalmente estéril encima de la roca madre (Lote 5-1).

Según el material arqueológico registrado durante el proceso de excavación, el Piso 1 fecha para el final de la fase Tepejilote 3 (761-830 d.C.), cuando los siguientes pisos y la Estructura D-86c datan del Protoclásico. Es factible pensar que la Plataforma D-86 fue abandonada entre el Protoclásico y el Clásico Tardío. Antes de construir el Piso 1 sobre las estructuras del Protoclásico, depositaron un entierro cuya intrusión destruyó el Piso 2 y perturbó gran parte del Entierro 161.

Entierro 161 e intrusiones

El Entierro 161 (Figura 6.12) fue depositado entre dos lotes de relleno del Piso 2, en una matriz de tierra arcillosa con pedrín y piedras pequeñas (Lote 4-4, Figura 6.9). Tuvo una orientación norte-sur a lo largo de la Estructura D-86c. Originalmente, el individuo enterrado fue depositado en una cista rectangular delimitada con piedras burdas de tamaño mediano. La presencia de una sola laja grande permite suponer que el entierro estaba originalmente cubierto por un techo de lajas de caliza. El individuo, es un adulto cuyo sexo queda por definir. Descansaba en posición decúbito dorsal extendido, con las piernas flexionadas a nivel de la cadera y de las rodillas. Al sur, el cráneo descansaba adentro de un plato muy erosionado (VS #155) y el húmero derecho sobre un tiesto grande de tipo Sierra Rojo. El material arqueológico registrado en el lote 4-4 y la ofrenda del Entierro 161 apunta hacia una fecha Protoclásica. Según el hallazgo de cuentas circulares de concha esparcidas adentro de la sepultura del entierro, el ajuar del difunto contaba con un collar o una pulsera.

Posteriormente la construcción de otra sepultura al sur de la Unidad 3 llevó a abrir la sepultura del Entierro 161. Se removió el techo de lajas y los huesos del individuo desde su cadera hasta la cabeza. Los huesos fueron reunidos alrededor de la cabeza y las cuentas circulares de concha fueron esparcidas en la sepultura. Depositaron un cuenco del grupo Achote y tipo Cubeta Inciso (VS #148) con una forma típica del Clásico Terminal. Sus bordes son curvo-convergentes y tiene un pedestal anular. Dicha vasija indica que la intrusión en el Entierro 161 fecha al final de la fase Tepejilote 3 (761-830 d.C.).

En fin, la intrusión (Lote 4-3) adentro del Piso 2 alcanza la roca madre. Presenta una matriz de tierra arenosa y ceniza. El hallazgo de las cuentas circulares de concha idénticas a las que se registraron en el Entierro 161 sugiere que la intrusión fue hecha durante un ritual culminando con el depósito del entierro de la fase Tepejilote 3. Los habitantes de la Plataforma D-86 tenían un gran respeto hacia el difunto del Entierro 161, aunque parece que la intrusión del entierro tardío alcanzó el entierro del Protoclásico por casualidad. Efectivamente, el área excavada para la construcción de la sepultura del entierro tardío parece muy amplia, da la sensación que al darse cuenta de la presencia del Entierro 161, ampliaron la intrusión para acceder adentro y reverenciar adecuadamente al ancestro ahí depositado con una ofrenda (VS #148) y un ritual de entrada del fuego en el Lote 4-3 intrusivo en el Piso 2.

EXCAVACIÓN DE LA ESTRUCTURA D-87: OPERACIÓN CB221C

La Operación contemplaba responder a la misma meta que las previas operaciones. Se ubicó sobre la Estructura D-87 construida al borde de una terraza y a la orilla de una fuerte pendiente hacia el río, se trata de un montículo alargado que se encuentra adosado a una plataforma con orientación este-oeste (Figura 6.13). Recuerda a grandes rasgos el contexto de la Operación CB221A.

Al quitar la capa de humus (lote 1-1), se encontró y excavó un colapso de piedras pequeñas (Lote 2-1) encima de una capa de piedrín (Figura 6.14). En la superficie de esta capa de piedrín se encontró una pequeña cantidad de material arqueológico cuya fecha queda por definir. Debajo, apareció un depósito denso de material arqueológico en una matriz de tierra arenosa suelta con piedrín y piedras pequeñas (Lote 4-1). No se continuó la excavación.

Las evidencias apuntan a una clara similitud con los resultados en la Unidad 1 de la Operación CB221A ya que se volvió a encontrar una capa de piedrín sobre un depósito denso. Los lotes mantienen la forma curva del montículo sin mampostería o una forma bien definida.

CONCLUSIÓN

En la Unidad 1 de las Operaciones CB221A y CB221B, aunque no se haya ningún vestigio de construcción de mampostería, la forma y la ubicación de los montículos largos (Estructuras D-104a y D-87) respecto a la topografía llaman la atención. Ninguna evidencia apunta hacia una función defensiva. Sin embargo, podría haber sido usado para detener el agua de lluvia cayendo de la parte alta del Grupo D. El agua pudo haberse acumulado en la parte onda que los dos montículos delimitan en su lado oeste.

En la Operación CB221A en particular, la acumulación de tierra vegetal sobre la tierra natural sugiere que los sedimentos se acumularon en contra y encima del montículo. Dicha tierra podría ser muy favorable para la agricultura. Otra hipótesis podría explicar las modificaciones de la topografía local, la parte onda a la par del montículo puede ser una cantera de sascab y el montículo largo, el resultado de la acumulación de escombros de la excavación.

En las Unidades 2 y 3 de la Operación CB221A, no se encontró algún artefacto o rasgo arquitectónico que ilustre claramente una función defensiva para la Estructura D-104a. Al contrario, la cercanía del basurero hallado sobre el montículo largo en la Unidad 1, sugiere una ocupación residencial de gente muy sencilla, cuya actividad cotidiana podría ser la agricultura o la extracción de sascab. Dicha hipótesis puede ser aplicada también al grupo residencial asociado a la Estructura D-87 (Figura 6.13).

Para concluir, la excavación de la Operación CB221B se convirtió en una investigación de un pequeño patio residencial sobre una plataforma. El patio fue abierto al oeste, ocupado desde el Protoclásico. Se depositó en aquel tiempo un individuo en el Entierro 161, en el centro del patio. Luego es posible que el patio fue abandonado antes de conocer una reocupación tardía en la historia del sitio. En la fase Tepejilote 3, los habitantes depositaron un nuevo entierro que no se ha excavado. Al construir la sepultura del entierro tardío, perturbaron el Entierro 161 y realizaron un ritual de quema en la intrusión a la par, depositando una vasija sobre sus piernas para honrar al ancestro del Protoclásico.

OPERACIÓN CB221A

Unidad 1

Nivel-Lote

Descripción

- 1-1 Humus, tierra arcillosa, 10YR 3/2
- 1-2 Humus, tierra arcillosa con pedrín, 10YR 2/2
- 4-1 Tierra arcillosa con pedrín y piedras pequeñas y medianas, 10YR 4/2

Unidad 2

Nivel-Lote

Descripción

- 1-1 Humus, tierra arcillosa, 10YR 3/2
- 2-1 Tierra arcillosa suelta con piedras pequeñas, 10YR 4/3
- 4-1 Tierra arenosa, 10YR 5/3

Unidad 3

Nivel-Lote

Descripción

- 1-1 Humus, tierra arcillosa, 10YR 3/2
- 2-1 Tierra arcillosa suelta con piedras pequeñas, 10YR 4/3
- 4-1 Tierra arenosa, 10YR 5/3

OPERACIÓN CB221B

Unidad 1

Nivel-Lote

Descripción

- 1-1 Humus, tierra arcillosa con piedras de relleno y colapso, 10YR3/2
- 2-1 Tierra arenosa con piedras pequeñas y medianas de colapso, 10YR 4/2
- 4-1 Tierra arenosa con piedras burdas de todo tamaño, 10YR 4/3

Unidad 2

Nivel-Lote

Descripción

- 1-1 Humus estéril, tierra arcillosa, 10YR 3/2
- 1-2 Humus, tierra arcillosa, 10YR 4/2
- 3-1 Tierra arcillosa, 10YR 4/2
- 4-1 Tierra arenosa con pedrín y piedras pequeñas, 10YR 4/3
- 4-2 Tierra arenosa con pedrín y piedras pequeñas, 10YR 4/3
- 4-3 Tierra arenosa con pedrín, 2.5Y 4/4
- 4-4 Tierra arenosa con piedras pequeñas

Unidad 3

Nivel-Lote

Descripción

- 1-1 Humus estéril, tierra arcillosa, 10YR 3/2
- 1-2 Humus, tierra arcillosa, 10YR 4/2
- 4-1 Tierra arcillosa compacta con un poco de pedrín, 10YR 4/2
- 4-2 Tierra arcillosa compacta con un poco de pedrín, 10YR 5/2
- 4-3 Tierra arenosa suelta, 2.5Y 3/2
- 4-4 Tierra arcillosa compacta con pedrín y piedras pequeñas, 10YR 5/4 Entierro
- 161
- 4-5 Tierra arcillosa con pedrín, 2.5Y 5/3 Entierro 161
- 4-6 Tierra arcillosa con pedrín y piedras pequeñas, 2.5Y 5/3
- 4-7 Tierra arcillosa con piedras pequeñas y medianas, 2.5Y 5/2
- 4-8 Tierra arcillosa compacta con pedrín y piedras pequeñas, 2.5Y 7/2

- 4-9 Sascab arenoso compacto, con pedrín y piedras pequeñas, 2.5Y 7/3
- 5-1 Sascab con pedrín, 2.5Y 7/3
- 5-2 Caliza compacta deshecha con piedras pequeñas y pedrín, 10YR 7/4
- 5-3 Roca madre estéril, 10YR 7/4

OPERACIÓN CB221C

Unidad 1

Nivel-Lote	Descripción
1-1	Humus, tierra arcillosa, 10YR 3/2
2-1	Tierra arenosa con pedrín, 10YR 3/3
3-1	Tierra arenosa suelta con pedrín, 10YR 3/3
4-1	Tierra arenosa suelta con piedras pequeñas y pedrín, 10YR 4/2

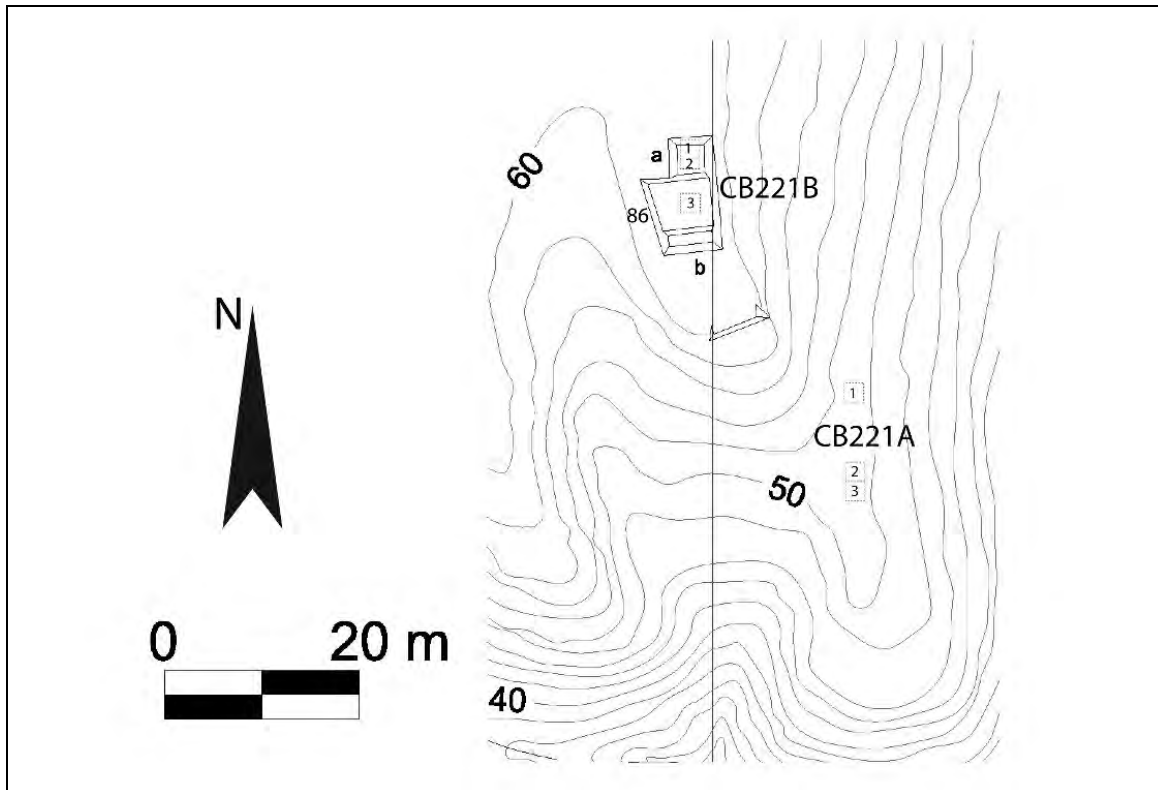


Figura 6.1. Localización de las Operaciones CB221A y CB221B.

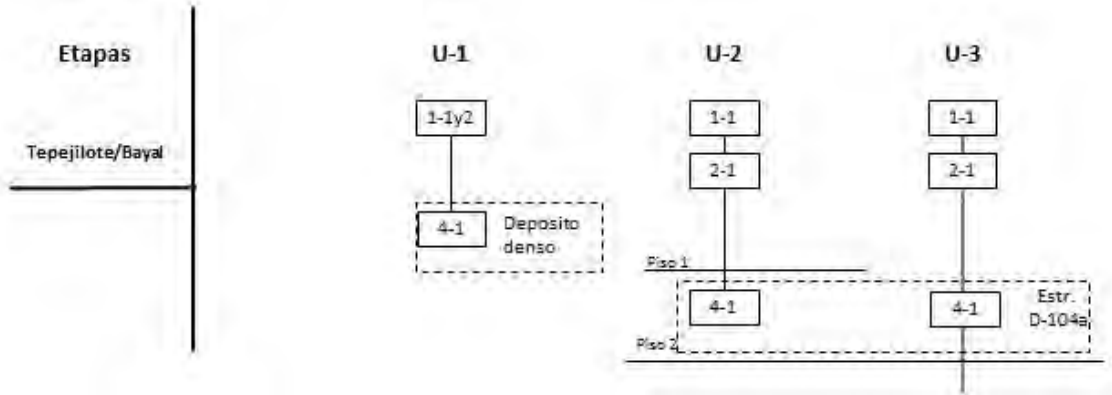
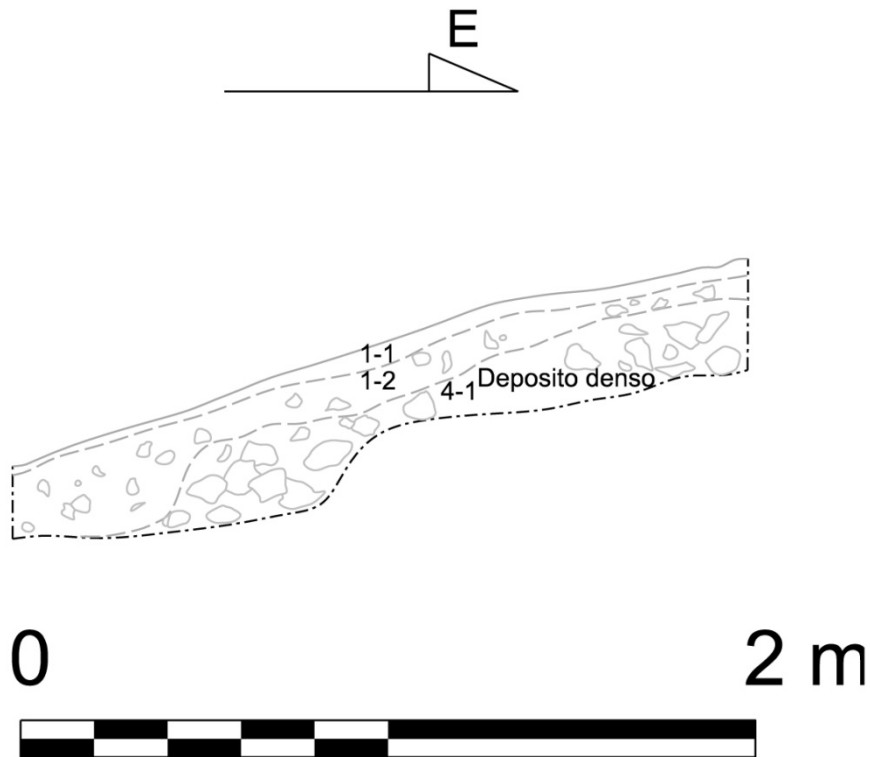
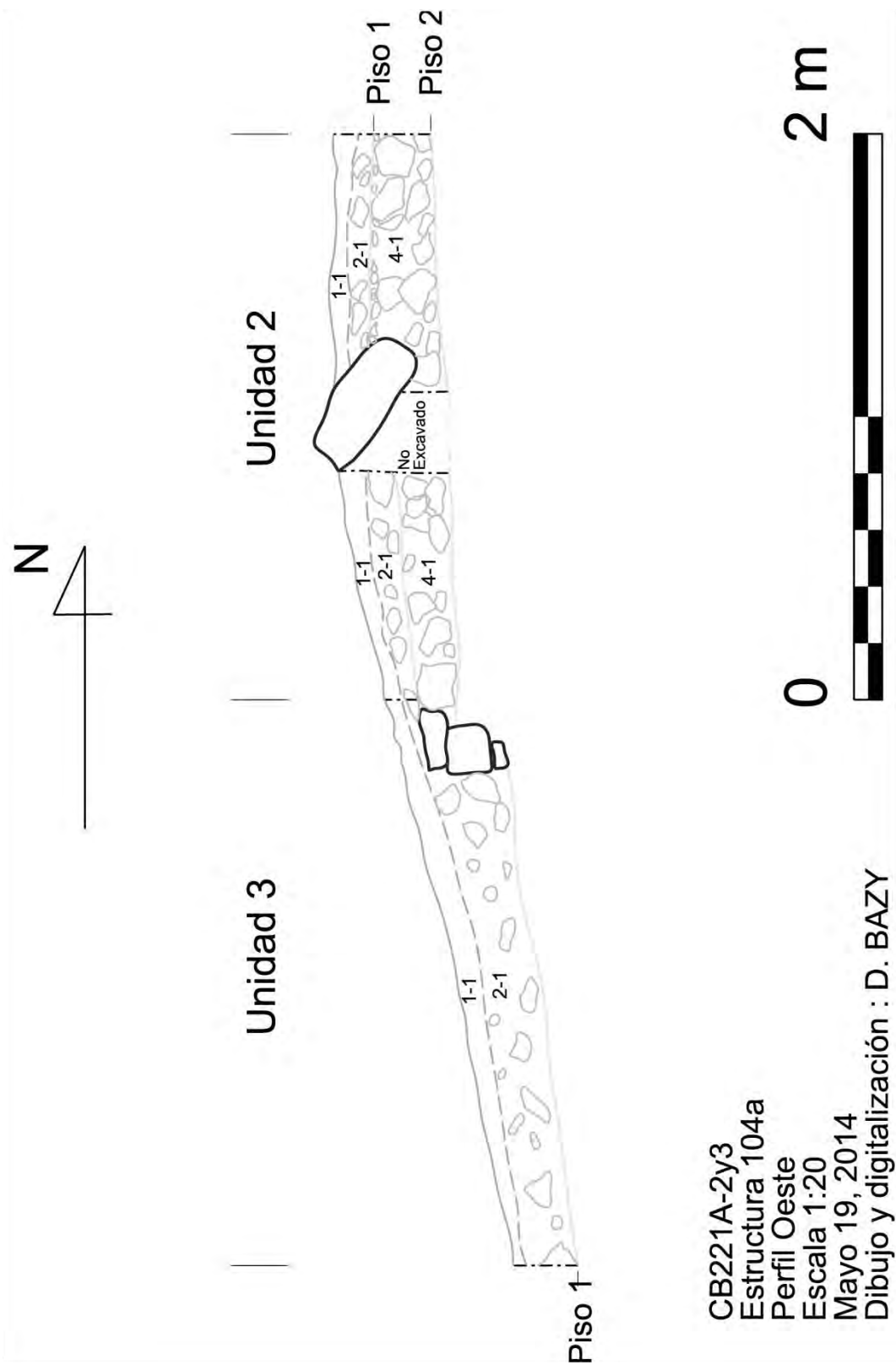


Figura 6.2. Esquema de lotes de la Operación CB221A y sus relaciones estratigráficas, elaborado por D. Bazy.



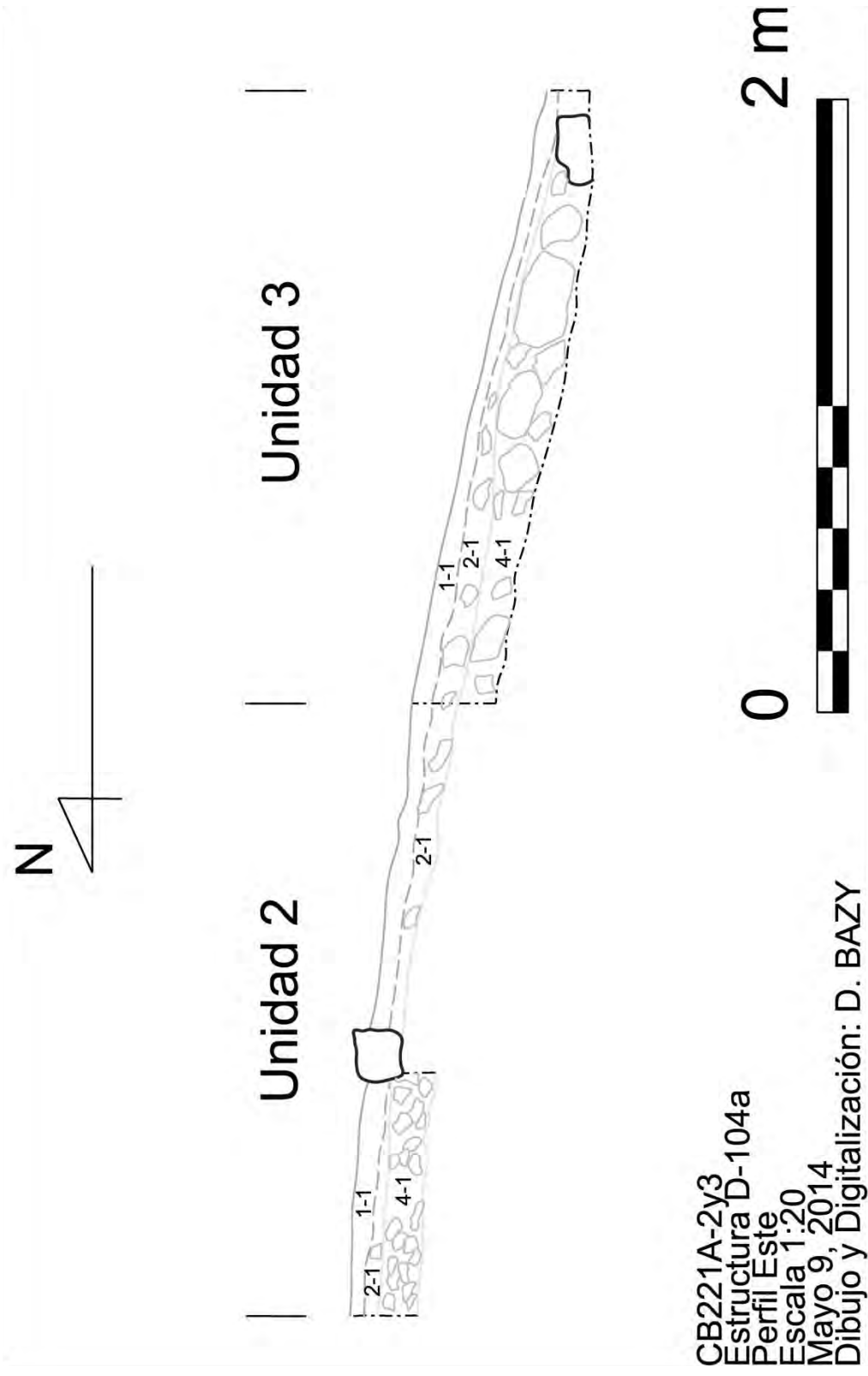
CB221A-1
 Perfil norte
 Escala 1:20
 Mayo 10, 14
 Dibujo y Digitalización : D. BAZY

Figura 6.3. Perfil norte de la Unidad 1, Operación CB221A.



CB221A-2y3
 Estructura 104a
 Perfil Oeste
 Escala 1:20
 Mayo 19, 2014
 Dibujo y digitalización : D. BAZY

Figura 6.4. Perfil Oeste de las Unidades 2 y 3, Operación CB221A.



CB221A-2y3
 Estructura D-104a
 Perfil Este
 Escala 1:20
 Mayo 9, 2014
 Dibujo y Digitalización: D. BAZY

Figura 6.5. Perfil este de las Unidades 2 y 3, Operación CB221A.

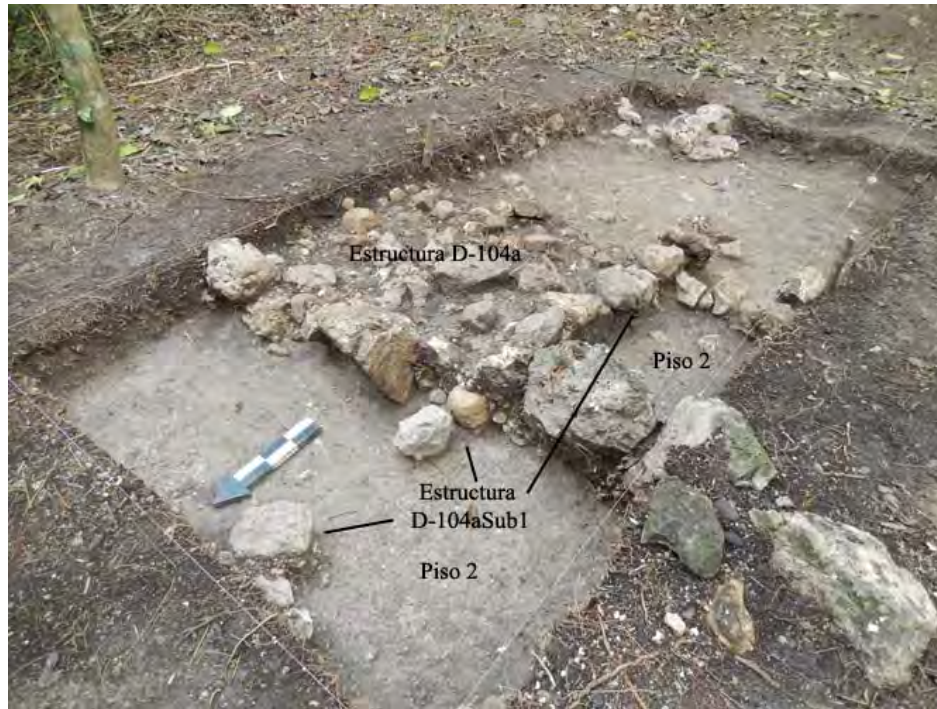


Figura 6.6. Estructuras D-104a y D-104aSub1, Operación CB221A (Foto por D. Bazy).

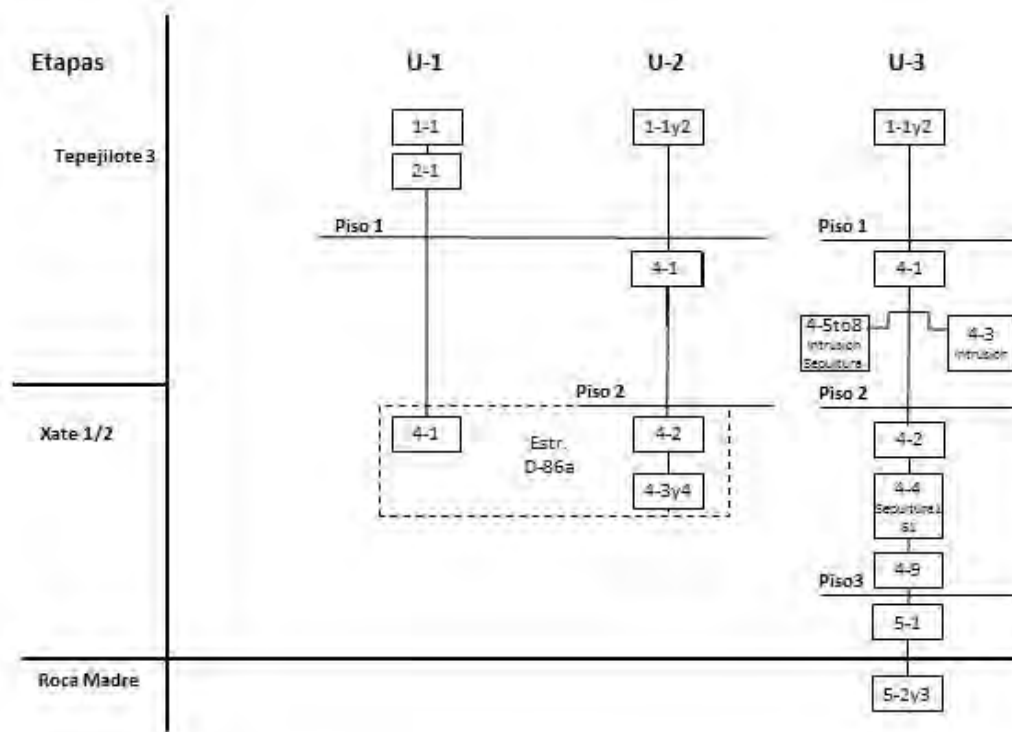


Figura 6.7. Esquema de lotes de la Operación CB221B y sus relaciones estratigráficas, elaborado por D. Bazy.

64



63



CB221B-1y2
Estructura 86a
Perfil Oeste
Escala 1:20
Mayo 14, 2014
Dibujo y digitalización: D. BAZY



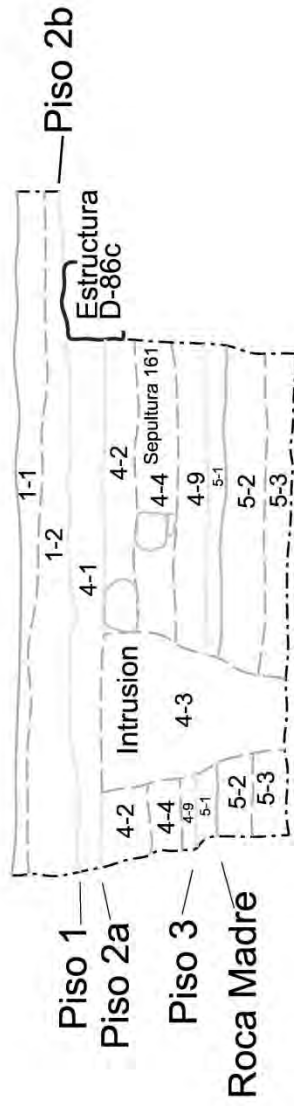
Figura 6.8. Perfil oeste de las Unidades 1 y 2, Operación CB221B.

63

Unidad 3



62



61

2 m

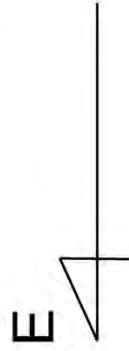


CB221B-3
Estructura D-86c
Perfil Norte
Escala 1:20
Mayo 21, 2014
Dibujo y Digitalización: D. BAZY

Figura 6.9. Perfil norte de la Unidad 3, Operación CB221B

63

Unidad 3



62



61

0 2 m



CB221B-3
Estructura D-86c
Perfil Sur
Escala 1:20
Mayo 21, 2014
Drawing & Digitalización: D. BAZY

Figura 6.10. Perfil sur de la Unidad 3, Operación CB221B.

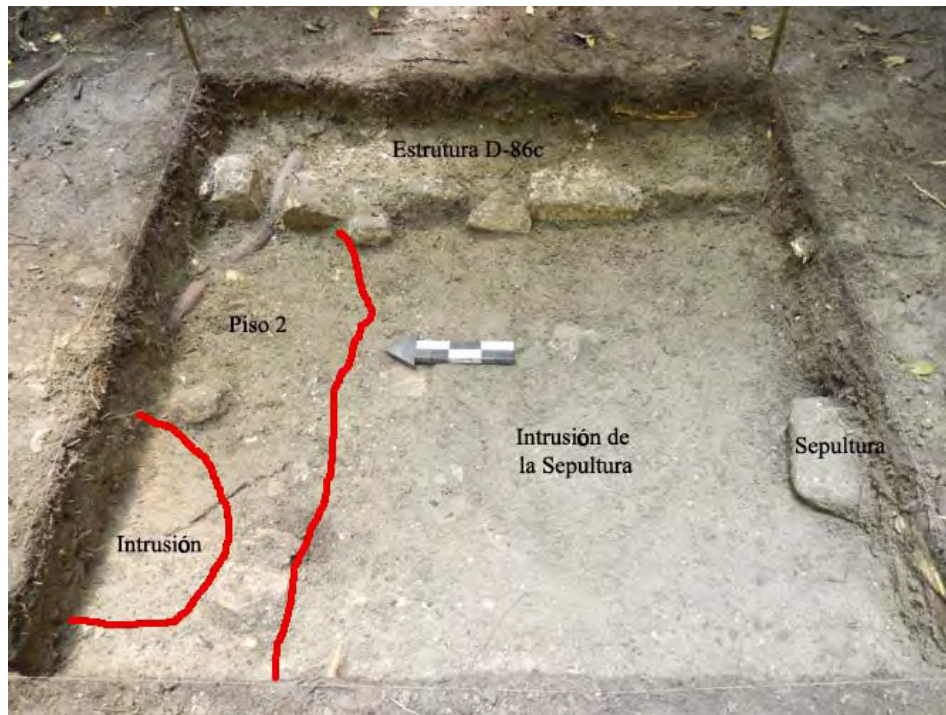


Figura 6.11. Intrusiones en el Piso 2 frente a la Estructura D-86c, Operación CB221B (Foto por D. Bazy).



Figura 6.12. Entierro 161 e intrusiones frente a la Estructura D-86c, Operación CB221B (Foto por D. Bazy).

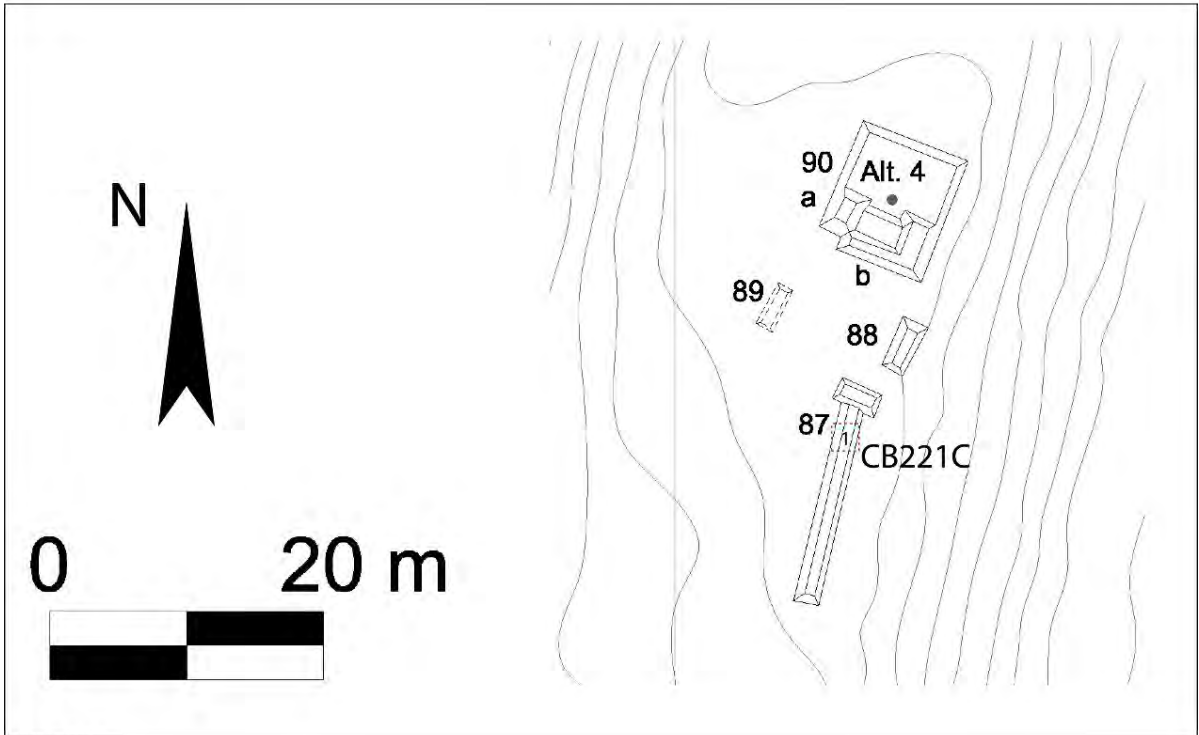


Figura 6.13. Localización de excavaciones de la Operación CB221C.

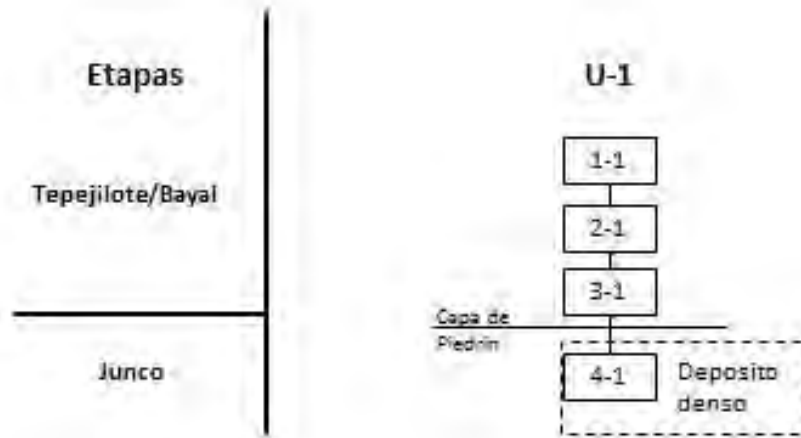
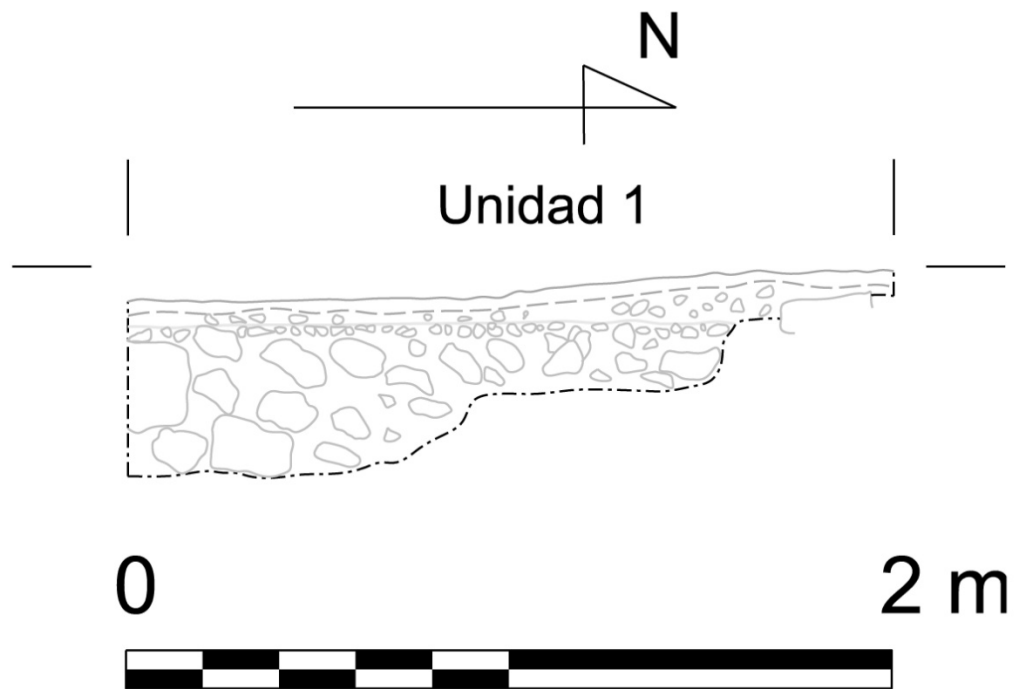


Figura 6.14. Esquema de lotes de la Operación CB221C y sus relaciones estratigráficas, elaborado por D. Bazy.



CB221C-1
Estructura 97
Perfil Oeste
Escala 1:20
Mayo 22, 2014
Dibuio y digitalización: D. BAZY

Figura 6.15. Perfil oeste de la Unidad 1, Operación CB221C.

7. Excavaciones en el Grupo Karinel (Plataforma 47-Base): Operación CB211

Jessica MacLellan y Marta Alejandra Cordero

INTRODUCCIÓN

La Estructura 47-base es una gran plataforma residencial ubicada a 160 m al oeste de la Plaza Central del Grupo A. Hay seis estructuras encima de la plataforma: la Estructura 47, que probablemente era un templo pequeño; las Estructuras 45 a-d, que son cuatro plataformas largas en un grupo patio; y la Estructura 46, otra plataforma pequeña. La Estructura 47-base fue investigada por Gair Tourtellot (del proyecto de la Universidad de Harvard) en los años 60's, durante un reconocimiento de la periferia de Ceibal (Tourtellot 1988). En la Operación 144, Tourtellot realizó una excavación pequeña en la Estructura 47 y un pozo de 2 x 2 m enfrente de la misma (Tourtellot 1988: 171-174). La Estructura 47-base fue fechada al Preclásico Medio, porque Tourtellot encontró cerámica de las fases Real-Xe y Escoba-Mamom sobre la roca madre.

Se identificó como “Grupo Karinel” a la Plataforma 47-base, porque allí se encontraron muchos restos de tortugas, peces y otros animales de río. En idioma Q'eqchi', *aj karinel* significa “pescador.”

En 2012, se iniciaron excavaciones extensivas en el Grupo Karinel (MacLellan 2012; Figura 7.1). El objetivo fue encontrar y exponer construcciones preclásicas para entender más de la arquitectura y las prácticas domésticas de las épocas tempranas y de las primeras élites, de Ceibal. Se realizaron tres operaciones. La Operación CB211A fue colocada en la plaza enfrente de la Estructura 47, para ver y refinar la cronología de la plataforma. Se trazó la Operación CB211B en el lado oeste de la plataforma, al norte de la Estructura 46, para buscar edificios preclásicos. La Operación CB211C fue colocada en el patio del Grupo 45, para ver si existían ocupaciones preclásicas en la parte norte del Grupo Karinel, sin embargo, las excavaciones sólo exploraron los niveles clásicos, ya que se decidió enfocar en las otras dos Operaciones, CB211A y CB211B, las cuales fueron ampliadas extensivamente. En CB211A, se encontró una ocupación considerable del periodo Protoclásico, incluyendo un gran escondite. En CB211B, se expuso una serie de plataformas residenciales fechadas al Preclásico Medio Tardío (fase Escoba-Mamom). En estas dos operaciones, hubo ocupación del Preclásico Medio Temprano (fase Real-Xe). En CB211B, se descubrió un entierro de individuos múltiples con siete vasijas de la fase Real-Xe Tardío (800-700 a.C.).

En 2013, durante una temporada más corta, se siguió excavando en el Grupo Karinel (MacLellan y Serech 2013; Figura 7.1). Se extendió la Operación CB211B para descubrir los tamaños y las orientaciones de las estructuras preclásicas que se habían encontrado en 2012 y para buscar rasgos preclásicos en la roca madre. También se trazó la Operación CB211D en la parte sureste del grupo, al este de la Operación CB211A, para buscar más evidencia de la ocupación del Preclásico Medio Temprano. En fin, no se hallaron construcciones ni depósitos de ese periodo en CB 211D, y se pensó que la ocupación Real-Xe se había restringido a las áreas de la plataforma donde la roca madre era más alta.

En 2014, con la estudiante Marta Alejandra Cordero, se extendió la Operación CB211B al sur para buscar el grupo patio del periodo Preclásico Medio (Figura 7.1). Cuando no se encontraron los límites de la construcción Escoba-Mamom Tardío, se realizó otra trinchera al este, la Operación CB211E (Figura 7.1). Se concluyó que las construcciones preclásicas excavadas en 2012 y 2014 son extensiones de la plataforma base, y el grupo patio nunca estuvo en la parte oeste del Grupo Karinel. Se continuó la excavación en la Operación 211C, iniciada en 2012, que se ubica dentro del grupo patio Clásico Terminal (Figura 7.1). Allí, se encontró una

estructura circular baja, la Estructura Sutsu, que se fecha a la fase Escoba-Mamom. La Estructura Sutsu probablemente era un espacio ritual, como estructuras similares que se encontraron en Belice y Yucatán. Parece que esta estructura estuvo dentro de un grupo patio del Preclásico Medio. Más arriba, se encontró una plataforma que se fecha al periodo Preclásico Tardío (fase Cantutse-Chicanel). Entonces, el grupo patio Preclásico se ubica abajo del grupo patio Clásico. En el eje central del grupo patio Clásico Terminal, se encontró una serie de cuatro entierros con ofrendas élites que también se fechan al Clásico Terminal.

OPERACIONES CB211B & CB211E

Preclásico Medio Tardío

Este año, se excavó una trinchera de 2 x 8 m al sur de las unidades anteriores a la Operación CB211B, para buscar los límites de la Estructura Maax (investigado en 2012 y 2013) y encontrar otras estructuras del periodo Preclásico Medio. Cuando no se encontró el muro sur de la Estructura Maax, se observó que la estructura no era una plataforma pequeña de un grupo patio. Se descubrió el muro sur en una prueba de pala, 2 m al sur de la trinchera. La Estructura Maax es una gran construcción de 10 m de largo norte-sur. Se excavó la Operación CB211E con una trinchera de 2 x 10 m, en el eje central este-oeste de la Estructura Maax, para buscar el muro este y lo que estaba enfrente de la estructura. No se encontró el muro este de la Estructura Maax. La superficie de la estructura continúa al este. Se concluye que la Estructura Maax era una extensión y nivelación de la Plataforma 47-base, ampliando toda el área residencial del Grupo Karinel al oeste. Esta extensión se fecha al fin del periodo Preclásico Medio, en la fase Escoba-Mamom 3 (500-400 a.C.).

En 2012 y 2013, también se encontró la Estructura Tz'unun, debajo de la Estructura Maax, que se fecha a la fase Escoba-Mamom 2 (600-500 a.C.). Este año, fue descubierta la fachada este de la Estructura Tz'unun (Figura 7.2). Esta plataforma tiene 8 m de ancho este-oeste y más de 8 m de largo, norte-sur. La Estructura Tz'unun también fue una extensión y nivelación de la plataforma base al oeste, pero fue construido, cuando el suelo natural estaba expuesto al este. Entonces, la gente vivía encima de la roca madre hasta aproximadamente el año 500 a.C. El material de las épocas anteriores se limpió de la superficie y por eso se han hallado depósitos de la fase Real-Xe (1000-700 a.C.) alrededor de la orilla de la Plataforma 47-base.

Protoclásico

Arriba de los niveles preclásicos, cerca de la superficie, se encontró una plataforma pequeña y en mal estado que se fecha al periodo Protoclásico (50 a.C. – 300 d.C.). También se descubrió el Escondite 168, un depósito poco profundo de pequeñas piedras de río, lascas de pedernal, dos esferas de caliza y huesos de tortuga (Figura 7.3). No se encontró el piso Clásico Terminal en esta área porque estaba muy erosionado y mezclado con el humus.

OPERACIÓN CB211C

La Operación CB211C, dentro del grupo patio Clásico Terminal, se empezó en 2012 como una unidad de 2 x 2 (Figura 7.1), excavamos solamente el piso Clásico Terminal. Este año, se continuó excavando la misma unidad y eventualmente se amplió la operación para exponer la Estructura Sutsu. Se excavaron siete unidades de diferentes tamaños (Figura 7.4). La Unidad 1 de 2 x 2 m más una pequeña extensión al noreste para exhumar el Entierro 149. La Unidad 2 de 2 x 2 m se ubico al norte de la Unidad 3. La Unidad 3 de 2 x 3 m se localizó al oeste de la Unidad 1. La Unidad 4 de 2 x 2 m se ubico al sur de la Unidad 3. Las Unidades 5, 6, y 7 fueron más pequeñas y de formas irregulares. La Unidad 5 se localizó al este de la extensión de la Unidad 1.

La Unidad 6 al oeste de las Unidades 3 y 4, y la Unidad 7 al este de la Unidad 2 y al norte de la Unidad 1.

Clásico Terminal

Las Estructuras 45a, 45b, 45c, y 45d son las plataformas residenciales del grupo patio Clásico Terminal. El Piso 1 se fecha para este periodo. En el eje central norte-sur del grupo patio, se encontraron cuatro entierros intrusivos en el Piso 1. Todos estos entierros contenían ofrendas, incluyendo vasijas cerámicas de pasta fina. Uno de ellos fue de un adulto y los otros tres de niños, todos estaban orientados este-oeste, con las cabezas al este, extendidos en posición dorsal.

El Entierro 152 se encontró en la Unidad 2, debajo de lajas de piedra (Figura 7.5). Este fue el único entierro con lajas. Encima de las lajas había una figurilla cerámica (silbato) de un hombre con tocado en forma de guacamaya, con pigmento azul. El entierro contenía el esqueleto de un niño, muy erosionado, con tres tipos de cuentas (de hueso y concha) y un cuenco tipo Pabellón Modelado (pasta naranja fina).

El Entierro 155 se encontró en la Unidad 4 (Figura 7.6), no tuvo cista. Contenía un esqueleto de niño, un cuenco tipo Pabellón Modelado, un cuenco tipo Camaron Inciso, una figurilla cerámica (silbato) de un personaje con la cabeza de murciélago, una figurilla cerámica (silbato) de un hombre con mejillas gordas, cuentas de hueso, piedra verde y un artefacto pequeño de cuarzo trabajado. Las dos figurillas con mucho pigmento azul.

El Entierro 156 se encontró en la Unidad 4 (Figura 7.7), sin cista. Contenía el esqueleto de un niño, una cuenta de concha, una vasija tipo Naranja Fino y una vasija tipo Poite Inciso (pasta gris fina). También se encontró un cántaro quebrado (tipo Tinaja Rojo) arriba de este entierro.

El Entierro 159 se encontró en la Unidad 4 (Figura 7.8), no tuvo cista. Contenía el esqueleto de un adulto, un plato tipo Trapiche Inciso (pasta naranja fina), y un cuenco tipo Naranja Fino.

En la Unidad 3, se encontró un pozo circular lleno de arcilla plástica, como el pozo de arcilla del Clásico Terminal encontrado en la Operación CB211A durante la temporada 2012 (MacLellan 2012). La arcilla podría ser de una aguada o del río. Aunque se encontró un entierro secundario en el fondo del pozo de CB211A, no hubo ningún depósito en el fondo del pozo de CB211C.

Protoclásico

Los Pisos 2 y 3 posiblemente son del periodo Protoclásico, sin embargo, aún se está realizando el análisis cerámico correspondiente.

Preclásico Tardío

Debajo de los Pisos 2 y 3, se encontró la fachada sur de una plataforma, Estructura “A,” que se fecha para el periodo Preclásico Tardío (fase Cantutse-Chicanel) en la parte norte de la operación (Figura 7.9). Esta estructura está asociada a un piso de estuco, el Piso 4. La Estructura “A” probablemente fue la plataforma norte del grupo patio durante el Preclásico Tardío. Se construyó una extensión de la plataforma al sur, encima del Piso 4, que se llama Estructura “B” (Figura 7.9). Se depositaron dos entierros debajo de esta Estructura “B,” entre el Piso 4, los Entierros 149 y 157.

El Entierro 149 se encontró en la Unidad 1 (Figura 7.10). Contenía el esqueleto de un adulto, sin ofrendas. Se encontró un círculo de piedras alrededor de la cabeza, pero no había otra cista. El esqueleto estaba en posición dorsal extendido, orientado este-oeste, con la cabeza al este.

El Entierro 157 se encontró en la Unidad 3. Contenía el esqueleto de un adulto, sin ofrendas, ni cista. El esqueleto estaba recostado sobre su lado izquierdo, con las piernas flexionadas y las rodillas tocando el torso. Estaba orientado este-oeste, con la cabeza al este.

El Piso 5 es un piso empedrado debajo del Piso 4.

Preclásico Medio Tardío

El Piso 6, estaba sobre la Estructura Sutsu, probablemente se fecha para la fase Escoba-Mamom 3, del final del Preclásico Medio Tardío, como la Estructura Maax en la Operación CB211B.

La Estructura Sutsu se fecha para la fase Escoba-Mamom 2, como la Estructura Tz'unun en la Operación CB211B (Figura 7.4, Figura 7.11, Figura 7.12). Se construyó encima del Piso 9, un nivel de suelo natural sobre la roca madre. La Estructura Sutsu es circular, con un diámetro de 5 m. Su muro consiste en dos anillos de bloques, con una abertura en la parte suroeste, posiblemente la entrada de la plataforma circular. La Estructura Sutsu es muy baja, con una altura de 20-40 cm. No presentó ninguna superestructura. Como ejemplos encontrados en áreas residenciales de otros sitios mayas, que también se fechan en periodo Preclásico Medio Tardío, la Estructura Sutsu probablemente era un espacio abierto para actuaciones rituales (Aimers et al. 2000; Hendon 2000). La estructura consistía en dos niveles de relleno. El nivel superior tenía muchas piedras pequeñas. En dos sectores de la superficie de la estructura, no se encontró este nivel pedregoso. Debajo de estas áreas se encontraron depósitos entre la estructura. En la parte norte, se descubrió una intrusión que contenía piedras grandes (Figura 7.4, Figura 7.12). Esta intrusión posiblemente fue un escondite de algo perecedero. En la parte oeste, se localizó el Entierro 160 (Figura 7.4, Figura 7.12).

El Entierro 160 fue intrusivo entre la Estructura Sutsu y la roca madre. Se encontró la mitad izquierda de un esqueleto, sin cráneo (Figura 7.13). El cráneo posiblemente fue sacado intencionalmente, sin embargo, se encontraron dos dientes. Parece que el Entierro 160 fue cortado por intrusiones más tardías. En este aspecto, el Entierro 160 se parece al Entierro 128, descubierto en la Operación CB211B durante la temporada de 2012 (MacLellan 2012). El Entierro 160 tenía una orientación, noreste-suroeste, con la cabeza al suroeste, en posición dorsal extendido.

En el parte sur de la Estructura Sutsu, se encontró una acumulación de piedras encima del muro y afuera de la estructura (Figura 7.11). Esta concentración de piedras posiblemente funcionaba como una pequeña rampa, pero fue depositado, después de la construcción de la estructura.

Se excavó afuera de la Estructura Sutsu al este en las Unidades 1 y 5 al oeste en la Unidad 6. Al oeste, donde la roca madre es más alta e irregular, se encontró un pequeño basurero que probablemente se fecha para la fase Escoba-Mamom 2 (Figura 7.12). En una depresión en la roca madre, se localizaron tiestos de cerámica que se fechan para la fase Real-Xe (Preclásico Medio Temprano). Se limpiaron los restos del Preclásico Medio Temprano de la superficie plana dónde se construyó la Estructura Sutsu. Al este, se descubrió la fachada oeste de otra estructura contemporánea con la Estructura Sutsu. Esta estructura cuadrada o rectangular, Estructura "C"

probablemente fue la plataforma residencial este del grupo patio de la fase Escoba-Mamom 2 (Figura 7.4, Figura 7.12). Tuvo una concentración de piedras encima de su muro y al oeste, como la rampa en el sur de la Estructura Sutsu. No se realizaron excavaciones en la Estructura “C” durante la temporada de 2014.

CONCLUSIONES

El Grupo Karinel estuvo ocupado durante las fases Real-Xe 2 (850-800 a.C.) y Real-Xe 3 (800-700 a.C.), pero los restos de esta época se limpiaron de la superficie del suelo natural en la parte central del grupo. Se depositó el Entierro 132 durante la fase Real-Xe 3 (MacLellan 2012). Durante la fase Escoba-Mamom 2 (600-500 a.C.), se construyó la Estructura Sutsu encima del suelo natural y dentro de un grupo patio. El suelo natural quedaba expuesto. En el oeste, se construyó la Estructura Tz’unun para ampliar y nivelar la plataforma base. Se colocó una esquina de la Estructura Tz’unun sobre el Entierro 132 (MacLellan 2012). Durante la fase Escoba-Mamom 3 (500-400 a.C.), el suelo natural y la Estructura Sutsu se cubrieron. En el oeste, se construyó la Estructura Maax para ampliar y nivelar la plataforma otra vez.

Durante el periodo Preclásico Tardío (400-50 a.C.), la ocupación del Grupo Karinel se concentraba en el grupo patio, arriba de la Estructura Sutsu. Durante el periodo Protoclásico (50 a.C. – 300 d.C.) la ocupación se concentraba más en el oeste y el sur del Grupo Karinel. Se construyeron varias plataformas pequeñas y se depositó el Escondite 159, muy similar a escondites en la Plaza Central del Grupo A (MacLellan 2012). Parece que existía alguna ocupación en el Grupo Karinel durante los periodos Clásico Temprano y Clásico Tardío, pero no se encontraron construcciones de esas épocas.

Las estructuras en la superficie del grupo se fechan al periodo Clásico Terminal (829-900 d.C.). Según los artefactos en sus basureros y las ofrendas en sus entierros, los residentes de esa época eran miembros de la élite. Vivían en un grupo patio sobre el grupo Preclásico. Se depositaron entierros en el eje norte-sur de ese grupo. Se llenaron pozos profundos con arcilla de una aguada o del río, pero todavía no se entiende la función de esos pozos.

Los Figuras 7.14 – 7.28 muestran la estratigrafía de las Operaciones 211B, 211C, y 211E.

Se planificó terminar las investigaciones en el Grupo Karinel en 2014, pero ahora, con los nuevos datos, surge la necesidad de excavar más en este grupo durante la temporada de campo de 2015. Es importante excavar más en el área del grupo patio y la Estructura Sutsu para entender la ocupación preclásica, se tiene que confirmar que la estructura circular era parte de un grupo patio como ejemplos de otros sitios (Aimers et al. 2000; Hendon 2000). La interpretación de la Estructura Sutsu podría iluminar la función de la Estructura Kotko, otra estructura circular excavada por Victor Castillo en la Operación CB200B (Castillo y Cortave 2009). También sería interesante excavar más en la Estructura 7, lo que Tourtellot identificó como un templo pequeño (Tourtellot 1988; Figura 7.1). Específicamente, se quiere entender rituales domésticos en relación con los rituales públicos investigados en la Plaza Central. Se pretende comparar el caso del Grupo Karinel con los sitios preclásicos excavados intensivamente en Belice, como K’axob y Cuello, para resolver preguntas sobre, por ejemplo, la veneración de ancestros y desarrollo de la jerarquía en Ceibal (McAnany 1995; Hammond 1999). La forma de la comunidad de Ceibal durante el Preclásico Medio parece muy diferente a las comunidades tempranas en otras partes del área maya, y los procesos de cambio social probablemente eran muy diferentes también.

OPERACIÓN CB211B

Unidad 6

Lote	Descripción
6-1-1	Humus arcilloso, 2.5YR 2.5/1
6-4-1	Tierra floja con pedrín 7.5YR 3/1
6-4-2	Arcilla oscura con piedras pequeñas, 10YR 3/1
6-5-1	Tierra arcillosa con pedrín, 7.5YR 3/1
6-4-3	Cache 168, Tierra arcillosa con piedras pequeñas, 7.5YR 3/1
6-5-2	Tierra arcillosa con pedrín, 10YR 4/2
6-5-3	Tierra arcillosa con pedrín, 10YR 4/2

Unidad 7

Lote	Descripción
7-1-1	Humus arcilloso, 2.5YR 2.5/1
7-4-1	Tierra arcillosa floja con pedrín, 5YR 2.5/1
7-4-2	Tierra arcillosa con pedrín, 7.5YR 3/1
7-5-1	Tierra arcillosa con piedras pequeñas, 7.5YR 3/1
7-4-3	Tierra arcillosa con pedrín, 7.5YR 3/1
7-5-2	Tierra arcillosa con pedrín, 10YR 4/2
7-5-3	Tierra arcillosa con pedrín, 10YR 4/2

Unidad 8

Lote	Descripción
8-1-1	Humus arcilloso, 2.5YR 2.5/1
8-4-1	Tierra arcillosa con piedras pequeñas, 7.5YR 3/1
8-5-1	Tierra arcillosa con pedrín, 7.5YR 3/1
8-5-2	Tierra arcillosa con pedrín, 10YR 4/2
8-5-3	Tierra arcillosa con pedrín, 10YR 4/2
8-6-1	Piso de pedrín con tierra compacta arcillosa-arenosa, 10YR 5/2 & 10YR 9/2
8-6-2	Grava blanca, arcilla arenosa floja con pedrín y piedras pequeñas, 10YR 5/2 & 10YR 8/1
8-6-3	Arcilla arenosa y arcilla compacta, piedras grandes irregulares y medianas, 10YR 8/1, 10YR 5/2 & 10YR 4/1
8-6-4	Tierra arcillosa con pedrín, grava en el este, 10YR 4/2
8-6-5	Grava amarilla-blanca, arcilla gris con piedras medianas, 10YR 8/3 & 10YR 5/2
8-6-6	Suelo arcilloso con pedrín, 10YR 4/2
8-6-7	Suelo arcilloso con pedrín, 10YR 3/1
8-6-8	Suelo arcilloso con pedrín, 7.5YR 4/2
8-6-9	Suelo arcilloso, 10YR 4/2
8-7-1	Grava blanca, tierra arcillosa con pedrín y piedras pequeñas, 7.5YR 3/2 & 10YR 9/1
8-7-2	Suelo arcilloso con pedrín de caliza, 10YR 3/2
8-7-3	Tierra gris y grandes piedras de caliza sobre la roca madre, 10YR 4/2

Unidad 9

Lote	Descripción
9-1-1	Humus arcilloso, 2.5YR 2.5/1
9-4-1	Tierra arcillosa con pedrín, 7.5YR 3/1
9-5-1	Tierra arcillosa con pedrín, 7.5YR 3/1
9-5-2	Tierra arcillosa con pedrín, 10YR 4/2
9-5-3	Tierra arcillosa con pedrín, 10YR 4/2

OPERACIÓN CB211C

Unidad 1

Lote	Descripción
1-4-2	Tierra con pedrín y piedras medianas, 7.5YR 2.5/1
1-4-3	Tierra con pedrín y piedras medianas, 2.5Y 4/1
1-4-4	Tierra con pedrín, 10YR 5/2
1-5-1	Tierra con pedrín, 10YR 4/1
1-5-2	Tierra suelta con piedras medianas, 10YR 5/1
1-5-3	Tierra gris con piedras pequeñas, 10YR 6/1
1-5-4	Pedrín, 2.5YR 8/4
1-5-5	Tierra clara con piedras pequeñas, 2.5YR 6/2
1-6-1	Tierra con piedras, 10YR 5/1
1-6-2	Entierro 149, Tierra suelta con pedrín 2.5YR 5/1
1-7-1	Tierra con pedrín y piedras de caliza, 7.5YR 2.5/1
1-6-3	Tierra arcillosa oscura, 2.5YR 2.5/1
1-6-4	Piedras grandes, 10YR 4/2
1-6-5	Tierra suelta con piedras, 10YR 5/2
1-6-6	Tierra con pedrín, 10YR 6/1
1-8-1	Tierra suelta con piedras pequeñas, 10YR 6/2
1-7-2	Tierra suelta con pedrín, 10YR 4/1
1-8-2	Tierra suelta con carbón, 5YR 4/1
1-8-3	Tierra suelta, 10YR 4/2
1-8-4	Tierra suelta, 2.5Y 5/2
1-8-5	Tierra suelta con pedrín, 2.5Y 5/2
1-8-6	Tierra suelta, 2.5Y 6/3

Unidad 2

Lote	Descripción
2-1-1	Humus y piso 1 de piedras pequeñas, 7.5YR 2.5/1
2-4-1	Tierra arcillosa con pedrín, 10YR 2/1
2-4-2	Entierro 152, tierra arcillosa con pedrín, 2.5Y 4/1
2-5-1	Tierra suelta con pedrín, 10YR 5/3
2-6-1	Tierra suelta con pedrín, 7.5YR 4/2
2-6-2	Tierra suelta con piedras, 2.5Y 5/2
2-8-1	Tierra suelta con pedrín, 7.5YR 4/1
2-8-2	Tierra suelta con pedrín, 7.5YR 4/1

2-8-3	Tierra arcillosa con piedras pequeñas y medianas, 2.5Y 5/2
2-8-4	Tierra suelta con pedrín, 10YR 5/2
2-8-5	Tierra suelta, 10YR 5/2
2-8-6	Tierra suelta con pedrín, 2.5Y 6/3

Unidad 3

Lote	Descripción
3-1-1	Humus y piso 1, 7.5YR 2.5/1
3-4-1	Tierra suelta, arcilla y pedrín, 10YR 2/1 & 2.5YR 4/1
3-4-2	Tierra suelta, arcilla y pedrín, 10YR 4/1 & 10YR 2/2
3-5-1	Tierra suelta y piedras, 10YR 5/1
3-5-2	Entierro 157, tierra suelta con pedrín, 10YR 4/1
3-5-3	Tierra suelta con pedrín, 7.5 YR 4/2
3-6-1	Arcilla con pedrín, 10YR 3/1 & 5YR 4/1
3-6-2	Tierra suelta con pedrín, 10YR 3/2
3-6-3	Tierra suelta y arcilla, 7.5YR 4/1
3-6-4	Arcilla compacta, 5YR 4/1
3-8-1	Tierra suelta con piedras grandes, 10YR 5/3
3-8-2	Tierra suelta y arcillosa 10YR 5/3
3-8-3	Entierro 160, tierra suelta, 10YR 4/2
3-8-4	Tierra arcillosa, 2.5Y 6/2
3-8-5	Tierra arcillosa, 2.5Y 5/2
3-8-6	Tierra arcillosa, 2.5Y 6/2

Unidad 4

Lote	Descripción
4-1-1	Humus y piso 1, tierra suelta y piedras, 7.5YR 2.5/1
4-4-1	Tierra suelta con piedras, 7.5YR 4/1
4-4-2	Tierra suelta con pedrín, 2.5Y 4/1
4-4-3	Entierro 155, tierra suelta con pedrín, 7.5YR 3/1
4-4-4	Entierro 156, tierra arcillosa dura con pedrín, 2.5Y 3/2
4-4-5	Tierra arcillosa con pedrín, 5YR 3/1
4-4-6	Tierra suelta con pedrín, 7.5YR 4/2
4-4-7	Entierro 159, tierra suelta y arcillosa con piedras, 7.5YR 4/1
4-5-1	Tierra suelta con pedrín, 10YR 4/1
4-5-2	Tierra suelta, 7.5Y 4/1
4-4-8	Tierra suelta con pedrín, 7.5YR 4/1
4-5-3	Tierra suelta, 10YR 4/1
4-5-4	Tierra suelta, 2.5YR 4/1
4-5-5	Tierra suelta con pedrín, 2.5YR 4/1
4-5-6	Tierra suelta, 2.5Y 5/2
4-5-7	Tierra suelta, 2.5Y 6/2
4-6-1	Tierra suelta con pedrín, 10YR 5/1

Unidad 5

Lote	Descripción
5-1-1	Humus y piso 1, tierra suelta con piedrín, 7.5YR 2.5/1
5-4-1	Tierra suelta con piedrín, 10YR 3/2
5-4-2	Tierra suelta con piedras medianas, 10YR 5/1 & 2.5Y 3/1
5-4-3	Tierra suelta con piedrín, 2.5Y 5/1
5-5-1	Tierra suelta con piedras pequeñas, 10YR 5/1
5-5-2	Tierra suelta y piedras medianas 2.5Y 8/4 & 10YR 5/1
5-6-1	Tierra suelta con piedrín

Unidad 6

Lote	Descripción
6-1-1	Humus, pisos 1-3, tierra suelta con piedrín, 7.5YR 2.5/1
6-4-1	Tierra suelta con piedras medianas 2.5Y 7/6
6-4-2	Tierra arcillosa, 10YR 4/1
6-4-3	Tierra suelta y arcillosa, 10YR 3/1
6-4-4	Tierra suelta con piedras medianas, 2.5Y 5/1
6-4-5	Tierra suelta con piedrín, 10YR, 4/1
6-6-1	Piedrín y tierra suelta, 2.5Y 5/2
6-6-2	Tierra suelta, 10YR 3/1
6-7-1	Tierra suelta con piedras pequeñas, 2.5Y 6/6
6-6-3	Tierra suelta con piedrín, 2.5Y 5/3
6-6-4	Tierra suelta, 2.5Y 8/1, 2.5Y 5/8 & 7/5 GY
6-6-5	Tierra suelta, 2.5Y 6/2 & 2.5Y 6/8
6-5-1	Tierra suelta con piedras pequeñas 2.5Y 6/6
6-6-6	Tierra suelta con piedras, 10YR 4/1
6-6-7	Tierra suelta y arcilla poco compacta, 7/5 GY, 2.5Y 8/1, 2.5Y 6/8
6-6-8	Tierra suelta, 7/5 GY, 2.5Y 8/1, 2.5Y 6/8

Unidad 7

Lote	Descripción
7-1-1	Humus, pisos 1-2, tierra suelta con piedrín, 7.5YR 2.5/1
7-4-1	Tierra suelta con piedras medianas, 10YR 4/1
7-5-1	Tierra suelta, 10YR 4/1
7-5-2	Tierra suelta con piedras medianas, 10YR 3/1
7-5-3	Tierra suelta, 10YR 4/2
7-6-1	Tierra suelta con poco piedrín, 10YR 4/2
7-8-1	Tierra suelta con piedras grandes, 10YR 5/1
7-8-2	Tierra suelta, 10YR 5/2
7-8-3	Tierra suelta, 7/5 GY, 2.5Y 8/1, 2.5Y 6/8

OPERACIÓN CB211E

Unidad 1

Lote	Descripción
1-1-1	Humus y piedrín, 2.5YR 2.5/1
1-4-1	Suelo arcilloso con piedrín, 10YR 2/1

1-4-2	Piedra muy grande al norte, suelo arcilloso con piedrín, 10YR 3/2
1-4-3	Tierra suelta con piedrín, 10YR 5/3
1-4-4	Tierra suelta con piedrín 10YR 5/2
1-5-1	Tierra suelta, 7.5YR 2.5/1 & 7.5YR 4/2
1-5-2	Tierra suelta, 7.5YR 3/1 & 7.5YR 5/2
1-5-3	Tierra blanca con piedrín, 2.5Y 6/2 & 2.5Y 8/2
1-5-4	Tierra dura con piedrín, 2.5Y 4/2 & 2.5Y 6/3
1-5-5	Tierra suelta con mucho piedrín, 10YR 5/3
1-5-6	Tierra arcillosa, 10YR 4/2
1-5-7	Tierra arcillosa, 10YR 4/2
1-5-8	Tierra arcillosa suave con piedrín, 10YR 5/2

Unidad 2

Lote	Descripción
2-1-1	Humus y piedrín, 2.5YR 2.5/1
2-4-1	Suelo arcilloso con piedrín, 10YR 2/1
2-4-2	Suelo arcilloso con piedrín, 10YR 3/2
2-4-3	Tierra suelta con piedrín, 10YR 5/3
2-4-4	Tierra suelta con piedrín, 10YR 6/3
2-4-5	Tierra suelta con piedrín, 10YR 6/2
2-5-1	Tierra suelta, 10YR 4/2
2-5-2	Tierra suelta, 10YR 5/2
2-5-3	Tierra blanca con piedrín, 2.5Y 6/2 & 2.5Y 8/2
2-5-4	Tierra dura, 2.5Y 4/2 & 2.5Y 6/3
2-5-5	Tierra suelta con mucho piedrín, 10YR 6/2 & 10YR 4/2
2-5-6	Suelo arcilloso, muro de piedras medianas, 10YR 4/2
2-5-7	Tierra arcillosa con piedrín, 10YR 4/2
2-5-8	Tierra arcillosa, 10YR 4/2
2-5-9	Tierra arcillosa suave con piedrín, 10YR 5/2
2-6-1	Suelo natural estéril, grava suave, 10YR 7/3

Unidad 3

Lote	Descripción
3-1-1	Humus y piedrín, 2.5YR 2.5/1
3-4-1	Suelo arcilloso con piedrín y piedras pequeñas, 10YR 3/1
3-4-2	Tierra suelta con piedrín, 10YR 5/2
3-4-3	Tierra arcillosa con piedrín, 10YR 4/2
3-4-4	Tierra arcillosa con caliza y piedrín, 10YR 5/2
3-4-5	Tierra arcillosa con caliza y piedrín más suave que el anterior, 10YR 5/2
3-5-1	Tierra dura con piedrín, 10YR 5/2
3-5-2	Tierra dura con piedrín, 2.5Y 4/2 & 2.5Y 6/3
3-5-3	Tierra con mucho piedrín, 2.5Y 5/2
3-5-4	Tierra suelta, 2.5Y 3/2
3-5-5	Suelo arenoso con piedras pequeñas, 10YR 5/2
3-5-6	Bloque grande de piedras sobre la roca madre, 10YR 4/2

Unidad 4

Lote	Descripción
4-1-1	Humus con pedrín, 2.5Y 2.5/1
4-4-1	Suelo arcilloso con pedrín, 10YR 3/1
4-4-2	Tierra arcillosa con pedrín y piedras grandes y medianas, 10YR 2/1
4-4-3	Tierra arcillosa con pedrín, 10YR 4/2
4-4-4	Tierra suave con pedrín, 10YR 2/2 & 10YR 4/2
4-4-5	Tierra arcillosa suave con caliza y pedrín, 10YR 5/2
4-4-6	Tierra suelta, 10YR 4/2
4-5-1	Tierra clara, 2.5Y 5/2
4-5-2	Tierra suelta con pedrín, 2.5Y 5/2 & 2.5Y 8/1
4-5-3	Bloque grandes de piedra, 10YR 4/2

Unidad 5

Lote	Descripción
5-1-1	Humus y varios pisos, varios colores
5-5-1	Tierra suelta con pedrín, 10YR 5/2 & 2.5Y 8/2
5-5-2	Tierra dura con pedrín, 2.5Y 4/2 & 2.5Y 8/3
5-5-3	Tierra suelta con mucho pedrín, 10YR 5/2
5-5-4	Tierra arcillosa, 10YR 4/2
5-5-5	Tierra arcillosa, 10YR 4/2
5-5-6	Tierra arcillosa con piedras pequeñas y bloques grandes, 10YR 4/2

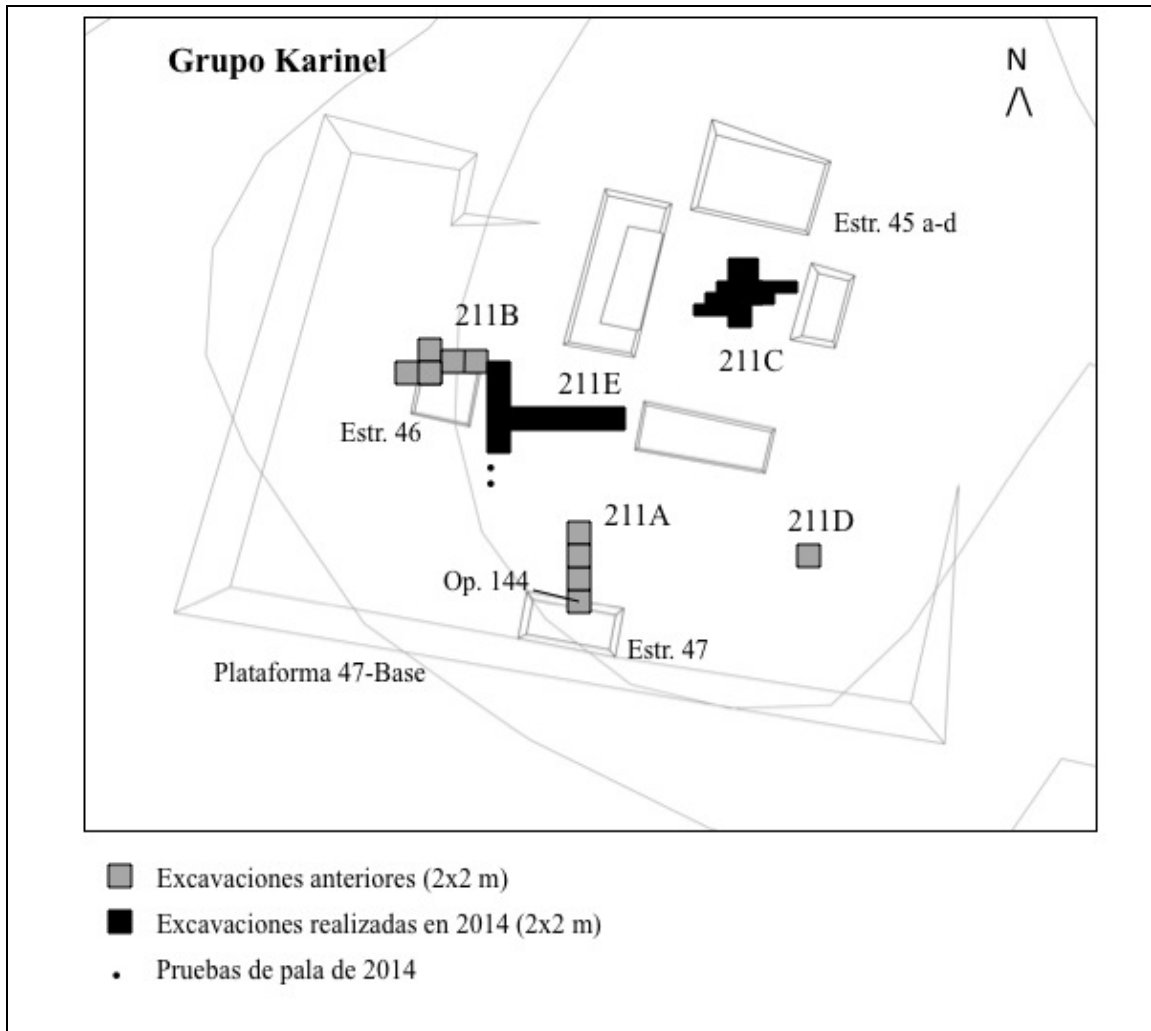


Figura 7.1. Mapa de excavaciones de la Operación CB211.



Figura 7.2. Fachada este de la Estructura Tz'unun y suelo natural, CB211E (Foto por J. MacLellan).



Figura 7.3. Escondite 168, CB211B (Foto por J. MacLellan).



Figura 7.5. Entierro 152, CB211C (Foto por A. Cordero).

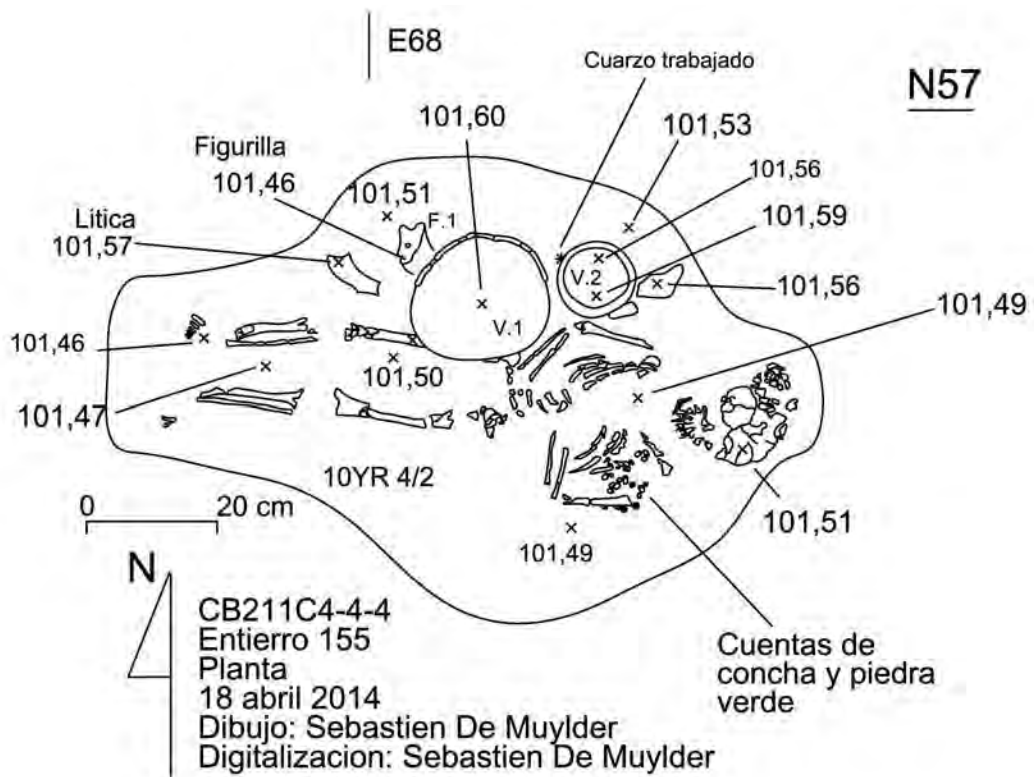


Figura 7.6. Entierro 155, CB211C.

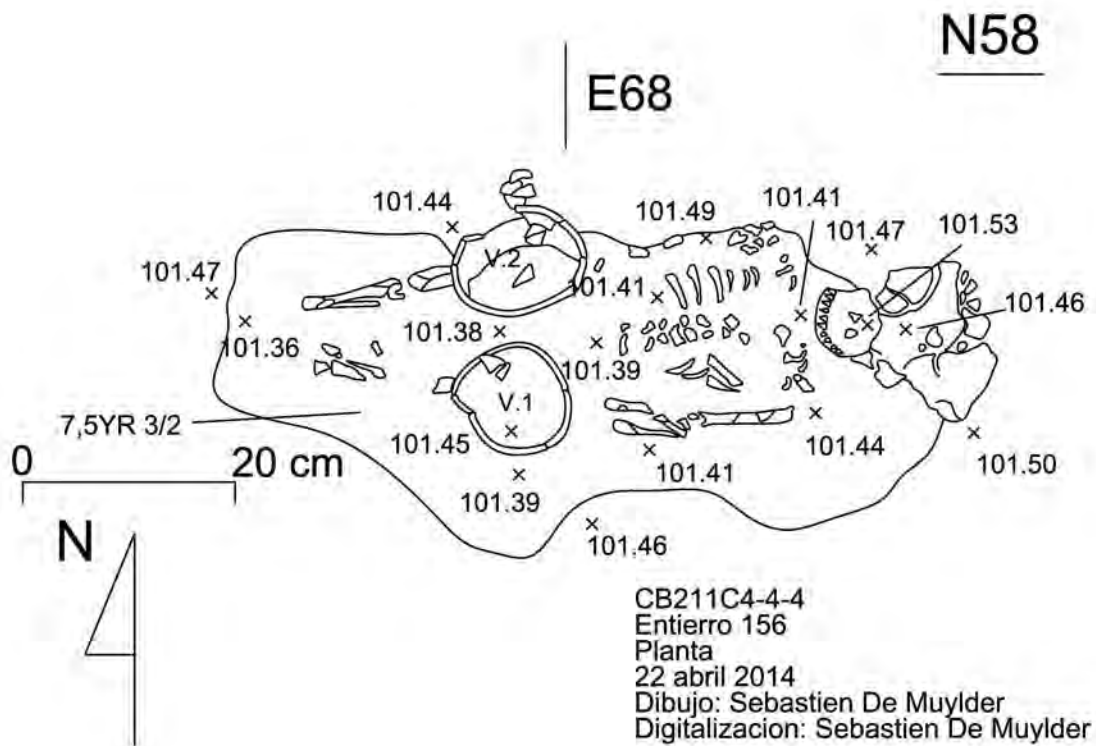


Figura 7.7. Entierro 156, CB211C.

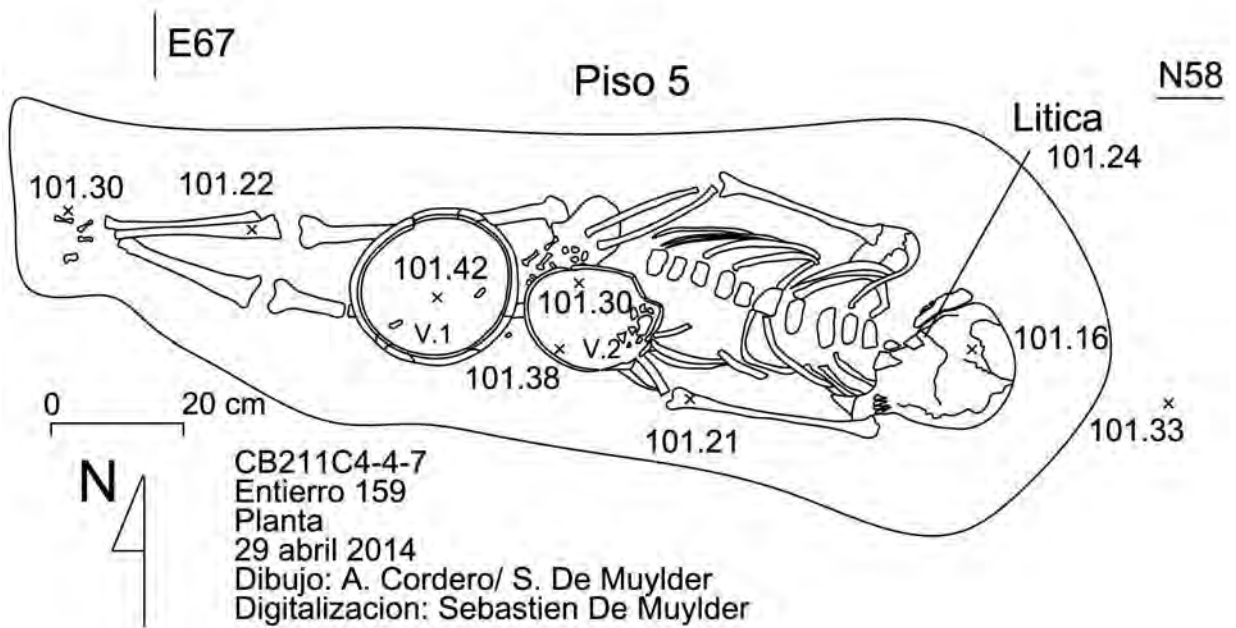


Figura 7.8. Entierro 159, CB211C.



Figura 7.9. Estructura “A” y la extensión al sur, Estructura “B,” desde el oeste, CB211C (Foto por A. Cordero).



Figura 7.10. Entierro 149 y Piso 4, debajo de la Estructura “B,” CB211C (Foto por J. MacLellan).



Figura 7.11. Estructura Sutsu desde el este, antes de abrir las Unidades 5-7, CB211C (Foto por J. MacLellan).

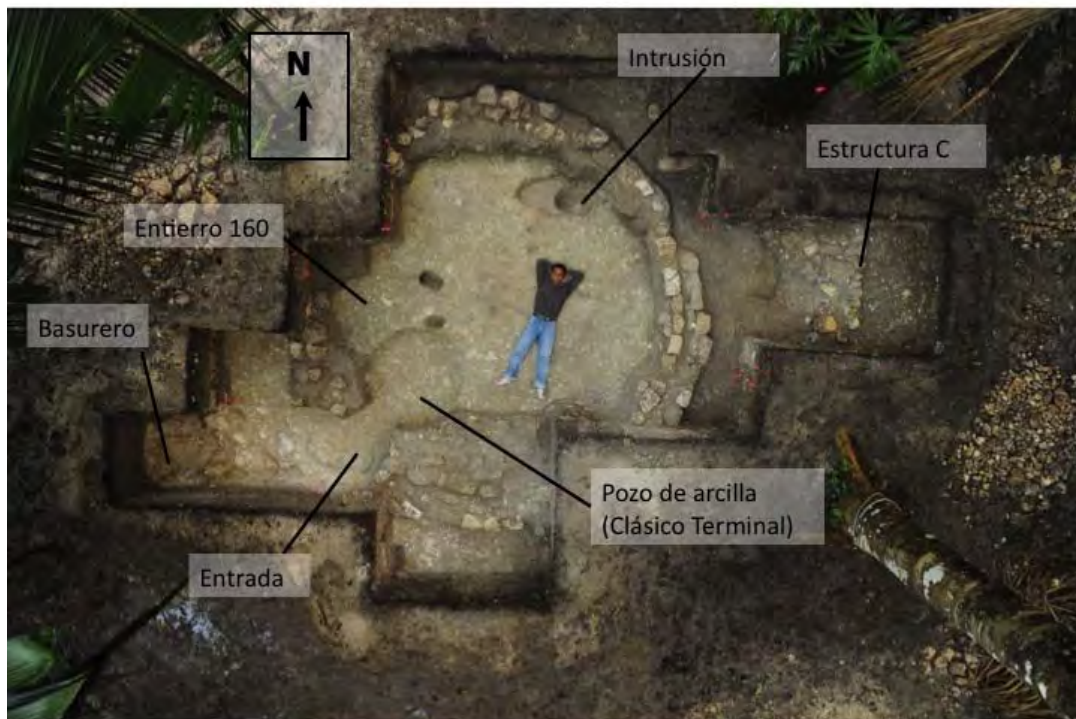


Figura 7.12. Estructura Sutsu después de excavar todos los rasgos, CB211C (Foto por T. Inomata).



Figura 7.13. Entierro 160, CB211C (Foto por J. MacLellan).

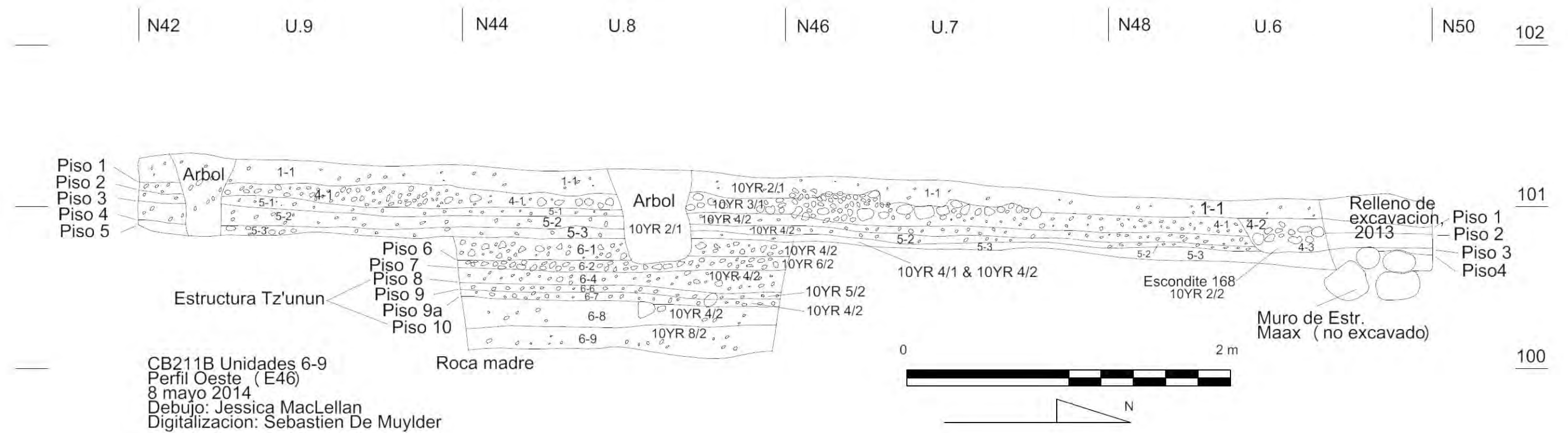


Figura 7.14. Perfil oeste, CB211B, Unidades 6-9.

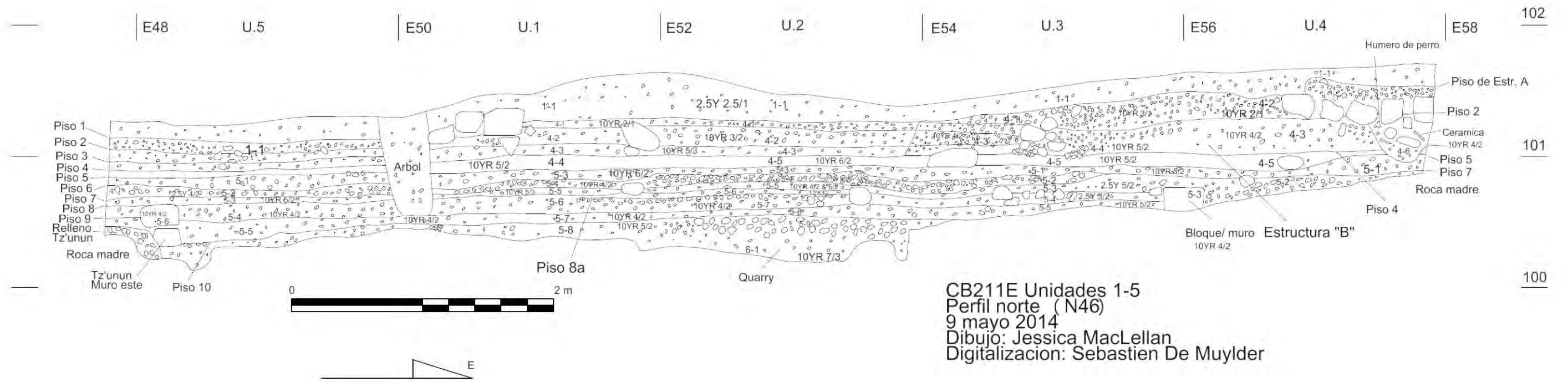


Figura 7.15. Perfil norte, CB211E, Unidades 1-5

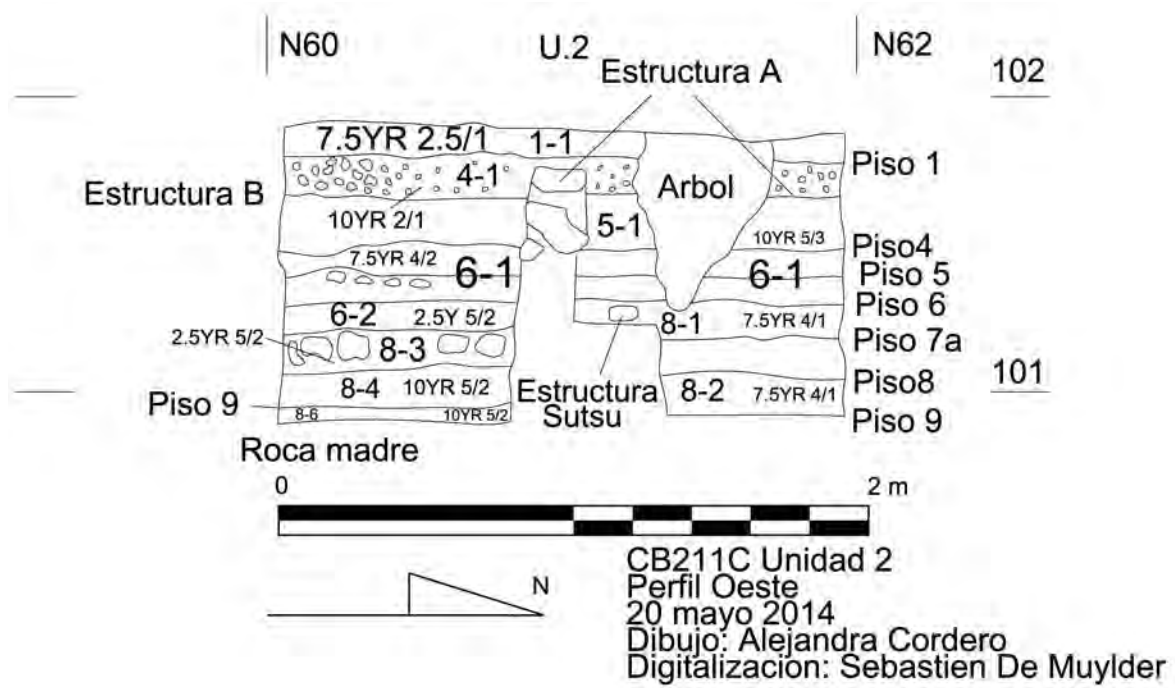


Figura 7.16. Perfil oeste, Unidad 2, CB211C.

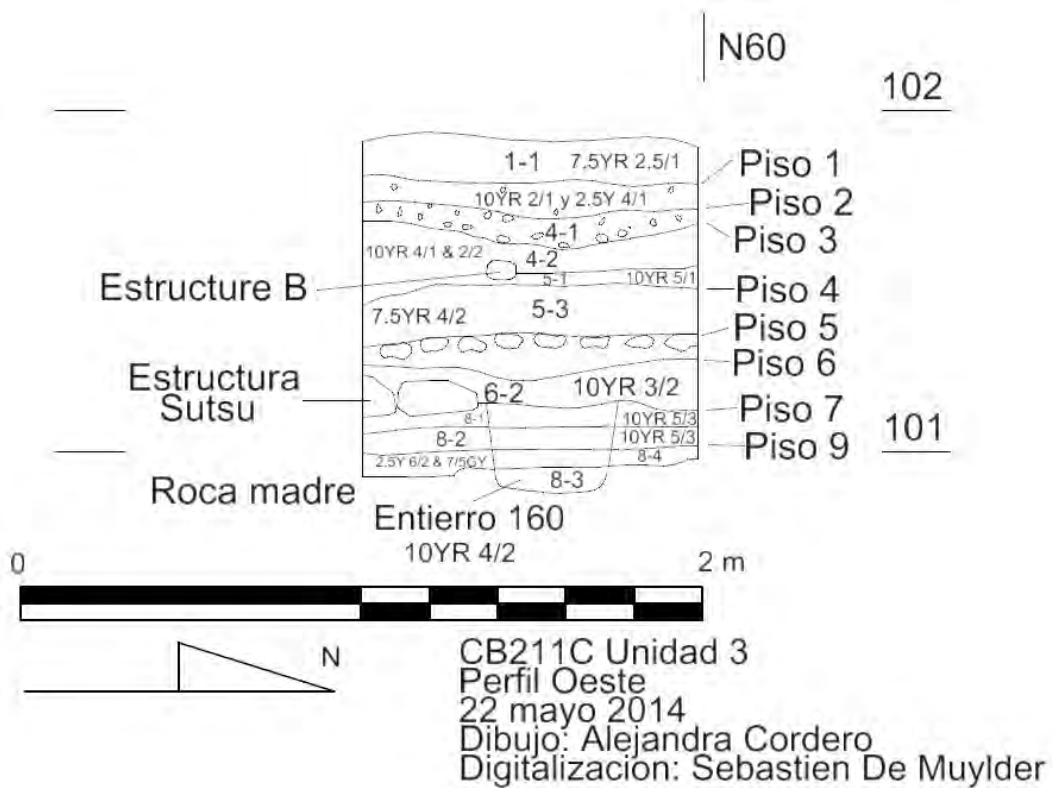


Figura 7.17. Perfil oeste, Unidad 3, CB211C.

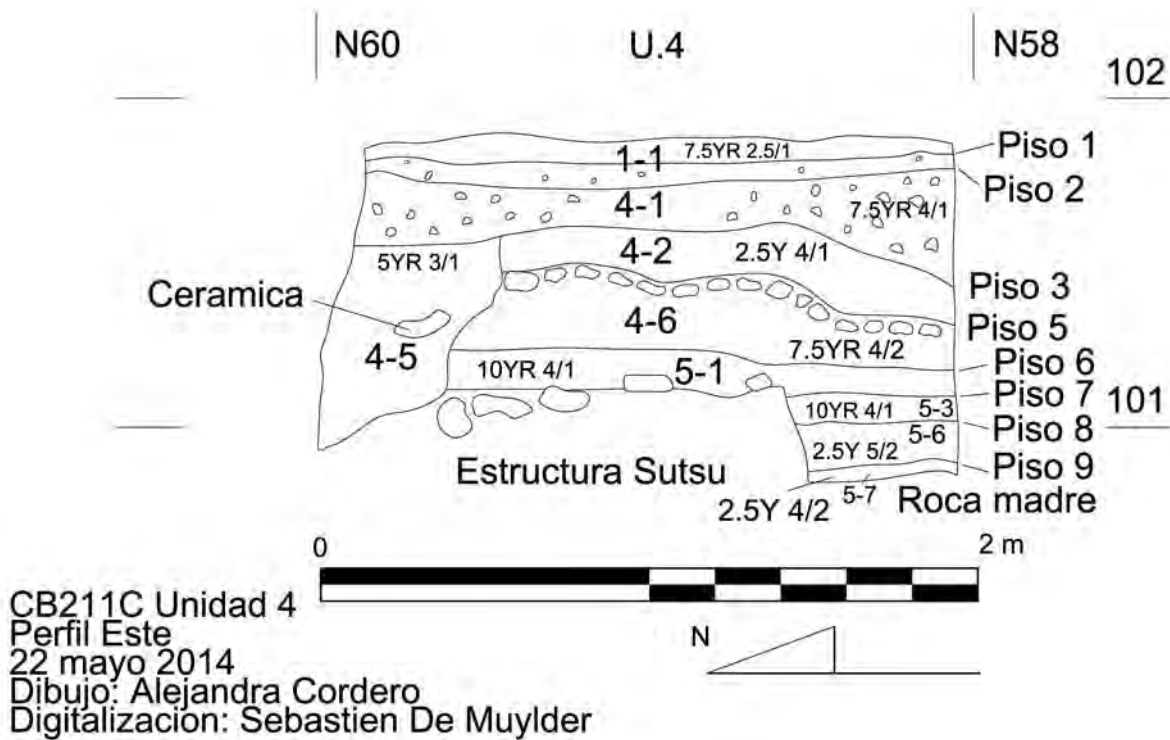


Figura 7.18. Perfil este, Unidad 4, CB211C.

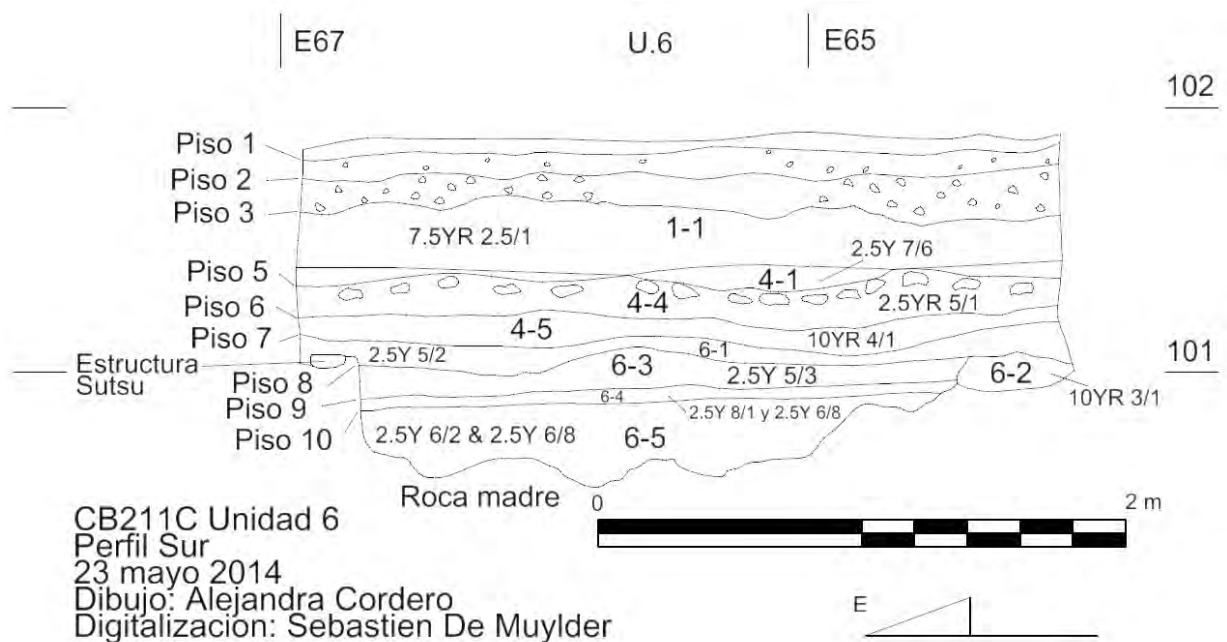


Figura 7.19. Perfil sur, Unidad 6, CB211C.

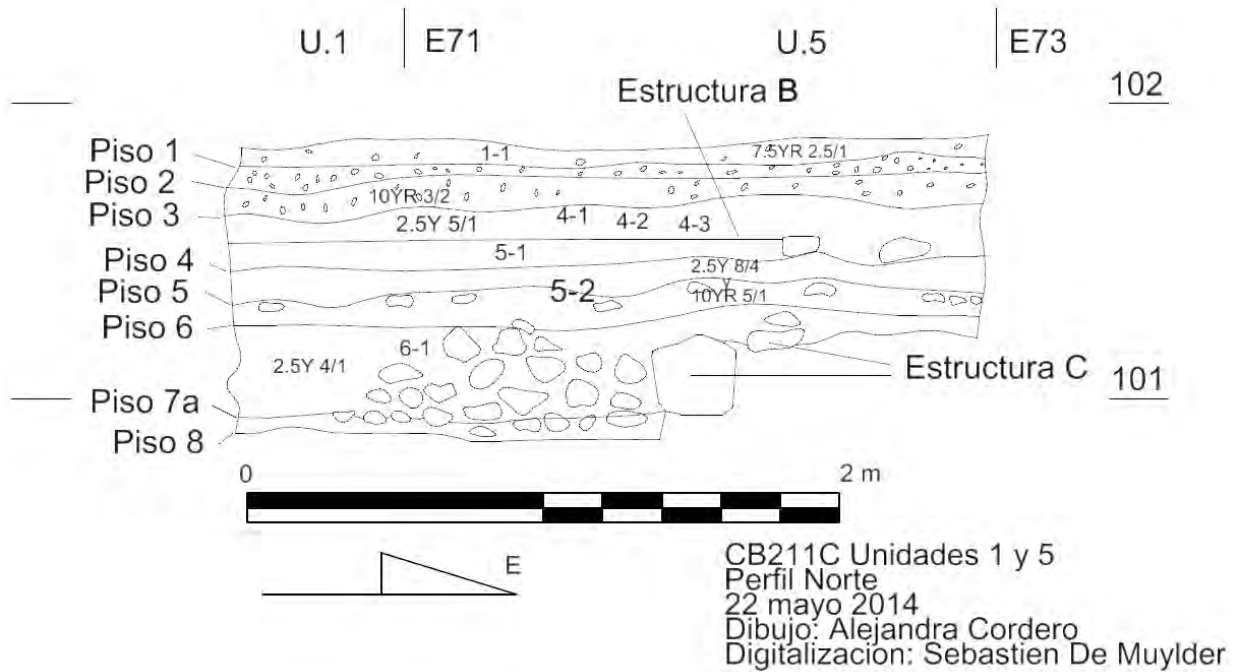


Figura 7.20. Perfil norte, Unidades 1&5, CB211C.

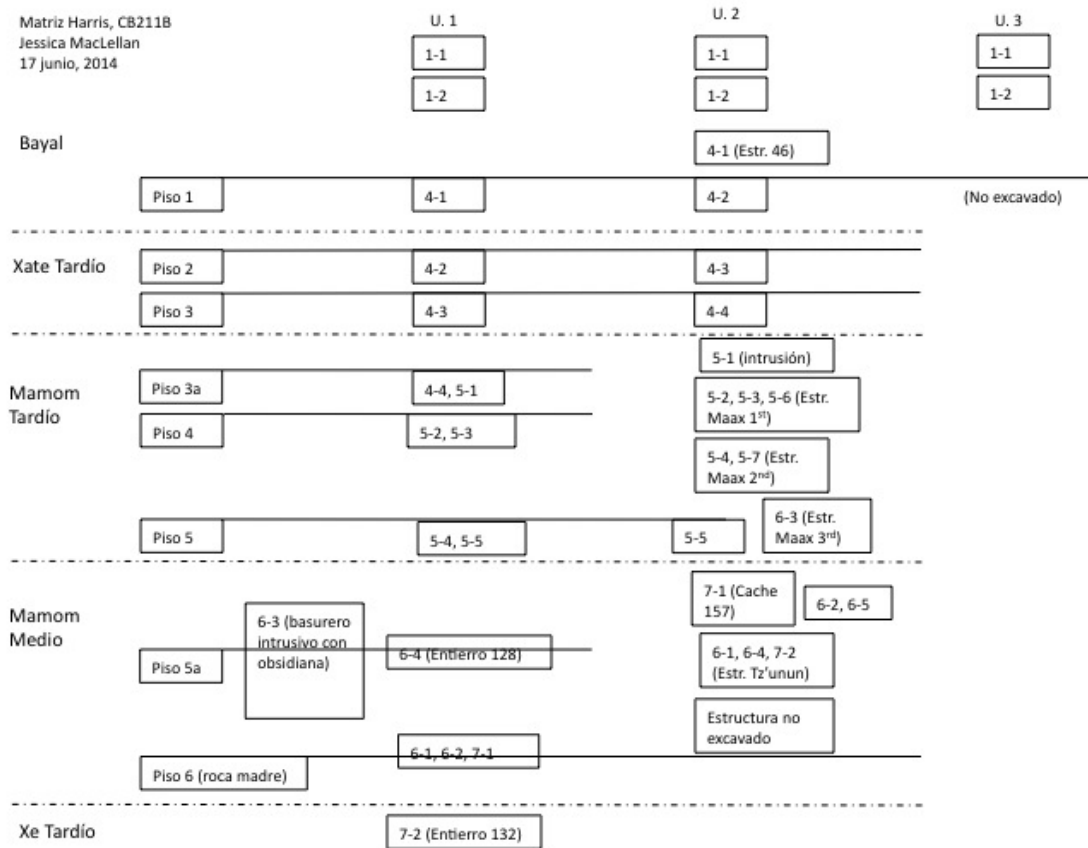


Figura 7.21. Esquema de lotes CB211B, Unidades 1-3. Elaborado por J. MacLellan.

Matriz Harris, CB211B
 Jessica MacLellan
 17 junio, 2014

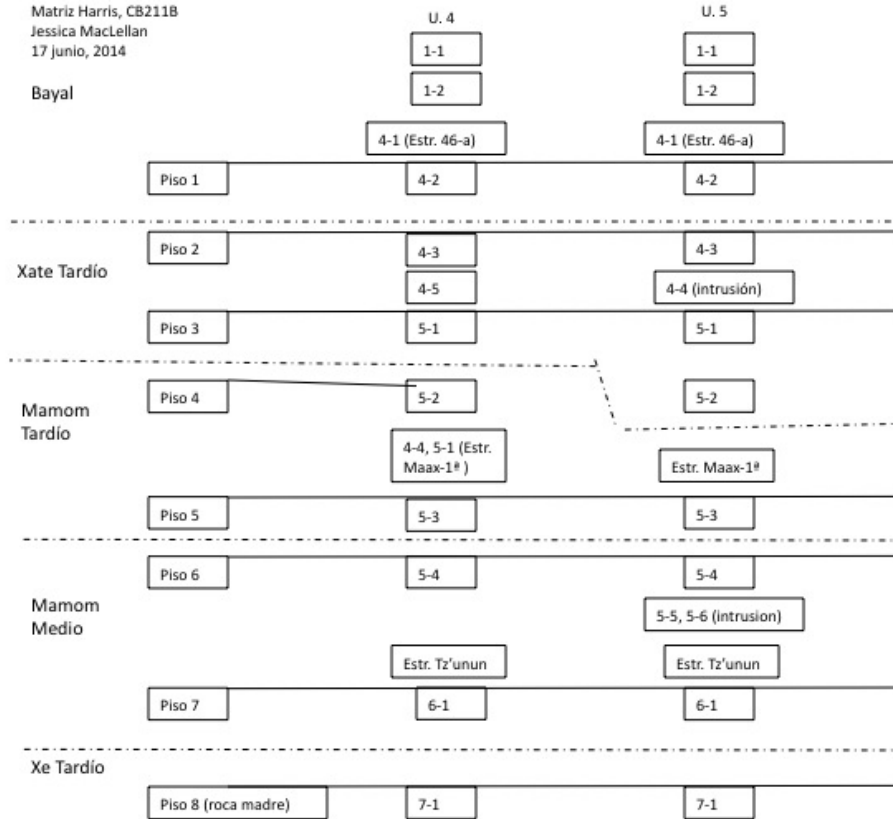


Figura 7.22. Esquema de lotes CB211B, Unidades 4 y 5. Elaborado por J. MacLellan.

Matriz Harris, CB211B
 Jessica MacLellan
 17 junio, 2014

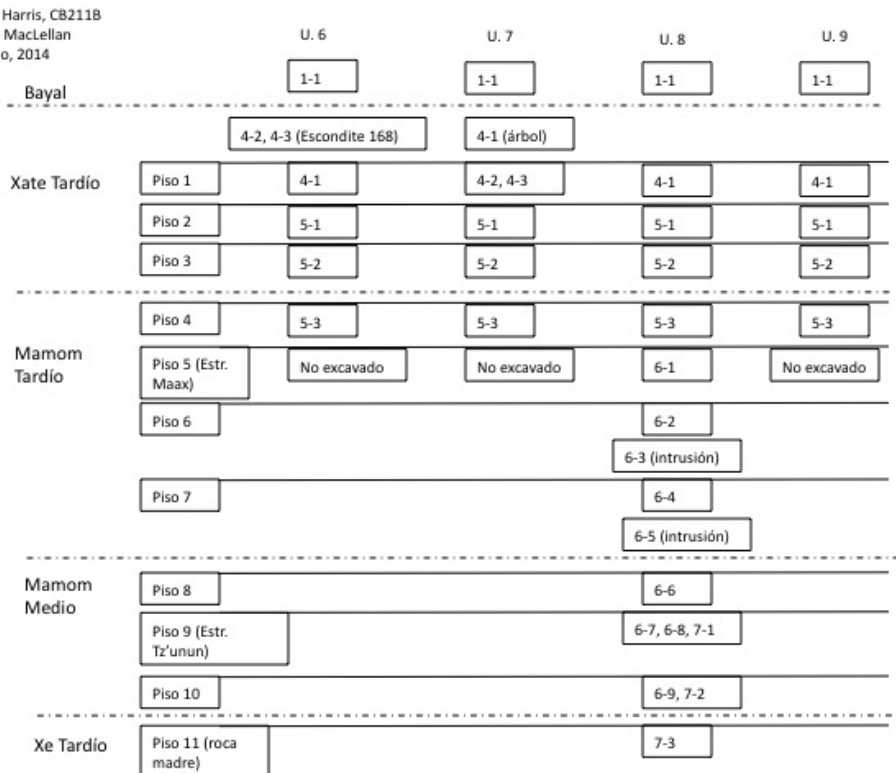


Figura 7.23. Esquema de lotes CB211B, Unidades 6-9. Elaborado por J. MacLellan.

Matriz Harris, CB211E
 Jessica MacLellan
 17 junio, 2014

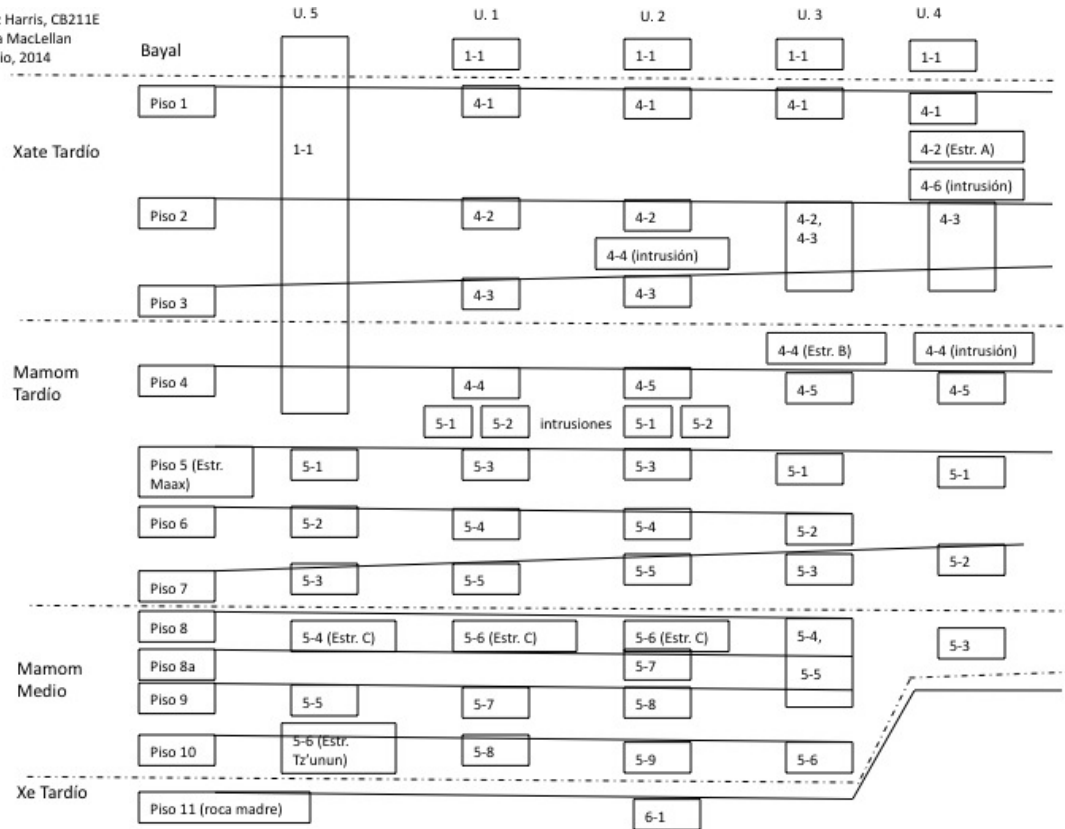


Figura 7.24. Esquema de lotes CB211E. Elaborado por J. MacLellan.

Matriz Harris, CB211C
 Jessica MacLellan
 18 junio, 2014

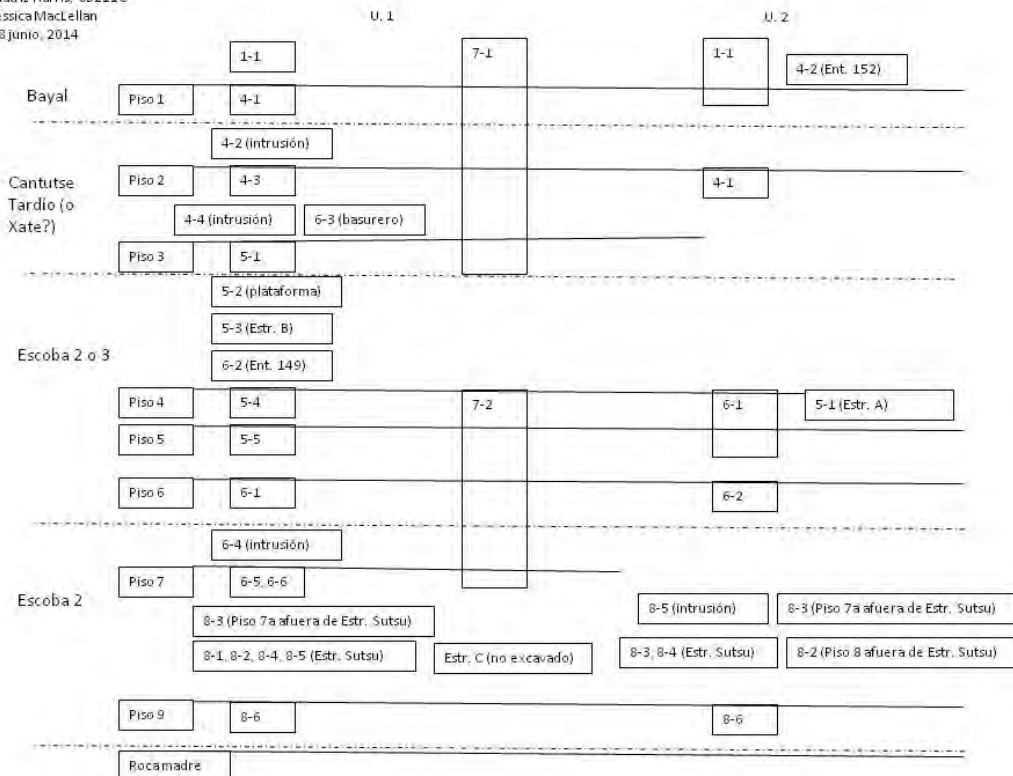


Figura 7.25. Esquema de lotes CB211C, Unidades 1 y 2. Elaborado por J. MacLellan.

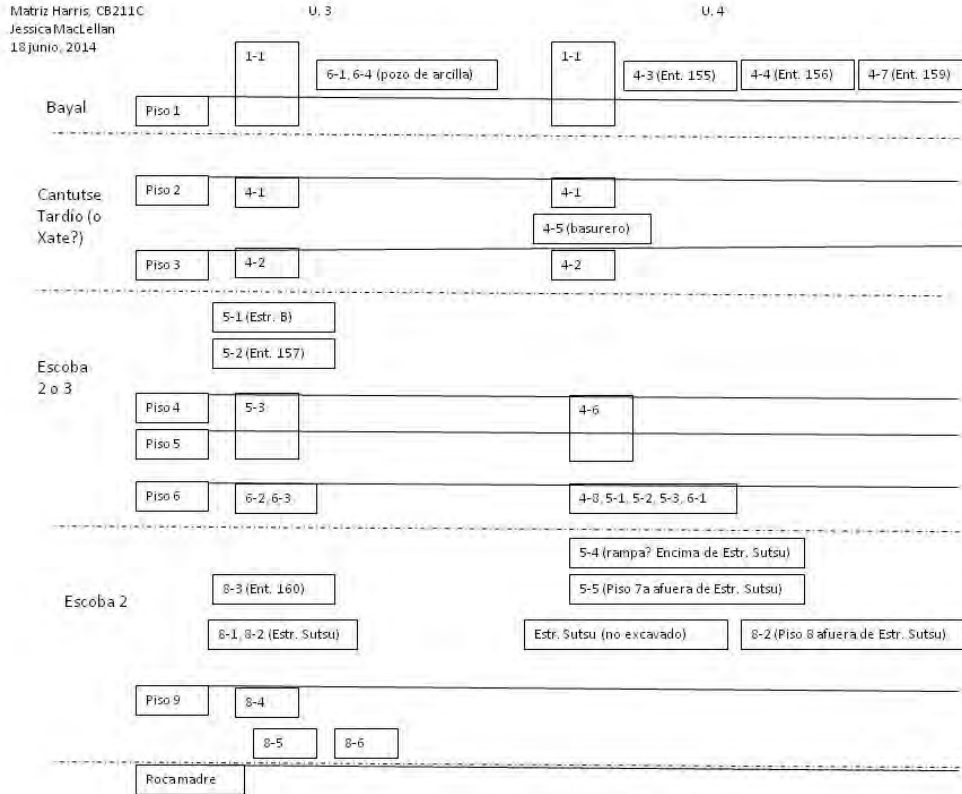


Figura 7.26. Esquema de lotes CB211C, Unidades 3 y 4. Elaborado por J. MacLellan.

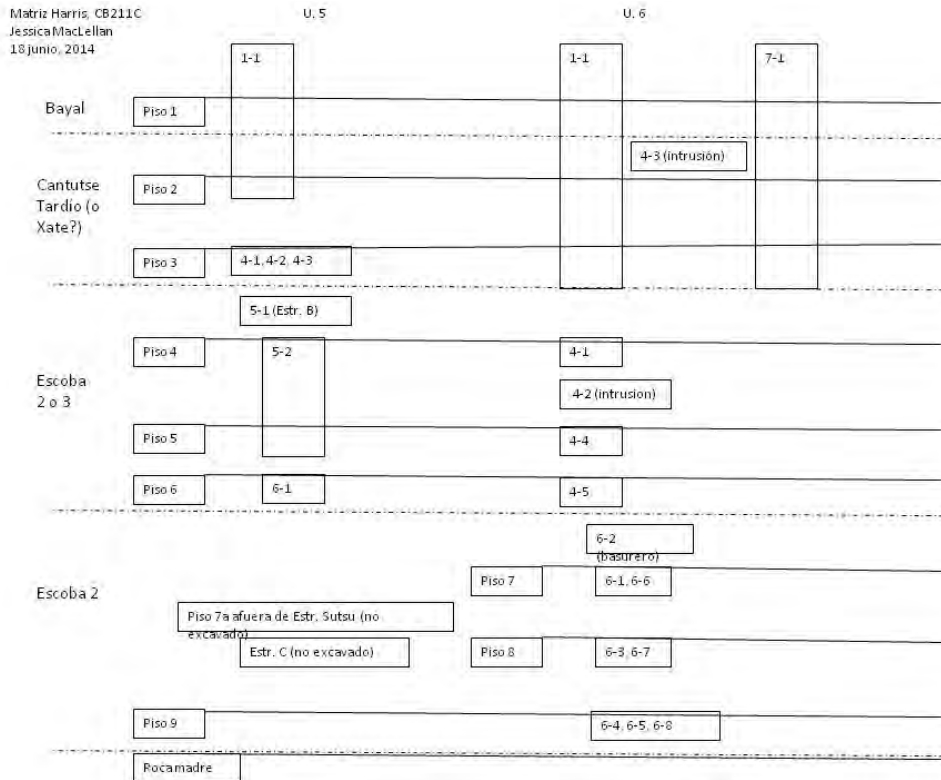


Figura 7.27. Esquema de lotes CB211C, Unidades 5 y 6. Elaborado por J. MacLellan.

Matriz Harris, CB211C
Jessica MacLellan
18 junio, 2014

U. 7

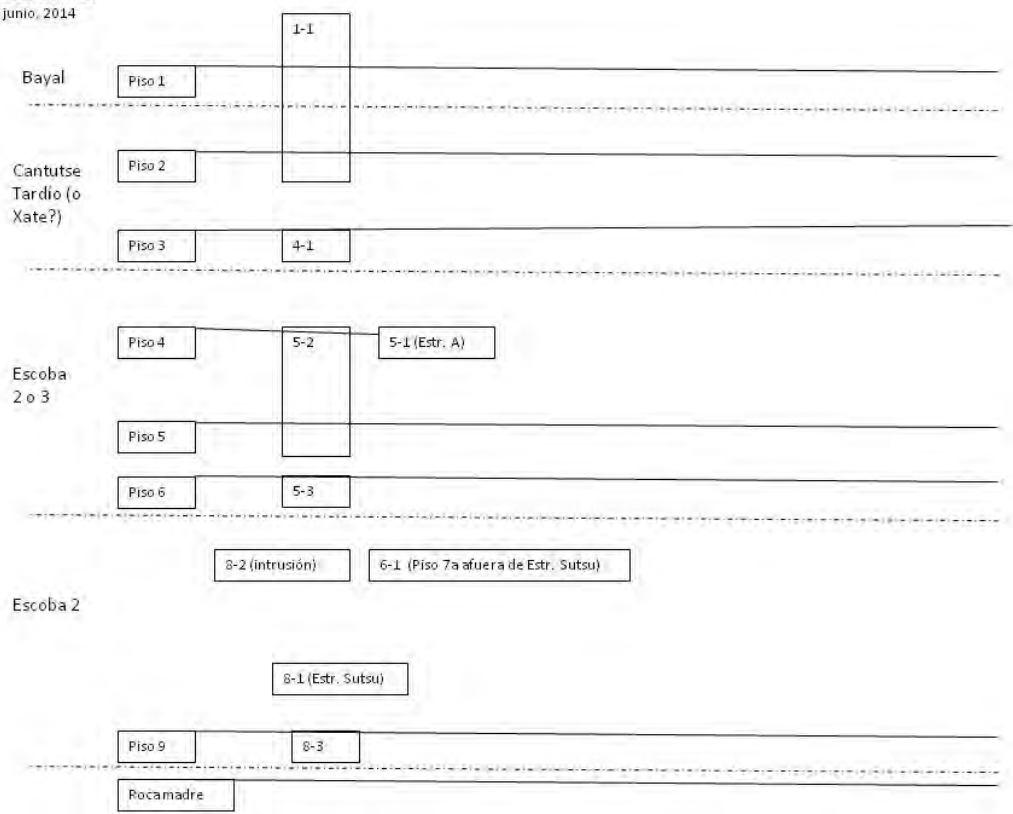


Figura 7.28. Esquema de lotes CB211C, Unidad 7. Elaborado por J. MacLellan.

8. Excavaciones en el Grupo Amoch: Operaciones CB215 y CB220

Melissa Burham y Ricardo Rodas

INTRODUCCIÓN

En 2013 se realizaron excavaciones en el Grupo Amoch (Estructura 1, Estructura 2, Unidad 4E-12, Unidades 3 y 3), un grupo de templo menor aproximadamente 250 metros al noroeste del Grupo A (Burham y Estrada 2013). Esas excavaciones revelaron mucha información sobre las relaciones sociopolíticas entre la gente que vivía en las afueras y el núcleo de Ceibal, indicando que las poblaciones periféricas eran bastante independientes, pero integradas en la comunidad de Ceibal por una ideología religiosa y prácticas rituales compartidas (MacLellan y Burham 2013; Burham 2014; Burham y MacLellan 2014). Debido a que se pudieron obtener bastantes datos sobre la organización social de las excavaciones realizadas en el Grupo Amoch, fue necesario seguir investigando esta parte del sitio y tratar de obtener más datos.

Para entender las relaciones sociopolíticas entre el núcleo y las afueras de Ceibal, es importante no solo enfocarse en los templos y residencias élites, sino también en la vida cotidiana de las poblaciones no élites. Por eso se excavó un pozo de sondeo en la Unidad 3 (CB220A), un grupo patio al sur de la Estructura 2 en el Grupo Amoch, donde presumiblemente vivía gente no élite. Se intentó investigar el acceso a artículos de lujo y la cronología de ocupación de este grupo en relación de la ocupación del templo y la plataforma residencial élite, 4E-14 (véase a Burham y Estrada 2013).

Además de investigar las relaciones sociopolíticas entre el núcleo y las periferias de Ceibal, también se intentó entender la manera en que se utilizaba el templo durante diferentes partes de la ocupación del grupo. Como se explica en el Capítulo 9, Gair Tourtellot (1988) propuso que muchos de los templos menores a través de las periferias fueron enterrados como una manera de destruirlos antes de abandonarlos o durante el Clásico Temprano (fase Junco). Muchos de ellos fueron reocupados durante el Clásico Tardío, algunos reutilizados en una manera diferente (por ejemplo Estructura 4E-10, Tourtellot 1988:148-153) y otros aumentados para usarlos como espacios ceremoniales otra vez (por ejemplo Estructura 8C-3, Tourtellot 1988:179). En 2013, se sospechó que la Estructura 1, el templo en el Grupo Amoch, era uno de los templos enterrados, pero la estratigrafía de los niveles superiores era complicada y no se pudo confirmar si fue enterrado en la antigüedad. Para investigar más precisamente si la Estructura 1 fue enterrada y cuando, se amplió la excavación del año pasado (CB215A) por una unidad (la Unidad 3, 2 x 2.5 m) dentro de la pirámide (Figura 8.1). También se excavó un sondeo en la cima de la Estructura 1 (CB215C) para poder ver mejor la estratigrafía.

Finalmente, se excavaron pozos de sondeo en las dos aguadas al lado del grupo (CB215D y CB215E; véase Figura 8.1) para confirmar que eran recursos de agua locales para los residentes del grupo en la antigüedad. Se conjetura que la presencia de un recurso local de agua indicaría que el control de agua no era centralizada y entonces que Ceibal no era muy centralizado políticamente. Se tomaron muestras de suelo para buscar evidencia de organismos acuáticos y se coleccionaron tiestos de cerámica para tratar de fechar las aguadas.

OPERACION CB215A

En la operación 215A, se excavó la Unidad 3 hasta la primera subestructura para ver y fechar mejor la última etapa de construcción. También se continuó la Unidad 1 para descubrir un entierro Preclásico Medio (fase Escoba-Mamom). Mientras que se excavaba, se relacionaron los nuevos lotes con los que se trabajaron el año pasado (véase Figura 8.3). Ahora se conoce más la estratigrafía y las etapas de construcción más tardías.

Estructura 1 y Sub 1: Unidad 3

Al excavar el humus, se expuso un nivel de suelo oscuro arcilloso con muy poco piedrín. Se excavó este suelo para revelar otro nivel un poco más claro (color marrón-gris oscuro, 10YR 4/2) pero también arcilloso. Se designó esto como Piso 1 de la Estructura 1. Este piso corría encima de un muro que se expuso en el límite este de la Unidad 2 en el año 2013 (Lote 2-2-2, Figura 8.4; refiérase al perfil Figura 8.2). El nivel contenía tres piedras grandes y un poco de relleno con piedras calizas medianas, tal vez una grada erosionada de la Estructura 1, o más probablemente relleno. Al excavar esas piedras y rellenos, se expuso otro nivel estratigráfico más claro que contenía muchas piedras grandes (lote 3-4-4). Este nivel cubría la Subestructura 1. El suelo más claro mezclado con las piedras grandes pareció similar al Piso 2 en CB215C (véase abajo). Es posible que hubiera un piso, el Piso 1a, cubriendo la Subestructura 1 (Piso 2), pero muy erosionado por el relleno de Estructura 1. La cerámica identificada de esos niveles se fecha para el periodo Protoclásico (fase Xate).

En 2013, el muro de la Estructura 1 excavado en la Unidad 2 estuvo encima de un nivel amarillo que se pensaba era un nivel erosionado de la Subestructura 1 (véase a Burham y Estrada 2013:54). Ahora, se sabe que este “nivel de erosión” realmente era la primera subestructura, y no erosión. Esta subestructura estaba muy erosionada en las Unidades 1 y 2, pero distinta en la Unidad 3 (Figura 8.5). Por lo tanto, se renombraron las subestructuras (por ejemplo, la estructura designada Sub-1 el año pasado es Subestructura 2, la Sub-2 ahora es Subestructura 3, etcétera; refiérase a Figuras 8.2 y 8.3). No se excavó después de exponer la Subestructura 1.

Entierro 162: Unidad 1

Se expuso un entierro del Preclásico Medio Tardío (fase Escoba-Mamom 3) que se descubrió en la Unidad 1 en 2013. El Entierro 162 estaba intrusivo en el Piso 8 y consiste de dos individuos (Figura 8.6). El Individuo 1 parece ser desarticulado, con solo el cráneo, la caja torácica y parte de sus brazos. Había un cráneo de otro individuo (Individuo 2), un poco más arriba, en la intrusión en el perfil de la excavación. Es posible que haya más partes del Individuo 2 afuera de la excavación. No se levantaron los huesos porque estaban en mal estado y porque es posible que se vaya a extender el pozo en el futuro para exponer todo el entierro. Se taparon los huesos muy bien para conservarlos.

Lo interesante del Entierro 162 es que está en el mismo eje que el Monumento 2 y Entierro 147, que se fechan más tarde al Preclásico Tardío (fase Cantutse-Chicanel 1; Burham y Estrada 2013). Este rasgo quiere decir que se usó el mismo eje central a través de la historia de ocupación del complejo ceremonial en el Grupo Amoch.

OPERACION CB215C

Además de seguir excavaciones en el eje central de la Estructura 1, también se excavó un pozo de sondeo en la cima para investigar mejor el enterramiento de la pirámide. Al remover el humus y tierra de una intrusión hecha por un árbol, se expuso un nivel de suelo gris muy oscuro con piedras calizas medianas y piedrín. Debajo de este nivel, se expuso un piso de suelo arcilloso de color marrón-gris oscuro (10YR 4/2) mezclado con piedrín. La matriz de este piso es muy similar a la del Piso 2 en CB215A (véase Figura 8.9). Es probable, entonces, que son de la misma fase de construcción (Estructura 1).

Al remover el Piso 1, se expuso el Escondite 173 (descrito abajo) y el Piso 2. El Piso 2 fue hecho de tierra compacta de color marrón, debajo de este piso, se encontró el Piso 3. La tierra del Piso 2 de esta operación es muy similar a la que estaba mezclada con las piedras grandes del Piso 3 de la Operación CB215A así como la matriz del Piso 3 de CB215C con la del Piso 3 de

CB215A (véase Figura 8.9). Esto podría indicar que se trata de la misma fase constructiva (Subestructura 1). En este mismo piso se halló una intrusión, pero no contenía ningún escondite ni enterramiento. Se excavó el Piso 3 para revelar el relleno, pero no se continuó la excavación después de eso.

Escondite 173

Cuando se excavó el Piso 1, se encontró el Escondite 173, que consistió en dos cuencos puestos boca a boca y otra vasija al lado de ellos. Había una navaja prismática adentro de los cuencos. El Escondite parecía estar sobre el Piso 2, no obstante, es posible que haya sido depositado en una intrusión desde el Piso 1 (Figura 8.10).

INTERPRETACIONES SOBRE CB215A Y 215C

Las Operaciones CB215A y C proveen datos sobre la construcción y ocupación de la Estructura 1, construida sobre la Subestructura 1. La mampostería de la Estructura 1 no parece ser típica de construcciones piramidales en el área Maya. Solo se encontró un muro de retención en CB215A. Tampoco se encontró evidencia de una superestructura en CB215C encima de la pirámide. Entonces parece que la Estructura 1 era una construcción de un Templo hecho de barro. Es posible que la Estructura 1 realmente enterrara la Subestructura 1, y el muro de retención excavado en 2013 fue construido para consolidar el suelo que enterraba la Subestructura 1.

El Escondite 173 también sugiere que la Estructura 1 fue enterrada. Este escondite es muy similar a dos escondites que Tourtellot excavó de la Estructura 4E-10, que consistieron de platos puestos boca a boca. La Estructura 4E-10 fue enterrada ritualmente durante la fase Junco (Tourtellot 1988:148-153) y se depositaron los Escondites 12 y 15 encima de la estructura o fueron intrusivos en el enterramiento de 4E-10 como parte del rito de terminación (Tourtellot 1988:449). Este tipo de escondite parece ser integral a la práctica de sepultar los templos en las periferias, lo que sugiere que el templo en el Grupo Amoch también fue soterrado, probablemente a fines del Protoclásico (Junco 1).

La Estructura 1 fue abandonada hasta el Clásico Tardío o Clásico Terminal (véase a Burham y Estrada 2013). Este patrón de ocupación es muy similar a los de otros grupos periféricos que fueron abandonados a fines del Protoclásico o principios del Clásico Temprano, y luego reocupados durante el Clásico Tardío y Clásico Terminal. Sería interesante en el futuro seguir explorando estos patrones de ocupación y reutilización de templos periféricos.

OPERACION 220A

Se excavó un pozo de sondeo de 2 x 3 m en la Unidad 3, un grupo patio que está al sur de la Estructura 2 en el Grupo Amoch. Se ubicó la unidad al frente de la Estructura 3a, la estructura norte del grupo patio (Figura 8.1).

Tourtellot realizó excavaciones en este grupo, donde encontró construcción que se fecha al Clásico Terminal (fase Bayal), Clásico Tardío (fase Tepijilote), Preclásico Tardío (fase Cantutse-Chicanel) y Preclásico Medio Tardío (fase Escoba-Mamom 3) (Tourtellot 1988:179). Por eso, se esperaba una ocupación similar en el pozo de sondeo, no obstante, a diferencia de los resultados obtenidos por Tourtellot, solo se encontró evidencia de ocupación durante el Clásico Tardío y tal vez Clásico Terminal.

Solo fueron descubiertas dos etapas de construcción en la Estructura 3a. Se excavó el humus para revelar la Estructura 3a y el Piso 1, que topaba con la estructura (Figura 8.13). Al excavar la estructura y el piso, se expuso el Piso 2, que corría debajo de la Estructura 3a, presentó una intrusión en el límite norte de la excavación, debajo de la Estructura 1, la cual solo contenía un poco de lítica y cerámica. Debajo de este piso, se expuso tierra natural. Hubo una intrusión en el suelo natural en el límite oeste de la excavación, pero solo contenía unos artefactos.

Lo interesante es que no se localizó casi ningún artefacto en la superficie ni en la excavación de la Estructura 3 y la mayoría de los artefactos era lítica. Solo se encontraron dos etapas de construcción, probablemente fechándose al Clásico Tardío y/o Clásico Terminal. No se usó mucha basura para material de construcción, tal vez porque no hubo mucha construcción anterior en el área. Parece que el grupo patio era bastante nuevo y no fue ocupado por mucho tiempo.

OPERACIONES 215D Y 215E

Se excavaron pozos de sondeo en las aguadas alrededor del Grupo Amoch (véase a Figura 8.1). Se intentó excavar hasta el fondo de las aguadas, tomar muestras de suelo de cada estrato y coleccionar cerámica para fecharlas. Después de haber excavado un metro y medio en cada aguada, los pozos se llenaron de agua (debido a que por varios días comenzó a llover) pero el agua entraba del fondo de la aguada, por lo que no era posible vaciarla y esto no permitió continuar la excavación. (Figura 8.14). Se tomaron muestras de suelo de los niveles excavados para buscar organismos acuáticos en su análisis. El hecho de que los pozos se llenaran de agua desde el fondo, indica que sí son aguadas y probablemente fueron utilizadas en la antigüedad. Esto quiere decir, que los habitantes del Grupo Amoch tenían recursos de agua local y el control de agua no estaba centralizado.

CONCLUSIONES

Las investigaciones realizadas en el Grupo Amoch durante la temporada 2014 han proveído más datos sobre la ocupación del grupo y sobre los patrones de ocupación en las periferias. Las excavaciones de la Estructura 1 sugieren que es un templo enterrado, como otros templos en las periferias. Parece que el enterramiento ocurrió durante el Protoclásico y que el templo fue abandonado hasta el Clásico Tardío o Clásico Terminal. Estos datos sugieren que el enterramiento de templos en las periferias era parte de un proceso de abandono del sitio, empezando a fines del Protoclásico y el Clásico Temprano.

Es interesante observar que en las excavaciones del Grupo Unidad 3, que se pensaba era una residencia de gente no elite, no tenía mucha construcción ni artefactos. Parece que la gente construyó el grupo patio durante el Clásico Tardío, tal vez cuando el grupo fue reocupado después de una fase de abandono, y no se lo ocupó durante mucho tiempo. En el futuro sería interesante excavar más residencias no elites para obtener más datos sobre el acceso a artículos de lujo y así explorar más la organización social de Ceibal.

OPERACIÓN CB215A

Unidad 1

Nivel-Lote

6-5 Arcilla compacta con un poco de arena y ceniza (tierra quemada), 10YR 2/1 (Entierro 162)

Unidad 3

1-1 Humus, color 7.5YR 3/1
2-1 Suelo lodoso con algunas partes de pedrín, colores 10YR 4/1 a 10YR 4/2
4-1 Tierra arcillosa con pedrín de caliza, color 10YR 4/1
4-2 Tierra arcillosa mezclada con piedras, color 10YR 4/1
4-3 Tierra arcillosa con pedrín, color 10YR 4/2
4-4 Tierra arcillosa con pedrín y piedras grandes de colapso, 10YR 5/2 y 10YR 5/3
Piso 3 Recordado pero no excavado. Color 10YR 6/3; relleno: 10YR 6/4

OPERACIÓN CB215C

Unidad 1

Nivel-Lote

1-1 Humus, color 7.5YR 2.5/1
2-1 Arcilla compacta con pedrín, color 7.5YR 3/1
1-2 Tierra negra suelta, intrusión de árbol, color 7.5YR 2.5/1
4-1 Arcilla compacta con pedrín, color 10YR 4/2
4-2 Arcilla con pedrín, color 10YR 4/2 (Cache 173)
4-3 Arcilla poco compacta con pedrín, color 10YR 5/3
4-4 Arcilla compacta con un poco de arena, color 10YR 3/2
5-1 Tierra poco suelta con algunas piedras medianas, color 10YR 6/4 y 2.5Y 5/3
5-2 Tierra poco suelta con abundante pedrín y piedras, color 10YR 6/4 y 2.5Y 6/3 (No excavado, solo registrado)

OPERACIÓN CB220A

Unidad 1

Nivel-Lote

1-1 Humus, tierra seca dura, color 10YR 2/1
2-1 Tierra muy compacta con algunas piedras pequeñas, color 10YR 4/2
4-1 Arcilla compacta con un poco de arena de caliza y pedrín, color 10YR 3/1
4-2 Arcilla compacta con un poco de pedrín, color 7.5YR 2.5/1
4-3 Arcilla compacta con un poco de pedrín, color 7.5YR 3/1
4-4 Tierra un poco compacta con pedrín, color 2.5Y 5/3
4-5 Arcilla compacta y plástica, color 7.5YR 2.5/1
5-1 Tierra clara poco arcillosa con presencia de arcilla verde ('jabón'), color 2.5Y 7/3

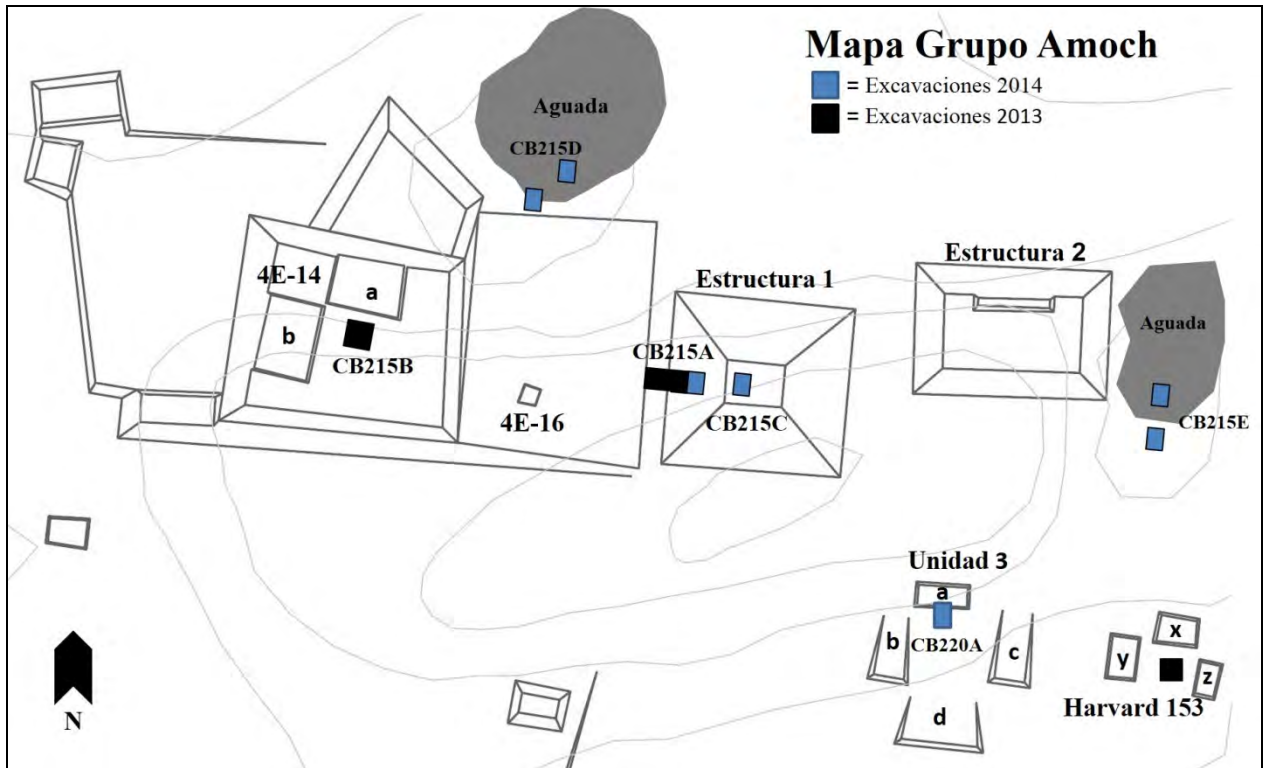
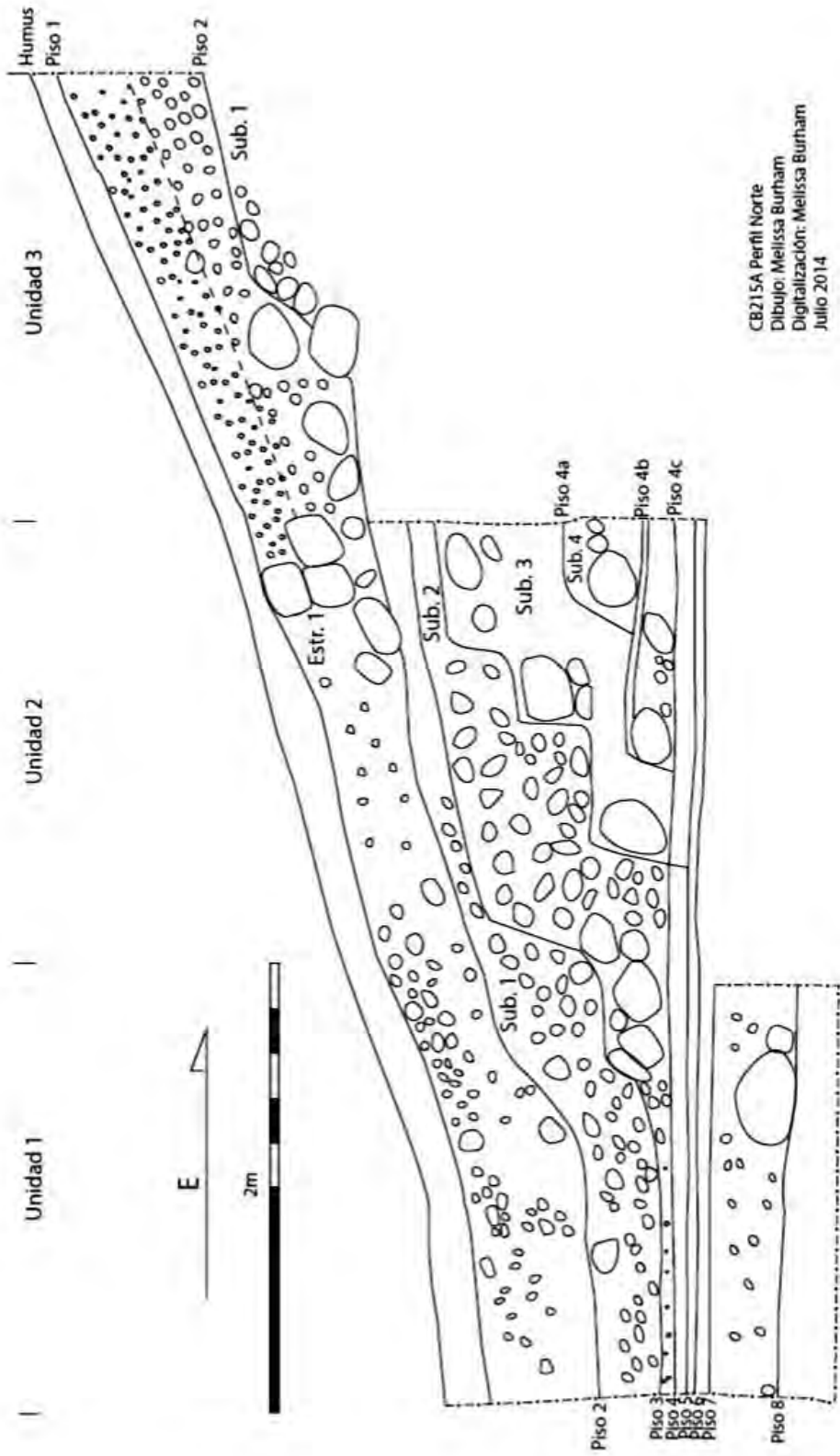


Figura 8.1. Mapa del Grupo Amoch y las excavaciones realizadas en 2013 y 2014.



CB215A Perfil Norte
 Dibujo: Melissa Burham
 Digitalización: Melissa Burham
 Julio 2014

Figura 8.2. Perfil norte de CB215A.

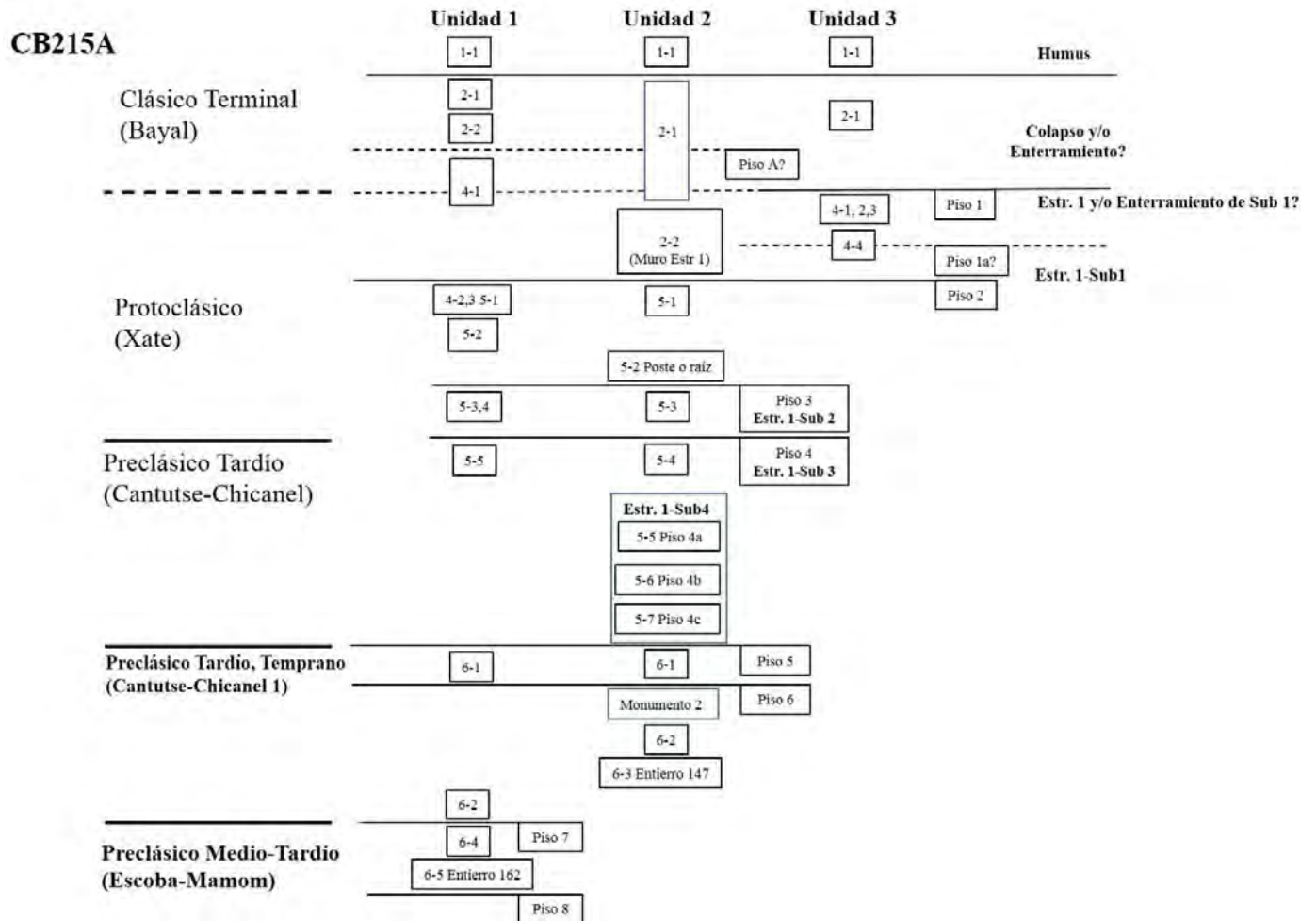


Figura 8.3. Esquema de lotes de la Operación CB215A.



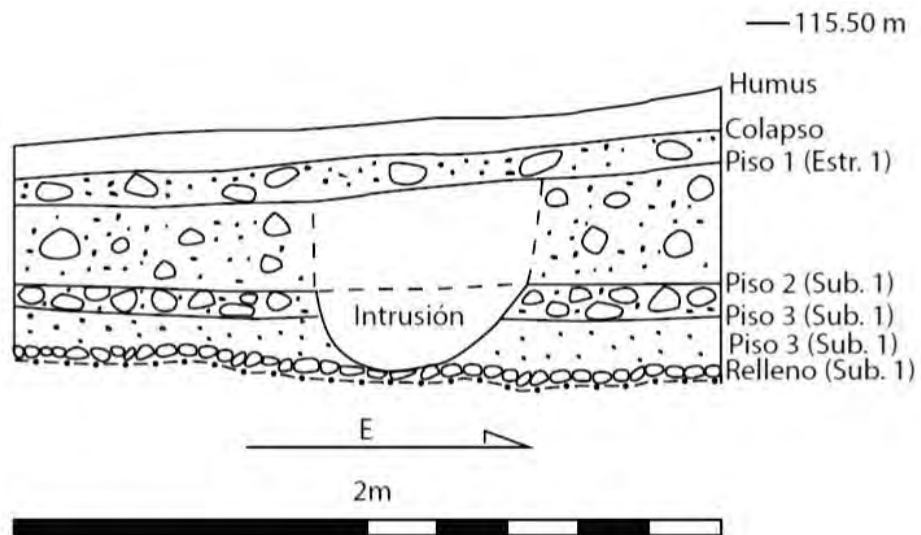
Figura 8.4. Muro de retención de la Estructura 1, excavación en la Unidad 2 durante la temporada 2013 (Foto por M. Burham).



Figura 8.5. Subestructura 1 revelada en la Unidad 3 durante la temporada 2014 (Foto por M. Burham).



Figura 8.6. Entierro 162 (Foto por R. Rodas).



CB215C Perfil norte
 Dibujo: Ricardo Rodas
 Digitalización: Melissa Burham
 Julio 2014

Figura 8.7. Perfil norte de la Operación CB215C.

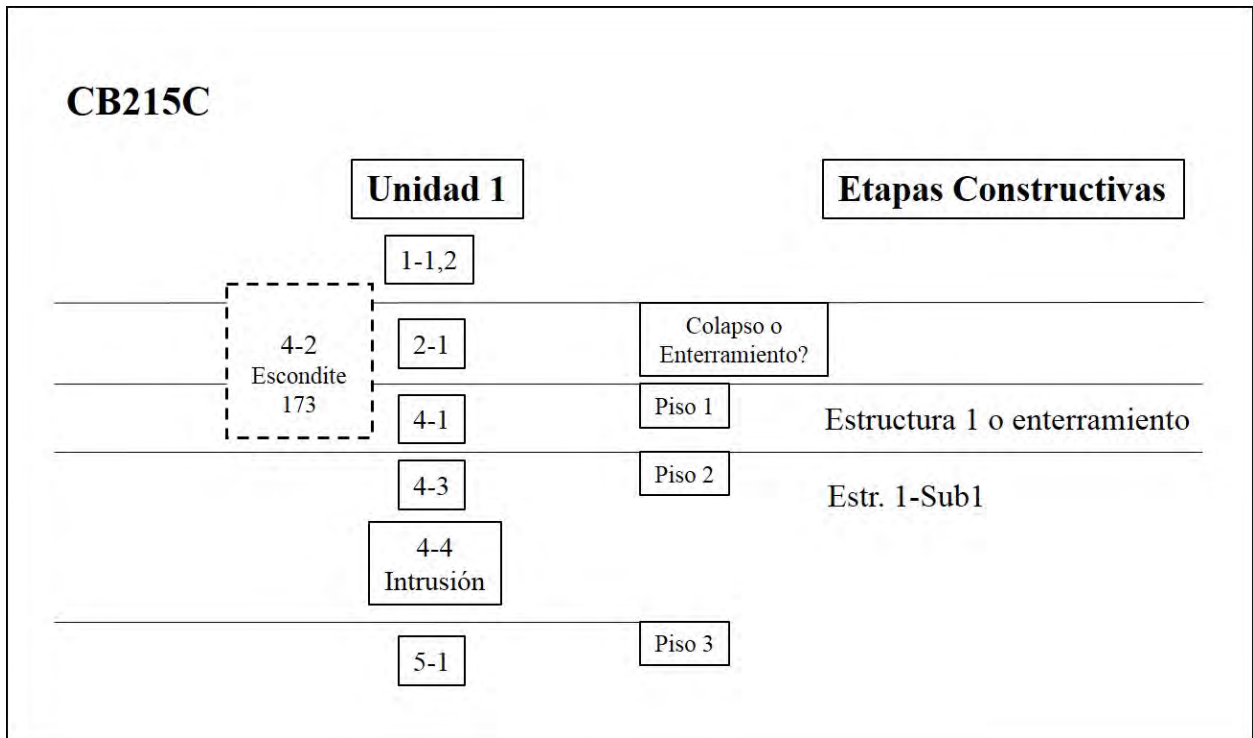


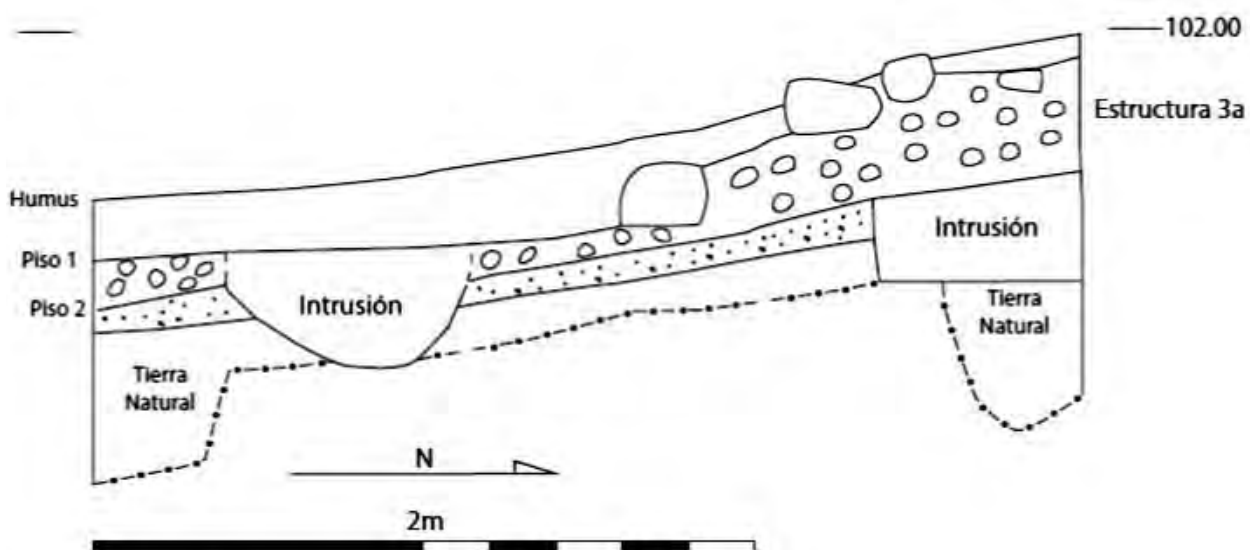
Figura 8.8. Esquema de lotes de la Operación CB215C.

Descripción de matriz CB215A Unidad 3	Descripción de matriz CB215C Unidad 1	Posible Etapa de Construcción
Lote 3-2-1: 10YR 4/1/2 (gris)	Lote 1-2-1: 7.5 YR 3/1 (gris oscuro)	Colapso? Enterramiento?
Lotes 3-4-1,2,3, Relleno de Piso 2: 10 YR 4/1-4/2 (gris-marrón oscuro)	Lote 1-4-1, Relleno Piso 1: 10YR 4/2 (gris-marrón oscuro)	Estr. 1 y/o enterramiento?
Lote 3-4-4 Relleno de Estr. 1 sobre Piso 3 con piedras grandes: 10YR 5/3 (marrón)	Lote 1-4-3, Relleno Piso 2: 10YR 5/3 (marrón)	Recubierto de Piso 3 en CB215C, Recubierto de Piso 3 y/o relleno de Estr. 1
Piso 3: 10YR6/3 (amarillo-marrón claro)	Piso 3: 2.5Y 5/3 y 6/4 (amarillo-marrón claro)	Sub1

Figura 8.9. Tabla comparando colores de estratos entre las Operaciones CB215A y CB215C.



Figura 8.10. Escondite 173 (Foto por R. Rodas).



CB220A Perfil oeste
 Dibujo: Ricardo Rodas
 Digitalización: Melissa Burham
 Julio 2014

Figura 8.11. Perfil oeste de CB220A.

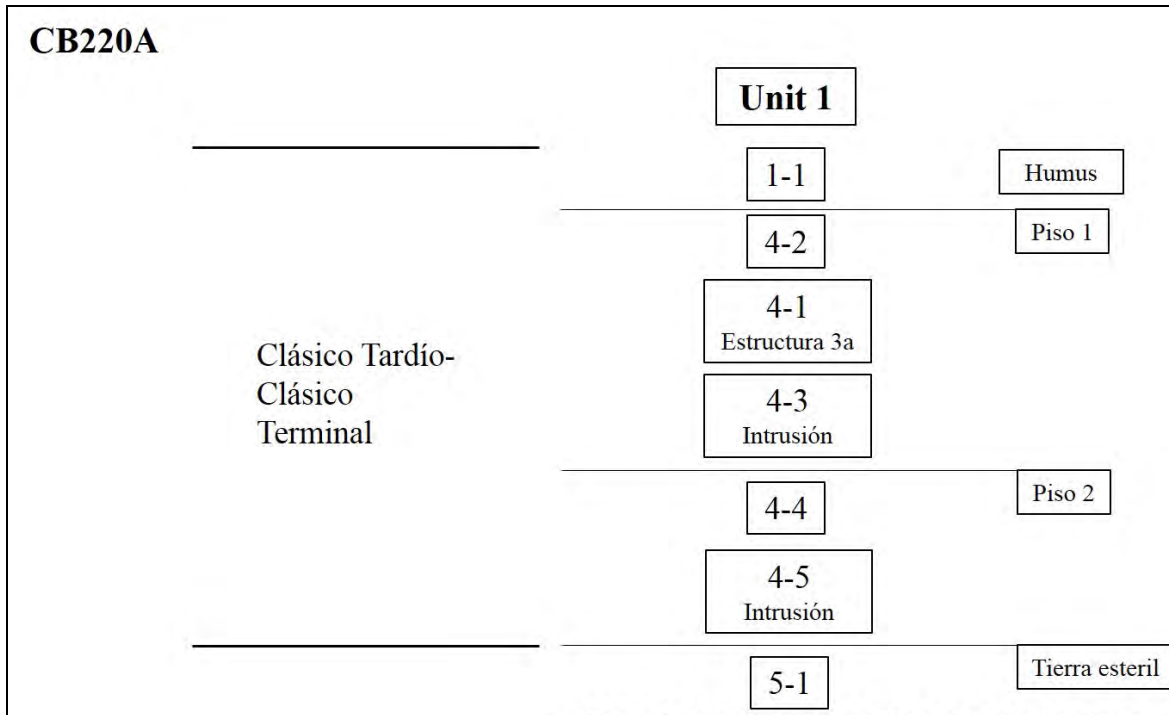


Figura 8.12. Esquema de lotes de CB220A.



Figura 8.13. Estructura 3a (Foto por R. Rodas).



Figura 8.14. Pozo de sondeo en la aguada (lleno de agua) Operación CB215D (Foto por R. Rodas).

9. Excavaciones en el Grupo Pek: CB218

Melissa Burham, Ricardo Rodas y Allan Vicente

INTRODUCCIÓN

En los años 1966-68 fueron realizadas investigaciones en las periferias de Ceibal por Gair Tourtellot y la Universidad de Harvard y a partir de estos estudios se empezaron investigaciones por parte del Proyecto Ceibal en el año 2012. El objetivo principal es conocer los patrones de ocupación en las periferias, explorar las relaciones sociopolíticas entre las poblaciones periféricas y el núcleo de Ceibal, e identificar cómo mantenía estas relaciones y cómo las cambiaban a través de la historia del sitio.

Entre 2012 y 2014, se han investigado cuatro de los siete grupos de templo menor ubicados a través de las periferias de Ceibal. Aunque los grupos varían en lo que respecta a su tamaño y configuración, cada uno tiene un complejo ceremonial, consistiendo en por lo menos un templo y plaza. Estos complejos están rodeados por numerosos grupos de tipo patio. Los datos obtenidos en 2012 y 2014 sugieren que el templo y plaza servían como espacios ceremoniales donde la gente local llevaba a cabo rituales similares a los que se realizaban en la Plaza Central de Ceibal (MacLellan y Burham 2013; Burham 2014; Burham y MacLellan 2014). La información obtenida durante temporadas previas también sugieren que los residentes de esos grupos periféricos eran independientes, política y económicamente (Burham 2012; MacLellan y Burham 2013). Entonces parece que la organización social de Ceibal no era muy centralizada, pero que las poblaciones periféricas estaban integradas en una comunidad más grande por una ideología común centralizada al núcleo de Ceibal.

Además de investigar las relaciones entre el núcleo y las afueras de Ceibal, se intenta investigar cómo se utilizaban los templos periféricos durante diferentes puntos de su ocupación. Como Tourtellot sugirió, la mayoría de los templos fueron construidos originalmente durante el Preclásico Tardío (Tourtellot 1988:376-383). Uno de los templos, Estructura 4E-10 en el Grupo Muknal, fue completamente enterrado durante el fin del periodo Protoclásico o principio del Clásico Temprano para destruir ritualmente la estructura (Tourtellot 1988:148-153). La Estructura 4E-10 fue reutilizada como un montículo para entierros durante el Clásico Tardío. Él sugirió que otros templos periféricos también fueron enterrados así. Es posible que las poblaciones enterraran sus templos antes de abandonar sus grupos durante el Protoclásico o Clásico Temprano, y los reocuparon en una manera diferente más tarde.

Para seguir explorando los patrones revelados en temporadas pasadas y examinar esa cuestión de la destrucción y reutilización de templos menores, en 2014 se excavó otro grupo periférico, el Grupo Pek. La palabra *pek* quiere decir “piedra” en Q’eqchi. Se nombró este grupo por una piedra tallada depositada como ofrenda en el eje central del templo en el grupo (Escondite 169; véase más abajo). El Grupo Pek está aproximadamente a 500 metros al noreste del Grupo A y consiste en un templo (Unidad 4G-4: Estructura 4G-4 y sus subestructuras), la Unidad 2 y múltiples grupos de tipo patio al norte y al sur (incluyendo Unidad 4G-12, Unidad 4G-5, Unidad 101, Unidad 100) (Figura 9.1). Aquí se intentó obtener una cronología precisa basada en la cronología refinada de Ceibal (Inomata 2011), buscar evidencia de rituales en el templo y los espacios domésticos y entender más sobre el acceso a artículos de lujo en las afueras. Se excavaron en diferentes partes del grupo para obtener esos datos.

OPERACION CB218A: TEMPLO 4G-4

Se ubicó la Operación CB218A en el eje central de la Estructura 4G-4, el templo del grupo (Figura 9.1). La operación empezó con un pozo de sondeo de 2 x 2 m (Unidad 1) que fue ampliado con otra unidad de 2.5 x 2 m (Unidad 2) para exponer mejor la arquitectura. Las excavaciones revelaron cinco etapas de construcción y una capa de tierra que puede ser un nivel enterrando la Estructura 4G-4.

Estructura 4G-4 y su enterramiento: Protoclásico (Xate y Junco 1)

Debajo del humus y colapso en la Unidad 1, se expuso un nivel estratigráfico de suelo compacto y oscuro. Debajo de esta capa, había otra capa de suelo similar, pero con piedras pequeñas calizas. Esas capas cubrían una grada muy erosionada, que presumiblemente era la última fase de construcción de la Estructura 4G-4 (Figura 9.4). Solo se encontró la estructura en la Unidad 2, más hacia el interior del montículo. Entonces es posible que parte de la estructura fue desmantelada o que se erosionó bastante. La cerámica excavada de la Estructura 4G-4 indica que se fecha al periodo Protoclásico (fases Xate y Junco 1).

Las matrices de los niveles encima de la Estructura 4G-4 son similares al suelo que Tourtellot describe que enterraba la Estructura 4E-9 del Grupo Muknal (véase a Tourtellot 1988:148). Como este templo en el Grupo Pek, la Estructura 4E-10 también parecía parcialmente desmantelada antes de que fuera enterrada. Aunque no había mucho material diagnóstico para fechar las capas cubriendo 4G-4, no se encontró ningún tiesto de cerámica Clásico o Clásico Terminal en las excavaciones. Entonces, parece que el enterramiento ocurrió durante el Protoclásico o Clásico Temprano, también muy similar al enterramiento de la Estructura 4E-10. Todas estas similitudes pueden confirmar que la Estructura 4G-4 fue también enterrada.

Escondite 169

Un rasgo importante de esta excavación es el Escondite 169. Este escondite consiste en una piedra tallada y un cuenco pequeño de tipo Ixcánrío Polícromo, indicando que se fecha al fin del Protoclásico (fase Junco 1) (Figura 9.5). La forma redonda de la fachada de la piedra sugiere que fue cortada de un altar u otro monumento. Hay incisiones que continúan a los lados, indicando que fue trabajada después de que fue cortada (Figura 9.6).

Hay dos posibilidades de donde se cortó la intrusión del escondite: 1) que fue cortada en el Piso A de la Estructura 4G-4; 2) que fue cortada en el nivel del enterramiento del templo. Si fuera cortada en el Piso 1, indicaría que la Estructura 4G-4 fue construida durante el Protoclásico y ocupada hasta el fin del mismo periodo. Si fuera cortada en el nivel de enterramiento, indicaría que los residentes seguían haciendo rituales en el templo después de haberlo enterrado. Hay que esperar más análisis para entender mejor estas interpretaciones.

Subestructura 1: periodo Preclásico Tardío (Cantutse-Chicanel)

Debajo de la Estructura 4G-4, se encontraron dos pisos de estuco, el Piso B y C, que cubrían un relleno grueso de barro duro de color amarillo-rojo. La cerámica indica que se fecha a la fase Cantutse-Chicanel. No se encontraron estos dos pisos en la Unidad 1 y el relleno parecía muy mezclado. Al examinar los perfiles de la excavación, parece que esta subestructura fue desmantelada antes de construir la próxima estructura (véase a Figura 9.2).

Subestructura 2: periodo Preclásico Tardío (Cantutse-Chicanel)

Más temprano en el mismo periodo, los residentes construyeron la Subestructura 2. El Piso 1 de esta subestructura era de un estuco muy duro, blanco y grueso (Figura 9.7). En la esquina noreste de la Unidad 2, se encontró también una esquina de la primera grada de la escalinata de la subestructura, por lo que parece que el área de esa construcción era considerablemente más pequeña que las estructuras más tardías. El relleno de este piso fue muy grueso, consistiendo en piedras grandes y suelo suelto. Es probable que este piso y relleno fueran de una plataforma grande sobre el cual se construyó la Subestructura 2. Esta construcción indica que la gente en las periferias tenía los recursos y mano de obra para construir edificios de buena calidad como en el núcleo del sitio.

Periodo Preclásico Tardío, Temprano (Cantutse-Chicanel 1)

Debajo de la subestructura se encontraron dos pisos más (Pisos 2 y 3) que estaban muy erosionados. El Piso 3 se fecha para la fase Cantutse-Chicanel 1, indicado por la presencia del tipo cerámico Ahchab resistente, en el relleno. Al excavar el relleno de este piso, se expuso la roca madre y una intrusión.

Chultun en la roca madre

Se encontró la esquina de un chultun al costado noroeste de la Unidad 1. El chultun fue bastante profundo (~180 cm) y tenía tres gradas formadas en la roca para llegar al fondo (Figura 9.8). No se encontró ningún entierro ni escondite en la excavación, pero la intrusión fue llenada con materiales de un basurero, incluyendo mucho hueso de animal, concha, lítica y cerámica. La cerámica también se fecha para la fase Cantutse-Chicanel 1.

Lo interesante es que en la temporada 2012 igualmente fue descubierta una intrusión grande en la roca madre, posiblemente un chultun cortado o colapsado, en el Grupo Unidad 54 (véase a Burham 2012). Como el chultun del Grupo Peck, el de la Unidad 54 también estaba lleno de materiales diversos, pero había un entierro en el fondo. Ambos están en el eje central de un templo menor en las periferias. Como se encontraron dos chultunes en el eje central de dos templos periféricos, es muy posible que hayan más. Este patrón también puede tener un significado especial, pero hay que investigar estos resultados para entender la importancia de chultunes en el eje central de templos más tardíos.

OPERACION CB218B

La Unidad 4G-5 es un grupo de tipo patio al sur del templo 4G-4 en el Grupo Pek. La Suboperación CB218B era un pozo de sondeo de 2 x 2 m, ubicado en el eje central de la estructura norte en la Unidad 4G-5 (refiérase a Figura 9.1). Se excavó allí para obtener una cronología de esta parte del grupo y compararla a la cronología del templo. También se intentó buscar evidencia de rituales domésticos y obtener más información sobre el acceso de materiales lujosos en las periferias.

Periodo Clásico Tardío (Tepijilote)

Al quitar el humus se expuso el Piso 1, un piso de suelo oscuro mezclado con pedrín. Debajo del Piso 1 se encontró el Piso 2, que consiste de suelo oscuro compacto con piedras más grandes. Al excavar el segundo piso se expuso el Piso 3, que tenía un relleno bastante grueso (~0.40 m) consistiendo de piedras grandes y tierra arcillosa oscura. Es probable que este piso fuera de una plataforma sobre la cual se construyeron las estructuras residenciales. Los pisos se fechan para

Clásico Tardío, pero es posible que hubiera ocupación allí durante el Clásico Terminal porque se excavaron materiales de la fase Bayal en otros patios en el Grupo Pek.

Entierro 148

Al remover el Piso 3, se notó una intrusión en el Piso 4 que contenía el Entierro 148. La intrusión no fue muy profunda desde el nivel del Piso 4, entonces es probable que la intrusión fue cortada en un piso superior. Este entierro consiste en un adulto masculino posicionado en su espalda con sus piernas flexionadas hacia atrás y sus brazos doblados sobre su pecho (Figura 9.11). La orientación del entierro fue anómala, extendiéndose del sureste al noroeste. Aunque el entierro no contenía ofrendas ni cerámica diagnóstica para fecharlo, el estilo parece ser Clásico Tardío.

Los Periodos Protoclásico (Xate y Junco 1) y Preclásico Tardío (Cantutse-Chicanel)

Debajo del Piso 3, se encontró una serie de pisos (Pisos 4, 5, 6, 7 y 8) más claros y arcillosos sin mucho piedrín. La cerámica del Piso 4 indica que se fecha para el periodo Protoclásico y la cerámica del Piso 7 indica que éste se fecha para el Preclásico Tardío, pero hay que esperar más análisis para fechar los pisos intermediarios.

El Piso 7 contenía bastante material cultural diverso, sugiriendo que fue construido con materiales de un basurero. Al remover este piso, se notó una intrusión en el Piso 8, en la esquina suroeste de la unidad. La intrusión contenía piedras grandes y tierra mezclada con ceniza, pero no había un entierro ni escondite.

La cantidad de pisos en esta área indica que hubo bastante actividad constructiva durante el Protoclásico y las fases tardías del Preclásico Tardío.

Periodo Preclásico Tardío, Temprano (Cantutse-Chicanel 1)

El relleno del Piso 9 consistió en diferentes matrices, en algunas áreas contenía mucho carbón, y otras partes fueron más claras y suaves. Al empezar a excavar el Piso 9, se notó un grupo de piedras en la esquina sureste de la unidad. Después de limpiarlo, se vio que fue la esquina de una estructura (designada Estructura Saq) encima del Piso 10. Había una concentración de basura y piedras depositadas encima y alrededor de la esquina de la estructura (Figura 9.12). Es posible que la basura fuera parte de un rito de terminación de la estructura, pero es más probable que la basura fuera una carga depositada como relleno del Piso 10. La cerámica tiene algunos atributos de la fase Mamom-Chicanel, pero no se identificó un tipo diagnóstico para esa fase, al parecer la basura es de la transición entre el Preclásico Medio y Preclásico Tardío, tal vez de la fase Cantutse-Chicanel 1.

El relleno del Piso 10 contenía una gran cantidad de carbón mezclado con suelo muy arcilloso. También, la parte norte de la excavación tenía una concentración de sascab que empezó en el mismo nivel del Piso 10 y estaba encima del Piso 11, por lo cual nos dimos cuenta que este rasgo era la fachada de una estructura construida completamente de sascab (designada Estructura Pox). Casi no hubo material en el Piso 11. Debajo del mismo, se encontró otro posible piso (Piso 12), pero puede ser que este “piso” fuera parte del relleno del Piso 11 mezclado con la roca madre, creando un relleno más claro y amarillo. Se llegó a roca madre casi 2 metros debajo de la superficie.

OPERACION 218C

Se excavó un pozo de sondeo enfrente de la esquina noreste de la Estructura 4G-12c, la estructura sur de un grupo de tipo patio al norte del Templo 4G-4 (véase a Figura 9.1). Se excavó también para obtener una cronología de esta parte del grupo, empezando con un pozo de 1 x 2 m, sin embargo, después fue necesario extenderlo con otra unidad pequeña de 1 x 1.5 m para exponer un entierro. Esta parte del Grupo Pek está más baja que la Estructura 4G-4 y la Unidad 4G-5. Se decidió no excavar la roca madre en ésta área.

Los Periodos Clásico Terminal (Bayal) y Clásico Tardío (Tepijilote)

Al remover el humus, se expuso el Piso 1, un piso de suelo compacto y oscuro con un poco de piedrín. La presencia de cerámica fina indica que esta etapa de construcción se fecha al Periodo Clásico Terminal (fase Bayal). Debajo de este Piso, se encontró el Piso 2, cuyo relleno contenía piedras calizas más grandes. Después de excavar el Piso 2 y exponer el Piso 3, se notó una intrusión en el rincón suroeste de la Unidad 1. La intrusión contenía piedras calizas, pero no había artefactos. Los Pisos 2 y 3 parecen fecharse al Clásico Tardío.

Al empezar a excavar el Piso 3, se expuso un húmero humano con incisiones perpendiculares a lo largo del hueso (Figura 9.15). Parece que el hueso estaba en el relleno, y no fue depositado como escondite. La Zooarqueóloga Ashley Sharpe ha visto huesos trabajados así, pero de animales y no humanos. Podría ser un instrumento musical.

Periodo Protoclásico (Xate y Junco 1) y Preclásico Tardío (Cantutse-Chicanel)

El Piso 4 representa un cambio cronológico entre el periodo Clásico y Protoclásico. Este piso fue más claro que los anteriores, hecho de un suelo arcilloso con un poco de piedrín. Debajo se expuso el Piso 5, en el cual se notó una intrusión en la esquina suroeste. Se excavó esta intrusión para encontrar una fosa bien conservada y para exponerla se expandió la excavación (véase abajo).

Debajo de estos pisos, hubo una serie de pisos delgados (Pisos 6, 7, 8, 9, 10, 11) sin muchos artefactos. La cerámica de esos pisos indica que se fechan para el Preclásico Tardío (fase Cantutse-Chicanel), pero hay que esperar más análisis para corroborar. Como el Piso 1 de la Operación CB218A, los Pisos 10 y 11 en esta excavación fueron de estuco muy fino, duro y claro, tal vez indicando contemporaneidad entre esas construcciones. Se excavó parte del Piso 11 para ver el Piso 12, pero de ahí no se continuó la excavación.

Entierro 151

El Entierro 151 fue intrusivo en el Piso 4 o Piso 5. La cista fue cuadrada con una tapadera de estuco y piedras planas, creando un espacio vacío entre la tapadera y los restos humanos (Figura 9.16). El cráneo fue destruido, pero el resto de los huesos estaban bien conservados. El individuo, un adulto masculino, estaba en posición decúbito dorsal flexionado. Tenía como ofrenda una vasija de tipo Sierra Rojo puesta encima de sus caderas. La forma de la vasija, un cuenco trípode con soportes de botones, indica que el entierro se fecha al Protoclásico (fase Xate o Junco 1).

OPERACION 218D

Parece que muchos de los grupos de templo menor tenían un recurso de agua local, como una aguada o un arroyo. Al existir recursos de agua en los grupos periféricos, el control de agua no era regulado por las elites que residían en el núcleo, lo que indicaría que las poblaciones periféricas eran política y económicamente independientes (Lucero 2002). Para explorar esta hipótesis, se excavó un pozo al este de la Unidad 101 donde presumiblemente había una aguada en la antigüedad. Se recuperaron tiestos de cerámica para fechar el rasgo, y se tomaron muestras de suelo para buscar evidencia de organismos acuáticos.

La excavación reveló un nivel estratigráfico grueso (~1m) de arcilla plástica sin piedrín. Debajo de este nivel, hubo un nivel de arena gris, como sedimentos en el fondo de agua y por debajo, se encontró la roca madre que tenía una oquedad como si fuera modificada en una forma de cuenco (Figura 9.17). Aunque todavía hay que esperar el análisis de suelo, la arcilla plástica y el nivel de sedimentación sugieren que era un fondo de agua. Entonces es muy posible que los residentes construyeran aguadas para reservar un recurso de agua local.

CONCLUSIONES

Para resumir, hubo bastante construcción en el Grupo Pek entre el principio del Preclásico Tardío y el Protoclásico. Estos resultados hacen recordar otras investigaciones realizadas en grupos de templo menor en las afueras de Ceibal, que también experimentaron mucha construcción y ocupación durante los mismos periodos (Burham 2012; 2013b). Lo que sugiere que había un gran crecimiento de las periferias empezando al inicio del Preclásico Tardío. Tourtellot también notó este patrón de crecimiento durante el Preclásico Tardío (Tourtellot 1988:376-383), sin embargo, a diferencia de los estudios de Tourtellot (1988:383), se identificó bastante construcción y ocupación durante el Protoclásico (fase Xate or Junco 1). Similarmente a otros grupos periféricos, el Grupo Pek fue abandonado a fines del Protoclásico (fase Junco1), cuando los residentes enterraron el templo. Esta práctica de enterrar el templo local parece ser integral en el proceso de abandono de Ceibal que empezó durante el Protoclásico y Clásico Temprano, eventualmente seguido por un hiato total entre 450 y 600 d.C.

Como otros grupos periféricos, el Grupo Pek se re-ocupó durante el Periodo Clásico Tardío. Había bastante construcción durante el Clásico Tardío (fase Tepijilote) en las Unidades 4G-5 y 4G-12 y evidencia de ocupación durante el Clásico Terminal (fase Bayal) en la Unidad 4G-12. El hecho de que había ocupación en este grupo durante el Clásico Terminal quiere decir que la ocupación de Ceibal no se limitaba al área central como se había pensado anteriormente (véase a Tourtellot 1988:400-407).

Es posible que los residentes reutilizaran la Estructura 4G-4 durante el Clásico Tardío, especialmente considerando que los grupos patios están justo al lado del templo, pero no se encontró evidencia de ocupación del templo durante el Clásico Tardío. Este resultado es diferente que otros templos, que fueron reutilizados de diferente manera después de re-ocuparlos (p.e. Tourtellot 1988:148). En el futuro sería interesante seguir investigando el significado de la reutilización, o en el caso de la Estructura 4G-4, el abandono completo de templos periféricos.

Los resultados de investigaciones realizadas en el Grupo Pek también aumentan nuestro conocimiento de la organización social de Ceibal. Como se ha sugerido anteriormente (Burham 2012; 2014; MacLellan y Burham 2013), la evidencia de rituales y actividades económicas en las periferias

indican que esas poblaciones eran independientes, especialmente en el Preclásico Tardío cuando fueron establecidos. Cada grupo de templo menor parece ser una comunidad local, (véase a Smith 2010), con su propio complejo ceremonial y administrativo. Con un recurso de agua local y ocupación contemporánea en las partes residenciales y el templo, El Grupo Pek parece ser otro “distrito” en las afueras de Ceibal. Aunque bastante independiente, esta comunidad fue integrada en la comunidad más grande de Ceibal por una ideología y prácticas rituales basada en el núcleo del sitio (Burham y MacLellan 2014).

OPERACIÓN CB218A

Unidad 1

Nivel-Lote	Descripción
1-1	Humus suelto, color 7.5YR 2.5/2
2-1	Tierra suelta y piedras medianas, color 7.5YR 3/2
2-2	Tierra arcillosa con piedras de caliza, color 10YR 4/2
2-3	Tierra arcillosa compacta, colores 10YR 5/4 y 10YR 5/5
5-1	Piso de estuco con relleno de tierra suelta y arcillosa mezclada con piedras medianas y grandes, color 2.5Y 8/4 y 10YR 4/3
5-2	Piso de estuco con relleno flojo con piedras, color 10YR 8/2 & 10YR 4/3
5-3	Tierra suelta con piedras pequeñas, color 10YR 5/3
5-4	Tierra suelta con piedras pequeñas y medianas, color 10YR 5/3 y 10YR 4/3
6-1	Tierra suelta con piedras pequeñas, color 10YR 5/3 y 10YR 4/3
6-2	Tierra suelta, colores 2.5Y 6/3, 10YR 5/3 y 10YR 4/3
6-3	Tierra suelta con piedras grandes, color 10YR 5/3 y 1
0YR 4/3	

Unidad 2

Nivel-Lote	Descripción
1-1	Humus suelto, color 7.5YR 2.5/2
1-2	Humus suelto con piedras pequeñas, color 7.5YR 5/2
2-1	Tierra suelta con piedras medianas, color 7.5YR 3/2
2-2	Tierra arcillosa con piedras de caliza, color 10YR 4/2
2-3	Tierra suelta con piedras de caliza (intrusión de árbol), color 10YR 4/2
4-1	Tierra suelta, color 10YR 4/2
4-2	Varios estratos, varios colores (Extensión; refiérase a lotes 1-1 a 2-1)
4-3	Tierra suelta, color 10YR 4/2 (Escondite 169)
4-4	Sascab suelto, color 2.5Y 6/3
4-5	Sascab suelto, color 2.5Y 7/4
4-6	Tierra mezclada, sascab, tierra arcillosa roja y café, colores 10YR 4/3 & 10YR 6/4
5-1	Piso de estuco sobre tierra arcillosa con piedras de caliza, colores 2.5Y 8/4 & 10YR 4/3
5-2	Tierra suelta con piedras, color 10YR 4/3

OPERACIÓN CB218B

Unidad 1

Nivel-Lote	Descripción
1-1	Humus, tierra suelta con piedras pequeñas, color 7.5YR 2.5/2
4-1	Tierra suelta con pedrín, color 7.5YR 2.5/2
4-2	Tierra arcillosa con pedrín y algunas piedras grandes, color 10YR 3/2
4-3	Tierra arcillosa con pedrín y piedras grandes, color 10YR 3/2
4-4	Tierra arcillosa con piedras grandes, color 10YR 3/2
4-5	Tierra arcillosa, color 10YR 4/3 (Entierro 148)
5-1	Tierra arcillosa poco compacta con piedras pequeñas, color 10YR 3/2
5-2	Tierra suelta con pedrín, color 10YR 5/3
5-3	Tierra suelta con pedrín y algunas piedras grandes, color 10YR 5/3
5-4	Tierra arcillosa poco compacta con piedras pequeñas, color 10YR 4/2
5-5	Tierra arcillosa poco compacta con pedrín, color 10YR 4/2
5-6	Tierra arcillosa con piedras grandes, color 10YR 3/2
5-7	Tierra arcillosa dura con pedrín, color 10YR 4/2
5-8	Tierra arcillosa dura con piedras pequeñas, color 10YR 5/3
5-9	Arcilla compacta con poco pedrín y carbón, color 10YR 3/2
6-1	Piso de sascab suelto, arcilla oscura con carbón, color 2.5Y 8/2
6-2	Tierra arcillosa con pedrín y carbón, color 10YR 3/2
6-3	Sascab suelto, colores 10YR 8/2 y 10YR 8/3
6-4	Arcilla compacta con pedrín pequeño, colores 10YR 3/2 y 10YR 3/3
6-5	Tierra arcillosa con pedrín, color 10YR 5/3
6-6	Roca madre, color 10YR 7/4

OPERACIÓN CB218C

Unidad 1

Nivel-Lote	Descripción
1-1	Humus con pedrín y piedras, color 10YR 2/2
4-1	Tierra con pedrín y piedras, color 10YR 3/2
4-2	Tierra con piedras, color 10YR 3/2
4-3	Tierra con piedras, color 10YR 5/2
4-4	Tierra con piedras, color 10YR 3/2
4-5	Tierra con piedras, color 2.5Y 4/2
5-1	Arcilla con arena y pedrín, color 2.5Y 5/2
5-2	Tierra arcillosa con pedrín, color 2.5Y 6/3
5-3	Tierra con piedras grandes, color 2.5Y 5/2 (Entierro 151)
5-4	Tierra suelta con pedrín mediano, color 2.5Y 7.3
5-5	Tierra suelta compactada con caliza, color 2.5Y 6/2
5-6	Tierra suelta compactada con pedrín, color 2.5Y 5/2
5-7	Tierra suelta con pedrín, color 2.5Y 5/2
6-1	Sascab o estuco suelto compactado con pedrín muy pequeño, colores 2.5Y 7/2 y 2.5Y 6/2
6-2	Tierra suelta (Piso 11 erosionado)

Unidad 2

Nivel-Lote Descripción

- 4-1 Varios estratos, varios colores (Extensión; refiérase a 1-1-1 y 1-4-1)
- 4-2 Tierra con piedrín y piedras (Extensión; refiérase a 1-4-2, 1-4-4, 1-4-5)
- 4-3 Tierra con piedras grandes, color 2.5Y 5/2 (Entierro 151)
- 4-4 Tierra arcillososa seca con piedrín, color 2.5Y 4/2

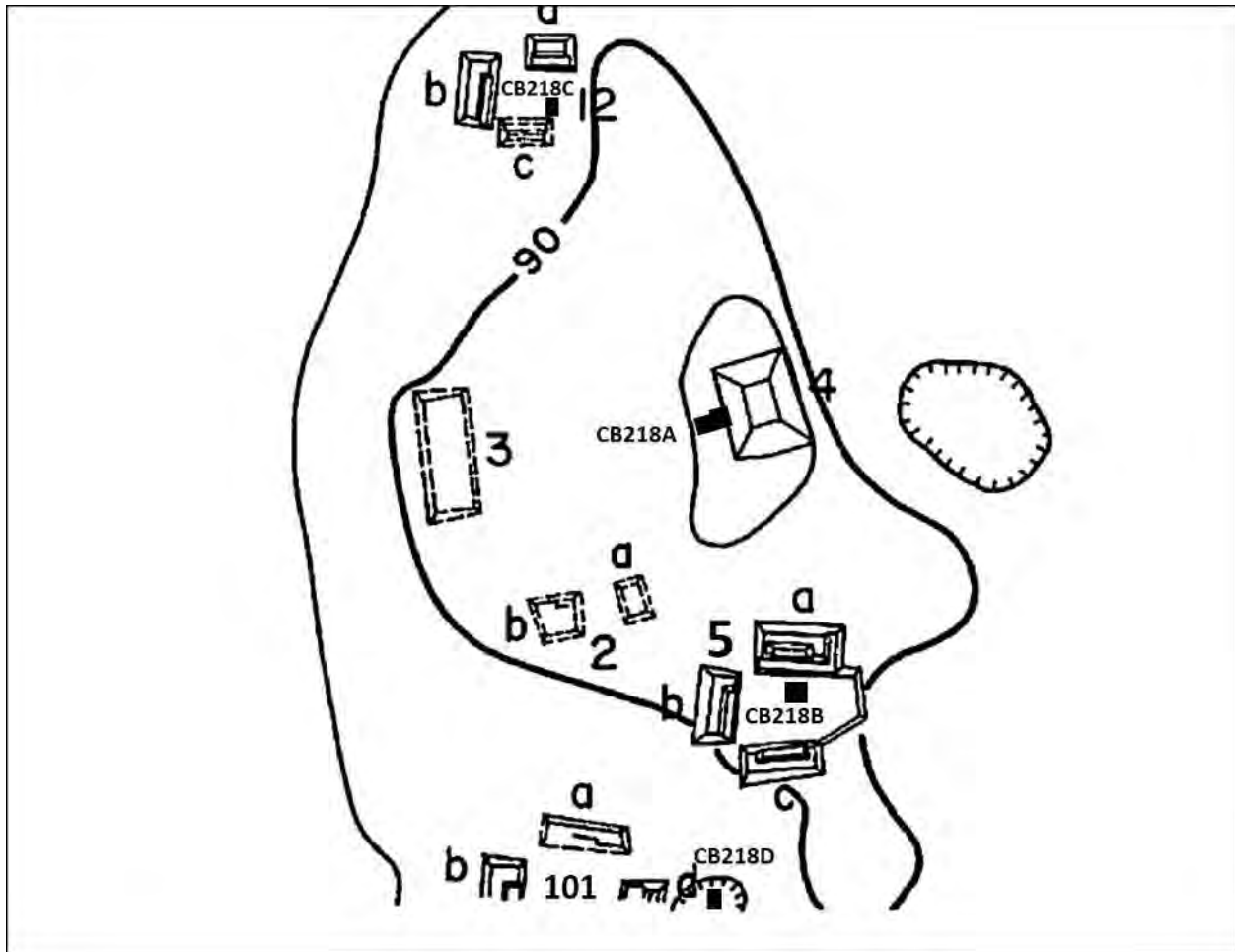


Figura 9.1. Mapa de excavaciones en el Grupo Pek.

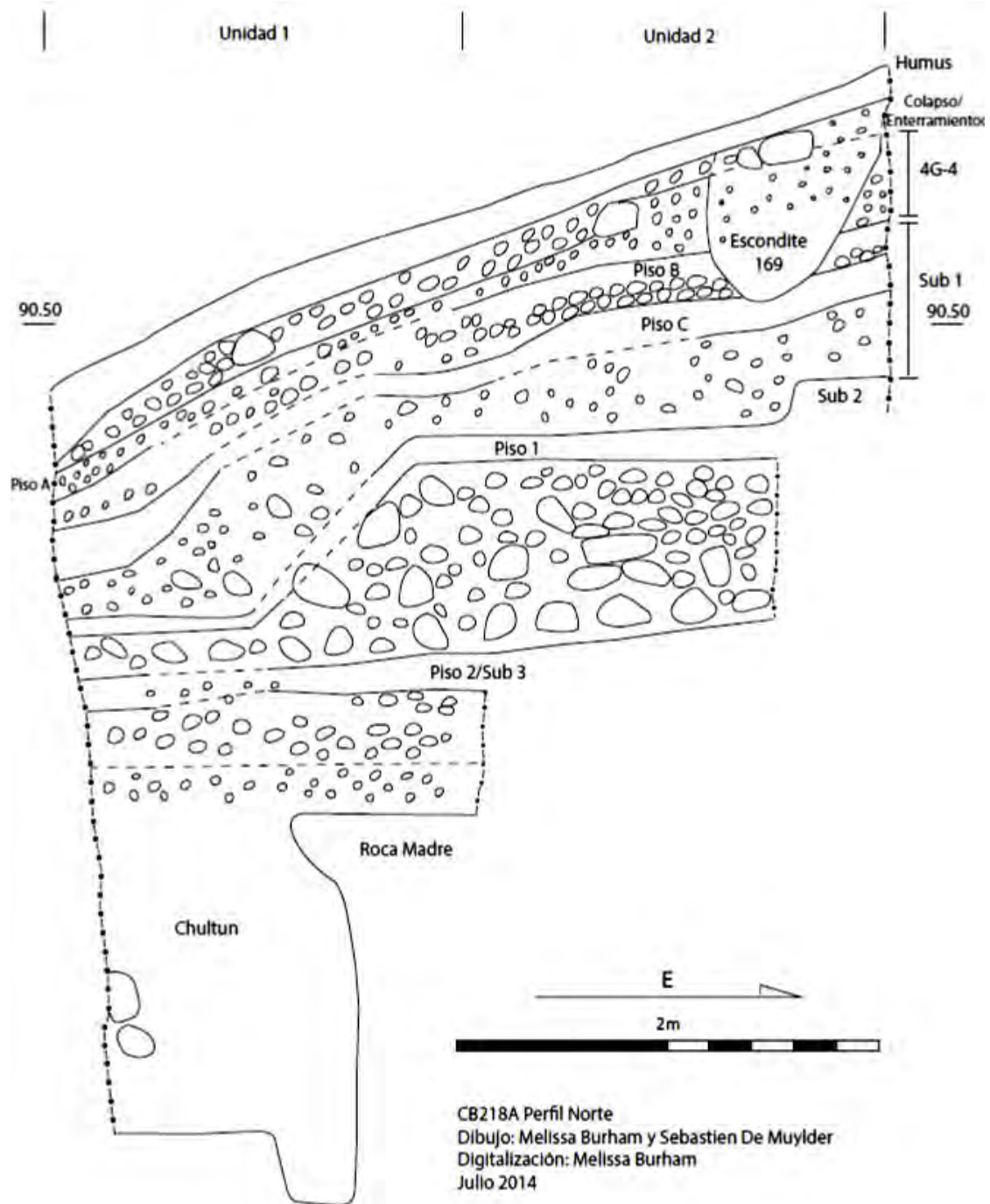


Figura 9.2. Perfil norte de CB218A.

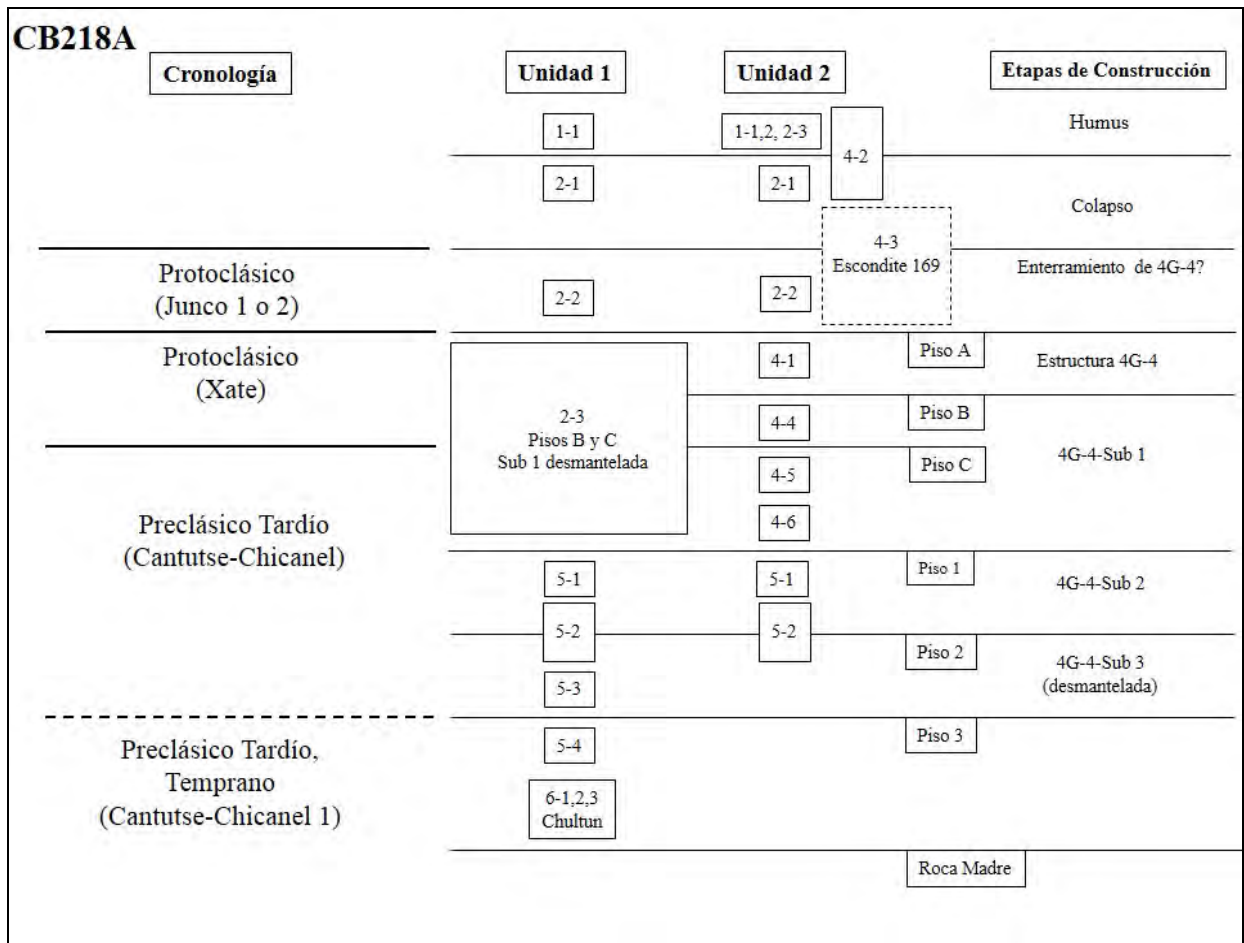


Figura 9.3. Esquema de lotes de la Operación CB218A. Elaborado por M. Burham.



Figura 9.4. Estructura 4G-4, posiblemente enterrada durante el Protoclásico o Clásico Temprano (CB218A) (Foto por M. Burham).



Figura 9.5. Escondite 169 (CB218A2-4-3) (Foto por M. Burham).



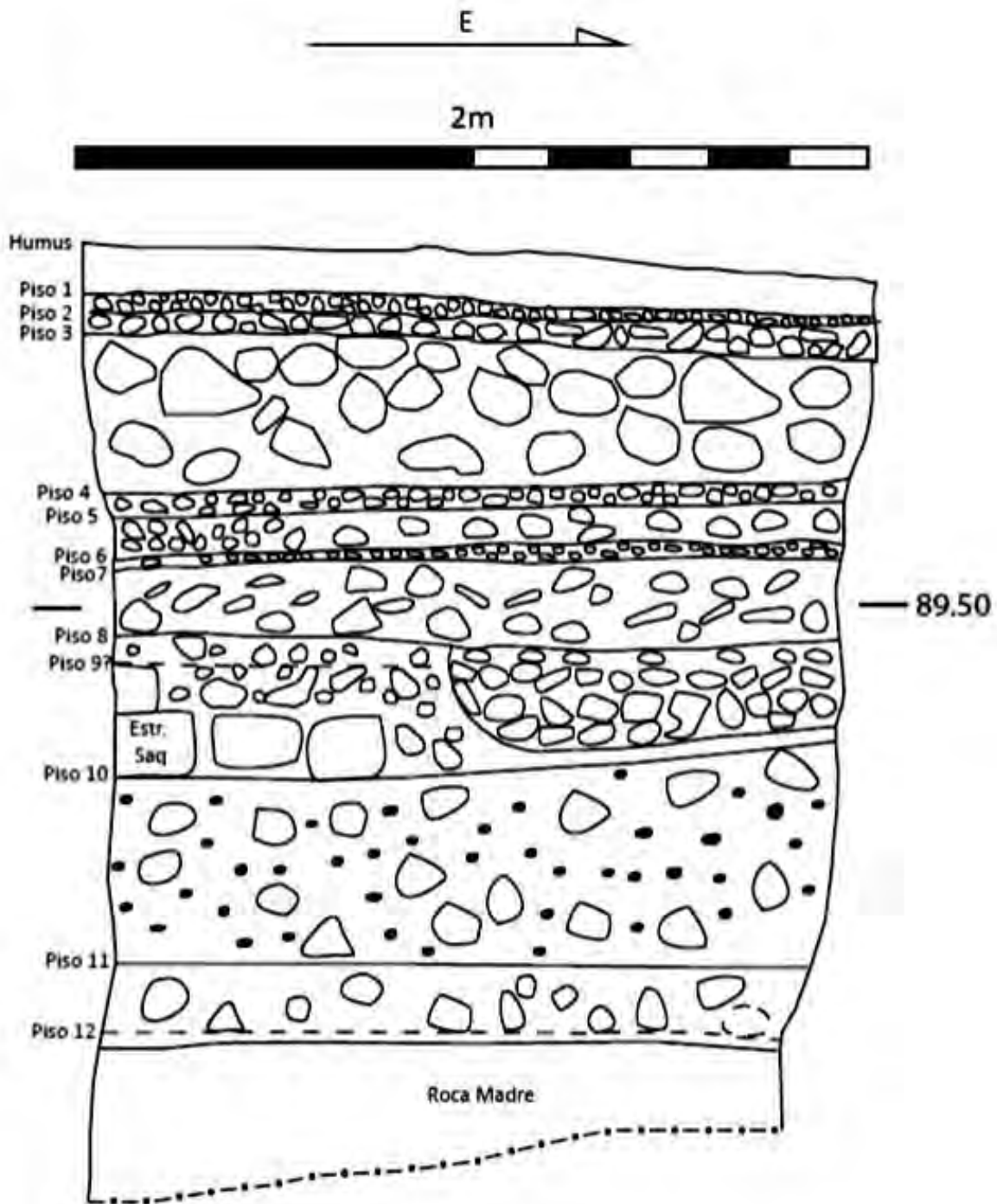
Figura 9.6. Piedra tallada de Escondite 169 (CB218A2-4-3) (Foto por M. Burham).



Figura 9.7. Piso 1 de Subestructura 2, CB218A (Foto por M.Burham).



Figura 9.8. Chultun en la roca madre, CB 218A (Foto por M. Burham).



CB218B Perfil Sur
 Dibujo: Ricardo Rodas
 Digitalización: Melissa Burham
 Julio de 2014

Figura 9.9. Perfil sur de CB218B.

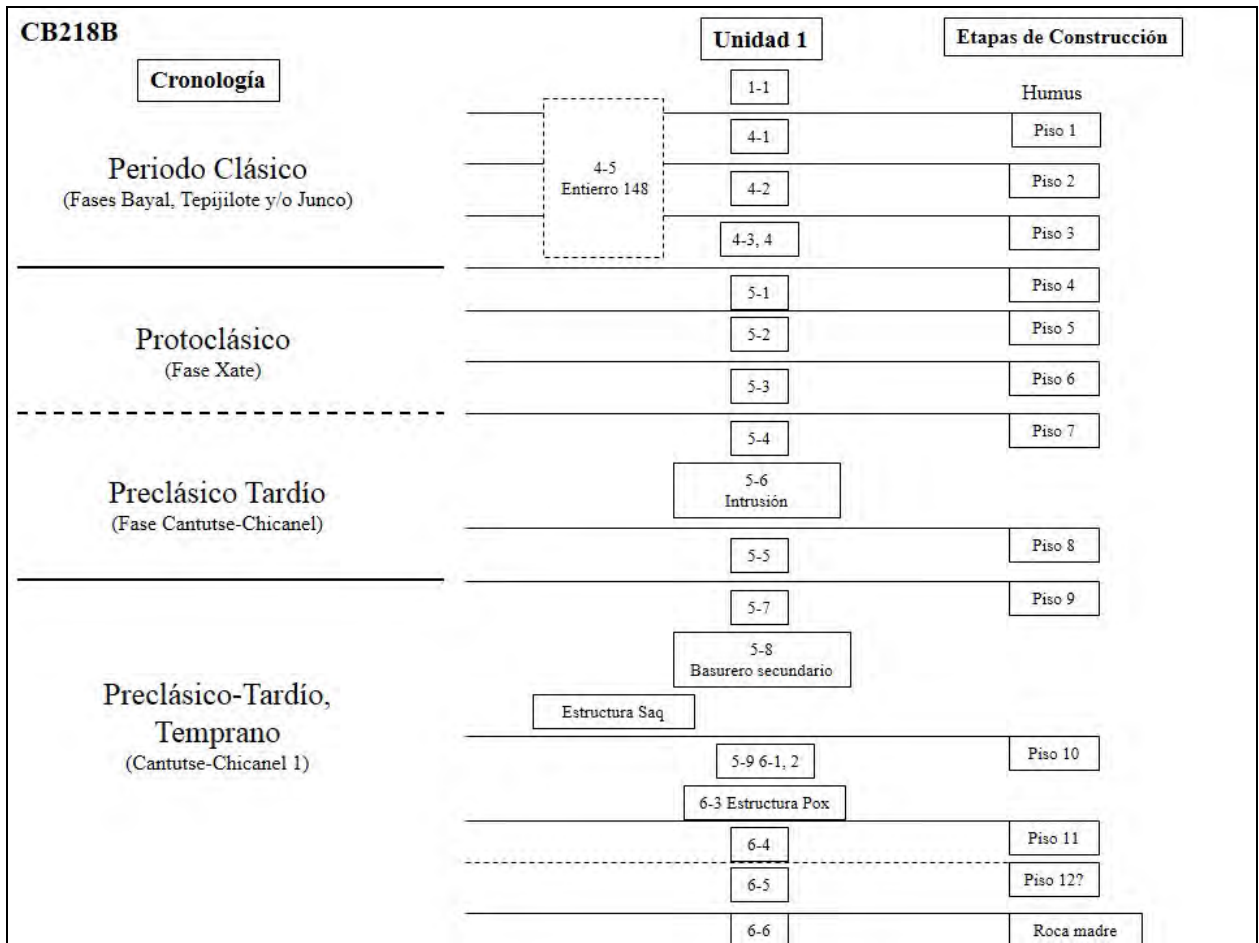


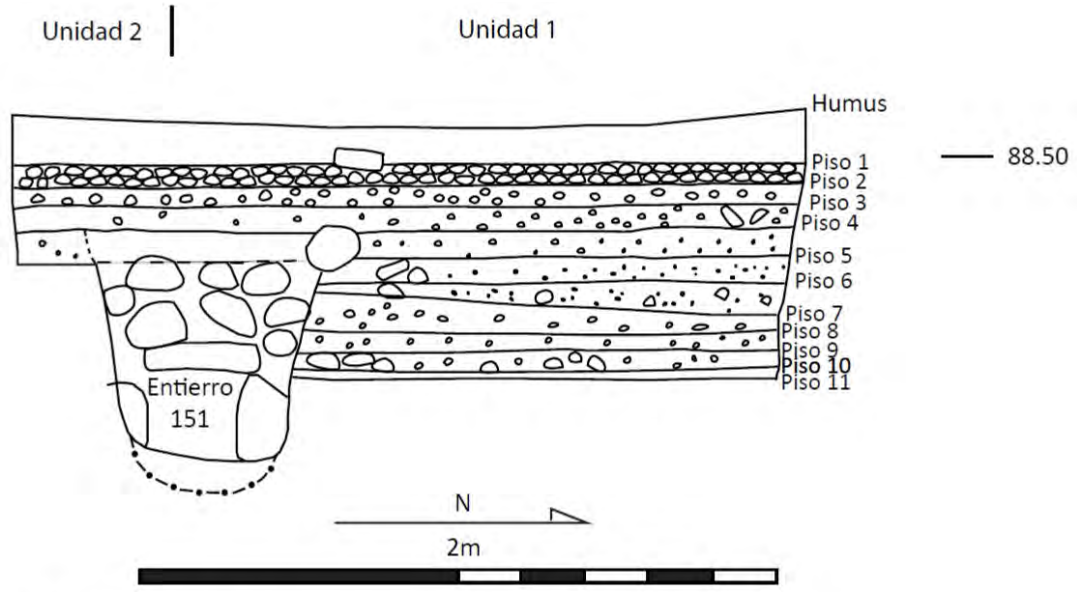
Figura 9.10. Esquema de lotes de CB218B. Elaborado por M. Burham.



Figura 9.11. Entierro 147 (CB218B1-4-5) (Foto por F. Pinzón).



Figura 9.12. Carga de basura depositada encima y al lado de la Estructura Saq (Foto R. Rodas).



CB218C Perfil oeste
 Dibujo y Digitalización: Melissa Burham
 Julio 2014

Figura 9.13. Perfil oeste de CB218C.

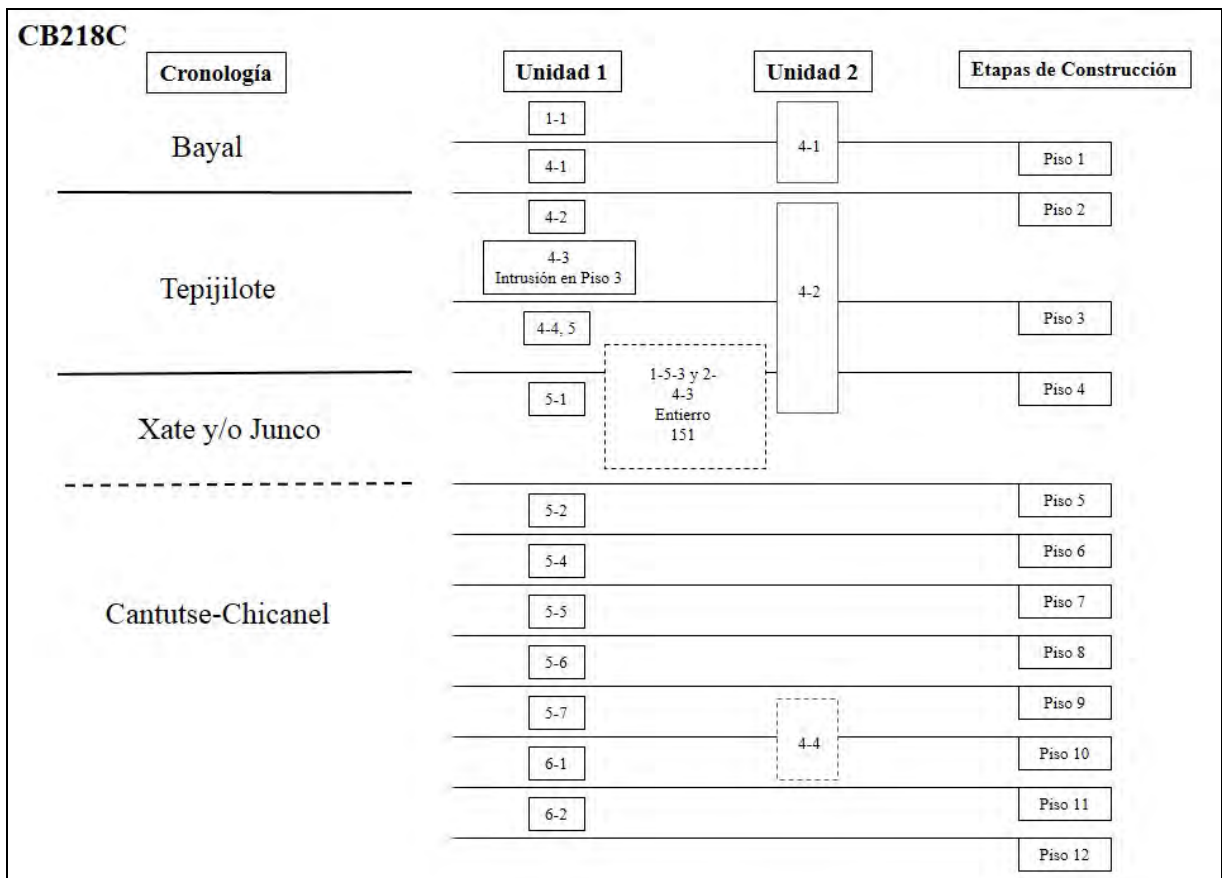


Figura 9.14. Esquema de lotes CB218C. Elaborado por M. Burham.



Figura 9.15. Húmero humano trabajado (CB218C1-4-4) (Foto M. Burham).



Figura 9.16. Entierro 151 (CB218C2-4-3) (Foto por M. Burham).



Figura 9.17. Excavación de aguada al este de Unidad 101 (Foto por R. Rodas).

10. Análisis de Cerámica

Takeshi Inomata

INTRODUCCIÓN

Se ha realizado el análisis de cerámica de Ceibal cada año después de la temporada de campo. Aunque el estudio de algunos materiales de las temporadas 2013 y 2014 todavía está en proceso, el trabajo de laboratorio hasta la fecha ha proporcionado resultados significativos. El estudio de cerámica del Proyecto Ceibal incorpora el sistema de tipo-variedad con el análisis modal basado en la información de secuencias estratigráficas detalladas y numerosas fechas de radiocarbono. Estos análisis nos permitieron desarrollar la cronología más detallada en el área maya.

Este estudio está basado en el trabajo anterior del Proyecto de Harvard. El ceramista de dicho proyecto, Jeremy Sabloff (1975) propuso la cronología que consistió de las siguientes fases: Real-Xe (Preclásico Medio temprano), Escoba-Mamom (Preclásico Medio tardío), Cantutse-Chicanel (Preclásico Tardío), Junco-Tzakol (Clásico Temprano), Tepejilote-Tepeu (Clásico Tardío), y Bayal (Clásico Terminal). Los resultados de este estudio confirman la excelencia del trabajo pionero de Sabloff y agrega refinamientos importantes.

CRONOLOGÍA CERÁMICA DE CEIBAL

La cronología incluye varias subdivisiones de las fases que propuso Sabloff. Además, se define una nueva fase, Xate, para el período Preclásico Terminal, la cual corresponde a lo que Sabloff llamó Cantutse Tardío. Las fechas específicas de las fases son las siguientes:

Preclásico Medio temprano

- Real-Xe 1 = 950-850 a.C.
- Real-Xe 2 = 850-800 a.C.
- Real-Xe 3 = 800-700 a.C.

Preclásico Medio tardío

- Escoba-Mamom 1 = 700-600 a.C.
- Escoba-Mamom 2 = 600-450 a.C.
- Escoba-Mamom 3 = 450-350 a.C.

Preclásico Tardío

- Cantutse-Chicanel 1 = 350-300 a.C.
- Cantutse-Chicanel 2 = 300-250 a.C.
- Cantutse-Chicanel 3 = 250-1 a.C.

Preclásico Terminal

- Xate 1 = 1-75 d.C.
- Xate 2 = 75-225 d.C.

Clásico Temprano

- Junco-Tzakol 1 = 225-300 d.C.
- Junco-Tzakol 2 = 300-400 d.C.
- Junco-Tzakol 3 = 400-450 d.C.

Abandono: 450-600 d.C.

Clásico Tardío

Tepejilote-Tepeu 1 = 600-720 d.C.

Tepejilote-Tepeu 2 = 720-761 d.C.

Tepejilote-Tepeu 3 = 761-829 d.C.

Clásico Temprano

Bayal = 829-900 d.C.

DISTRIBUCIONES TEMPORALES Y ESPACIALES DE LA CERÁMICA

Hasta la fecha se han analizado 359,233 tiestos de cerámica, los cuales abarcan todas las fases de la cronología de Ceibal y provienen de las áreas del Grupo A, Grupo D, las periferias de Ceibal, y el centro menor de Caobal. Una porción significativa de los materiales cerámicos se fechán para el período Preclásico, lo cual refleja el enfoque del Proyecto para investigar el origen de la civilización maya (Cuadro 10.1).

El Cuadro 10.2 indica las cantidades de tiestos cerámicos por áreas y grupos cerámicos. Las clasificaciones de grupos y tipos cerámicos siguen el sistema explicado por Sabloff (1975). Actualmente se está en proceso de definir estos grupos y tipos en una manera más específica. Para este propósito, es necesario seguir examinando la cerámica de todas las operaciones.

Tabla 10.1. Distribución de cerámica por sub-operaciones y fases.

Área	Subop	Total	Real	Escoba	Cantutse /Xate	Junco	Tepejilote	Bayal	No diagnós-ticos
Grupo A									
	CB200A	2889	803	180	126		11		1769
	CB200B	44023	2649	9975	2884	5	27	17	28466
	CB201A	9910	341	467	770	6	566	86	7674
	CB201B	23105	270	2483	2468	1783	1323	101	14677
	CB201C	10118	57	917	1101	1006	430	373	6234
	CB201D	2033	2	90	68	1	29	91	1752
	CB201E	6217	323	184	1385	630	278	6	3411
	CB201F	11427	2222	1475	88	33	684		6925
	CB201G	2714	104	594	134	10	85	40	1747
	CB202A	6872	107	699	2230	1	67	31	3737
	CB203A	5689	901	247	838	5	20	4	3674
	CB203B	86338	6447	3613	29951	580	399	17	45331
	CB203C	3412	38	56	1616	2	78		1622
	CB203D	3229	256	271	804	15	31	9	1843
	CB203E	5853	2442						3411
	CB203F	2656	490	491	26	1			1648
	CB203G	1584	2	195	256	5	49		1077
	CB203H	12337	1728	362	912	83	241	48	8963
	CB203I	5217	37	457	1353	16	70	524	2760
	CB203K	68			68				
	CB204A	1149	55	129	175	7	32	2	749
	CB205A	9176	75	828	1406	30	397	15	6425
	CB206A	2893		8	615		144	19	2107
	CB207A	19380	1	7	1329	3160	1290	4	13589
Grupo D									
	CB208A	11061			691	51	613	2812	6894
	CB209A	5984		2	241	188	921	47	4585
	CB209B	309			90	29	6		184
	CB209C	352			20	10	27	25	270
	CB209D	1073			49	327	24		673
	CB212A	3351			123	1	492	235	2500
	CB212B	187			23	1	105		58
Periferias									
	CB210A	38		38					
	CB211A	13242	379	1804	1990	159	152	187	8571
	CB211B	20110	216	4101	1705	1247	115	254	12472
	CB211C	554			83	1	6	40	424
	CB215A	93			93				
Caobal									
	AN1A	4428	24	928	173	238	126	5	2934
	AN1B	9628	234	1022	1477	564	25	17	6289
	AN1C	1413		82	217	54	1		1059
	AN1D	9092	44	296	986	1217	130	30	6389
	AN2A	29					1		28
Total		359233	20247	32001	58564	11466	8995	5039	222921

Tabla 10.2. Las cantidades de tiestos cerámicos por áreas y grupos cerámicos.

Grupo	Total	Grupo A	Grupo D	Periferias	Caobal
Uxactun Sin engobe indeterminado	192	7	1		184
Achiotes	59831	48440	475	7271	3645
Zapote	992	146	73	650	123
Quintal	3144	1936	82	421	705
Triunfo	2648	2119	95	30	404
Cambio	28656	18441	8274	1206	735
Jocote	616	352	1	232	31
Río Pasión indeterminado	2	2			
Abelino	14317	13524		522	271
Huetche	2983	2887		70	26
Crisanto	3334	3297		11	26
Toribio	155	155			
Datile	43	42		1	
Flores ceroso indeterminado	18				18
Juventud	18738	13940		3292	1506
Pital	3551	2262	1	1182	106
Chunhintá	6034	4546		1050	438
Tierra Mojada	3532	2869		410	253
Rosendo	95	82		9	4
Matamoro	33	29	1		3
Mars Orange indeterminate	88	71			17
Savana	318	264		44	10
Paso Caballo ceroso indeterminado	27	14	2		11
Sierra	29317	25462	443	1790	1622
Flor	9566	7379	329	1349	509
Polvero	4624	3360	297	437	530
Sacluc	110	17	49	44	
Iberia	14536	14065	94	226	151
Caramba	48	8	23	17	
Róbaló	4	4			
Ahchab	268	242			26
Repasto	10	10			
San Martín	476	110	26	38	302
Peten indeterminado	137	90	40		7
Aguila	1937	1486	327	20	104
Caribal	1386	458	34	689	205
Balanza	911	659	8	40	204
Actuncán	13	12			1
Dos Arroyos	460	412	3		45
Actuncan-Dos Arroyos	91	84			7
Nanzal	4				4
Infierno	675	354	143	11	167
Saxche	1147	960	178	7	2
Palmar	57	53	3		1
Saxche-Palmar	6771	4534	1820	181	236
Tinaja	22158	17525	2881	982	770
Achote	490	26	383	78	3
Azote	47	32	13		2
Cream/brown slip	2			2	
Orange slip	3	2		1	
Zacatal	78	60	18		
Japón	1	1			
Ixcario	250	3	9	169	69
Dos Hermanos	148	99	22		27
Naranja Fino indeterminado	225	193	18		14
Altar	569	311	156	73	29
Naranja Fino temprano	1	1			
Gris Fino indeterminado	37	37			
Tres Naciones	116	52	26	33	5
Chablekal	1			1	
No definidos	465	336	107	22	
Naranja-Café Fino	34	28	1	3	2
Ceniza volcánica indeterminado	179	86	20	73	
Andrés	46	45	1		
Ceniza volcánica policromo	8	8			
Ceniza volcánica negro-rojo	51	50		1	
Pasta roja-naranja compacta	2	2			
Erosionados	112427	84208	5840	11349	11030
Total	359233	278289	22317	34037	24590

11. Análisis de Lítica

Kazuo Aoyama

METODOLOGÍA

Introducción

El presente capítulo muestra algunos resultados del estudio de hachas pulidas elaboradas con piedra verde, las cuales fueron recolectadas en los contextos del período Preclásico Medio en el sitio de Ceibal en la región de la Pasión. Se obtuvieron datos descriptivos de las mismas, tales como materia prima, color, dimensión y peso. Al mismo tiempo se llevó a cabo el análisis de microhuellas de uso sobre las mencionadas hachas con el microscopio de gran alcance. Dicho análisis fue realizado con el fin de estudiar las actividades realizadas con los artefactos líticos Mayas.

El instrumento usado en el presente estudio fue un microscopio metalúrgico de 50-500 de aumento con un accesorio de luz incidente (OLYMPUS BX60M). La magnificación de 200x fue la más frecuentemente usada. Los patrones de microhuellas de uso fueron documentados con una cámara digital conectada. Se contó cada parte de la lítica con las huellas de uso interpretables como “zona independiente de uso” (ZIU). Cuando se identificó una actividad realizada con la lítica involucrando diferente acción o material de trabajo en un filo de la lítica, se registró cada ZIU (Aoyama 1999, 2009).

RESULTADOS DEL ANÁLISIS

Hasta la fecha se han registrado un total de 55 hachas pulidas elaboradas con piedra verde, las cuales pertenecen a las fases Real-Xe 1 (N = 17, 1000-850 AC), Real-Xe 2 (N = 11, 850-800 AC), Real-Xe 3 (N = 18, 800-700 AC) y Escoba-Mamom (N = 9, 700-400 AC) del período Preclásico Medio en Ceibal. Según la materia prima, las hachas fueron manufacturadas con jadeita (27.3%, N = 15), metagabro (18.2%, N = 10), serpentina (3.6%, N = 2) y otra piedra verde (50.9%, N = 28). Notablemente, las hachas elaboradas con jadeita azul transparente o lo que se llama “jade azul Olmeca” (Seitz et al. 2001), se encontraron solamente durante las fases Real-Xe 3 y Escoba-Mamom (Tabla 11.1). Las dos hachas de serpentina con color verde claro pertenecen a la fase Real-Xe 1, mientras las hachas de metagabro con color negro son de las fases Real-Xe 2 y Real-Xe 3.

Según el color de las hachas pulidas (Tabla 11.2), azul grisáceo (36.4%, N = 20) es el color más predominante, le siguen negro (18.2%, N = 10), verde claro (18.2%, N = 10), verde (14.5%, N = 8), azul transparente (7.3%, N = 4), café grisáceo (3.6%, N = 2) y griz (1.8%, N = 1). Durante la fase Real-Xe 1, las hachas son únicamente de dos colores, es decir, ocho de azul grisáceo (47.1%, 5 de jadeita y 3 de otra piedra verde) y nueve de verde claro (52.9%, 2 de serpentina, 1 de jadeita y 6 de otra piedra verde). En las fases posteriores, se utilizaron las hachas de diversos colores, tales como negro (10 de metagabro) en las fases Real-Xe 2 y Real-Xe 3, verde (3 de jadeita y 5 de otra piedra verde) en las fases Real-Xe 2, Real-Xe 3 y Escoba-Mamom, así como azul transparente (4 de jadeita) y café grisáceo (2 de otra piedra verde) en las fases Real-Xe 3 y Escoba-Mamom.

Aparte de dos fragmentos proximales, un fragmento distal y un ejemplar casi completo, las demás 51 hachas son completas. Siguiendo la tipología establecida en Aguateca (Aoyama 2009:48), las hachas completas fueron divididas en dos tipos en base a su ancho (Tabla 11.3). Un

hacha pulida de menos de 2.5cm de ancho fue clasificada como hacha pulida angosta, mientras las demás hachas de más de 2.5cm de ancho son hachas pulidas anchas (N = 50). Las mencionadas hachas fueron subdivididas en base a largo siguiendo las categorías establecidas en Aguateca (Aoyama 2009:48), es decir, grande (más de 10 cm), mediana (8-10 cm), pequeña (5-8 cm) y muy pequeña (menos de 5 cm).

Por lo general, el tamaño de las hachas disminuyó a través del tiempo. Las hachas de la fase Real-Xe 1 consisten en nueve grandes, tres medianas y cinco pequeñas. No hay hachas muy pequeñas en la fase Real-Xe 1, mientras que no se encuentran hachas grandes en las fases posteriores. El promedio de largo de las hachas para la fase Real-Xe 1 es mayor (10.2 cm, SD = 3.3 cm, Rango = 5.5-16.5 cm) que el de las otras fases: Real-Xe 2 (5.7 cm, SD = 1.3cm, Rango = 3.8-8.2 cm), Real-Xe 3 (5.6 cm, SD = 1.3 cm, Rango = 3.9-8.7 cm) y Escoba-Mamom (4.8 cm, SD = 1.2 cm, Rango = 3.6-6.6 cm). Para la fase Escoba, solamente se registran dos hachas pequeñas y cuatro hachas muy pequeñas, además de un hacha pulida angosta.

En cuanto a las hachas de la fase Real-Xe 1, el Escondite 118 que fue depositado al inicio de esta fase (c. 1000 AC) en la roca madre cerca de la primera plaza pública en Ceibal (Inomata y Triadan 2014), posee el mayor número de hachas, es decir, ocho hachas grandes, tres hachas medianas y un hacha pequeña. Especialmente hay dos hachas de más de 15 cm de largo (Catálogo no. 203A358-1: 16.5 x 7.3 x 3.2 cm, 610.9 g y Catálogo no. 203A362-1: 15.6 x 5.4 x 2.3 cm, 290.7 g), las cuales son las hachas más grandes que se han encontrado en Ceibal.

En cambio, ningún hacha de más de 15 cm de largo fue recolectada en las excavaciones de la Universidad de Harvard (Willey 1978:86). Parece que los habitantes de Ceibal depositaron la mayor cantidad de hachas, incluso las hachas más grandes cuando construyeron las primeras estructuras públicas y la primera plaza pública. En otras palabras, a través del tiempo la energía fue más enfocada a la elaboración de la arquitectura.

Según Olaf Jaime-Riverón (2010:124), solamente 62% de las hachas depositadas como escondites fueron artefactos terminados en los sitios de El Manatí, La Venta, La Merced, El Macayal y Cantón Coralito, México, mientras las demás hachas fueron depositadas como artefactos no terminados.

Es de hacer notar que la gran mayoría de las hachas depositadas como escondites en Ceibal fueron artefactos terminados. Un hacha no terminada (Catálogo no. 203B1232-1, Escondite 131) fue depositada durante la fase Real-Xe 2 abajo del Piso 8 de la Estructura Katal construida sobre la Plataforma Ch'och', la cual fue una versión temprana de la Gran Plataforma de la Estructura A-24 (Inomata y Triadan 2014). Algunas lascas fueron sacadas a percusión de las orillas de un guijarro de metagabro (Figura 11.5). Aunque la mayor área de la superficie de ambos lados presenta corteza natural, el extremo distal fue bien pulido como filo de la hacha. No obstante, el análisis de microhuellas de uso no detectó ninguna evidencia de uso, confirmando así que la referida hacha estaba en proceso de producción.

Tres hachas pulidas (Escondite 127) fueron colocadas en posición vertical abajo del Piso 7 a 1 de la Plataforma Ch'och' durante la fase Real-Xe 2 (Figura 11.6). Un hacha fue elaborada con jadeita azul grisáceo, mientras otras hachas fueron manufacturadas de otra piedra verde.

El análisis de microhuellas de uso indica que ninguna de las tres hachas fueron utilizadas. Los habitantes de la Plataforma Ch'och' pudieron haber jugado un papel en la obtención de piedra verde y la manufactura de las hachas pulidas. Por lo menos algunas hachas pulidas fueron

producidas en Ceibal durante el período Preclásico Medio, aunque algunas otras hachas pudieron haber sido importadas como artefactos terminados.

Los resultados del análisis de microhuellas de uso indican que solamente 12 hachas pulidas fueron usadas (Tabla 11.4). El único tipo de brillo observable es Tipo B con las estrías verticales al filo. En otras palabras, las mencionadas hachas fueron utilizadas para tallar madera. Cabe hacer notar que ninguna de las hachas grandes y medianas fueron utilizadas. Es decir, dichas hachas no fueron utilitarias sino ceremoniales. Solamente seis hachas pequeñas y seis hachas muy pequeñas fueron usadas. Además, ninguna de las hachas elaboradas de jadeita y serpentina fueron usadas.

Solamente se utilizaron seis hachas de metagabro con color negro y seis hachas de otra piedra verde con color azul grisáceo (N = 5) y verde claro (N = 1). Únicamente un hacha pequeña de otra piedra verde con color verde claro (Catálogo no. 203E128-1, Escondite 138) fue usada (5.9%) en la fase Real-Xe 1. Es decir, los habitantes de Ceibal no estaban usando la gran mayoría de las hachas como instrumentos utilitarios sino como ofrendas en los escondites durante la referida fase. En cambio, 50% (N = 5) de las hachas completas depositadas en los escondites en la fase Real-Xe 2 fueron usadas. Se observaron microhuellas de uso sobre cuatro hachas del Escondite 109 (Figura 11.7), es decir, un hacha muy pequeña de metagabro con color negro (Catálogo no. 203A289-1), un hacha muy pequeña de otra piedra verde con color azul grisáceo (Catálogo no. 203A287-1, Figura 11.8), un hacha pequeña de metagabro con color negro (Catálogo no. 203A288-1) y un hacha pequeña de otra piedra verde con color azul grisáceo (Catálogo no. 203A284-1), además de un hacha pequeña de metagabro con color negro del Escondite 146 (Catálogo no. 203E219-1).

Se excavaron dos escondites cruciformes de cinco hachas depositadas en la plaza pública de Ceibal en la fase Real-Xe 3 (Escondites 132 y 160). En el caso del Escondite 132 tres hachas (este, oeste y norte) fueron usadas, es decir, un hacha pequeña de metagabro con color negro (Catálogo no. 203C421-1), un hacha muy pequeña de otra piedra verde con color azul grisáceo (Catálogo no. 203C420-1) y un hacha pequeña de metagabro con color negro (Catálogo no. 203C418-1). Dos hachas (sur y norte) en el Escondite 160 fueron utilizadas (Figura 11.9), es decir, un hacha pequeña de otra piedra verde con color azul grisáceo (Catálogo no. 203B1802-1) y un hacha muy pequeña de metagabro con color negro (Catálogo no. 203B1800-1, Figura 11.10). Además, un hacha muy pequeña de otra piedra verde con color azul grisáceo (Catálogo no. 203A366-1, Escondite 105) fue usada para tallar madera en la fase Escoba-Mamom 2.

Resumen y conclusiones

En resumen, las hachas pulidas fueron manufacturadas con jadeita, metagabro, serpentina y otra piedra verde. Las hachas elaboradas con jadeita azul transparente o lo que se llama “jade azul Olmeca” (Seitz et al. 2001) se encontraron solamente durante las fases Real-Xe 3 y Escoba-Mamom. Según el color, las hachas son únicamente de dos, azul grisáceo y verde claro durante la fase Real-Xe 1, mientras que se utilizaron las hachas de diversos colores, tales como negro, verde, azul transparente y café grisáceo en las fases posteriores.

Las hachas grandes se encontraron solamente durante la fase Real-Xe 1, mientras que por otro lado, se registran solamente hachas pequeñas y hachas muy pequeñas, además de un hacha pulida angosta durante la fase Escoba-Mamom.

Los habitantes de Ceibal depositaron la mayor cantidad de hachas, incluso las hachas más grandes cuando construyeron las primeras estructuras públicas y la primera plaza pública

alrededor de 1000 AC. El tamaño de las hachas disminuyó a través del tiempo. En otras palabras, a través del tiempo la energía fue más enfocada a la elaboración de la arquitectura.

La gran mayoría de las hachas depositadas como escondites en Ceibal fueron artefactos terminados. Los habitantes de la Plataforma Ch'och' pudieron haber jugado un papel en la obtención de piedra verde y la manufactura de las hachas pulidas. Por lo menos algunas hachas pulidas fueron producidas en Ceibal durante el período Preclásico Medio, aunque algunas otras hachas pudieron haber sido importadas como artefactos terminados.

Los resultados del análisis de microhuellas de uso indican que 12 hachas pulidas fueron usadas únicamente para tallar madera. Las hachas grandes y medianas no fueron utilitarias sino ceremoniales. Solamente hachas pequeñas y hachas muy pequeñas fueron usadas. Además, ninguna de las hachas elaboradas con jadeita y serpentina fueron usadas, sino solamente se utilizaron hachas de metagabro con color negro y hachas de otra piedra verde con color azul grisáceo y verde claro. Los habitantes de Ceibal no estaban usando la gran mayoría de las hachas como instrumentos utilitarios sino como ofrendas en los escondites durante la fase Real-Xe 1, mientras más hachas usadas fueron depositadas en las fases posteriores.

	Real 1	Real 2	Real 3	Escoba	Total	%
Jadeita azul transparente	0	0	2	2	4	7.3
Otra jadeita	6	1	2	2	11	20.0
Metagabro	0	4	6	0	10	18.2
Serpentina	2	0	0	0	2	3.6
Otra piedra verde	9	6	8	5	28	50.9
Total	17	11	18	9	55	100.0

Tabla 11.1 Materia prima de las hachas pulidas según las fases de ocupación del periodo Preclásico Medio.

	Real 1	Real 2	Real 3	Escoba	Total	%
Negro	0	4	6	0	10	18.2
Azul grisáceo	8	5	5	2	20	36.4
Café grisáceo	0	0	1	1	2	3.6
Griz	0	0	0	1	1	1.8
Verde	0	1	4	3	8	14.5
Verde claro	9	1	0	0	10	18.2
Azul transparente	0	0	2	2	4	7.3
Total	17	11	18	9	55	100.0

Tabla 11.2. Color de las hachas pulidas según las fases de ocupación del periodo Preclásico Medio.

	Real 1	Real 2	Real 3	Escoba	Total	%
Hachas pulidas anchas						
Grande	9	0	0	0	9	17.6
Mediana	3	1	1	0	5	9.8
Pequeña	5	5	10	2	22	43.1
Muy pequeña	0	3	7	4	14	27.5
Hacha pulida angosta						
Muy pequeña	0	0	0	1	1	2.0
Total	17	9	18	7	51	100.0

Tabla 11.3. Tipología de las Hachas pulidas según las fases de ocupación del periodo Preclásico Medio.

Contexto	Brillo	Estría	Acción	Tipo	Dimensión	Peso
<u>Real 1</u>						
Escondite 138	Tipo B	vertical	Tallar madera	Hacha pequeña	6.7 x 4.5 x 2.4 cm,	113.1 g
<u>Real 2</u>						
Escondite 109	Tipo B	vertical	Tallar madera	Hacha muy pequeña	3.8 x 2.8 x 1 cm,	20 g
Escondite 109	Tipo B	vertical	Tallar madera	Hacha muy pequeña	4.5 x 2.9 x 1.2 cm,	32.4 g
Escondite 109	Tipo B	vertical	Tallar madera	Hacha muy pequeña	4.7 x 3.7 x 1.4 cm,	54.4 g
Escondite 109	Tipo B	vertical	Tallar madera	Hacha pequeña	6.1 x 4.7 x 2.5 cm,	114.4 g
Escondite 146	Tipo B	vertical	Tallar madera	Hacha pequeña	5.6 x 3.6 x 1.7 cm,	65.3 g
<u>Real 3</u>						
Escondite 132	Tipo B	vertical	Tallar madera	Hacha muy pequeña	4.3 x 3.4 x 1.5 cm,	43.7 g
Escondite 132	Tipo B	vertical	Tallar madera	Hacha pequeña	5.7 x 4 x 1.6 cm,	75.1 g
Escondite 132	Tipo B	vertical	Tallar madera	Hacha pequeña	6 x 4 x 2.3 cm,	100.8 g
Escondite 160	Tipo B	vertical	Tallar madera	Hacha muy pequeña	4.7 x 3.6 x 1.5 cm,	46.8 g
Escondite 160	Tipo B	vertical	Tallar madera	Hacha pequeña	5.7 x 3.5 x 1.6 cm,	60.9 g
<u>Escoba 2</u>						
Escondite 105	Tipo B	vertical	Tallar madera	Hacha muy pequeña	4.6 x 3.3 x 1.7 cm,	40.3 g

Tabla 11.4. Hachas pulidas usadas para tallar madera en Ceibal durante el periodo Preclásico Medio.



Figura 11.5. Hacha no terminada la fase Real-Xe 2 Escondite 131 (Foto por K. Aoyama).



Figura 11.6. Tres hachas colocadas en posición vertical abajo del Piso 7 a 1 de la Plataforma Ch'och' durante la fase Real-Xe 2, Escondite 127 (CB200B) (Foto por T. Inomata).



Figura 11.7. Hachas pulidas del Escondite 109, fase Real-Xe 2 (Foto por K. Aoyama).

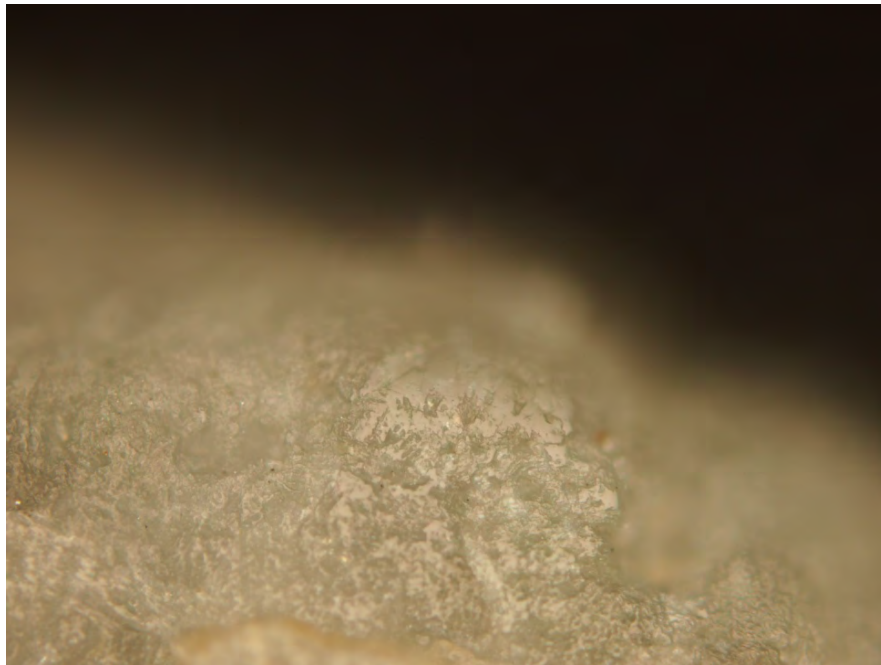


Figura 11.8. Microhuellas de uso sobre hacha muy pequeña (Catálogo no. 203A287-1) en el Escondite 109, fase Real- Xe 2 (200x): brillo tipo B y estrías verticales sobre un filo del hacha para tallar madera (Foto por K. Aoyama).



Figura 11.9. Hachas pulidas del Escondite 160, fase Real-Xe 3 (Foto por K. Aoyama).



Figura 11.10. Microhuellas de uso sobre hacha muy pequeña (Catálogo no. 203B1800-1) en el Escondite 160, fase Real-Xe 3 (200x): brillo tipo B y estrías verticales sobre un filo del hacha para tallar madera (Foto por K. Aoyama).

12. Análisis de hueso animal y concha

Ashley Sharpe

INTRODUCCIÓN

Este capítulo resume los resultados preliminares del análisis de los restos faunos (huesos y conchas) que fueron recuperados durante las excavaciones de las temporadas 2005-2013. A pesar de que la preservación de los huesos es pobre en la selva húmeda de las tierras bajas del Petén, las excavaciones en Ceibal han recuperado una gran cantidad de restos óseos y concha (>15,000 muestras) de todas partes del sitio. Esta colección proporciona la oportunidad de comparar los cambios diacrónicos de los recursos animales en Ceibal durante su ocupación, que puede contribuir al conocimiento de la dieta, la economía-política, y la ecología del sitio.

Este análisis preliminar resume la cantidad y diversidad de los taxones que han sido recuperados de Ceibal, y hace comparaciones entre las seis fases principales de la cronología del sitio: Real-Xe (ca. 1000-700 a.C.), Escoba-Mamom (ca. 700-400 a.C.), Cantutse-Chicanel (ca. 400-50 a.C.), Xate (ca. 50 a.C.-250 d.C.), Junco (ca. 250-450 d.C.), Tepejilote (ca. 600-830 d.C.), y Bayal (ca. 830-950 d.C.). Además, los artefactos modificados son discutidos. Este análisis no incluye los resultados del informe zooarqueológico por la Dra. Mary Pohl sobre los huesos que habían sido excavados por el Proyecto de la Universidad de Harvard entre 1964-1968 (Pohl 1976, 1990), que consistió principalmente del material de los períodos Clásico Tardío y Clásico Terminal.

METODOLOGÍA

Todos los restos faunos de este análisis fueron cernidos con una malla del tamaño 1/4". El análisis de las muestras pequeñas que fueron recuperadas con flotación no está completo y por eso no están incluidas en este resumen. Las identificaciones taxonómicas se realizaron usando la designación más baja, según los nombres científicos del Sistema Integrado de Información Taxonómica (www.itis.gov). Todas las muestras fueron identificadas, pesadas y medidas en el laboratorio del Proyecto Arqueológico Ceibal-Petexbatun en la Ciudad de Guatemala, con un subconjunto de los huesos (principalmente mamíferos pequeños, aves y peces) transportados al Museo de Historia Natural de Florida (Gainesville, Florida, EE.UU.) para su identificación, usando la colección zooarqueológica comparativa del museo.

El número de especímenes individuales (NEI) fue el método de cuantificación principal, pero muestras con muchos fragmentos, las conchas en particular, fueron cuantificadas usando estimaciones conservativas de números mínimos de individuos, usualmente usando partes del mismo lado. Todas las muestras fueron pesadas, salvo los caracoles que fueron marcados como "no aplicable (n/a)" en la Tabla 12.1. La diversidad y la equitabilidad fueron calculadas usando la función de Shannon-Weaver (Reitz y Wing 2008:247). Los artefactos modificados fueron registrados por el NEI y consisten en marcas de cortes, incisiones, huesos pulidos, y marcas de pinchazos.

RESULTADOS E INTERPRETACIÓN

La Tabla 12.1 y las Figuras 12.3 y 12.4 resumen las distribuciones taxonómicas de cada fase de Ceibal. Un total de 15,019 especímenes fueron identificados, incluyendo 7619 vertebrados y 7400 moluscos. La mayoría de los vertebrados son mamíferos (50.0%), mientras la mayoría de los invertebrados son los moluscos de agua dulce (84.7%). Es probable que los caracoles terrestres en este análisis estén intrusos y no formen parte de la colección de recursos animales que fueron usados por humanos en el pasado.

Con respecto a los mamíferos, los venados y perros domésticos son los más comunes en la colección. El venado de cola blanca (*Odocoileus virginianus*) fue lo más común de los dos tipos de venados que fueron encontrados en Ceibal y sus restos oseos fueron recuperados de las seis fases cronológicas. Un basurero que tuvo los esqueletos parciales de cuatro venados (a lo menos), contribuyó al número grande de restos que fueron recuperados de las fases Tepejilote y Bayal. Los perros domésticos (*Canis lupus familiaris*) fueron los mamíferos más populares durante el período Preclásico, especialmente durante la fase Escoba-Mamom. De otros mamíferos, las dantas (*Tapirus bairdii*) fueron más comunes durante los períodos Preclásico y Clásico Temprano, pero los jabalís (Tayassuidae) fueron más comunes durante el período Clásico Temprano hasta el período Clásico Terminal. En general los mamíferos más pequeños, incluyendo los tigrillos, zorros, tepezcuintles y zarigüeyas, fueron más comunes durante los períodos Clásico Tardío y Clásico Terminal. Algunos de estos mamíferos pequeños fueron recuperados de contextos cerca de la superficie y posiblemente son modernos.

Las aves son una proporción pequeña de la colección total (2.8% de los vertebrados). Muchas de las aves identificadas fueron pájaros del agua, incluyendo patos y garzas. La cantidad de pájaros aumentó por cada fase, en parte por la introducción de los pavos domésticos (*Meleagris sp.*) al sitio durante los períodos Clásico Temprano y Clásico Tardío. Un raptor (cf. *Buteogallus urubitinga*) fue recuperado de un escondite en la Plaza Central del Grupo A, contribuyendo a la cantidad grande de huesos de aves que fueron encontrados en la fase Escoba-Mamom. La variedad significativa de especies de pájaros que fue encontrada en el sitio indica que los habitantes del sitio usaron muchas especies diferentes de la selva de Petén, pero la cantidad pequeña de huesos individuales que fue recuperada, indica que muchos de los huesos de pájaros no sobrevivieron debido a las condiciones de conservación pobres.

Los reptiles son la segunda clase mayor de vertebrados que fue recuperada del sitio (20.1%). Las tortugas fueron el tipo de reptil más común en Ceibal y sus huesos recuperados incluyeron carapachos y tallos apendiculares. Había por lo menos cinco especies de tortuga de agua dulce en el sitio. Había más diversidad entre las especies de tortugas durante el período Preclásico, mientras la mayoría de las tortugas de los contextos Clásico Tardío y Clásico Terminal fueron tortugas pintadas (cf. *Trachemys scripta*) y tortugas blancas (*Dermatemys mawii*). La cantidad de tortugas blancas, la especie más grande del Petén, aumentó significativamente con el tiempo, así como, la cantidad de cocodrilos. Menos que una docena de huesos de los anfibios han sido recuperados y de esos solo un sapo de caña (*Rhinella marina*) pudo ser identificado.

Muchas veces los huesos de peces no son encontrados en sitios arqueológicos en el Petén, pero había peces en todas las fases de la historia de Ceibal, en particular durante el período Preclásico Medio, cuando los peces fueron 18.8% de los huesos vertebrados. Muchos huesos de peces están siendo analizados todavía, pero especies de bagres y gaspares han sido identificadas. Los bagres fueron recuperados de todas las fases, en particular el período Preclásico Medio. Al momento un bagre marino (cf. *Bagre marinus*) fue encontrado de un contexto de fase Escoba-Mamom, pero existe la posibilidad que otros huesos de bagres en esa fase sean de la especie marina también. Los gaspares (*Atractosteus tropicus*) fueron de las fases Junco y Bayal solamente. Un diente de un tiburón blanco (*Carcharodon carcharias*) fue recuperado del relleno del palacio del Grupo A. El bagre marino y el diente de tiburón indican que había relaciones de intercambio entre Ceibal y la costa, más de 100 kilómetros de distancia.

Los moluscos marinos proveen más evidencia de las relaciones comerciales con la costa. Casi tres cuartos (73.6%) de las conchas marinas de Ceibal fechan al período Preclásico (las fases Real-Xe hasta Chicanel) y después hay evidencia que las relaciones con la costa se debilitaron

significativamente, en particular durante los períodos Protoclásico y Clásico Temprano. Los tipos de conchas marinas del período Preclásico están diferentes en relación de los tipos de los períodos Clásico Tardío y Clásico Terminal. Este patrón indica que había un cambio en el sistema de relaciones de intercambio con el tiempo. Sólo un molusco fue identificado como una especie Pacífica: una concha de spondylus (*Spondylus cf. calcifer*) de la fase Real-Xe, que fue modificada para representar el rostro de una cabeza decapitada. El molusco más común de Ceibal fue la marginela Atlántico (*Prunum apicinum*), que fue encontrado en muchos de los entierros de la fase Cantutse-Chicanel y que fue, con toda probabilidad, parte de collares decorativos. Había muchas olivas (*Oliva sp.*) en los contextos de Clásico Terminal, pero la diversidad de especies marinas había bajado mucho para este último período.

Los moluscos de agua dulce fueron las especies más comunes de todos los animales durante el período Preclásico, pero sus números disminuyeron mucho en el periodo Clásico Temprano y nunca aumentaron otra vez. Muchos de los caracoles manzanas (*Pomacea flagellata*) vinieron de basureros grandes del período Preclásico, algunos sobre entierros. Esta práctica no ocurrió en otras fases. Dos géneros de almejas de agua dulce, *Psoroniaias* y *Nephronaias*, disminuyeron después del período Preclásico y la especie *Nephronaias* casi desapareció después del periodo Preclásico Medio. Ya que hay caracoles manzanas y almejas de especie *Psoroniaias* en el Río Pasión cerca de Ceibal hoy, es posible que esas especies disminuyeran después del período Preclásico por los cambios socioculturales, en vez de cambios ecológicos o debido a su sobreexplotación por los humanos. Es posible que los moluscos de agua dulce no fueran consumidos en cantidades grandes después del período Preclásico. Además, es posible que la manera de uso de estos moluscos haya cambiado con el tiempo: por ejemplo, una idea que propone el Dr. Takeshi Inomata es que las conchas fueron quemadas para producir cal (Inomata, comunicación personal 2014).

Una concha almeja asiática (cf. *Corbicula fluminea*) fue encontrada en el nivel de humus del sitio. Esta almeja de agua dulce es una especie invasora en las Américas, y se han observado estas almejas en los bancos del Río Pasión hoy. Es probable que la concha haya sido llevada al sitio por un pájaro o animalito de río recientemente.

Las Figuras 12.5 y 12.6 demuestran el cambio en diversidad y equitabilidad con el tiempo en el sitio de Ceibal. La diversidad es una medida de la variedad de taxones representados en la colección y la equitabilidad es una medida de la igualdad de la distribución de todas las cantidades de huesos y conchas en cada categoría. La Figura 12.5 incluye las especies de vertebrados y moluscos e indica que la diversidad y equitabilidad aumentan con el tiempo. Sin embargo, este patrón es el resultado de la cantidad grande de moluscos de agua dulce en los contextos Preclásicos. Porque de este, la Figura 12.6 demuestra la diversidad y equitabilidad de la colección sin los datos de moluscos. Estos resultados revelan que la diversidad y equitabilidad de los vertebrados en el período Preclásico fueron casi iguales, en los períodos Clásico Tardío y Clásico Terminal; y que los períodos Protoclásico y Clásico Temprano tuvieron la diversidad más baja. La disminución en diversidad en estos períodos es el resultado de una baja en la variedad de mamíferos y un aumento en el número de tortugas. Este patrón podría ser el resultado de que la población y el poder político de Ceibal disminuyó durante el período Clásico Temprano y podría indicar que la gente vivió en Ceibal un poco antes de ca. 450 d.C., cuando el sitio fue abandonado por un siglo, cazando las tortugas principalmente.

La Tabla 12.2 demuestra la proporción de los artefactos modificados por grupo taxonómico al sitio de Ceibal. La mayoría de estas modificaciones se realizaron para producir adornos o instrumentos, como punzones, raspadores y cuentas. En muchos casos, menos del 6% de los restos de cada categoría de animal tuvieron modificaciones. La excepción fueron las

conchas marinas, de la cuales más del 86% fueron modificadas. Las conchas sin evidencia de modificación fueron fragmentos rotos y aún es probable que fueran partes de conchas modificadas. Por eso, es posible que casi el 100% de las conchas marinas fueron trabajadas, usualmente por perforación o incisión para producir cuentas o colgantes. Este patrón indica que la razón principal de que las conchas marinas fueran transportadas al sitio de Ceibal era para utilizarse como adornos. Es posible que las conchas tuvieran alguna significación religiosa o política también, como en el caso del *spondylus* de la costa Pacífica que fue labrado para representar el rostro de una cabeza decapitada.

CONCLUSIÓN

Este resumen preliminar del material zooarqueológico de Ceibal demuestra que cambios significativos ocurrieron con el tiempo en el sitio. Tal vez el cambio más significativo ocurrió entre el período Preclásico y período Clásico Temprano, cuando había una disminución drástica en la cantidad de moluscos de agua dulce. Hubo disminuciones en las cantidades de moluscos marinos y en la diversidad de mamíferos, también. Este patrón revela que la gente del sitio no estaba cazando ni estaban intercambiando con la costa al mismo grado durante los períodos Protoclásico y Clásico Temprano, como lo hicieron durante el período Preclásico. Para el período Clásico Tardío, la variedad de especies aumentó otra vez y durante la última fase de la historia de Ceibal el sitio experimentó un retorno a la diversidad que tuvo en el período Preclásico, pero las relaciones comerciales con la costa nunca fueron tan fuertes.

El análisis futuro de la colección faunística identificará los huesos recuperados del proceso de flotación, el cual puede proveer mucha información sobre las aves y peces del sitio. También los análisis evaluarán los patrones en la distribución de partes de esqueletos, las diferencias entre grupos de estatus, los usos rituales de animales, la domesticación y el intercambio de larga distancia de recursos animales usando análisis isotópico, juntos estos estudios pueden demostrar la complejidad de los usos de animales a lo largo de la historia dinámica del sitio de Ceibal.

Tabla 12.1. Tabla mostrando el número de especies individuales (NEI) y pesos en gramos por cada fase. Los pesos están en números en paréntesis y sumas con asteriscos (*) no incluyen pesos marcados "n/a". Para su mejor comprensión la tabla fue dividida por especies.

Nombre Científico	Nombre Común	RX	ME	CC	X	J	T	B	CM	Total
cf. <i>Didelphis virginiana</i>	zarigüeya de Virginia	--	1 (0.6)	--	--	--	31 (13.8)	2 (3.1)	--	34 (17.5)
cf. <i>Philander opossum</i>	zarigüeya gris de cuatro ojos	--	1 (0.2)	2 (2.0)	--	10 (3.8)	4 (2.7)	24 (18.9)	2 (1.7)	43 (29.3)
Didelphidae	zarigüeyas	2 (2.4)	--	1 (1.0)	--	--	2 (0.6)	2 (1.1)	--	7 (5.1)
Chiroptera	murciélagos	--	--	--	--	--	--	1 (0.4)	--	1 (0.4)
cf. <i>Alouatta pigra</i>	saraguato negro	--	--	--	--	--	--	1 (2.8)	--	1 (2.8)
<i>Tamandua mexicana</i>	tamandúa mexicano	--	--	--	--	--	--	1 (5.4)	--	1 (5.4)
<i>Dasyypus novemcinctus</i>	armadillo de nueve bandas	6 (7.0)	5 (4.3)	2 (2.5)	1 (3.3)	--	7 (3.5)	8 (5.5)	1 (0.2)	30 (26.3)
<i>Sylvilagus sp.</i>	conejo	1 (2.0)	8 (5.9)	1 (1.1)	--	--	--	3 (0.9)	1 (0.3)	14 (10.2)
<i>Orthogeomys hispidus</i>	tuza	--	--	--	--	--	--	5 (1.2)	--	5 (1.2)
cf. Geomyidae	tuzas, taltuzas, y ratas de abazones	--	1 (0.1)	--	--	--	1 (0.8)	--	--	2 (0.9)
Heteromyidae	ratones de abazones y ratones canguro	--	--	--	--	--	--	1 (0.1)	--	1 (0.1)
cf. <i>Peromyscus sp.</i>	ratones de los ciervos	--	--	--	4 (0.4)	--	--	--	--	4 (0.4)
Sigmodontinae	ratones del Nuevo Mundo	--	--	--	--	--	--	1 (0.3)	--	1 (0.3)
<i>Dasyprocta punctata</i>	agutí	--	1 (1.4)	1 (1.7)	--	1 (0.8)	6 (8.5)	18 (27.5)	--	27 (39.9)
<i>Cuniculus paca</i>	paca común, tepezcuintle	2 (2.1)	1 (1.1)	3 (7.5)	--	--	--	9 (19.2)	--	15 (29.9)
Caviomorpha	agutís y pacas	--	--	1 (0.5)	--	--	2 (1.2)	1 (0.7)	--	4 (2.4)
Rodentia	roedores	--	4 (0.2)	1 (0.1)	--	--	1 (0.1)	10 (1.5)	--	16 (1.9)
<i>Canis lupus familiaris</i>	perro doméstico	41 (140.1)	283 (358.6)	30 (69.9)	10 (12.6)	2 (1.0)	71 (179.3)	25 (49.4)	1 (2.8)	463 (813.7)
<i>Urocyon cinereoargenteus</i>	zorro gris	2 (6.1)	1 (0.2)	1 (2.5)	--	--	3 (5.1)	5 (4.3)	--	12 (18.2)
Canidae	perros y zorros	--	4 (1.0)	--	--	--	--	2 (3.8)	--	6 (4.8)
<i>Procyon lotor</i>	mapache boreal	2 (5.5)	--	--	--	--	1 (3.4)	1 (0.8)	--	4 (9.7)
<i>Nasua narica</i>	coatí de nariz blanca (pizote)	--	--	--	--	--	1 (1.3)	--	--	1 (1.3)
cf. <i>Potos flavus</i>	kinkajú	--	--	--	--	1 (0.3)	1 (5.0)	5 (3.6)	--	7 (8.9)
cf. <i>Lontra longicaudis</i>	lobito de río (nutria neotropical)	--	1 (0.3)	--	--	--	--	--	--	1 (0.3)
cf. <i>Galictis vittata</i>	grisón (huroncito)	--	--	--	--	--	1 (1.0)	--	--	1 (1.0)
<i>Mustela frenata</i>	comadreja de cola larga	1 (0.8)	--	--	--	--	--	--	--	1 (0.8)
cf. <i>Puma concolor</i>	puma	--	1 (1.5)	1 (4.9)	--	--	--	1 (1.7)	--	3 (8.1)
<i>Leopardus pardalis</i>	ocelote	--	--	--	--	--	1 (2.4)	1 (0.4)	--	2 (2.8)
<i>Leopardus cf. wiedii</i>	margay	--	--	--	--	--	--	3 (1.7)	--	3 (1.7)
<i>Leopardus sp.</i>	tigrillos	1 (4.2)	--	--	--	--	2 (2.3)	1 (0.2)	--	4 (6.7)
<i>Panthera onca</i>	jaguar	--	5 (16.0)	--	--	--	--	3 (33.9)	--	8 (49.9)
Felidae, grande	jaguar o puma	--	--	1 (2.9)	--	--	--	1 (1.2)	--	2 (4.1)
Carnivora, pequeño	carnívoro pequeño	9 (7.1)	14 (6.0)	2 (1.3)	2 (0.9)	--	4 (5.3)	8 (6.4)	--	39 (27.0)
<i>Tapirus bairdii</i>	danta	1 (0.5)	1 (2.1)	2 (8.8)	3 (13.4)	--	--	--	--	7 (24.8)
Tayassuidae	jabalí	2 (5.4)	1 (2.2)	1 (4.1)	4 (13.8)	7 (13.9)	6 (19.7)	12 (23.6)	--	33 (82.7)
<i>Mazama sp.</i>	venado cabrito	--	1 (2.8)	3 (6.3)	--	--	2 (4.1)	3 (17.2)	--	9 (30.4)
<i>Odocoileus virginianus</i>	venado de cola blanca	14 (76.1)	47 (587.6)	39 (472.6)	32 (222.3)	26 (187.1)	180 (1561.7)	231 (1583.4)	--	569 (4690.8)
Cervidae	venado	3 (7.4)	7 (13.3)	3 (6.6)	--	5 (8.5)	8 (19.6)	15 (23.8)	--	41 (79.2)
Artiodactyla	venado o jabalí	--	--	--	--	1 (5.5)	3 (6.7)	1 (2.5)	--	5 (14.7)
Mammalia	mamíferos sin identificación	198 (163.7)	448 (348.1)	145 (146.2)	82 (86.5)	60 (61.4)	154 (175.6)	581 (658.7)	3 (2.2)	1671 (1642.4)
Mammalia, tamaño mediano	mamíferos de tamaño venado o jaguar	50 (167.7)	97 (232.9)	41 (174.7)	48 (124.1)	44 (87.4)	114 (281.4)	88 (290.4)	12 (26.8)	494 (1385.4)
Mammalia, mediano-pequeño	mamíferos de tamaño perro zarigüeya	22 (16.7)	83 (51.0)	11 (17.2)	10 (11.2)	11 (6.9)	30 (21.1)	42 (22.1)	1 (0.3)	210 (146.5)
Mammalia, pequeño	mamíferos de tamaño murciélago o ratón	--	3 (0.4)	1 (0.3)	--	--	--	3 (0.6)	--	7 (1.3)
Mamíferos en total		358 (615.2)	1020 (1637.9)	293 (934.7)	196 (488.5)	168 (376.6)	636 (2326.2)	1119 (2818.3)	21 (59.5)	3811 (9256.9)

Fases: RX = Real Xe, ME = Mamom-Escoba, CC = Cantutse-Chicanel, X = Xate, J = Junco, T = Tepejilote, B = Bayal, CM = Contexto Mixto

Nombre Científico	Nombre Común	RX	EM	CC	X	J	T	B	CM	Total
cf. <i>Colinus virginianus</i>	codorniz norteña	--	1 (0.1)	--	--	--	--	--	--	1 (0.1)
<i>Penelope sp.</i>	pava de monte	--	--	--	--	--	--	3 (4.1)	--	3 (4.1)
Cracidae	paujiles, pavas y chachalacas	--	--	--	--	--	--	3 (2.2)	--	3 (2.2)
<i>Meleagris sp.</i>	guajolote (pavo)	--	--	--	1 (0.7)	1 (1.5)	9 (10.0)	21 (31.4)	--	32 (43.6)
Galliformes	paujiles, pavas, guajolotes y chachalacas	1 (1.2)	--	--	--	1 (0.5)	1 (1.1)	2 (4.8)	--	5 (7.6)
<i>Dendrocygna sp.</i>	patos silbadores	--	1 (0.3)	--	--	--	1 (0.5)	--	--	2 (0.8)
Anatidae (cf. <i>Aythya collaris</i>)	patos (porrón acollarado?)	1 (0.4)	--	--	--	--	--	--	--	1 (0.4)
<i>Egretta sp.</i>	garcetas	--	--	--	--	--	--	3 (0.4)	--	3 (0.4)
<i>Nycticorax nycticorax</i>	martinete común	--	--	--	--	--	1 (0.7)	--	--	1 (0.7)
Ardeidae	garzas y garcetas	--	--	--	--	--	1 (0.5)	1 (0.7)	--	2 (1.2)
cf. <i>Anhinga anhinga</i>	pato aguja americano	--	--	--	--	--	1 (0.5)	1 (0.9)	--	2 (1.4)
<i>Buteo lineatus</i> cf.	busardo de hombros rojos	--	--	--	--	--	1 (1.3)	--	--	1 (1.3)
Accipitri-formes (cf. <i>Buteogallus urubitinga</i>)	águilas, buitres (gavilán cangrejero grande?)	--	20 (46.4)	--	--	--	--	--	--	20 (46.4)
cf. Cathartidae	buitres del Nuevo Mundo	--	--	--	--	--	1 (0.8)	--	--	1 (0.8)
Gruiformes (cf. <i>Aramus guarauna</i>)	grullas, rascones (carrao?)	--	--	--	--	1 (1.6)	--	--	--	1 (1.6)
Rallidae	rascones	--	--	--	--	--	--	3 (1.1)	--	3 (1.1)
cf. <i>Columba sp.</i>	paloma	--	--	--	--	1 (0.2)	--	--	--	1 (0.2)
cf. <i>Tyto alba</i>	lechuza común	1 (0.2)	--	--	--	--	--	--	--	1 (0.2)
Corvidae	cuervos, arrendajos	--	--	--	--	--	1 (0.1)	--	--	1 (0.1)
<i>Quiscalus mexicanus</i> cf.	zanate mexicano	--	1 (0.5)	--	--	--	--	--	--	1 (0.5)
Aves	aves sin identificación	--	9 (0.8)	1 (0.1)	3 (1.3)	9 (3.0)	33 (13.4)	28 (9.9)	--	83 (28.5)
Aves, tamaño mediano	aves tamaño de pavo	4 (1.3)	1 (1.5)	1 (0.2)	--	4 (2.2)	2 (2.3)	9 (7.9)	--	21 (15.4)
Aves, mediano-pequeño	aves tamaño de pato o halcón	5 (1.8)	4 (1.0)	1 (0.3)	--	--	4 (1.2)	6 (1.8)	1 (0.8)	21 (6.9)
Aves, pequeño	aves tamaño de codorniz o pinzón	--	1 (0.5)	1 (0.1)	--	--	1 (0.1)	1 (0.1)	--	4 (0.8)
Aves en total		12 (4.9)	38 (51.1)	4 (0.7)	4 (2.0)	18 (10.3)	56 (31.2)	81 (65.3)	1 (0.8)	214 (166.3)

Nombre Científico	Nombre Común	RX	EM	CC	X	J	T	B	CM	Total
cf. <i>Chelydra serpentina</i>	tortuga mordedora	1 (7.1)	5 (57.7)	--	--	--	--	--	--	6 (64.8)
cf. <i>Trachemys scripta</i>	tortuga pintada	33 (78.7)	123 (238.3)	--	13 (14.2)	29 (45.1)	13 (68.6)	180 (381.1)	2 (11.2)	393 (837.2)
<i>Dermatemys mawii</i>	tortuga blanca	--	8 (23.0)	6 (13.6)	74 (281.5)	151 (213.7)	68 (162.9)	285 (1031.0)	--	592 (1725.7)
Dermatemy- didae	o tortuga blanca o pintada	5 (44.3)	--	1 (11.1)	--	7 (9.1)	4 (8.9)	18 (36.8)	--	35 (110.2)
cf. <i>Staurotypus triporcatus</i>	mexicana tortuga de almizcle	19 (168.6)	22 (33.4)	1 (11.5)	2 (1.7)	--	6 (12.9)	8 (14.5)	--	58 (242.6)
<i>Kinosternon sp.</i>	tortuga de pantano	1 (0.7)	4 (4.3)	--	--	--	--	--	--	5 (5.0)
Kinosternidae	tortuga de pantano o almizcle	3 (0.9)	7 (7.1)	2 (0.8)	--	--	4 (2.6)	1 (0.6)	--	16 (12.0)
Testudines	tortugas sin identificación	17 (15.5)	26 (22.2)	7 (4.6)	4 (5.8)	6 (3.1)	37 (29.8)	38 (31.7)	1 (0.4)	135 (110.6)
Testudines, mediano-grande	tortugas tamaño blanco	16 (80.0)	14 (19.2)	10 (17.0)	35 (67.5)	21 (31.3)	38 (61.0)	76 (121.2)	1 (1.3)	211 (398.5)
Testudines, mediano-pequeño	tortugas tamaño de pantano	1 (0.7)	--	--	--	6 (3.1)	1 (1.4)	--	--	8 (5.2)
Testudines, pequeño	tortugas tamaño de pantano pequeño	7 (3.4)	7 (5.5)	--	1 (0.4)	1 (0.5)	3 (2.6)	--	--	19 (12.4)
cf. <i>Ctenosaura similis</i>	iguana rayada	--	--	2 (1.7)	--	--	--	--	--	2 (1.7)
Iguanidae	iguanas	--	1 (0.3)	1 (0.5)	--	2 (0.5)	3 (13.7)	1 (0.2)	--	8 (15.2)
Serpentes	serpientes	--	--	--	--	--	--	1 (0.1)	--	1 (0.1)
cf. Crocodylidae	cocodrilos	1 (13.4)	--	1 (3.1)	--	2 (1.9)	26 (55.8)	3 (32.4)	--	33 (106.6)
Reptilia	reptiles sin identificación	--	1 (0.3)	--	--	1 (0.2)	4 (2.7)	2 (1.5)	--	8 (4.7)
Reptiles en total		104 (413.3)	217 (411.3)	31 (63.9)	129 (371.1)	226 (308.5)	207 (422.9)	613 (1651.1)	4 (12.9)	1531 (3655.0)

Nombre Científico	Nombre Común	RX	EM	CC	X	J	T	B	CM	Total
cf. <i>Rhinella marina</i>	sapo de caña	--	--	--	--	--	3 (0.5)	1 (0.6)	--	4 (1.1)
Anura	ranas y sapos	4 (0.3)	--	1 (0.1)	--	--	2 (0.3)	--	--	7 (0.7)
Anfibios en total		4 (0.3)	--	1 (0.1)	--	--	5 (0.8)	1 (0.6)	--	11 (1.8)

Nombre Científico	Nombre Común	RX	EM	CC	X	J	T	B	CM	Total
cf. <i>Atractosteus tropicus</i>	gaspar	--	--	--	--	1 (0.1)	--	1 (2.0)	--	2 (2.1)
Ictaluridae	bagres de agua dulce	23 (9.1)	50 (19.1)	7 (2.9)	2 (2.3)	9 (3.2)	26 (20.3)	10 (8.5)	--	127 (65.4)
cf. <i>Bagre marinus</i>	bagre marino	--	1 (1.7)	--	--	--	--	--	--	1 (1.7)
Siluriformes (cf. <i>Bagre sp.</i>)	bagres (marino?)	7 (7.9)	--	--	--	--	--	--	--	7 (7.9)
Siluriformes	bagres	7 (3.2)	1 (0.4)	--	--	--	--	--	--	8 (3.6)
Actinopterygii	peces óseos sin identificación	177 (27.0)	141 (18.8)	12 (2.3)	2 (1.5)	6 (1.5)	127 (52.4)	69 (26.4)	11 (0.6)	545 (130.5)
<i>Carcharodon carcharias</i>	tiburón blanco	--	--	--	--	--	--	1 (1.4)	--	1 (1.4)
Peces en total		214 (47.2)	193 (40.0)	19 (5.2)	4 (3.8)	16 (4.8)	153 (72.7)	81 (38.3)	11 (0.6)	691 (212.6)

Nombre Científico	Nombre Común	RX	EM	CC	X	J	T	B	CM	Total
cf. <i>Corbicula fluminea</i>	almeja asiática (moderna?)	--	--	--	--	--	--	1 (0.8)	--	1 (0.8)
<i>Nephronaias cf. yzabalensis</i>	almeja de agua dulce	1 (0.5)	1 (3.2)	--	--	--	--	--	--	2 (3.7)
<i>Nephronaias sp.</i>	almeja de agua dulce	128 (104.1)	67 (263.6)	15 (14.7)	3 (1.5)	1 (0.1)	10 (12.3)	4 (3.8)	--	228 (400.1)
cf. <i>Nephronaias sp.</i> , grande	almeja de agua dulce (especie grande)	--	2 (58.0)	--	--	--	--	--	--	2 (58.0)
<i>Psoroniaias cf. semigranosa</i>	almeja de agua dulce	133 (2500.2)	208 (4439.1)	80 (1163.7)	15 (217.0)	7 (179.6)	21 (285.3)	26 (286.0)	4 (51.7)	494 (9122.6)
<i>Psoroniaias cf. usumasintae</i>	almeja de agua dulce	--	7 (256.7)	2 (43.7)	--	--	2 (100.3)	1 (42.5)	--	12 (443.2)
<i>Psoroniaias sp.</i>	almeja de agua dulce	45 (295.5)	152 (2123.2)	94 (909.9)	16 (129.4)	9 (70.5)	24 (189.4)	29 (183.2)	4 (14.1)	373 (3915.2)
Unionidae	almejas de agua dulce	56 (100.6)	70 (95.7)	36 (40.6)	3 (1.4)	7 (2.2)	17 (14.4)	20 (46.8)	--	209 (301.7)
<i>Pachychilus cf. glaphyrus</i>	jute	6 (22.2)	7 (32.8)	26 (106.3)	11 (48.5)	3 (11.8)	4 (32.2)	30 (338.8)	1 (0.6)	88 (593.2)
<i>Pachychilus cf. indiorum</i>	jute	2 (10.2)	5 (16.1)	2 (2.9)	11 (22.9)	--	3 (5.8)	--	--	23 (57.9)
<i>Pachychilus sp.</i>	jutes	--	1 (2.3)	1 (0.3)	2 (3.6)	--	--	--	--	4 (6.2)
<i>Pomacea flagellata</i>	caracol manzana centro-americano	684 (n/a)	3498 (n/a)	483 (n/a)	49 (n/a)	17 (n/a)	38 (n/a)	46 (n/a)	17 (8.4)	4832 (n/a)*
Moluscos de agua dulce en total		1055 (3033.3)*	4018 (7290.7)*	739 (2282.1)*	110 (424.3)*	44 (264.2)*	119 (639.7)*	157 (901.9)*	26 (74.8)	6268 (14911.0)*

Nombre Científico	Nombre Común	RX	EM	CC	X	J	T	B	CM	Total
Vertebrata	vertebrados sin identificación	180 (74.0)	356 (146.4)	136 (41.9)	36 (12.5)	75 (35.9)	295 (116.9)	269 (110.6)	14 (6.1)	1361 (433.6)
<i>Spondylus calcifer</i> cf.	osti6n espinoso	1 (84.6)	--	--	--	--	--	--	--	1 (84.6)
<i>Spondylus sp.</i>	osti6nes espinosos	--	2 (48.6)	--	--	--	--	--	--	2 (48.6)
<i>Donax denticulatus</i> cf.	coquina del caribe	--	1 (1.3)	--	--	--	--	--	--	1 (1.3)
<i>Noetia ponderosa</i>	almeja arca pesada	--	--	--	2 (7.2)	--	--	--	--	2 (7.2)
cf. <i>Mercenaria sp.</i>	almeja dura	--	--	--	--	1 (3.7)	--	--	--	1 (3.7)
<i>Dentalium sp.</i>	colmillo de mar	1 (0.1)	9 (0.8)	1 (0.2)	--	--	--	--	--	11 (1.1)
<i>Diodora cayenensis aspera</i> o	lapas	--	--	1 (2.2)	--	--	--	--	--	1 (2.2)
<i>Nerita versicolor</i>	nerite de cuatro dientes	--	--	--	--	--	--	1 (1.3)	--	1 (1.3)
<i>Conus delessertii</i> cf.	caracol de cono	--	1 (5.2)	--	--	--	--	--	--	1 (5.2)
<i>Conus sp.</i>	caracoles de cono	--	--	--	--	--	1 (2.2)	--	--	1 (2.2)
<i>Oliva sp.</i>	olivas	--	17 (61.7)	3 (3.7)	1 (1.0)	--	3 (5.6)	80 (213.6)	--	104 (285.6)
<i>Prunum apicinum</i>	marginela atlntico	2 (0.3)	13 (4.3)	208 (38.9)	--	--	--	--	--	223 (43.5)
<i>Prunum amabile labiatum</i> cf. o	marginela reina o royal	--	4 (3.8)	1 (0.3)	--	--	--	--	--	5 (4.1)
<i>Prunum sp.</i>	marginelas	--	3 (4.9)	--	--	--	--	--	--	3 (4.9)
cf. <i>Lobatus goliath</i>	caracola de Goliat	--	--	--	--	--	--	1 (21.5)	--	1 (21.5)
<i>Strombus pugilis</i> cf.	caracola de lucha	1 (3.4)	--	--	--	--	--	--	--	1 (3.4)
Strombidae	caracol marino	--	1 (3.4)	--	--	--	--	2 (10.6)	--	3 (14.0)
Strombidae, grande	caracol marino grande	--	3 (62.1)	1 (27.5)	--	--	--	--	--	4 (89.6)
Gastropoda del mar	caracoles marinos sin identificaci6n	1 (1.2)	10 (91.1)	3 (4.8)	--	--	3 (9.8)	4 (5.5)	--	21 (112.4)
Gastropoda del mar, grande	caracoles grandes de mar sin identificaci6n	--	2 (4.4)	--	--	1 (9.1)	--	--	--	3 (13.5)
Mollusca del mar	moluscos marinos sin identificaci6n	--	2 (1.6)	1 (0.9)	--	3 (2.2)	2 (1.7)	--	--	8 (6.4)
Moluscos del mar en total		6 (89.6)	68 (293.2)	219 (78.5)	3 (8.2)	5 (15.0)	9 (19.3)	88 (252.5)	--	398 (756.3)

Nombre Científico	Nombre Común	RX	EM	CC	X	J	T	B	CM	Total
<i>Bulimulus sp.</i>	caracol terrestre	57 (16.5)	273 (56.4)	32 (8.4)	27 (4.4)	7 (0.6)	3 (0.5)	2 (0.2)	--	401 (87.0)
<i>Euglandina cf. ghiesbreghtii</i>	caracol lobo	3 (2.4)	7 (5.9)	2 (1.8)	--	4 (3.7)	7 (5.5)	5 (6.2)	7 (2.6)	35 (28.2)
<i>Euglandina sp.</i>	caracol lobo	7 (8.0)	15 (9.7)	3 (2.7)	7 (n/a)	--	3 (1.9)	5 (5.1)	1 (1.5)	41 (28.9)*
<i>Spiraxis sp.</i>	caracol terrestre	--	21 (0.4)	--	34 (0.4)	--	--	1 (0.1)	--	56 (0.9)
<i>Helicina amoena</i>	caracol terrestre	1 (0.1)	2 (0.4)	--	5 (0.2)	--	--	--	--	8 (0.7)
<i>Neocyclotus cf. dysonii</i>	caracol de árbol	10 (1.6)	16 (6.9)	4 (0.6)	1 (3.1)	1 (0.1)	16 (14.6)	10 (2.6)	--	58 (29.5)
<i>Orthalicus cf. princeps</i>	caracol de árbol	4 (7.2)	4 (n/a)	5 (17.9)	6 (n/a)	1 (n/a)	18 (77.8)	33 (n/a)	1 (9.9)	72 (112.8)*
Gastropoda terrestre	caracoles terrestres sin identificación	12 (1.7)	21 (0.8)	6 (2.2)	16 (0.6)	1 (0.1)	5 (0.9)	1 (0.1)	--	62 (6.4)
Gastropoda	caracoles sin identificación	1 (0.3)	--	--	--	--	--	--	--	1 (0.3)
Caracoles terrestres en total		95 (37.8)	359 (80.5)*	52 (33.6)	96 (8.7)*	14 (4.5)*	52 (101.2)	57 (14.3)*	9 (14.0)	734 (294.6)*

Fases: RX = Real Xe, ME = Mamom-Escoba, CC = Cantutse-Chicanel, X = Xate, J = Junco, T = Tepejilote, B = Bayal, CM = Contexto Mixto

Tabla 12.2. Tabla mostrando el NEI de los huesos y conchas modificados. Anfibios y caracoles terrestres no son incluidos.

	Mamíferos	Aves	Reptiles	Peces	Vert. sin ID	Moluscos de Agua Dulce	Moluscos Marinos	Total
Trabajado	201	14	31	2	50	40	343	681
No Trabajado	3610	200	1500	689	1311	6227	55	13592
% Trabajado	5.27	6.54	2.02	0.29	3.67	0.64	86.18	4.77

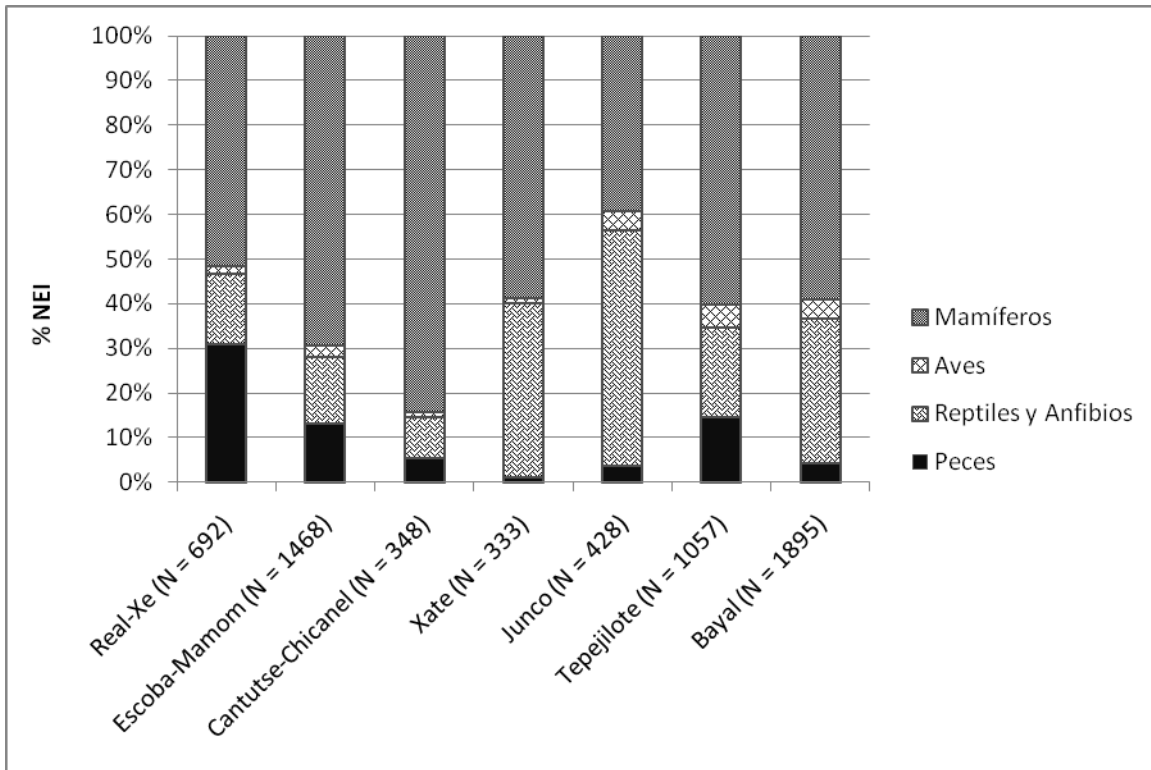


Figura 12.3. Distribución de vertebrados por cada fase.

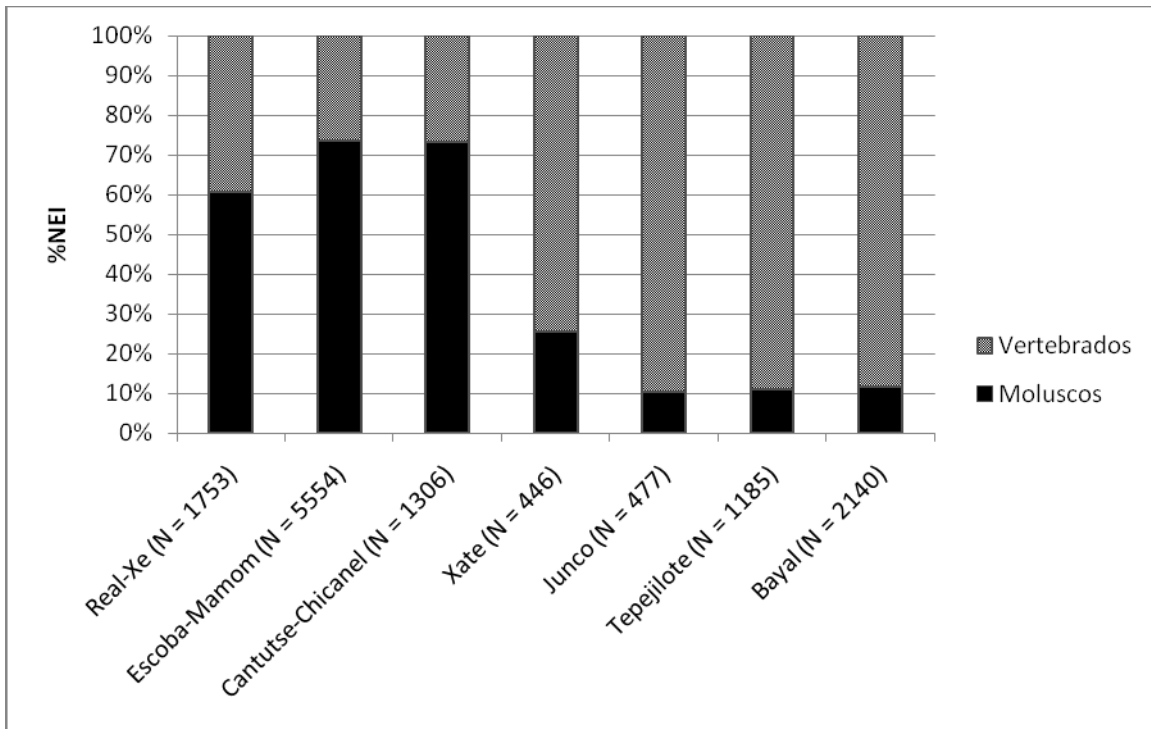


Figura 12.4. Comparación de la distribución de vertebrados y moluscos (sin caracoles terrestres) en el sitio por cada fase.

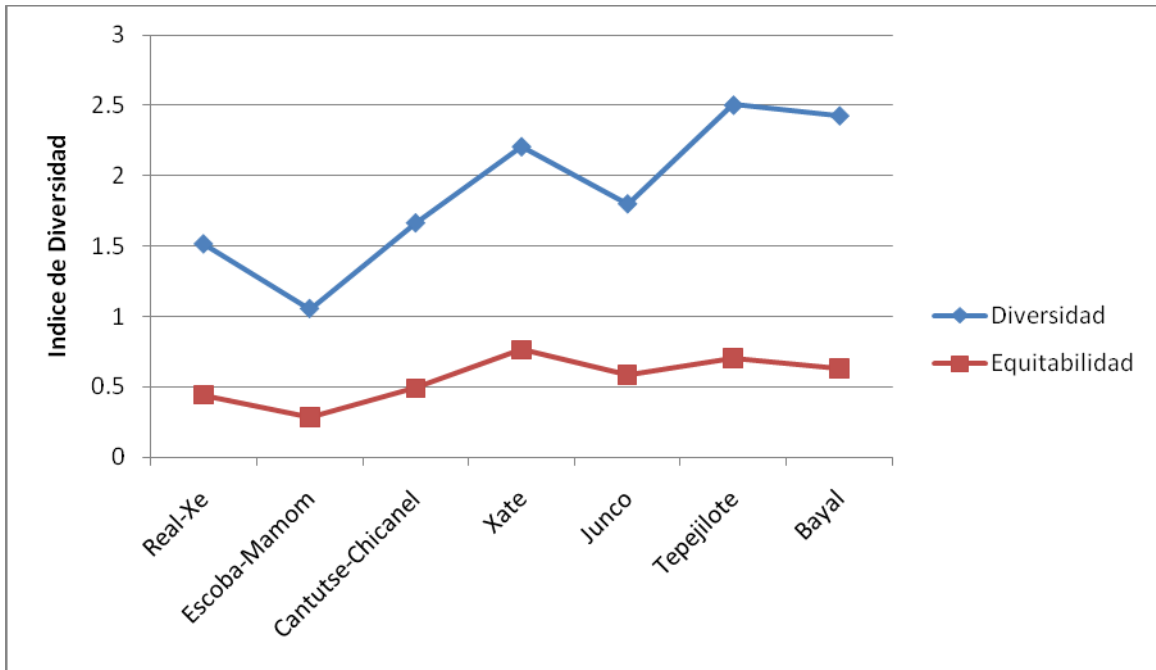


Figura 12.5. Diversidad y equitabilidad por cada fase, incluyendo vertebrados y moluscos (sin caracoles terrestres).

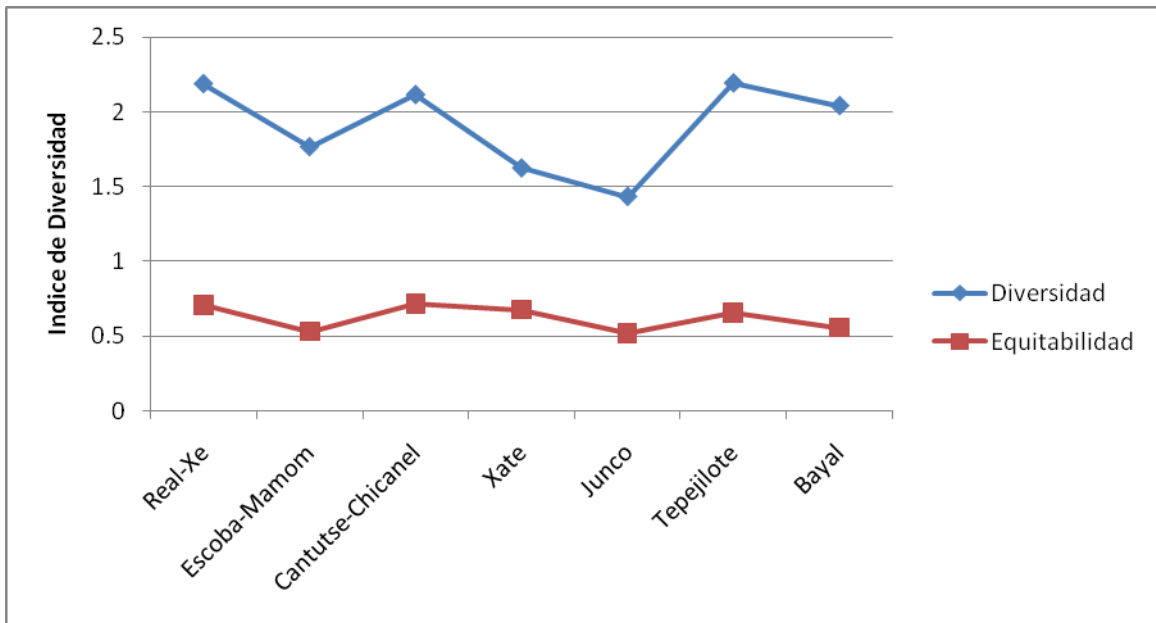


Figura 12.6. Diversidad y equitabilidad de sólo vertebrados por cada fase.

13. Análisis de Entierros

Juan Manuel Palomo

INTRODUCCIÓN

Durante las temporadas de campo de 2011 al 2012, investigaciones arqueológicas realizadas por el Proyecto Ceibal-Petexbatun revelaron 33 entierros, los cuales fueron enumerados del 115 al 141. La información contextual y el contenido de los rasgos mortuorios se presentan en los informes de excavación. Este reporte resume los resultados básicos del análisis osteológico de los restos humanos encontrados en tales excavaciones. El análisis siguió las normas comunes en la antropología física (Buikstra y Ubelaker 1994). Para muchos entierros, la edad de muerte fue estimada por medio del desgaste dental, tomando en cuenta los grados de desgaste registrados en investigaciones anteriores en la región del Río de la Pasión (Wright, 2006), “Adulto joven” refiere a un individuo entre 20 y 35 años de edad, “adulto medio” refiere a un individuo entre 35 y 50 años de edad, y “adulto viejo” refiere a un individuo mayor de 51 años de edad. Sin embargo, es importante enfatizar que estas determinaciones corresponden a edades relativas y aproximadas. Para los esqueletos de adultos, el sexo fue estimado por los rasgos morfológicos del cráneo y la pelvis. En algunos casos, fue posible sugerir el sexo por medio del tamaño de los huesos poscranianos, en referencia a información anteriormente recolectada de entierros del área del Río de la Pasión (Wright, 2006), y Tipu, Belice (Wrobel et al. 2002).

En los informes del proyecto 2009 y 2010 (Palomo 2009 y 2010) se publicó el análisis de los 15 entierros encontrados durante las temporadas 2008, 2009 y 2010. El presente reporte complementara la información sobre los resultados de los entierros encontrados durante las temporadas 2011 al 2012. Los entierros de las temporadas 2013 y 2014 se encuentran en proceso de análisis.

ENTIERROS

Entierro 115

Se trata de un entierro en contexto primario. Sin embargo, en época prehispánica el entierro fue reabierto y se extrajo parte de la osamenta. A pesar que el entierro se encontraba en orden anatómico, hacían falta las lumbares, el brazo derecho, la pelvis, la pierna derecha y fémur izquierdo. El esqueleto se encontraba extendido boca abajo con la cabeza apuntando hacia el sur. El cráneo no presentaba deformación craneal, no se encontraron marcas cortantes o evidencias de desarticulación *perimortem*.

Entierro 116

Se trata de un entierro en contexto primario. Sin embargo, las extremidades flexionadas y cráneo no se encontraban en orden anatómico. A partir de este hecho es posible sugerir que el individuo fue intencionalmente desmembrado en época prehispánica. La osamenta se encontraba erosionada y casi completa a excepción de la tibia izquierda que se encontraba ausente. El desarrollo dental y de los huesos del poscráneo indica que el individuo tenía una edad de 15 años (\pm 36 meses). El cráneo tenía una deformación al estilo tabular oblicua. No se encontraron marcas cortantes.

Entierro 117

Es un entierro primario. Los huesos están sumamente erosionados sin embargo el esqueleto se encontró casi completo. La osamenta estaba flexionada posiblemente en posición fetal. El desarrollo dental indica que el individuo era un niño de aproximadamente 4 años (\pm 12 meses). El cráneo presentaba evidencia de anemia. No se encontraron marcas cortantes.

Entierro 118

Se trata de un entierro primario. La osamenta se encontraba extendida con las piernas ligeramente flexionadas. El cráneo apuntaba hacia el este. El esqueleto está representado por ambos pies y perones así como las rotulas y el fémur derecho. El resto de la osamenta no fue excavada. El grosor de los huesos del poscráneo indica que se trataba de una persona adulta de sexo probablemente masculino.

Entierro 119

Es un entierro primario que se encontraba con las piernas flexionadas. De este esqueleto solo se recuperó las extremidades inferiores y fragmentos de pelvis, costillas y lumbares. El resto de la osamenta no fue excavada. La morfología de los huesos del poscráneo indica que se trata de un individuo adulto de sexo masculino.

Entierro 120

Se trata de un entierro en contexto primario. A pesar que los huesos se encontraban sumamente erosionada el esqueleto estaba casi completo. El desarrollo de los huesos largos y dientes indica que se trataba de un niño de aproximadamente 4 años (\pm 12 meses). En la parte externa del cráneo tenía evidencia de anemia. En la parte interior del mismo, había un engrosamiento de tejido óseo que probablemente fue causado por una infección en el cráneo (meningitis). La osamenta se encontró extendida con las piernas flexionadas y la cabeza apuntando hacia el suroeste.

Entierro 121

Es un entierro en contexto primario. El esqueleto se encontraba con las piernas flexionadas y recostado sobre su lado derecho. El desarrollo dental indica que tenía una edad de 15 años (\pm 36 meses). Los huesos del poscráneo indican que se trata de individuo de sexo probablemente masculino. A pesar que el esqueleto se encontraba totalmente articulado y casi completo se encontraba ausente el cráneo. La cabeza de esta osamenta fue removida en época prehispánica cuando años después se enterró otro esqueleto (Entierro 124) en la misma área.

Entierro 122

Se trata de un entierro primario. La osamenta se encontraba articulada con la cabeza hacia el noreste. Las dimensiones de los huesos largos indica que se trata de un recién nacido (Schaefer, et al. 2009). La osamenta se encontraba representada por fragmentos de cráneo costillas vertebras y huesos largos.

Entierro 123

Es un entierro en contexto primario que estaba representado por huesos largos de las piernas y brazos, también tenía algunos fragmentos de huesos del pie. Es probable que este individuo fuera desmembrado en época prehispánica, pues no se encontró evidencia de que la tumba haya sido reabierto. Los huesos del poscráneo indican que el esqueleto perteneció a un individuo adulto, sin embargo no fue posible establecer sexo.

Entierro 124*Individuo A*

Se trata de un entierro en contexto primario (Entierro 124A). La osamenta se encontró casi completa a pesar de estar sumamente erosionada. El esqueleto se encontraba con la pierna flexionada y recostado sobre su lado izquierdo. Los huesos del poscráneo indican que se trata de un adulto medio de sexo femenino. Al excavar las piernas del este individuo se encontró los restos de un bebe (Entierro 124 Individuo B).

Individuo B

El esqueleto estaba representado por fragmentos de cráneo, costillas, vertebras y huesos largos. El largo de los huesos de las piernas y brazos indica que se trataba de un recién nacido. El esqueleto se encontraba en posición fetal. Debido a que ambos individuos (A y B) fueron enterrados simultáneamente es probable que hayan sido familiares, quizás madre e hijo.

Entierro 125

Se trata de un entierro en contexto primario. Los huesos se encuentran sumamente erosionados. El esqueleto está representado por fragmentos de cráneo, huesos largos, vertebras, costillas y falanges. La osamenta estaba en posición dorsal con piernas y brazos flexionados. La cabeza apuntaba hacia el norte. El desarrollo dental indica que se trataba de un niño de 18 meses (± 6 meses).

Entierro 126

El esqueleto estaba erosionado, sin embargo se trata de un entierro en contexto primario enterrado en la roca madre. La osamenta se encontraba extendida con las manos cruzadas sobre su cintura. La cabeza estaba orientada hacia el oeste. El esqueleto presentaba evidencias de periostitis, es decir crecimientos de tejido óseo causados por infecciones en el cráneo y ambos fémures. El cráneo tenía evidencias que el individuo padeció anemia. No presentaba deformación craneal. Tenía decoración dental al estilo A4 (Romero 1986) en ambos incisivos laterales del maxilar.

Entierro 127

Es un esqueleto en contexto primario. Se encontró depositado entre dos cuencos grandes colocados borde sobre borde. El esqueleto estaba flexionado en posición fetal con el brazo izquierdo sobre la cabeza. Los huesos estaban sumamente erosionados, sin embargo el esqueleto estaba representado por huesos de cráneo, extremidades superiores e inferiores, vertebras y costillas. El desarrollo de crecimiento en los huesos y dientes indica que se trataba de un niño de aproximadamente 3 años (± 12 meses). El cráneo presentaba evidencias de anemia. No se encontraron marcas cortantes.

Entierro 128

Es un entierro primario desarticulado. El individuo está representado por extremidades superiores e inferiores, huesos de pies, manos, fragmentos de costillas, vertebras y un diente. No había cráneo. El entierro no tenía un orden anatómico. Sin embargo los pies estaban totalmente articulados junto con algunas costillas y huesos largos. No había evidencia que la tumba haya sido reabierto por lo que se sugiere que el individuo fue desmembrado en época prehispánica. El grosor de los huesos indica que se trataba de un individuo adulto de sexo masculino. Los huesos estaban erosionados y no se encontró ninguna evidencia de marcas cortantes.

Entierro 129

Se trata de un entierro desarticulado en contexto primario. Está representado por una tibia, peroné y pie izquierdo articulado. Tenía varios fragmentos de poscráneo desarticulados que incluye fragmentos de omoplato, costillas, escafoides, clavícula, peroné y astrágalo derechos. Presentó dos dientes, un tercer molar y un canino con decoración al estilo B5 (Romero 1986). Ambos dientes eran de maxilar. La morfología de los huesos indica que se trataba de un adulto de sexo masculino. Se encontró marcas cortantes en el peroné derecho. Probablemente este individuo fue desmembrado en época prehispánica.

Entierro 130

Se trata de un recién nacido cuyos restos estaban sumamente erosionados. El individuo se encontraba decúbito dorsal con piernas y brazos flexionados similar a una posición fetal. El cráneo estaba orientado hacia el oeste. En base a medidas de huesos largos tomadas *in situ* por el autor, se estima que el individuo tenía alrededor de un mes de edad (Schaefer, et al. 2009). El esqueleto estaba representado por fragmentos de huesos largos (brazos y piernas) fragmentos de cráneo y pelvis.

Entierro 131

Se trata de un entierro desarticulado en contexto secundario. Ninguno de los huesos estaba en posición anatómica. El entierro estaba representado por fragmentos de costillas, vertebras, cubito, fémur derecho, huesos de mano y fragmentos de cráneo. Los huesos estaban sumamente erosionados. Se encontró un canino maxilar derecho con decoración dental al estilo F4 (Romero 1986). Los rasgos morfológicos de los huesos del poscráneo indican que estos huesos pertenecían a un adulto joven de sexo masculino. Se estimó un número mínimo de un individuo.

Entierro 132

Se trata de un entierro múltiple en contexto primario. En base a huesos del cráneo se estima con un número mínimo de tres individuos.

Individuo A:

Este individuo se encontró totalmente articulado, flexionado sobre su lado izquierdo. Su cabeza orientada hacia el sur y presenta una deformación tabular erecta. Sus rasgos del cráneo y poscráneo indican que se trata de un individuo probablemente de sexo masculino. El desgaste dental indica que se trata de un adulto medio. A pesar de estar erosionado, el esqueleto se encontraba casi completo, representado por fragmentos de cráneo, dientes, omoplatos clavículas, vertebras, sacro, pelvis, huesos de pie, mano y extremidades superiores e inferiores. En los huesos largos había evidencia de periostitis.

Individuo B:

Se trata de un bebe que se encontró dentro de una vasija. La osamenta presentaba algunos huesos articulados tales como omoplato y clavículas, fragmentos de cráneo, vertebras costillas, manos y extremidades superiores e inferiores. El largo y desarrollo de sus huesos largos indica que el individuo tenía de uno a dos meses de edad (Schaefer, et al. 2009).

Individuo C:

Se trata de un individuo masculino que se encontraba en posición dorsal con las piernas flexionadas articulado en contexto primario. Su cráneo estaba orientado hacia el oeste y presenta una deformación tabular erecta. En base al análisis del desgaste dental se estima que el individuo es un adulto medio. El esqueleto estaba representado por fragmentos de cráneo, omoplato, pelvis izquierda, vertebras, costillas, huesos de mano y extremidades superiores e inferiores.

Entierro 133

Es un entierro primario totalmente articulado y en orden anatómico. El esqueleto estaba decúbito dorsal con las piernas flexionadas y los brazos cruzados sobre la cintura. El cráneo estaba orientado hacia el sur. La mayoría de los huesos están sumamente erosionados. El esqueleto está representado por fragmentos de cráneo, dientes, omoplato izquierdo, pelvis, dorsales, sacro, costillas, huesos del pie y extremidades superiores e inferiores. El grosor de los huesos largos indica que se trata de un individuo de sexo masculino. El desgaste dental indica que se trata de un adulto joven.

Entierro 134

Es un entierro primario. Los huesos están sumamente erosionados. Probablemente el cráneo estaba orientado hacia el sur y colocado con las piernas y brazos flexionados. El esqueleto está representado por fragmentos de cráneo, dientes de leche, omoplato izquierdo, fragmentos de vertebras, costillas, huesos del pie, mano, extremidades superiores e inferiores. El desarrollo dental indica que el esqueleto perteneció a un niño de 2 años (\pm 8 meses)

Entierro 135

Se trata de un entierro primario. El cráneo se encontraba orientado al noroeste. Los huesos están sumamente erosionados. El esqueleto está representado por fragmentos de cráneo, pelvis, vertebras, costillas y huesos largos superiores e inferiores. El desarrollo dental indica que el esqueleto perteneció a un niño de 4 años (\pm 12 meses). El cráneo tenía evidencia de anemia. No fue posible determinar si tuvo deformación craneal.

Entierro 136

Se trata de una osamenta completa, totalmente articulada. El individuo se encontraba en posición flexionada sobre su lado izquierdo. Su cabeza estaba orientada hacia el norte. En base a rasgos morfológicos del cráneo y poscráneo se sugiere que era un adulto joven de sexo masculino. El desgaste de los dientes indica que probablemente se trataba de un adulto joven. El esqueleto está representado por cráneo, omoplatos, pelvis, fragmentos de vertebras, sacro, costillas, huesos de pies, manos y extremidades superiores e inferiores. En los huesos de las piernas había evidencia de periostitis. El cráneo presentaba una deformación tabular erecta.

Entierro 137

Representa un recién nacido cuyos restos estaban sumamente erosionados. El individuo se encontraba decúbito dorsal con las piernas y brazos flexionados. Probablemente el cráneo estaba orientado hacia el sur. En base a medidas de huesos largos tomadas *in situ*, se estima que tenía alrededor de un mes de edad (Schaefer, et al. 2009). El esqueleto está representado por fragmentos de cráneo, costillas y extremidades superiores e inferiores.

Entierro 138

Es un entierro primario con el cráneo orientado hacia el norte. El esqueleto estaba decubito dorsal con las piernas flexionadas hacia el oeste. Los huesos están sumamente erosionados. El esqueleto está representado por fragmentos de cráneo, omoplato derecho, vertebras, costillas y extremidades superiores e inferiores. Presentaba evidencia de periostitis en el ectocráneo y en el fémur izquierdo. El desarrollo dental indican que el esqueleto perteneció a un niño de 3 años (\pm 12 meses).

Entierro 139

Se trata de un entierro primario totalmente articulado. El esqueleto se encontraba recostado sobre su lado derecho con las piernas flexionadas hacia el este y el cráneo orientado hacia el norte. Los huesos están erosionados. El esqueleto está representado por cráneo, omoplatos, esternón, fragmentos de vertebras, costillas, huesos de pies, manos y extremidades superiores e inferiores. El cráneo tenía deformación craneal tabular oblicua y evidencias de anemia. También se encontró evidencia de periostitis en los huesos de las piernas y brazos.

Entierro 140

Es un entierro en contexto primario. El esqueleto se encontró hincado con las piernas flexionadas y los brazos atrás de la espalda. Es posible que este individuo haya estado con los brazos atados. A pesar que la osamenta estaba articulada se encontró una vértebra cervical desarticulada. Debido a que esta cervical se encontraba fuera de contexto, se sugiere que el

individuo fue decapitado. Los huesos estaban sumamente erosionados y no se encontraron marcas cortantes en la superficie de los mismos. El esqueleto estaba representado por cráneo, omoplato, fragmentos de pelvis, costillas, vertebras, omoplatos, huesos del pie y mano así como extremidades superiores e inferiores. El cráneo presentaba evidencias de anemia. El desgaste dental indica que se trataba de un adulto medio. Los rasgos morfológicos del cráneo y poscráneo indican que se trata de un individuo de sexo masculino.

Entierro 141

Se trata de un entierro desarticulado en contexto primario. Los huesos estaban sumamente erosionados. Algunos fragmentos de costillas y dientes estaban articulados. El esqueleto está representado por fragmentos de costillas, vertebras, una falange, fragmentos de clavícula, pelvis y extremidades superiores e inferiores. El desarrollo dental indica que el esqueleto perteneció a un niño de 8 años (\pm 12 meses).

CONCLUSIONES E INTERPRETACIONES PRELIMINARES

Por el momento, los entierros analizados en Ceibal representan un mínimo de 117 individuos (Palomo 2009; Palomo 2010; Palomo 2013; Tourtellot 1990). Estos entierros proveen importante información acerca de los cambios ocurridos en los tratamientos mortuorios de Ceibal durante los años 1000 a.C. al 900 d. C.

El contexto arqueológico de los entierros indica que durante el Preclásico Medio Temprano, los residentes de Ceibal aparentemente no enterraban sus muertos dentro de estructuras residenciales, a diferencia de sus contemporáneos vecinos de Belice. Para esta época los pobladores de Ceibal enterraban a sus muertos en la roca madre.

La deformación craneal tabular erecta de este periodo es muy similar a la iconografía preclásica encontrada en la Costa del Golfo y Chiapas (Taube 2004). Entierros de víctimas sacrificadas empezaron a aparecer al final del Preclásico Medio Temprano, sin embargo, la colocación de esqueletos sacrificados en espacios públicos y rituales se incrementó considerablemente durante el Preclásico Medio Tardío y Preclásico Tardío, probablemente reflejando la intensificación de actividades de guerra (Inomata 2014). Durante esta época, por primera vez las deformaciones craneales tabular erecta y tabular oblicua se encuentran simultáneamente en el sitio. Las ofrendas funerarias para este periodo consisten en cuencos, platos, navajas y núcleos de obsidiana, así como, collares hechos de concha y piedra verde (Palomo 2013).

Durante el Clásico Temprano y Tardío, aparentemente la deformación tabular erecta dejó de existir en los esqueletos de Ceibal. Solamente se encontraron deformaciones al estilo tabular oblicua (Palomo 2009; Palomo 2010; Tourtellot 1990), la cual probablemente estaba conectada a la creencia Maya Clásica de la deidad del maíz (Houston, et al. 2006). Durante esta época, el lugar más usual para enterrar a los difuntos fue debajo de pisos de estructuras residenciales. Las ofrendas funerarias más comunes consistieron en vasijas. A pesar que la evidencia epigráfica indica que durante este periodo el rey de Ceibal fue capturado por el rey de Dos Pilas-Aguateca, no se encontró ningún indicio de muerte violenta en los esqueletos.

Durante el Clásico Terminal hay un resurgimiento de la deformación tabular erecta y un aumento de individuos sacrificados en la plaza del Grupo A (Tourtellot 1990). Las ofrendas más comunes para este periodo también consistieron en vasijas.

En la siguiente temporada se espera continuar con el análisis detallado de los entierros encontrados en Ceibal. El objetivo de este estudio es integrar el presente análisis, con los entierros recuperados y analizados por el proyecto de la universidad de Harvard (Tourtellot 1990). Este análisis permitirá expandir la información sobre las interacciones culturales que tuvo Ceibal con otros sitios contemporáneos y sobre cómo estas interacciones se ven reflejadas en los cambios y continuidades de los ritos mortuorios.

RESUMEN

Durante las temporadas de campo 2011 y 2012 se encontró un total de 27 entierros. Para dichos entierros se estimó un número mínimo de 30 individuos. La tabla 13.1 resume la información de contexto (articulado o desarticulado), edad, sexo y decoración dental observada en los esqueletos.

Ent. #	Lot	Art.	Edad	Sexo	Dec. Dent.	Def. Cra.
CB115	CB203D5-6-2	si	AJ (20-35 años)	M	no	No
CB116	CB201F2-2-5	algunos	15 años (\pm 36 meses)	?	no	T.oblicua
CB117	CB201F2-5-5	algunos	4 años (\pm 12 meses)	?	no	No
CB118	CB208A1-4-4	si	Adulto	M?	no	no exc.
CB119	CB201A1-5-3	si	AM (35-50 años)	M	no obs.	no exc.
CB120	CB207A2-4-6	si	4 años (\pm 12 meses)	?	no	No
CB121	CB207A1-4-9	si	15 años (\pm 36 meses)	M?	no	No
CB122	CB207A4-4-5	si	Recien nacido	?	no	No
CB123	CB207A1-4-8	si	Adulto	?	no	no exc.
CB124B	CB207A1-4-10	si	Recien nacido	?	no	No
CB124A	CB207A1-4-10	si	AM (35-50 años)	F	no	no hay
CB125	CB211A1-5-3	si	18 meses (\pm 6 meses)	?	no	no obs.
CB126	CB210A3-6-7	si	AM (35-50 años)	M	A4	No
CB127	CB203B18-6-1	si	3 años (\pm 12 meses)	?	no	No
CB128	CB211B1-6-4	algunos	AM (35-50 años)	M	no	no obs.
CB129	CB210A2-4-2	si	AJ (20-35 años)	M	B5	no obs.
CB130	CB203B16-8-2	si	Recien nacido	?	no	No
CB131	CB210A3-4-3	algunos	Adulto	?	F4	No
CB132C	CB211B1-7-1	si	AM (35-50 años)	M	no	T. erecto
CB132B	CB211B1-7-1	algunos	1 o 2 meses	?	no	No
CB132A	CB211B1-7-1	si	AM (35-50 años)	M?	no	T. erecto
CB133	CB212B2-4-4	si	AJ (20-35 años)	M	no	no obs.
CB134	CB212A3-4-5	si	2 años (\pm 8 meses)	?	no	no obs.
CB135	CB 211A2-5-2	si	4 años (\pm 12 meses)	?	no	no obs.
CB136	CB203B16-9-1	si	AJ (20-35 años)	M	no	T. erecto
CB137	CB203B21-8-2	si	Recien nacido	?	no	No
CB138	CB2011A2-6-2	si	3 años (\pm 12 meses)	?	no	no obs.
CB139	CB209A8-4-2	si	7 años (\pm 24 meses)	?	no	T.oblicua
CB140	CB203J2-8-3	algunos	AM (35-50 años)	M	no	No
CB141	CB209D2-5-5	algunos	8 años (\pm 12 meses)	?	no	no obs.

Tabla 13.1 de Abreviaturas

Ent #: Número de entierro; Art: articulación de los huesos; AJ: adulto joven; AM: adulto medio; M: masculino; F: femenino; Dec. dent.: decoración dental; no obs.: no observable; Def. cra.: deformación en el Cráneo; T. oblicua: deformación tabular oblicua; T. erecto: Tabular erecto; no exc.: No excavado.

PARTE VI: CONCLUSION

14. Conclusión sobre la Temporada de 2014

Flory Pinzón y Takeshi Inomata

EXCAVACIONES EN LA PLAZA CENTRAL DEL GRUPO A

Las excavaciones realizadas en la Plaza Central del Grupo A brindaron muchos datos importantes para el entendimiento de las primeras ocupaciones en Ceibal. Después de una larga búsqueda del acceso oeste de la plataforma este del Conjunto tipo Grupo E, este año fue uno de los hallazgos más importantes.

En estas excavaciones se definió un acceso remetido de esta estructura en la parte central y se descubrieron al mismo tiempo, dos extensiones que fueron mejor definidas al noroeste de la plaza central. Con las excavaciones realizadas en la plaza en el presente año se sabe ahora el ancho de la Estructura Xa'an y al menos se estableció que esta estructura fue bastante larga, sin encontrarse aún sus límites norte y sur.

Además, en esta temporada nuevamente fueron descubiertos varios entierros que datan de la fase Escoba-Mamom, así como, escondites de vasijas y núcleos, una piedra caliza trabajada y un escondite cruciforme con hachas de piedra verde y vasijas entre otros, de las fases Escoba-Mamom y Real-Xe 3.

El hallazgo de escondites en forma cruciforme con hachas de piedra verde en Ceibal, indican relaciones interregionales con el área de Chiapas y La Venta que señalan además que estos rituales fueron realizados antes del apogeo de La Venta.

A partir de los resultados de las excavaciones realizadas en varias partes de ceibal incluyendo la plaza central se sabe que los primeros habitantes de Ceibal ocuparon el sitio en el período Preclásico medio (1000 A.C – 800 A.C) tiempo en el cual, fue construida la primera versión del Conjunto tipo Grupo E en Ceibal. En ese momento el Grupo A predomina como el centro ceremonial y existe poca ocupación en las áreas aledañas.

EXCAVACIONES EN LA PERIFERIA DE CEIBAL

Las excavaciones realizadas en el Grupo Karinel brindan nuevos datos para la comprensión de la ocupación del sitio sobre todo en la fase Escoba-Mamom tiempo en el cual este grupo muestra una mayor ocupación que se evidencia a partir de la construcción de varios edificios. En la temporada del presente año se encontró una estructura redonda denominada Sutsu, esta estructura por su índole se cree pudo haber servido de centro ceremonial para este grupo, lo cual si bien no implica una total independencia del centro de Ceibal, sugiere que por lo menos se desarrollaban ceremonias de menor escala en este grupo.

Además, el hallazgo de varios entierros y sus varias ofrendas, sugiere nuevamente que había una conexión entre los rituales desarrollados en la Plaza Central y grupos cercanos.

En el periodo Preclásico Tardío y Protoclásico se observa un incremento en la población de la periferia de Ceibal. Los Grupos Amoch y Peck fueron ocupados en este periodo construyendo grandes estructuras. Según muestran las investigaciones esta clase de grupos obedece a un patrón de construcción que además sugiere eran bastante independientes al centro de Ceibal. Los templos

menores de estos grupos y otros más, fueron abandonados y enterrados ritualmente para ser nuevamente ocupados durante los periodos Clásico Tardío y Terminal, específicamente estos templos fueron reutilizados pero no siempre de la misma manera.

EXCAVACIONES EN EL GRUPO D

En el Preclásico Terminal/Protoclásico (I. DC) sucede un cambio importante pues el enfoque de la ocupación de las élites se traslada al Grupo D que por su topografía y cercanía al río la Pasión se convierte de carácter defensible. En este período varios sitios de las Tierras Bajas Mayas entran en conflicto.

Las investigaciones realizadas en las estructuras que conforman el Grupo Triádico, confirman la observación original de los arqueólogos de Harvard que no hubo ocupación significativa en el Grupo D antes del período Preclásico Terminal (la fase Xate). El patrón original de la organización espacial de la parte central se mantuvo hasta el final de la ocupación del sector.

En este año además se realizaron investigaciones en pequeños grupos residenciales cercanos al río la Pasión con el objetivo de conocer si estos grupos eran defensivos o no.

Los resultados de esta temporada muestran que por lo menos en éstas estructuras existió una ocupación de gente sencilla cuya actividad cotidiana pudo haber sido la agricultura o extracción de Sascab. Su ocupación comenzó desde el período Protoclásico. No obstante, es importante mencionar que por la topografía y la época en que se desarrollan estos grupos en sí mismos ya poseen un carácter defensivo, por lo que no es aún indicativo de que en otros grupos no se encuentren evidencias al respecto.

ANÁLISIS PRELIMINAR DE ARTEFACTOS

Según el Oficio JM 039-2014 del día 24 de enero del presente año se aprobó conservar los materiales de las temporadas pasadas del Proyecto Arqueológico Ceibal-Petexbatun incluyendo los del año 2013 para su respectivo análisis en el laboratorio (ubicado en la 33 av. 28-95 zona 5 colonia Santa Ana), bajo la responsabilidad del Dr. Takeshi Inomata Director del Proyecto. Actualmente estos materiales se encuentran en este proceso, no obstante, el departamento de Registro de Bienes Culturales del Instituto de Antropología e Historia ya documentó las vasijas reconstruibles, figurillas y lítica menor de las temporadas pasadas hasta el año 2013.

El presente informe muestra resultados preliminares de análisis de cerámica (Inomata), artefactos líticos (Kazuo Aoyama), análisis de restos de fauna (Sharpe) y análisis de huesos humanos (Palomo).

PARTE VII: ANEXOS

15. Catálogo de Vasijas, Temporada 2014

Flory María Pinzón y Estela Pinto



Figura 15.1. C.R: 500354, Vasija 2 en Entierro 155, tipo Camarón Inciso en forma de cuenco, CB211C (Foto por J. MacLellan).



Figura 15.2. C.R: 500355, Vasija 2 en Entierro 156, tipo Poité Inciso en forma de plato, CB211C (Foto por J. MacLellan).



Figura 15.3. C.R: 500356, Vasija 1 en Entierro 155, tipo Pabellón Modelado Tallado en forma de cuenco, CB211C (Foto por J. MacLellan).



Figura 15.4. C.R: 500357, Vasija 1 en Entierro 152, tipo Pabellón Modelado Tallado en forma de cuenco, CB211C (Foto por J. MacLellan).



Figura 15.5. C.R: 500358, Vasija 1 en Entierro 159, tipo Trapiche Inciso en forma de plato, CB211C (Foto por J. MacLellan).



Figura 15.6. C.R: 500359, Vasija 1 en Entierro 156, tipo Naranja Fino Indeterminado en forma de cuenco, CB211C (Foto por J. MacLellan).



Figura 15.7. C.R: 500360, Vasija 2 en Entierro 159, tipo Naranja Fino Indeterminado en forma de cuenco, CB211C (Foto por J. MacLellan).



Figura 15.8. C.R: 500362, Vasija 1 en Entierro 150, tipo Sierra Rojo en forma de plato, CB203K (Foto por R.Rodas).



Figura 15.9. C.R: 500363, Vasija 3 en Entierro 156, tipo Tinaja Rojo en forma de cántaro, CB211C (Foto por J. MacLellan).



Figura 15.10. C.R: 500364, Vasija 1 en Entierro 173, tipo Achiotes Sin Engobe en forma de cuenco, CB215C (Foto por E. Pinto).



Figura 15.11. C.R: 500365, Vasija 2 en Entierro 173, tipo Achiotes Sin Engobe en forma de cuenco, CB215C (Foto por E. Pinto).



Figura 15.12. C.R: 500366, Vasija 3 en Entierro 173, tipo Caribal Rojo? en forma de cuenco, CB215C (Foto por R. Rodas).



Figura 15.13. C.R: 500367, Vasija 1 en Entierro 161, del periodo Protoclásico en forma de plato, CB221B (Foto por R. Rodas).



Figura 15.14. C.R: 500368, Vasija 1 en intrusión dentro de Entierro 161, tipo Cubeta Inciso en forma de cuenco, CB221B (Foto por R. Rodas).



Figura 15.15. C.R: 500369, Vasija 1 en Entierro 169, tipo Ixcanrío Polícromo en forma de cuenco, CB218A (Foto por R. Rodas).



Figura 15.16. C.R: 500370, Vasija 1 en Escondite 171, del grupo Río Pasión Engobado en forma de cántaro, CB203K (Foto por R. Rodas).



Figura 15.17. C.R: 500371, Vasija 2 en Escondite 171, del grupo Río Pasión Engobado en forma de cántaro, CB203K (Foto por R. Rodas).



Figura 15.18. C.R: 500372, Vasija 3 en Escondite 171, del grupo Río Pasión Engobado en forma de cántaro, CB203K (Foto por R. Rodas).



Figura 15.19. C.R: 500373, Vasija 1 en Escondite 170, tipo Achiotes Sin Engobe en forma de cuenco, CB203K (Foto por R. Rodas).



Figura 15.20. C.R: 500374, Vasija 1 en Escondite 151, tipo Sierra Rojo en forma de cuenco, CB218C (Foto por E Pinto).

2. Lista de Materiales: Temporada de 2014

Jessica MacLellan

Lote	Material	Cantidad de Bolsas	Cantidad Aproximada de Objetos
203K-1-9-7	Cerámica	1	5
	Obsidiana	1	2
	Lítica	1	5
203K-1-10-1	Cerámica	1	5
203K-1-10-2	Otra piedra	1	1
	Obsidiana	5	5
	Piedra verde	4	4
	Hueso y concha	2	10
203K-1-10-3	Cerámica	1	5
	Hueso y concha	1	5
203K-1-10-4	Cerámica	1	5
	Lítica	1	5
203K-1-10-5	Cerámica	1	5
	Lítica	1	5
203K-1-10-6	Cerámica	6	50
	Piedra molida	2	2
	Lítica	1	5
	Piedra verde	11	11
	Hueso y concha	1	1
203K-2-6-1	Cerámica	1	10
	Obsidiana	1	5
	Lítica	1	5
	Hueso y concha	1	5
203K-2-6-2	Cerámica	1	10
	Obsidiana	1	1
	Lítica	1	5
	Hueso humano	1	1
	Hueso y concha	1	1
203K-2-7-1	Cerámica	1	5
	Lítica	1	5
203K-2-7-2	Cerámica	1	5
	Obsidiana	1	2
	Lítica	1	2
203K-2-7-3	Cerámica	1	3
203K-2-7-4	Cerámica	1	3
203K-2-7-5	Cerámica	1	5
	Obsidiana	1	1
	Lítica	1	3
203K-2-7-6	Cerámica	1	5
	Lítica	1	5
	Piedra verde	1	1
203K-2-7-7	Cerámica	1	3
	Hueso y concha	1	3
203K-2-8-1	Cerámica	1	2
203K-3-1-1	Cerámica	1	5
	Lítica	1	5
	Obsidiana	1	1

203K-3-5-1	Cerámica	1	5
	Obsidiana	1	2
	Lítica	1	5
	Hueso y concha	1	5
203K-3-5-2	Cerámica	1	5
	Piedra molida	1	1
	Lítica	1	5
203K-3-5-6	Cerámica	1	3
	Piedra verde	1	1
203K-3-6-2	Cerámica	1	10
	Obsidiana	1	3
	Lítica	1	5
203K-3-6-3	Cerámica	6	600
	Obsidiana	3	10
	Lítica	1	10
	Piedra verde	1	1
203K-3-6-4	Cerámica	1	5
	Lítica	1	5
	Piedra verde	1	1
203K-3-6-6	Cerámica	1	5
	Lítica	1	3
203K-3-7-1	Cerámica	1	5
	Lítica	1	3
203K-3-7-4	Cerámica	1	2
203K-3-7-5	Cerámica	1	3
	Hueso y concha	1	1
203K-3-7-8	Cerámica	1	5
	Lítica	1	3
203K-4-1-1	Cerámica	1	5
	Lítica	1	2
203K-4-5-1	Cerámica	1	10
	Obsidiana	1	3
	Lítica	1	5
203K-4-5-2	Cerámica	1	2
203K-4-5-3	Cerámica	1	5
	Lítica	1	3
203K4-5-5	Cerámica	1	10
	Obsidiana	1	3
	Lítica	1	5
	Hueso y concha	1	4
203K-4-5-6	Cerámica	2	100
	Hueso y concha	1	5
203K-4-6-2	Cerámica	1	5
	Lítica	1	3
203K-4-6-3	Cerámica	1	10
	Obsidiana	1	1
	Lítica	1	5
	Hueso y concha	1	5
203K-4-6-4	Cerámica	1	2
203K-4-6-6	Cerámica	1	10
	Obsidiana	1	1
	Otro artefacto	1	1
	Lítica	1	5

203K-4-6-7	Cerámica	1	10
	Obsidiana	1	3
	Lítica	1	5
203K-4-7-1	Cerámica	1	10
	Lítica	1	5
	Hueso y concha	1	1
203K-4-7-4	Cerámica	1	10
	Lítica	1	5
	Hueso y concha	1	1
203K-4-7-6	Cerámica	1	1
203K-5-1-1	Cerámica	1	50
	Lítica	1	25
203K-5-5-1	Cerámica	1	10
	Lítica	1	5
203K-5-5-3	Cerámica	1	10
	Obsidiana	1	2
	Lítica	1	5
203K-5-6-1	Cerámica	1	5
	Lítica	1	3
203K-5-6-2	Cerámica	1	5
	Lítica	1	3
203K-5-6-3	Cerámica	1	5
	Lítica	1	2
203K-5-6-5	Cerámica	1	5
	Hueso y concha	1	5
203K-5-7-1	Cerámica	1	5
	Obsidiana	1	1
203K-5-7-2	Otra piedra	1	1
	Cerámica	1	1
203K-5-7-3	Cerámica	1	3
203K-5-7-5	Cerámica	1	5
	Lítica	1	3
203K-5-7-11	Cerámica	1	5
	Lítica	1	2
203K-5-8-1	Cerámica	1	10
	Lítica	1	5
	Otra piedra	1	1
203K-5-8-2	Cerámica	1	3
	Hueso y concha	1	3
203L-2-1-1	Cerámica	1	50
	Otra piedra	1	1
	Lítica	1	20
203L-2-4-1	Cerámica	1	10
	Otra piedra	1	1
	Lítica	1	5
203L-2-4-2	Cerámica	1	10
	Lítica	1	5
	Hueso y concha	1	5
203L-2-5-1	Cerámica	1	10
	Obsidiana	1	3
	Lítica	1	5
	Hueso y concha	1	5
203L-2-5-2	Cerámica	1	10

	Otra piedra	1	1
	Obsidiana	1	1
	Lítica	1	5
203L-2-5-3	Cerámica	1	5
	Lítica	1	3
203L-2-5-4	Cerámica	1	10
	Obsidiana	1	3
	Lítica	1	5
203L-2-6-1	Cerámica	2	50
	Lítica	2	20
	Obsidiana	1	10
203L-2-6-2	Cerámica	2	20
	Lítica	1	10
203L-2-6-3	Cerámica	1	2
203L-2-7-1	Lítica	1	1
203L-2-7-2	Cerámica	1	3
203L-3-1-1	Cerámica	1	10
	Otra piedra	1	1
	Lítica	1	5
203L-3-4-1	Cerámica	1	10
	Otra piedra	1	1
	Obsidiana	1	3
	Lítica	1	5
	Hueso y concha	1	5
203L-3-4-2	Cerámica	2	20
	Obsidiana	1	5
	Lítica	2	10
203L-3-5-1	Cerámica	1	5
	Lítica	1	3
203L-3-5-2	Cerámica	2	20
	Otra piedra	1	1
	Obsidiana	2	10
	Lítica	2	10
203L-3-5-3	Lítica	1	2
203L-3-6-1	Cerámica	2	20
	Obsidiana	1	5
	Lítica	2	10
	Hueso y concha	1	1
203L-3-6-2	Cerámica	2	20
	Lítica	1	10
203L-3-6-3	Cerámica	1	5
	Lítica	1	5
203L-3-7-1	Cerámica	1	5
	Lítica	1	3
203L3-7-2	Cerámica	1	5
	Lítica	1	3
203L-4-1-1	Cerámica	1	50
	Otra piedra	1	1
	Obsidiana	1	15
	Lítica	1	30
203L-4-4-1	Cerámica	1	10
	Obsidiana	2	5
	Lítica	1	5

203L-4-5-1	Cerámica	1	10
	Obsidiana	1	3
	Otro artefacto	1	1
	Lítica	1	5
203L-4-5-2	Cerámica	1	10
	Obsidiana	1	1
	Lítica	1	5
203L-4-5-3	Cerámica	1	5
	Lítica	1	2
203L-4-6-1	Cerámica	1	10
	Otra piedra	1	1
	Lítica	1	5
203L-4-6-2	Cerámica	2	20
	Lítica	2	10
203L-4-6-3	Cerámica	1	5
	Lítica	1	3
203L-4-7-1	Cerámica	1	5
	Lítica	1	2
203L-4-7-2	Cerámica	1	10
	Lítica	1	5
	Hueso y concha	1	5
203L-5-1-1	Cerámica	1	50
	Otra piedra	1	1
	Obsidiana	1	15
	Lítica	1	30
203L-5-4-1	Cerámica	1	10
	Otra piedra	1	1
	Obsidiana	1	3
	Lítica	1	5
203L-5-4-2	Cerámica	1	1
203L-5-5-1	Cerámica	1	10
	Obsidiana	1	3
	Lítica	1	5
203L-5-5-2	Cerámica	1	5
	Obsidiana	1	1
	Lítica	1	3
203L-5-5-3	Cerámica	1	10
	Obsidiana	1	3
	Lítica	1	5
203L-5-6-1	Cerámica	1	5
	Lítica	1	3
	Hueso y concha	1	2
203L-5-6-2	Cerámica	1	5
	Lítica	1	3
203L-5-6-3	Cerámica	1	5
	Lítica	1	3
203L-5-7-1	Cerámica	1	5
	Lítica	1	3
203L-5-7-2	Cerámica	1	5
	Lítica	1	3
203L-6-1-1	Cerámica	1	50
	Obsidiana	1	15
	Lítica	1	30

	Hueso y concha	2	25
203L-6-6-1	Cerámica	1	10
	Lítica	1	5
	Hueso y concha	1	5
203L-6-6-2	Cerámica	1	5
	Hueso y concha	1	1
203L-6-6-3	Cerámica	1	5
	Lítica	1	3
203L-6-7-1	Cerámica	1	10
	Otra piedra	1	1
	Lítica	1	5
	Hueso y concha	1	5
203L-6-7-2	Cerámica	1	10
	Lítica	1	5
	Hueso y concha	1	5
203L-6-7-3	Cerámica	1	3
	Obsidiana	1	1
203L-6-7-4	Cerámica	1	10
	Lítica	1	5
	Hueso y concha	1	5
203L-7-1-1	Cerámica	1	50
	Otra piedra	1	1
	Obsidiana	1	15
	Lítica	1	30
	Hueso y concha	1	25
203L-7-5-2	Cerámica	1	10
	Otra piedra	1	1
	Obsidiana	1	3
	Lítica	1	5
203L-7-5-3	Cerámica	1	5
	Lítica	1	2
203L-7-6-1	Cerámica	1	10
	Otra piedra	1	1
	Lítica	1	5
203L-7-6-2	Cerámica	1	10
	Otra piedra	1	1
	Lítica	1	5
203L-7-6-4	Cerámica	1	3
203L-7-6-5	Cerámica	1	10
	Lítica	1	5
	Hueso y concha	1	5
203L-7-7-1	Cerámica	1	5
	Lítica	1	3
203L-7-7-2	Cerámica	1	10
	Lítica	1	5
	Hueso y concha	1	5
203L-7-7-3	Cerámica	2	20
	Lítica	1	10
	Hueso y concha	1	5
203L-7-7-4	Cerámica	1	10
	Lítica	1	5
	Hueso y concha	1	3
203L-7-7-5	Cerámica	1	10

	Lítica	1	5
	Hueso y concha	1	3
209A-9-1-1	Cerámica	1	25
	Otro artefacto	1	1
	Lítica	1	10
	Hueso y concha	1	1
209A-9-2-1	Cerámica	1	20
	Otra piedra	1	1
	Obsidiana	1	1
	Lítica	1	10
	Hueso y concha	1	10
209A-9-4-1	Cerámica	2	200
	Otra piedra	1	2
	Obsidiana	1	20
	Piedra molida	2	2
	Lítica	1	75
	Hueso y concha	1	25
209A-10-1-1	Cerámica	1	20
	Obsidiana	1	1
	Lítica	1	10
	Hueso y concha	1	10
209A-10-4-1	Cerámica	3	300
	Obsidiana	1	30
	Otro artefacto	1	1
	Lítica	1	100
	Hueso y concha	1	100
209A-10-4-2	Cerámica	1	10
	Obsidiana	1	1
	Lítica	1	5
	Hueso y concha	1	5
209A-10-4-3	Cerámica	1	50
	Otra piedra	1	2
	Obsidiana	1	10
	Otro artefacto	1	1
	Lítica	1	30
	Figurilla	1	1
	Hueso y concha	1	25
209D-6-1-1	Cerámica	1	5
	Lítica	1	3
209D-6-4-1	Cerámica	1	10
	Lítica	1	5
	Hueso humano	1	1
209D-6-4-2	Cerámica	1	5
	Lítica	1	3
209D-6-4-3	Cerámica	1	10
	Lítica	1	5
	Hueso humano	1	1
209D-6-4-4	Cerámica	1	10
	Otro artefacto	1	1
	Lítica	1	5
209D-6-5-3	Cerámica	1	10
	Obsidiana	1	1
	Lítica	1	5

209D-6-5-4	Cerámica	1	5
	Piedra molida	1	1
209D-6-5-5	Cerámica	1	10
	Obsidiana	1	2
	Lítica	1	5
209D-6-5-6	Cerámica	1	5
	Lítica	1	3
209D-6-5-7	Cerámica	1	3
209D-7-1-1	Cerámica	1	10
	Lítica	1	5
209D-7-4-1	Cerámica	1	10
	Lítica	1	5
209D-7-4-2	Cerámica	1	10
	Obsidiana	1	1
	Lítica	1	5
209D-7-5-1	Cerámica	1	2
209D-7-5-2	Cerámica	1	5
	Lítica	1	3
209D-7-5-3	Cerámica	1	2
209D-7-5-4	Cerámica	1	3
209D-7-5-6	Cerámica	1	10
	Piedra molida	1	1
	Obsidiana	1	1
209D-7-5-7	Cerámica	1	10
	Lítica	1	5
	Hueso y concha	1	5
209D-8-1-1	Cerámica	1	10
	Lítica	1	5
209D-8-4-1	Cerámica	1	10
	Lítica	1	5
	Hueso y concha	1	5
209D-8-4-2	Cerámica	3	200
	Lítica	1	50
209D-8-4-3	Cerámica	1	10
	Lítica	1	5
209D-8-4-5	Cerámica	1	3
209D-8-5-1	Cerámica	1	10
	Lítica	1	5
	Hueso y concha	1	5
209D-8-5-2	Cerámica	1	10
	Lítica	1	5
209D-8-5-3	Cerámica	1	10
	Obsidiana	1	1
	Lítica	1	5
209D-8-5-4	Cerámica	1	5
	Lítica	1	3
209E-1-1-1	Cerámica	1	3
	Obsidiana	1	1
	Lítica	1	1
209E-1-2-2	Cerámica	1	5
	Lítica	1	3
209E-2-1-1	Cerámica	1	5
	Lítica	1	3

209E-2-4-1	Cerámica	1	5
	Lítica	1	3
209E-2-4-2	Cerámica	1	2
209E-2-4-3	Cerámica	1	5
	Obsidiana	1	1
209E-2-4-4	Cerámica	1	3
209E-3-1-1	Cerámica	2	20
	Lítica	1	10
	Obsidiana	1	5
209E-3-2-1	Cerámica	1	20
	Otra piedra	2	2
	Obsidiana	1	5
	Lítica	1	10
	Piedra verde	1	1
209E-4-3-1	Cerámica	1	5
	Lítica	1	3
211B-6-1-1	Cerámica	1	100
	Obsidiana	1	10
	Lítica	1	50
	Hueso y concha	1	30
211B-6-4-1	Cerámica	2	200
	Obsidiana	1	20
	Lítica	1	100
	Hueso y concha	1	60
211B-6-4-2	Cerámica	1	100
	Obsidiana	1	10
	Lítica	1	50
	Hueso y concha	1	30
211B-6-4-3	Cerámica	1	25
	Otra piedra	2	16
	Lítica	2	15
	Hueso y concha	2	20
211B-6-5-1	Cerámica	1	50
	Otra piedra	1	3
	Obsidiana	1	5
	Lítica	1	25
	Hueso y concha	1	10
211B-6-5-2	Cerámica	1	50
	Obsidiana	1	5
	Lítica	1	25
211B-6-5-3	Cerámica	1	50
	Obsidiana	1	5
	Lítica	1	25
	Hueso y concha	1	10
211B-7-1-1	Cerámica	1	100
	Lítica	1	50
	Obsidiana	1	10
	Piedra verde	1	1
	Hueso y concha	1	15
211B-7-4-1	Cerámica	1	100
	Obsidiana	1	10
	Lítica	1	50
211B-7-4-2	Cerámica	1	50

	Lítica	1	25
	Hueso y concha	1	5
211B-7-4-3	Cerámica	1	50
	Lítica	1	25
	Hueso y concha	1	5
211B-7-5-1	Cerámica	1	50
	Obsidiana	1	5
	Lítica	1	25
211B-7-5-2	Cerámica	1	5
211B-7-5-3	Cerámica	1	5
211B-8-1-1	Cerámica	2	200
	Obsidiana	1	15
	Lítica	1	100
	Hueso y concha	1	75
211B-8-4-1	Cerámica	1	100
	Obsidiana	1	5
	Lítica	1	50
	Hueso y concha	1	25
211B-8-5-1	Cerámica	1	50
	Obsidiana	1	5
	Lítica	1	25
	Hueso y concha	1	10
211B-8-5-2	Cerámica	1	5
211B-8-5-3	Cerámica	1	10
	Obsidiana	1	3
	Lítica	1	5
211B-8-6-1	Cerámica	1	50
	Piedra molida	1	1
	Otra piedra	1	1
	Obsidiana	1	5
	Lítica	1	25
	Hueso y concha	1	10
211B-8-6-2	Cerámica	1	50
	Obsidiana	1	5
	Lítica	1	25
	Piedra verde	1	1
	Hueso y concha	1	10
211B-8-6-3	Cerámica	1	50
	Otra piedra	2	3
	Obsidiana	1	5
	Lítica	1	25
	Hueso y concha	1	10
211B-8-6-4	Cerámica	1	50
	Piedra molida	2	3
	Hueso y concha	1	10
	Lítica	1	25
	Obsidiana	1	5
211B-8-6-5	Cerámica	1	50
	Obsidiana	1	5
	Lítica	1	25
	Hueso y concha	1	10
211B-8-6-6	Cerámica	1	75
	Otra piedra	1	2

	Obsidiana	1	7
	Lítica	1	30
	Piedra verde	1	1
	Hueso y concha	2	15
211B-8-6-7	Cerámica	1	50
	Obsidiana	1	5
	Lítica	1	25
	Hueso y concha	1	10
211B-8-6-8	Cerámica	2	200
	Obsidiana	1	20
	Lítica	1	100
	Hueso y concha	1	50
211B-8-6-9	Cerámica	1	50
	Obsidiana	1	5
	Lítica	1	25
	Hueso y concha	1	10
211B-8-7-1	Cerámica	1	10
	Obsidiana	1	3
	Lítica	1	5
211B-8-7-2	Lítica	1	5
211B-9-1-1	Cerámica	1	100
	Lítica	1	50
	Hueso y concha	1	25
	Obsidiana	1	10
	Otra piedra	1	1
211B-9-4-1	Cerámica	1	100
	Obsidiana	1	10
	Lítica	1	50
	Hueso y concha	1	25
211B-9-5-1	Cerámica	1	50
	Obsidiana	1	5
	Lítica	1	25
	Hueso y concha	1	10
211B-9-5-2	Cerámica	1	50
	Otra piedra	1	1
	Obsidiana	1	5
	Lítica	1	25
	Hueso y concha	1	10
211B-9-5-3	Cerámica	1	50
	Obsidiana	1	5
	Lítica	1	25
	Hueso y concha	1	10
211C-1-4-2	Cerámica	2	50
	Obsidiana	1	5
	Lítica	1	25
	Otra piedra	1	1
	Hueso humano	1	1
	Hueso y concha	1	10
211C-1-4-3	Cerámica	1	50
	Obsidiana	1	5
	Lítica	1	25
	Hueso y concha	1	10
211C-1-4-4	Cerámica	1	50

	Lítica	1	25
	Hueso y concha	1	10
211C-1-5-1	Cerámica	1	50
	Lítica	1	25
	Hueso y concha	1	10
211C-1-5-2	Cerámica	1	5
	Hueso y concha	1	2
211C-1-5-3	Cerámica	1	50
	Lítica	2	25
	Obsidiana	1	5
	Hueso y concha	1	10
211C-1-5-4	Cerámica	1	50
	Obsidiana	1	5
	Lítica	1	25
211C-1-5-5	Cerámica	1	50
	Obsidiana	1	5
	Lítica	1	25
	Hueso y concha	1	10
211C-1-6-1	Cerámica	2	50
	Obsidiana	1	5
	Lítica	1	25
	Hueso y concha	1	10
211C-1-6-2	Cerámica	1	50
	Obsidiana	1	5
	Lítica	1	25
	Hueso y concha	1	10
211C-1-6-3	Hueso y concha	1	1
211C-1-6-4	Cerámica	1	30
	Obsidiana	1	3
	Lítica	1	15
211C-1-6-5	Cerámica	1	50
	Obsidiana	1	5
	Lítica	1	25
	Mica	1	1
	Hueso y concha	2	11
211C-1-6-6	Cerámica	1	50
	Obsidiana	1	5
	Lítica	1	25
	Hueso y concha	1	10
211C-1-7-1	Cerámica	1	50
	Obsidiana	1	5
	Lítica	1	25
	Hueso y concha	1	10
211C-1-7-2	Cerámica	1	50
	Otra piedra	1	1
	Obsidiana	1	5
	Piedra molida	1	1
	Lítica	1	25
	Hueso y concha	1	10
211C-1-8-1	Cerámica	1	25
	Obsidiana	1	3
	Lítica	1	10
	Hueso y concha	1	7

211C-1-8-3	Cerámica	1	50
	Obsidiana	1	5
	Lítica	1	25
	Hueso y concha	1	10
211C-1-8-4	Cerámica	1	50
	Otra piedra	1	1
	Lítica	1	25
	Hueso y concha	1	10
211C-1-8-5	Cerámica	1	25
	Obsidiana	1	3
	Lítica	1	10
	Hueso y concha	1	7
211C-2-1-1	Cerámica	1	100
	Lítica	1	50
	Hueso y concha	1	25
211C-2-4-1	Cerámica	1	50
	Obsidiana	1	5
	Lítica	1	25
	Figurilla	1	1
	Hueso y concha	1	10
211C-2-4-2	Cerámica	3	25
	Obsidiana	1	5
	Lítica	1	10
	Piedra verde	1	1
	Hueso y concha	2	40
211C-2-5-1	Cerámica	1	50
	Obsidiana	1	5
	Lítica	1	25
211C-2-6-1	Cerámica	1	50
	Obsidiana	1	5
	Lítica	1	25
	Cuarzo	1	1
	Otra piedra	1	1
	Hueso y concha	1	10
211C-2-6-2	Cerámica	1	50
	Obsidiana	1	5
	Lítica	1	25
	Hueso y concha	1	10
211C-2-8-1	Cerámica	1	50
	Obsidiana	1	5
	Lítica	1	25
	Hueso y concha	1	10
211C-2-8-2	Cerámica	1	10
	Lítica	1	1
211C-2-8-3	Cerámica	1	50
	Obsidiana	1	5
	Lítica	1	25
	Hueso y concha	1	10
211C-2-8-4	Cerámica	1	50
	Lítica	1	25
	Obsidiana	1	5
	Hueso y concha	1	10
211C-2-8-5	Cerámica	1	50

	Obsidiana	1	5
	Lítica	1	25
	Hueso y concha	1	10
211C-2-8-6	Cerámica	1	20
	Obsidiana	1	2
	Lítica	1	10
211C-3-1-1	Cerámica	2	200
	Otra piedra	1	2
	Obsidiana	1	20
	Lítica	1	100
	Figurilla	1	1
	Hueso y concha	2	50
211C-3-4-1	Cerámica	2	200
	Obsidiana	1	20
	Lítica	1	100
	Hueso y concha	1	50
211C-3-4-2	Cerámica	2	200
	Obsidiana	1	20
	Lítica	1	100
	Hueso y concha	1	50
211C-3-5-1	Cerámica	1	25
	Obsidiana	1	2
	Lítica	1	10
211C-3-5-2	Cerámica	1	10
	Lítica	1	5
211C-3-5-3	Cerámica	1	50
	Obsidiana	1	5
	Lítica	1	25
	Hueso y concha	1	10
211C-3-6-1	Cerámica	1	50
	Obsidiana	1	5
	Lítica	2	25
	Hueso y concha	1	10
211C-3-6-2	Cerámica	1	50
	Obsidiana	1	5
	Lítica	1	25
	Hueso y concha	1	10
211C-3-6-3	Cerámica	1	50
	Obsidiana	1	5
	Lítica	1	25
	Hueso y concha	1	10
211C-3-6-4	Cerámica	1	25
	Lítica	1	10
	Hueso y concha	1	5
211C-3-8-1	Cerámica	1	50
	Otra piedra	2	2
	Obsidiana	1	5
	Lítica	1	25
	Figurilla	1	1
	Hueso y concha	1	10
211C-3-8-2	Cerámica	2	200
	Obsidiana	1	20
	Lítica	1	100

	Hueso y concha	1	50
211C-3-8-3	Cerámica	1	25
	Obsidiana	1	3
	Lítica	1	10
	Hueso y concha	1	5
211C-3-8-4	Cerámica	2	10
	Lítica	1	5
211C-4-1-1	Cerámica	3	300
	Otra piedra	1	1
	Obsidiana	1	30
	Lítica	1	150
	Hueso y concha	1	75
211C-4-4-1	Cerámica	1	25
	Obsidiana	1	2
	Lítica	1	12
211C-4-4-2	Cerámica	1	50
	Obsidiana	1	5
	Piedra molida	1	1
	Lítica	1	25
	Hueso humano	1	1
	Hueso y concha	1	10
211C-4-4-3	Cerámica	5	50
	Obsidiana	1	1
	Lítica	1	1
	Cuarzo	1	1
	Piedra Verde	1	2
	Figurilla	2	2
	Hueso y concha	2	15
211C-4-4-4	Cerámica	4	50
	Obsidiana	1	1
	Lítica	1	5
	Hueso y concha	1	1
211C-4-4-5	Cerámica	2	50
	Obsidiana	1	5
	Lítica	2	25
	Hueso y concha	1	50
211C-4-4-6	Cerámica	1	50
	Obsidiana	1	5
	Lítica	1	25
	Hueso y concha	2	11
211C-4-4-7	Cerámica	3	50
	Otro artefacto	1	1
	Lítica	1	10
	Otra piedra	1	1
	Hueso y concha	1	5
	Obsidiana	1	2
211C-4-4-8	Cerámica	1	50
	Obsidiana	1	5
	Lítica	1	25
	Figurilla	1	1
	Hueso y concha	1	10
211C-4-5-1	Cerámica	1	50
	Obsidiana	1	5

	Lítica	1	25
	Hueso y concha	1	10
211C-4-5-2	Cerámica	1	50
	Obsidiana	1	5
	Lítica	1	25
	Hueso y concha	1	10
	Piedra verde	1	1
211C-4-5-3	Cerámica	1	50
	Cuarzo	1	1
	Obsidiana	1	5
	Lítica	1	25
	Otra piedra	1	1
	Hueso y concha	1	10
211C-4-5-4	Cerámica	1	10
	Lítica	1	5
211C-4-5-5	Cerámica	1	50
	Obsidiana	1	5
	Lítica	1	25
	Hueso y concha	1	10
211C-4-5-6	Cerámica	1	10
	Lítica	1	5
211C-4-6-1	Cerámica	1	10
	Lítica	1	5
211C-5-1-1	Cerámica	2	200
	Obsidiana	1	20
	Lítica	1	100
	Hueso y concha	1	50
211C-5-4-1	Cerámica	1	5
211C-5-4-2	Cerámica	1	25
	Obsidiana	1	3
	Lítica	1	12
	Hueso y concha	1	5
211C-5-4-3	Cerámica	1	5
	Lítica	1	3
211C-5-5-1	Cerámica	1	3
211C-5-5-2	Cerámica	1	5
	Lítica	1	2
211C-5-6-1	Cerámica	1	50
	Obsidiana	1	5
	Lítica	1	25
	Hueso y concha	1	10
211C-6-1-1	Cerámica	3	300
	Obsidiana	1	30
	Lítica	1	150
	Hueso y concha	1	75
211C-6-4-1	Cerámica	1	100
	Obsidiana	1	10
	Lítica	1	50
	Hueso y concha	1	25
211C-6-4-2	Cerámica	1	10
	Hueso y concha	1	3
211C-6-4-3	Cerámica	1	20
	Lítica	1	10

	Hueso y concha	1	5
211C-6-4-4	Cerámica	1	5
	Lítica	1	3
211C-6-4-5	Cerámica	1	50
	Obsidiana	1	5
	Lítica	1	25
	Hueso y concha	1	10
211C-6-5-1	Cerámica	1	50
	Lítica	1	25
	Hueso y concha	1	10
211C-6-6-1	Cerámica	1	50
	Cuarzo	1	1
	Obsidiana	1	5
	Lítica	1	25
	Hueso y concha	1	10
211C-6-6-2	Cerámica	1	20
	Lítica	1	10
	Hueso y concha	1	5
211C-6-6-3	Cerámica	1	25
	Lítica	1	12
	Hueso y concha	1	7
	Obsidiana	1	3
211C-6-6-4	Cerámica	1	10
	Lítica	1	5
	Hueso y concha	1	3
211C-6-6-5	Cerámica	1	5
	Lítica	1	3
211C-6-6-6	Cerámica	1	10
	Lítica	1	5
	Hueso y concha	1	3
211C-6-6-7	Cerámica	1	10
	Obsidiana	1	2
	Lítica	1	5
211C-6-7-1	Cerámica	2	50
	Obsidiana	1	5
	Lítica	1	25
	Hueso y concha	1	10
211C-7-1-1	Cerámica	1	100
	Obsidiana	1	10
	Lítica	1	50
	Piedra verde	1	1
	Hueso y concha	1	30
211C-7-4-1	Cerámica	1	25
	Lítica	1	12
	Hueso y concha	1	6
211C-7-5-1	Cerámica	1	3
211C-7-5-2	Cerámica	1	25
	Obsidiana	1	3
	Lítica	1	12
	Hueso y concha	1	7
211C-7-5-3	Cerámica	1	25
	Obsidiana	1	3
	Lítica	1	10

	Hueso y concha	1	6
211C-7-6-1	Cerámica	1	25
	Obsidiana	1	3
	Piedra molida	1	1
	Lítica	1	12
	Hueso y concha	1	7
211C-7-8-1	Cerámica	1	10
	Obsidiana	1	2
	Lítica	1	5
211E-1-1-1	Cerámica	2	200
	Obsidiana	1	20
	Lítica	1	100
	Hueso y concha	1	50
211E-1-4-1	Cerámica	2	200
	Obsidiana	2	20
	Lítica	1	100
	Hueso y concha	1	50
211E-1-4-2	Cerámica	1	50
	Obsidiana	1	5
	Lítica	1	25
	Hueso y concha	1	10
211E-1-4-3	Cerámica	1	50
	Obsidiana	1	5
	Lítica	1	25
	Hueso y concha	1	10
211E-1-4-4	Cerámica	1	50
	Obsidiana	1	5
	Lítica	1	25
	Hueso y concha	1	10
211E-1-5-1	Cerámica	1	10
	Obsidiana	1	2
	Lítica	1	5
	Piedra verde	1	1
	Hueso y concha	1	3
211E-1-5-2	Cerámica	1	10
	Obsidiana	1	1
	Lítica	1	5
211E-1-5-3	Cerámica	1	25
	Obsidiana	1	3
	Lítica	1	12
211E-1-5-4	Cerámica	1	10
	Lítica	1	5
211E-1-5-5	Cerámica	1	50
	Otra piedra	1	1
	Obsidiana	1	5
	Lítica	1	25
	Hueso y concha	1	10
211E-1-5-6	Cerámica	1	25
	Lítica	1	12
	Hueso y concha	1	6
211E-1-5-7	Cerámica	1	50
	Obsidiana	1	5
	Lítica	1	25

	Hueso y concha	1	10
211E-1-5-8	Cerámica	1	25
	Lítica	1	12
	Hueso y concha	1	7
211E-2-1-1	Cerámica	3	300
	Obsidiana	1	30
	Lítica	1	150
	Piedra molida	1	1
	Hueso y concha	1	50
211E-2-4-1	Cerámica	2	200
	Obsidiana	1	20
	Lítica	1	100
	Hueso y concha	2	50
211E-2-4-2	Cerámica	1	50
	Obsidiana	1	5
	Lítica	1	25
	Hueso y concha	1	10
211E-2-4-3	Cerámica	1	50
	Obsidiana	1	5
	Lítica	1	25
	Hueso y concha	1	10
211E-2-4-4	Cerámica	1	10
	Lítica	1	5
211E-2-4-5	Cerámica	1	50
	Obsidiana	1	5
	Lítica	1	25
	Hueso y concha	1	10
211E-2-5-1	Cerámica	1	25
	Lítica	1	12
	Mica	1	1
	Hueso y concha	1	5
211E-2-5-2	Cerámica	1	25
	Lítica	1	12
	Otro artefacto	1	1
211E-2-5-3	Cerámica	1	25
	Piedra molida	1	1
	Lítica	1	12
211E-2-5-4	Cerámica	1	25
	Lítica	1	12
	Hueso y concha	1	6
211E-2-5-5	Cerámica	1	50
	Otra Piedra	1	2
	Obsidiana	1	5
	Piedra molida	1	1
	Lítica	1	25
	Hueso y concha	1	12
211E-2-5-6	Cerámica	1	50
	Obsidiana	1	5
	Piedra molida	1	1
	Lítica	1	25
	Hueso y concha	1	12
211E-2-5-7	Cerámica	1	50
	Obsidiana	1	5

	Lítica	1	25
	Hueso y concha	1	12
211E-2-5-8	Cerámica	1	50
	Obsidiana	1	5
	Lítica	1	25
	Hueso y concha	1	12
211E-2-5-9	Cerámica	1	50
	Piedra molida	1	1
	Obsidiana	1	5
	Lítica	1	25
	Hueso y concha	1	12
211E-3-1-1	Cerámica	3	300
	Otra piedra	2	2
	Obsidiana	1	30
	Lítica	1	150
	Hueso y concha	1	75
211E-3-4-1	Cerámica	2	200
	Obsidiana	1	20
	Otro artefacto	1	1
	Lítica	1	100
	Mica	1	1
	Piedra verde	1	1
	Hueso y concha	1	50
211E-3-4-2	Cerámica	1	30
	Lítica	1	15
	Hueso y concha	1	8
211E-3-4-3	Cerámica	2	100
	Otra piedra	1	2
	Obsidiana	1	10
	Lítica	1	50
	Hueso y concha	1	25
211E-3-4-4	Cerámica	1	25
	Lítica	1	12
	Hueso y concha	1	5
211E-3-4-5	Cerámica	1	50
	Obsidiana	1	5
	Lítica	1	25
	Hueso y concha	1	12
211E-3-5-1	Cerámica	1	5
211E-3-5-2	Cerámica	1	5
	Lítica	1	2
211E-3-5-3	Cerámica	1	50
	Otra piedra	1	2
	Obsidiana	1	5
	Lítica	1	25
	Hueso y concha	1	12
211E-3-5-4	Cerámica	1	50
	Obsidiana	1	5
	Lítica	1	25
	Hueso y concha	1	12
211E-3-5-5	Cerámica	1	50
	Obsidiana	1	5
	Piedra molida	1	1

	Lítica	1	25
	Piedra verde	1	1
	Hueso y concha	2	13
211E-3-5-6	Cerámica	1	2
211E-4-1-1	Cerámica	3	300
	Otra piedra	1	1
	Piedra molida	1	1
	Obsidiana	1	30
	Lítica	1	150
	Hueso y concha	1	75
211E-4-4-1	Cerámica	1	100
	Obsidiana	1	10
	Lítica	1	50
	Piedra verde	1	1
	Hueso y concha	1	25
211E-4-4-2	Cerámica	1	50
	Otra piedra	1	1
	Obsidiana	1	5
	Piedra molida	1	1
	Lítica	1	25
	Hueso y concha	1	12
211E-4-4-3	Cerámica	3	300
	Obsidiana	1	30
	Lítica	1	150
	Figurilla	1	1
	Hueso y concha	3	75
211E-4-4-4	Cerámica	1	10
	Obsidiana	1	1
	Lítica	1	1
	Hueso y concha	1	2
211E-4-4-5	Cerámica	1	50
	Obsidiana	1	5
	Lítica	1	25
	Piedra verde	1	1
	Figurilla	1	1
	Hueso y concha	1	12
211E-4-4-6	Cerámica	2	50
	Obsidiana	1	5
	Lítica	1	25
	Piedra verde	1	1
	Hueso y concha	2	12
211E-4-5-2	Cerámica	1	50
	Obsidiana	1	5
	Lítica	1	25
	Hueso y concha	1	12
211E-4-5-3	Cerámica	1	2
211E-5-1-1	Cerámica	3	300
	Obsidiana	1	30
	Lítica	1	150
	Hueso y concha	1	75
211E-5-5-1	Cerámica	1	50
	Obsidiana	1	5
	Lítica	1	25

	Hueso y concha	1	12
211E-5-5-2	Cerámica	1	25
	Otra piedra	1	1
	Obsidiana	1	3
	Lítica	1	12
211E-5-5-3	Cerámica	1	50
	Obsidiana	1	5
	Lítica	1	25
	Hueso y concha	1	12
211E-5-5-4	Cerámica	2	200
	Obsidiana	1	20
	Otra piedra	1	1
	Lítica	1	100
	Piedra verde	1	2
	Hueso y concha	1	50
211E-5-5-5	Cerámica	1	50
	Obsidiana	1	5
	Lítica	1	25
	Hueso y concha	1	12
211E-5-5-6	Cerámica	1	25
	Obsidiana	1	3
	Piedra molida	1	1
	Lítica	1	12
215A-3-1-1	Cerámica	1	10
	Lítica	1	5
215A-3-2-1	Cerámica	1	10
	Lítica	1	5
215A-3-4-1	Cerámica	1	10
	Lítica	1	5
215A-3-4-2	Cerámica	1	10
	Lítica	1	5
215A-3-4-3	Cerámica	1	10
	Lítica	1	5
215A-3-4-4	Cerámica	1	10
	Lítica	1	5
	Obsidiana	1	1
215C-1-1-1	Cerámica	1	10
	Lítica	1	5
215C-1-2-1	Cerámica	1	10
	Lítica	1	5
215C-1-4-1	Cerámica	1	25
	Obsidiana	1	3
	Lítica	1	12
	Hueso y concha	1	5
215C-1-4-2	Cerámica	3	30
	Obsidiana	1	1
215C-1-4-3	Cerámica	1	10
	Lítica	1	5
215C-1-4-4	Cerámica	1	3
215C-1-5-1	Cerámica	1	10
	Lítica	1	5
215D-1-5-1	Cerámica	1	5
215D-2-5-1	Cerámica	1	5

215E-1-5-1	Cerámica	1	5
215E-2-5-1	Cerámica	1	5
215E-2-6-1	Cerámica	1	10
	Hueso y concha	1	5
217A-1-1-1	Cerámica	1	25
	Obsidiana	1	1
	Lítica	1	10
	Hueso y concha	1	5
217A-1-2-1	Cerámica	1	25
	Obsidiana	1	3
	Lítica	1	10
	Hueso y concha	1	5
217A-1-2-2	Cerámica	1	25
	Obsidiana	1	3
	Lítica	1	12
	Hueso y concha	1	5
217A-1-2-3	Cerámica	1	25
	Obsidiana	1	3
	Lítica	1	12
	Hueso y concha	1	5
217A-1-4-1	Cerámica	1	10
	Obsidiana	1	2
	Lítica	1	5
217A-1-4-2	Cerámica	1	25
	Obsidiana	1	3
	Lítica	1	12
	Hueso y concha	1	5
217A-1-4-3	Cerámica	1	25
	Obsidiana	1	3
	Lítica	1	12
	Hueso y concha	1	5
217A-1-5-1	Cerámica	1	25
	Obsidiana	1	3
	Lítica	1	12
	Hueso y concha	1	5
217A-1-5-2	Cerámica	1	10
	Lítica	1	5
	Hueso y concha	1	3
217A-1-5-3	Cerámica	1	5
	Hueso y concha	1	2
217A-1-5-4	Cerámica	1	20
	Lítica	1	10
	Hueso y concha	1	5
217A-1-5-5	Cerámica	1	1
	Hueso y concha	1	1
217A-1-5-6	Cerámica	1	1
217A-1-6-1	Cerámica	1	5
	Hueso y concha	1	2
217A-1-6-2	Cerámica	1	25
	Obsidiana	1	3
	Lítica	1	12
	Piedra verde	1	1
	Hueso y concha	1	6

218A-1-1-1	Cerámica	1	10
	Lítica	1	5
218A-1-2-1	Cerámica	1	25
	Otro artefacto	1	1
	Lítica	1	12
	Hueso y concha	1	5
218A-1-2-2	Cerámica	1	10
	Obsidiana	1	2
	Lítica	1	5
218A-1-2-3	Cerámica	1	25
	Obsidiana	1	3
	Lítica	1	12
	Hueso y concha	1	7
218A-1-5-1	Cerámica	1	25
	Obsidiana	1	3
	Lítica	2	12
	Hueso y concha	1	7
218A-1-5-2	Cerámica	1	10
	Obsidiana	1	2
	Hueso y concha	1	5
218A-1-5-3	Cerámica	1	25
	Obsidiana	1	3
	Lítica	1	12
	Hueso y concha	1	7
218A-1-5-4	Cerámica	1	10
	Lítica	1	5
	Hueso y concha	1	3
218A-1-6-1	Cerámica	1	25
	Obsidiana	1	3
	Lítica	1	10
	Figurilla	1	1
	Hueso y concha	1	5
218A-1-6-2	Cerámica	3	200
	Obsidiana	1	20
	Otro artefacto	2	2
	Piedra molida	1	2
	Lítica	1	100
	Hueso y concha	2	50
218A-1-6-3	Cerámica	1	25
	Obsidiana	1	3
	Lítica	1	12
	Hueso y concha	1	6
218A-2-1-1	Cerámica	1	25
	Obsidiana	1	3
	Lítica	1	12
	Hueso y concha	1	6
	Otra piedra	1	1
218A-2-1-2	Cerámica	1	10
	Lítica	1	5
218A-2-2-1	Cerámica	1	10
	Lítica	1	5
	Hueso y concha	1	2
218-A-2-2-2	Cerámica	1	25

	Obsidiana	1	3
	Lítica	1	12
	Hueso y concha	1	6
218A-2-2-3	Cerámica	1	5
	Lítica	1	3
218A-2-4-1	Cerámica	1	10
	Lítica	1	5
	Hueso y concha	1	3
218A-2-4-2	Cerámica	1	10
	Lítica	1	5
	Hueso y concha	1	3
218A-2-4-3	Cerámica	2	50
	Lítica	1	10
	Hueso y concha	1	5
218A-2-4-4	Cerámica	1	5
	Lítica	1	3
218A-2-4-5	Cerámica	1	10
	Lítica	1	5
	Hueso y concha	1	3
218A-2-4-6	Cerámica	1	10
	Lítica	1	5
	Hueso y concha	1	2
218A-2-5-1	Cerámica	2	200
	Obsidiana	1	20
	Piedra molida	1	2
	Lítica	1	100
	Hueso y concha	1	50
218A-2-5-2	Cerámica	1	25
	Obsidiana	1	3
	Lítica	1	12
	Hueso y concha	1	6
218B-1-1-1	Cerámica	1	10
	Lítica	1	5
218B-1-4-1	Cerámica	1	10
	Lítica	1	5
218B-1-4-2	Cerámica	1	10
	Obsidiana	1	1
	Lítica	1	5
218B-1-4-3	Cerámica	2	200
	Otra piedra	1	1
	Lítica	1	100
	Hueso humano	1	1
	Hueso y concha	1	50
218B-1-4-4	Cerámica	1	50
	Obsidiana	1	5
	Lítica	1	25
	Hueso y concha	1	12
218B-1-4-5	Cerámica	1	10
	Lítica	1	5
218B-1-5-1	Cerámica	1	25
	Obsidiana	1	3
	Lítica	1	12
	Hueso y concha	1	5

218B-1-5-2	Cerámica	2	15
	Obsidiana	1	3
	Lítica	1	8
218B-1-5-3	Cerámica	1	10
	Lítica	1	5
218B-1-5-4	Cerámica	5	500
	Obsidiana	1	30
	Lítica	1	200
	Hueso y concha	1	100
218B-1-5-5	Cerámica	2	200
	Otra piedra	1	1
	Otro artefacto	1	2
	Lítica	1	100
	Hueso y concha	1	50
218B-1-5-6	Cerámica	1	5
	Obsidiana	1	1
218B-1-5-7	Cerámica	1	5
	Hueso y concha	1	1
218B-1-5-8	Cerámica	1	10
	Obsidiana	1	1
	Hueso y concha	1	3
218B-1-5-9	Cerámica	1	5
	Hueso y concha	1	2
218B-1-6-1	Cerámica	1	2
218B-1-6-2	Cerámica	1	25
	Otra piedra	1	1
	Obsidiana	1	3
	Lítica	1	12
	Piedra verde	1	1
	Hueso y concha	1	6
218B-1-6-4	Cerámica	1	25
	Obsidiana	1	3
	Lítica	1	12
	Hueso y concha	1	6
218B-1-6-5	Cerámica	1	2
218C-1-1-1	Cerámica	1	25
	Obsidiana	1	3
	Lítica	1	12
	Hueso y concha	1	6
218C-1-4-1	Cerámica	1	10
	Lítica	1	5
	Hueso	1	3
218C-1-4-2	Cerámica	1	10
	Lítica	1	5
218C-1-4-3	Cerámica	1	5
218C-1-4-4	Hueso humano	1	1
218C-1-4-5	Cerámica	1	25
	Obsidiana	1	3
	Lítica	1	12
	Hueso y concha	1	6
218C-1-5-1	Cerámica	1	5
	Hueso y concha	1	2
218C-1-5-2	Cerámica	1	5

	Hueso y concha	1	2
218C-1-5-3	Cerámica	1	5
	Otra piedra	1	1
	Piedra molida	1	1
218C-1-5-4	Cerámica	1	25
	Obsidiana	1	3
	Lítica	1	12
	Hueso y concha	1	6
218C-1-5-5	Cerámica	1	25
	Obsidiana	1	3
	Lítica	1	12
	Hueso humano	1	1
218C-1-5-6	Cerámica	1	5
	Lítica	1	3
218C-1-5-7	Cerámica	1	5
	Lítica	1	3
218C-1-6-1	Cerámica	1	5
	Lítica	1	3
218C-1-6-2	Cerámica	1	2
218C-2-4-1	Cerámica	2	200
	Obsidiana	1	20
	Lítica	1	100
	Otra piedra	1	1
	Hueso y concha	1	50
218C-2-4-2	Cerámica	1	200
	Obsidiana	1	20
	Lítica	1	100
	Hueso y concha	1	50
218C-2-4-3	Cerámica	2	50
	Otra piedra	1	1
	Obsidiana	1	5
	Lítica	1	25
	Hueso y concha	1	12
218C-2-4-4	Cerámica	1	20
	Lítica	1	10
	Hueso y concha	1	5
218D-1-4-1	Cerámica	1	3
218D-1-7-1	Cerámica	1	3
	Lítica	1	1
219A-1-1-1	Cerámica	1	5
	Obsidiana	1	1
219A-1-3-1	Lítica	1	1
219A-1-4-1	Cerámica	1	10
	Lítica	1	5
219A-1-4-2	Cerámica	1	10
	Otra piedra	1	1
	Lítica	1	5
	Hueso humano	1	1
219A-1-4-3	Cerámica	1	5
	Piedra molida	1	2
	Otra piedra	1	2
219A-1-4-4	Cerámica	1	5
	Obsidiana	1	1

	Lítica	1	1
	Otra piedra	1	1
	Hueso y concha	1	1
219A-2-1-1	Cerámica	1	10
	Lítica	1	5
219A-2-2-1	Cerámica	1	5
	Lítica	1	1
	Hueso y concha	1	1
219A-2-2-2	Cerámica	1	5
	Otra piedra	1	2
	Lítica	1	2
219A-2-4-1	Cerámica	1	5
	Otra piedra	2	2
219A-3-1-1	Cerámica	2	5
219A-3-3-1	Cerámica	1	8
	Otra piedra	1	2
	Obsidiana	1	1
	Lítica	1	3
219A-3-4-1	Cerámica	1	10
	Otra piedra	1	1
	Lítica	1	2
	Piedra verde	1	1
	Hueso humano	1	1
	Hueso y concha	1	2
219A-3-4-2	Cerámica	1	7
	Obsidiana	1	1
	Lítica	1	3
	Hueso humano	1	3
219A-3-4-3	Cerámica	1	25
	Otra piedra	1	2
	Obsidiana	1	3
	Lítica	1	10
	Figurilla	1	1
	Hueso y concha	1	1
219A-4-1-2	Cerámica	1	3
219A-4-4-1	Cerámica	1	10
	Lítica	1	5
219A-4-4-2	Cerámica	1	25
	Otra piedra	1	2
	Lítica	1	10
	Hueso y concha	1	5
219A-4-4-3	Cerámica	1	5
	Lítica	1	3
219A-4-4-4	Cerámica	1	2
219A-4-4-5	Cerámica	1	5
	Lítica	1	2
219A-4-4-6	Cerámica	1	10
	Obsidiana	1	1
	Lítica	1	5
	Figurilla	1	1
	Hueso y concha	1	2
219A-5-1-1	Cerámica	1	5
219A-5-1-2	Cerámica	1	10

	Otra piedra	1	1
	Lítica	1	2
219A-5-4-1	Cerámica	1	5
	Lítica	1	2
219A-5-4-2	Cerámica	1	10
	Otra piedra	1	1
	Hueso y concha	1	2
	Lítica	1	5
219A-5-4-3	Cerámica	1	10
	Otra piedra	1	1
	Obsidiana	1	1
	Piedra molida	1	1
	Lítica	1	5
	Piedra verde	1	1
219A-6-1-1	Cerámica	1	3
	Hueso humano	1	1
219A-6-1-2	Cerámica	1	10
	Otra piedra	1	1
	Obsidiana	1	2
	Lítica	1	2
	Figurilla	1	1
219A-6-4-1	Cerámica	2	20
	Piedra molida	1	1
	Lítica	1	2
	Figurilla	1	1
	Hueso y concha	2	6
219A-7-1-1	Cerámica	1	10
	Obsidiana	1	2
	Lítica	1	1
	Figurilla	1	1
	Hueso y concha	1	1
219A-7-4-1	Cerámica	1	10
	Lítica	1	5
	Hueso y concha	1	2
219A-7-4-2	Cerámica	3	200
	Otra piedra	1	1
	Obsidiana	1	20
	Piedra molida	2	2
	Lítica	1	100
	Figurilla	1	1
	Hueso y concha	1	50
220A-1-1-1	Cerámica	1	20
	Obsidiana	1	2
	Huesos y concha	1	5
220A-1-4-1	Cerámica	1	20
	Lítica	2	10
	Piedra verde	1	1
220A-1-4-2	Cerámica	1	20
	Obsidiana	1	2
	Lítica	1	10
220A-1-4-3	Lítica	1	1
220A-1-4-4	Cerámica	1	2
220A-1-4-5	Cerámica	1	1

221A-1-1-1	Cerámica	1	5
221A-1-1-2	Cerámica	1	10
	Obsidiana	1	1
	Lítica	1	3
221A-1-4-1	Cerámica	3	200
	Obsidiana	1	1
	Piedra molida	1	1
	Lítica	1	100
	Figurilla	1	1
221A-2-1-1	Cerámica	1	5
	Lítica	1	1
221A-2-2-1	Cerámica	1	10
	Piedra molida	2	2
	Lítica	1	5
221A-2-4-1	Cerámica	1	10
	Obsidiana	1	1
	Otra piedra	1	1
	Lítica	1	5
	Hueso y concha	1	3
221A-3-1-1	Cerámica	1	7
	Lítica	1	3
221A-3-2-1	Cerámica	2	20
	Lítica	2	10
	Otra piedra	2	2
	Obsidiana	1	1
	Hueso y concha	1	5
221B-1-1-1	Cerámica	1	10
	Lítica	1	5
221B-1-2-1	Cerámica	1	20
	Lítica	1	10
	Otra piedra	1	2
	Obsidiana	1	1
	Piedra molida	1	2
221B-1-4-1	Cerámica	1	10
	Piedra molida	1	1
	Lítica	1	5
221B-2-1-2	Cerámica	1	10
	Lítica	1	5
221B-2-3-1	Cerámica	1	10
	Lítica	1	5
	Hueso y concha	1	1
221B-2-4-1	Cerámica	1	10
	Obsidiana	1	1
	Lítica	1	2
221B-2-4-2	Cerámica	1	25
	Otra piedra	1	1
	Obsidiana	1	2
	Lítica	1	12
	Hueso y concha	2	8
221B-2-4-3	Cerámica	1	10
	Lítica	1	5
	Hueso y concha	1	3
221B-2-4-4	Cerámica	1	10

	Lítica	1	5
221B-3-1-2	Cerámica	1	5
	Lítica	1	1
221B-3-4-1	Cerámica	1	10
	Obsidiana	1	1
	Lítica	1	5
221B-3-4-2	Cerámica	1	10
	Lítica	1	5
	Hueso y concha	1	2
221B-3-4-3	Cerámica	1	5
	Hueso y concha	2	5
221B-3-4-4	Cerámica	2	25
	Lítica	1	7
	Hueso y concha	1	5
221B-3-4-5	Cerámica	3	25
	Obsidiana	1	5
	Lítica	1	10
	Hueso y concha	1	5
221B-3-4-6	Cerámica	1	5
	Lítica	1	3
221B-3-4-7	Cerámica	1	5
	Lítica	1	3
221B-3-4-8	Cerámica	1	5
	Lítica	1	3
221B-3-4-9	Cerámica	1	2
	Lítica	1	3
221C-1-1-1	Cerámica	1	10
	Lítica	1	5
	Hueso y concha	1	3
221C-1-2-1	Cerámica	1	20
	Otra piedra	1	1
	Obsidiana	1	1
	Lítica	1	10
	Hueso y concha	1	5
221C-1-3-1	Cerámica	1	10
	Lítica	1	5
	Hueso y concha	1	3
221C-1-4-1	Cerámica	1	10
	Obsidiana	1	1
	Lítica	1	5
	Hueso y concha	1	2

BIBLIOGRAFIA

- Aimers, James J., Terry G. Powis, y Jaime J. Awe
2000 Preclassic Round Structures of the Upper Belize River Valley. *Latin American Antiquity* 11(1):71-86.
- Aoyama, Kazuo
1999 *Ancient Maya State, Urbanism, Exchange, and Craft Specialization: Chipped Stone Evidence from the Copán Valley and the La Entrada Region, Honduras*. University of Pittsburgh Memoirs in Latin American Archaeology No. 12, Pittsburgh.
2009 *Elite Craft Producers, Artists, and Warriors at Aguateca: Lithic Analysis*. Volume two of Monographs of the Aguateca Archaeological Project First Phase. The University of Utah Press, Salt Lake City, Utah.
- Bachand, Bruce R.
2010 Onset of the Early Classic Period in the Southern Maya Lowlands: New Evidence from Punta de Chimino, Guatemala. *Ancient Mesoamerica* 21, pp. 21-44.
- Bazy, Damien
2012 Capítulo 10: Excavaciones en la Plaza Central del Grupo D: Operación CB209. In *Proyecto Arqueológico Ceibal-Petexbatun: Informe de la temporada 2012*, Víctor Castillo Aguilar et Takeshi Inomata (Eds.), pp. 118-143. IDAEH, Guatemala.
2013 Capítulo 4: Excavaciones en el complejo triádico del Grupo D: Operación CB209. In *Proyecto Arqueológico Ceibal-Petexbatun: Informe de la temporada 2013*, Juan Manuel Palomo et Takeshi Inomata (Eds.). IDAEH, Guatemala.
2014 Capítulo 4: Excavaciones en la Plaza Central del Grupo D: Operación CB209. In *Proyecto Arqueológico Ceibal-Petexbatun: Informe de la temporada 2014*, Flory Pinzón y Takeshi Inomata. IDAEH, Guatemala.
- Buikstra, Jane E., y Douglas H. Ubelaker
1994 *Standards for Data Collection from Human Skeletal Remains. Archaeological Survey Report Number 44* Archeological Survey. Fayetteville, Arkansas, Arkansas.
- Burham, Melissa
2012 Excavaciones en las Unidades Ceremoniales Menores y Residenciales 54 y 4E-10/F4-15: Operaciones CB210 y CB213. En *Proyecto Arqueológico Ceibal-Petexbatun informe de la temporada de campo 2012*, editado por Víctor Castillo Aguilar y Takeshi Inomata, pp. 163-192. Informe entregado a Instituto de Antropología e Historia, Guatemala.
2014 Complejidad social en las afueras: las implicaciones sociopolíticas de los grupos de templo menor en Ceibal, Guatemala. En *XXVI Simposio de Investigaciones Arqueológicas en Guatemala, 2013*. Ministerio de Cultura y Deportes, Instituto de Antropología e Historia, y Asociación Tikal, Guatemala.

- Burham, Melissa y Javier Estrada
 2013 Excavaciones en el Grupo Amoch (Unidades 4E-14, Estructura 1 y Estructura 2): Operación 215. En *Proyecto Arqueológico Ceibal-Petexbatun Segunda Fase, Temporada 2013*, editado por Juan Manuel Palomo, pp. 52-81. Informe Entregado al Instituto de Antropología e Historia, Guatemala.
- Burham, Melissa and Jessica MacLellan
 2014 Thinking Outside the Plaza: Ritual Practices in Preclassic Maya Residential Groups at Ceibal, Guatemala. *Antiquity Project Gallery* 340. (<http://journal.antiquity.ac.uk/projgall/burham340>)
- Castillo Aguilar, Victor, y Mónica Cortave
 2009 Excavaciones en la Plataforma de la Estructura A-24: Operación 200B. En *Informe del Proyecto Arqueológico Ceibal-Petexbatún: La Temporada 2009*, editado por O. Román, T. Inomata y D. Triadan, pp. 48-60. Instituto de Antropología e Historia, Guatemala.
- Hammond, Norman
 1999 The Genesis of Hierarchy: Mortuary and Offertory Ritual in the Pre-Classic at Cuello, Belize. En *Social Patterns in Pre-Classic Mesoamerica*, editado por D. C. Grove y R. A. Joyce, pp. 49-66. Dumbarton Oaks, Washington, D.C.
- Hendon, Julia A.
 2000 Round Structures, Household Identity, and Public Performance in Preclassic Maya Society. *Latin American Antiquity* 11(3):299-301.
- Inomata, Takeshi
 1997 "The Last day of a fortified classic Maya center: Archaeological investigations at Aquateca, Guatemala." *Ancient Mesoamerica* 8: 337-351.
- Inomata, Takeshi
 2011 La secuencia cerámica de Ceibal. En *Informe del Proyecto Arqueológico Ceibal-Petexbatun, la temporada 2011*, editado por Victor Castillo Aguilar y Takeshi Inomata, pp. 157-167. Informe entregado a Instituto de Antropología e Historia, Guatemala.
- Inomata, Takeshi, and Daniela Triadan
 2014 Middle Preclassic Caches from Ceibal, Guatemala. *Maya Archaeology* 3, en prensa.
- Jaime-Riverón, Olaf
 2010 Olmec Greenstone in Early Formative Mesoamerica: Exchange and Process of Production. *Ancient Mesoamerica* 21:123-133.
- Lucero, Lisa
 2002 The Collapse of the Classic Maya: A Case for the Role of Water Control. *American Anthropologist* 104(3):814-826.
- Lowe, Gareth W. y Pierre Agrinier
 1960 Mound 1, Chiapa de Corzo, Chiapas, Mexico. En *Papers of the New World Archaeological Foundation, no. 8*. Excavations at Chiapa de Corzo, Chiapas, Mexico, Part 1; Publication (New World Archaeological Foundation), no. 7, editado por J. Alden Mason. Brigham Young University, Provo, Utah.

MacLellan, Jessica

- 2012 Excavaciones en el Grupo Residencial de la Plataforma 47-Base: Operación CB211. En *Proyecto Arqueológico Ceibal-Petexbatún: Informe de la Temporada de Campo 2012*, editado por V. Castillo Aguilar y T. Inomata, pp. 193-215. Instituto de Antropología e Historia, Guatemala.

MacLellan, Jessica, y Emanuel Serech

- 2013 Excavaciones en el Grupo Residencial de la Plataforma 47-Base: Operación CB211. En *Proyecto Arqueológico Ceibal-Petexbatún Segunda Fase: Informe de la Temporada de Campo 2013*, editado por J. M. Palomo, pp. 35-51. Instituto de Antropología e Historia, Guatemala.

MacLellan, Jessica y Melissa Burham

- 2013 Práctica ceremonial y doméstica en la periferia de Ceibal. En *XXVI Simposio de Investigaciones Arqueológicas en Guatemala, 2012*, editado por Bárbara Arroyo y L. Méndez Salinas, pp. 961-976. Vol. 2. Ministerio de Cultura y Deportes, Instituto de Antropología e Historia, y Asociación Tikal, Guatemala.

McAnany, Patricia A.

- 1995 *Living with the Ancestors: Kinship and Kingship in Ancient Maya Society*. University of Texas Press, Austin.

Ortiz, José Raúl

- 2011 Excavaciones frente y debajo de la Estructura A-20: Operación 203E. En *Informe del Proyecto Arqueológico Ceibal-Petexbatun, la temporada 2011*, editado por Victor Castillo Aguilar y Takeshi Inomata, pp. 98-109. Informe entregado al Instituto de Antropología e Historia, Guatemala.

Pinzón, Flory y Otto Román

- 2010 Excavaciones en la escalinata y al frente de la Estructura A-10: Operación CB203B. En *Informe del Proyecto Arqueológico Ceibal-Petexbatun: La Temporada 2010*, (editado por Otto Román y Takeshi Inomata), pp.79-90. Informe entregado al Instituto de Antropología e Historia de Guatemala.

Pinzón, Flory

- 2011 Excavaciones en la escalinata y al frente de la Estructura A-10: Operación CB203B. En *Informe del Proyecto Arqueológico Ceibal-Petexbatun: La Temporada 2011*, (editado por Victor Castillo y Takeshi Inomata), pp.75-87. Informe entregado al Instituto de Antropología e Historia de Guatemala.
- 2012 Excavaciones en la parte este de la Plaza Central: Operación CB203B. En *Informe del Proyecto Arqueológico Ceibal-Petexbatun, la temporada 2012*, editado por Victor Castillo Aguilar y Takeshi Inomata, pp. 7-31. Informe entregado al Instituto de Antropología e Historia, Guatemala.

Pohl, Mary D.

- 1976 *The Ethnozoology of the Maya: An Analysis of Faunal Remains from Five Sites in Peten, Guatemala*. Tesis doctoral no publicada, Harvard University, Cambridge, Mass.

- 1990 Ethnozoology of the Maya: Faunal Remains from Five sites in Peten, Guatemala. En *Excavations at Seibal, Department of Peten, Guatemala*, editado por Gordon R. Willey y John A. Graham, pp. 147-174. *Memoirs of the Peabody Museum of Archaeology and Ethnology*. Volume 16. No. 3. Harvard University, Cambridge, Mass.
- Reitz, Elizabeth J. y Elizabeth S. Wing
2008 *Zooarchaeology*. Segunda Edición. Cambridge Manuals in Archaeology, Cambridge University Press, Cambridge, Mass.
- Romero Molina, Javier
1986 *Catálogo de la Colección de Dientes Mutilados Prehispánicos: IV parte*. Colección Fuentes, Instituto Nacional de Antropología e Historia, México.
- Seitz, R., G. E. Harlow, V. B. Sisson, and K. A. Taube
2001 'Olmec Blue' and Formative jade sources: new discoveries in Guatemala. *Antiquity* 75:687-688.
- Smith, Ledyard A.
1950 Uaxactun, Guatemala: Excavations of 1931–1937. Carnegie Institution of Washington Publication 588, Washington, DC.

1982 *Excavations at Seibal, Major Architecture and Caches*. *Memoirs of the Peabody Museum of Archaeology and Ethnology*, Vol. 15, No. 1. Harvard University, Cambridge.
- Schaefer, Maureen, Sue Black, y Louise Scheuer
2009 *Juvenile Osteology: A Laboratory and Field Manual*. Elsevier, London.
- Tourtellot, Gair, III
1988 *Peripheral Survey and Excavation: Settlement and Community Patterns*. Excavations at Seibal, Department of Peten, Guatemala. *Memoirs of the Peabody Museum of Archaeology and Ethnology*, Vol. 16. Peabody Museum Press, Cambridge, MA.
- Vega Villalobos, Maria Elena
2011 Los señores de Ceibal: Un estudio de los textos jeroglíficos del Clásico Tardío. *Estudios Mesoamericanos*, Nueva época, 10, pp.5-23.
- Webster, David
1975 Lowland Maya Fortifications. *Proceedings of the American Philosophical Society* 120(5): 361-371.
- Willey, Gordon
1978 *Excavations at Seibal: Artifacts*. *Memoirs* Vol. 14, No. 1. Peabody Museum, Harvard University, Cambridge, MA.
- Wright, Lori E.
2006 *Diet, Health and Status among the Pasión Maya: A Reappraisal of the Collapse*. Vanderbilt University Press, Nashville.

Wrobel, Gabriel D., Marie E. Danforth, y Carl Armstrong
2002 Estimating Sex of Maya Skeletons by Discriminant Function Analysis of Lone-Bone
Measurements from the Protohistoric Maya Site of Tipu, Belize. *Ancient
Mesoamerica*13(2):225-263.